الجمهورسة الجزائرسة الديموقراطيسة الشعبيسة

REPUBLIQUE ALGERIENNE DEMOCRATIQUE ET POPULAIRE

Ministère de l'Enseignement Supérieur et de la Recherche Scientifique

جامعة سعيدة – د. مولاي الطاهر

UNIVERSITÉ DESAÏDA - Dr MOULAY TAHAR



Faculté des sciences et de la technologie

Département de génie civil et de l'hydraulique

PROJET DE FIN DE CYCLE

Présenté pour l'obtention du diplôme de master en génie civil

Spécialité : Structures

Étude d'un bâtiment R+9 à usage multiple implanté à Saida

Présenté par :

MOUMENE MOSTAPHA BRAHIM

Soutenu le 24/06/2025, devant le jury composé de

Mlle.Daoudi N. MCB Présidente

Mme. Benguediab S. Prof Encadreur

Mr. Guerrroudj H. MCB Examinateur

Année universitaire 2024/2025

Dédicace

Je dédie ce travail à : Ma famille, qui m'a toujours soutenu tout au long de mon parcours scolaire et universitaire .

Mes amis, qui m'ont apporté leur soutien, notamment mon ami Mokhtari Redhouan, qui m'a apporté un soutien et des conseils précieux.

Tous les professeurs qui m'ont accompagné tout au long de mon parcours scolaire, de l'école primaire à l'université.

Remerciements

Au premier lieu, je tiens à remercier ALLAH qui m'a donné le courage et la volonté pour terminer ce travail.

Je tiens à remercier vivement tous ceux qui m'ont aidé à élaborer cet ouvrage et en particulier mon encadrant Mme BENGEUDIAB Soumia pour sa disponibilité permanente, pour son aide et ces orientation précieuses, tout le long de ce projet.

Je tiens également à remercier les honorables membres du jury, pour l'honneur qu'ils m' ont accordé en acceptant d'évaluer mon travail.

Que tous ceux ou celles qui m'ont apportés leur soutien et qui m'ont aidé de loin ou de près pour l'achèvement de ce projet trouvent ici l'expression de ma vive et sincère reconnaissance, en particulier mes parents, ma famille et mes amis.

Merci à tous ...

ملخص

هذا العمل عبارة عن دراسة في الهندسة المدنية لمنشئ من الخرسانة المسلحة, (طابق أرضي +تسعة طوابق علوية), الواقعة في سعيدة, المصنفة ضمن المنطقة رقم إذات نشاط زلزالي ضعيفحسب القواعد الجزائرية المضادة للزلازل PA99) (version2003).

الهدف من هذا الحساب هو تحديد، من جهة السلوك الثابت و الحركي لمنشئ بالنسبة للأحمال العمودية و الأفقية المطبقة, و من جهة تحديد مساحات التسليح للعناصر الأساسية و الثانوية عبر تطبيق قواعد حساب طبق

2003. نسخة 99, CBA, DTR B.C.2.2 et RPA 99 معدل BAEL 91

إن مختلف النتائج الأساسية المحصل عليها تم ترجمتها إلى مخطط تنفيذ (قولبة, تسليح, قطع) من أجل سلاسة العمل في موقع البناء.

الكلمات المفتاحية: منشئ، خرسانة مسلحة, سلوك حركي، قواعد حساب، تسليح.

Résumé

Le présent travail est une note de calcul en génie civil d'un bâtiment en béton armé « RDC + 9 étages» implanté à la wilaya de Saida, classée en zone I, de faible sismicité, selon le règlement parasismique algérien RPA 99 version 2003.

L'objectif de ce calcul est de déterminer, d'une part, le comportement statique et dynamique du bâtiment vis-à-vis des charges verticales et horizontales, et d'autre part ; de calculer les sections de ferraillage des éléments structuraux et non structuraux par l'application des règlements de calcul en vigueur : BAEL 91 modifié 99, CBA, DTR B.C.2.2 et RPA 99 version 2003.

Les différents résultats obtenus sont traduit en plans d'exécution: plans de coffrage, de ferraillage et coupes, nécessaires pour le bon déroulement des travaux en chantier.

Mots clés: bâtiment, béton armé, comportement dynamique, règlements de calcul, ferraillage.

Abstract

The present work is a study in civil engineering for a reinforced concrete structure, (ground floor + neine upper floors), located in Saida, classified within Zone I, with weak seismic activity, according to the Algerian anti-seismic rules (RPA99 version2003).

The objective of this calculation is to determine, on the one hand, the static and dynamic behavior of a constructor with respect to the applied vertical and horizontal loads, and on the one hand, the determination of the reinforcement areas for the primary and secondary elements through the application of the rules of calculation applied: BAEL 91 Standard 99, CBA, DTR B.C.2.2 and RPA 99 version 2003.

The various basic results obtained were translated into an implementation plan (molding, reinforcing, and cutting) for the smooth work of the construction site.

Keywords: structure, reinforced concrete, dynamic behavior, calculation rules, reinforcement.

Sommaire

ملخص
Résumé

Abstract

•	•	4			
	iste	de	not	ot1	α n
_	anc.	uc	по	au	OH

Introduction général	1
CHAPITRE I : Présentation l'ouvrage	
I.1 Introduction:	2
I.2 Présentation de l'ouvrage :	2
I.3 Caractéristique géométrique :	2
I.4 Caractéristique du site :	2
I.5 Caractéristique structurales :	2
I.6 Caractéristiques mécaniques des matériaux :	4
I.6.1 Le béton :	4
I.6.2 Acier :	6
I.7 Sollicitation et Combinaison de calcul :	7
I.8 Règlements et normes utilisés :	8
I.9 Conclusion.	8
CHAPITRE II :Pré-dimonssionnment des élément	
II.1 Introduction:	9
II.2 Pré-dimensionnement Les planchers :	9
II.2.1 Planchers à corps creux :	9
II.2.2 Planches à dalles pleines :	9
II.3 Pré-dimensionnement Les poutres :	10
II.3.1 Les poutres principales :	10
II.3.2 Les poutres secondaires :	11
II.4 Evaluation des charges et des surcharges :	12
II.4.1 Les charges permanentes :	12
II.4.2 Les charges d'exploitation :	

II.5 Pré dimensionnement des poteaux :	13
II.5.1 Descente des charges :	13
II.5.2 Le pré-dimensionnement :	15
II.5.3 Exemple de calcul :	16
II.5.4 Vérification des conditions du RPA V99/2003 :	19
II.6 Pré-dimensionnement des voiles :	20
II.6.1 Voiles du contreventement :	20
II.7.Conclusion.	20
Chapitre III: Etude des planchers	
III.1. Introduction:	21
III.2. Plancher à corps creux:	21
III.2.1. Etude du poutrelle[CBA93/B.6.2,20]:	21
III.2.2. Les différents types des poutrelles :	21
III.2.3. Etude de la dalle de compression	43
III.2.4. Schéma de ferraillage :	43
III.3. Plancher en dalle pleine :	44
III.3.1. Combinaisons fondamentales:	44
III.3.2. Détermination des sollicitations :(panneau de rive)	44
III.3.3. Ferraillage de la dalle :	45
III.3.4. Vérification à L'ELU :	47
III.3.5. Vérification à L'ELS :	47
II.3.6. Schéma de ferraillage :	49
III.4. Conclusion	49
Chapitre IV : Etude des éléments secondaires	50
IV.1. Introduction:	50
IV.2. Etude de L'acrotère :	50
IV.2.1 Evaluation des charges :	51
IV.2.2Combinaisons des charges :	51
IV.2.3 Calcul de l'excentricité :	52
IV.2.4 Sollicitation au centre de gravité de l'acier tendue :	53
IV.2.5 Calcul de ferraillage :	53
IV.2.6 Vérification d'effort tranchant :	54
IV.2.7 Vérification de séisme :	54

IV.3. Etude du balcon :55IV.3.1. Définition :55IV.3.2. Pré-dimensionnement :55IV.3.3. Evaluation des charges et surcharges :56IV.3.4. Détermination des sollicitations :56
IV.3.2. Pré-dimensionnement :
IV.3.3. Evaluation des charges et surcharges :
IV.3.4. Détermination des sollicitations :
IV.3.5. Ferraillage du Balcon :
IV.3.6. Vérification au cisaillement :
IV.3.7. Vérification de la flèche:
IV.3.8. Le contre poids :
IV.4. Etude d'escalier:
IV.4.1. Définition:
IV.4.2. Description:
IV.4.3. Pré dimensions des escaliers:
IV.4.4. Descente des charges :
IV.4.5. Exemple de calcul :61
IV.4.6. Calcul de ferraillage :63
IV.4.7. Schéma de ferraillage :64
IV.4.8. Vérification à L'ELU :65
IV.4.9. Vérification à L'ELS :65
IV.4.10. Etude de poutre palière :
IV.4.11. Schéma de ferraillage :
IV.4.12. Vérification à L'ELU :
IV.4.13. Vérification à L'ELS :70
IV.4.14. Vérification de la flèche:71
IV.5. Etude L'ascenseur:72
IV.5.1. Définition :
IV.5.2. Etude de l'ascenseur :
IV.5.3.Descente de charges :
IV.5.4. Evaluation du moment de Dalle machine :
IV.5.5. Vérification à L'ELU :84
IV.6. Conclusion:

V.1. Introduction:	86
V.2. Objectif de l'étude dynamique:	86
V.3. Modélisation de la structure:	86
V.4. Classification de l'ouvrage :	87
V.5. Methode de calcul:	88
V.5.1. la méthode statique équivalente :	88
V.5.2. Conditions d'application de la méthode statique équivalente :	88
V.5.3. Méthode d'analyse modale spectrale :	92
V.6.Vérification de la période	95
V.6.1. Centre de gravité et centre de rigidité :	96
V.7. Vérification de la résultante des forces sismiques :	97
V.8. Vérification des déplacements inter-étages:	97
V.9. Vérification de l'effort normal réduit:	98
V.10. Vérification au renversement:	98
V.11. Justification vis-à-vis de l'effet $P-\Delta$:	100
V.12. Conclusion	101
Chapitre VI : Etude des éléments structuraux	
VI.1. Introduction:	102
VI.2. Combinaison des charges :	102
VI.3. Ferraillage des poutres :	102
VI.3.1. Introduction	102
VI.3.2. Combinaisons:	103
VI.3.3. Recommandations des RPA 99 Version 2003 :	103
VI.3.4. Sollicitations de calcul sur poutre :	103
VI.3.5. Ferraillage longitudinal :	104
VI.3.6. Calcul des armatures transversales :	105
VI.3.7. Vérifications nécessaires	106
VI.3.8. Schéma de ferraillage des poutres	108
VI.4. Ferraillage des poteaux :	109
VI.4.1.Recommandation du RPA 99 version 2003:	109
VI.4.2. Calcul du ferraillage des poteaux	109
VI.4.3. Vérification nécessaires :	117
VI.4.4. Schéma de ferraillage des poteaux :	118

VI.5. Etude des voiles :	118
VI.5.1 Introduction:	118
VI.5.2. Les combinaisons de calcul :	119
VI.5.3. Ferraillage du Voile 1	120
VI.5.4. Ferraillage du Voile 02	123
VI.5.4.2. Vérification de l'effort limite ultime	124
VI.5.5. Schéma de ferraillage des voiles :	127
VI.6. Conclusion:	127
Chapitres VII Etude de l'infrastructure	
VII.1. Introduction :	128
VII.2. Eudes des fondations	128
VII.2. 1. Choix de fondation	128
VII.2. 2. Vérification de la semelle isolée	128
VII.23. Vérification des semelles filantes	129
VII.2. 4. Etude du radier :	130
VII.2.5. Schéma de ferraillage du radier	136
VII.3. Etude des nervures :	136
VII.3.1. Calcul du ferraillage des nervures:	136
VII.3.2. Vérifications à ELU	138
VII.3.3. Schéma de ferraillage de la nervure:	138
Conclusion générale	140
Bibliographie	

Annexe

Plans architecturaux et génie civil

Liste des tableaux

Tableau I.1: La contrainte limite ultime de cisaillement	6
Tableau II.2 : Charges permanente du plancher terrasse inaccessible	12
Tableau II.3 : Charges permanente du plancher d'étage courant	12
Tableau II.4 : Charges permanente du Plancher en dalle pleine	12
Tableau II.5 : Charges permanente des murs extérieurs (double cloison)	13
Tableau II.6 : Charges permanente des murs intérieurs (simple cloison)	13
Tableau II.7 : Charges d'exploitation	13
Tableau II.8 : Dégression des surcharges	15
Tableau II.9 : Pré dimensionnement des poteaux centraux.	18
Tableau II.10 : Pré dimensionnement des poteaux de rive	18
Tableau II.11 : Pré dimensionnement des poteaux d'angle	19
Tableau III-1 : Charges et combinaisons des poutrelles	22
Tableau III-2: Récapitulation des moments et les efforts tranchants (ELU)	26
Tableau III-3: Récapitulation des moments et les efforts tranchants (ELS)	27
Tableau III-4 : Récapitulation des moments et les efforts tranchants (ELU)	27
Tableau III-5 : Récapitulation des moments et les efforts tranchants (ELS)	28
Tableau III-6: Récapitulation des sollicitations de la terrasse.	32
Tableau III-7: Tableau des charges (terrasse).	37
Tableau III-8 : Récapitulation des sollicitations de l'étage courant	38
Tableau III-9: Tableau des charges (Etage courant)	42
Tableau III-10 : Récapitulation des sollicitations a L'ELU et ELS	45
Tableau III-11 : Récapitulation des résultats de ferraillage	47
Tableau. IV.1: Descente des charges (balcon)	56
Tableau. IV.2:Charge concentrée.	56
Tableau IV.3 : Evaluation des charges de la paillasse	60
Tableau IV.4 : Evaluation des charges du palier	60
Tableau IV.5: Combinaison de calcul.	61
Tableau IV.6 :Les sollicitations maximales de l'escalier	63
Tableau IV.7:sollicitations agissant sur la poutre palière	67
Tableau IV.8 : caractéristiques des câbles	75
Tableau IV.10 :Tableau récapitulatif des résultats	80
Tableau IV.11 : Tableau des Moments max en travée et en appuis	82
Tableau IV.12: Récapitulation des résultats de ferraillage	83
Tableau V-1: Les résultats des charges verticales sur les poteaux et voiles	89
Tableau V-2 : Valeurs des pénalités Pq	90

Tableau V-3: Résultat dynamique de la première disposition	93
Tableau V-4: Résultat dynamique de la2émedisposition	94
Tableau V-5: Résultat dynamique de la 3 émedisposition	94
Tableau V-6: Les résultats des excentricités théoriques et additionnelles	
Tableau V-7: Vérification de la résultante des forces sismiques	97
Tableau IV. 8: Vérification des déplacements inter-étage suivant x et y :	97
Tableau V-9: Vérification de l'effort normal réduit du poteau	98
Tableau V-10: Vérification au renversement selon X	99
Tableau V-11: Vérification au renversement selon Y	100
Tableau V-12: Vérification à l'effet P-Δ sens X-Y	101
Tableau VI.1:Sollicitations de calcul sur poutre	103
Tableau VI.2:Vérification de la condition non fragilité	104
Tableau VI.3: Ferraillage des poutres principales et secondaires	105
Tableau VI.4: Vérification au cisaillement	107
Tableau VI.5 : Vérification de l'état limite de compression du béton :	107
Tableau VI.6:Vérification de la flèche	107
Tableau VI.7: Coefficient de sécurité et Caractéristiques mécaniques	110
Tableau VI.8: Efforts internes	111
Tableau VI.9:ferraillages longitudinales des poteaux	115
Tableau VI.10: Les armatures transversales des poteaux	116
Tableau VI.11 : Vérification de cisaillement	117
Tableau VI.12 : Les résultats de calcul sont résumés dans le tableau ci-dessous	118
Tableau VI.13: Les résultats des Contraintes aux extrémités (voile 01 sens y-y)	119
Tableau VI-14: Les résultats des Contraintes aux extrémités (voile 02 sens x-x)	119
Tableau VII.1 : Tableau des moments fléchissant en travées et en appuis le sens X-X	134
Tableau VII.2 : Tableau des moments fléchissant en travées et en appuis le sens Y-Y	134
Tableau VII.3:Calcul du ferraillage de la dalle pleine sur le sens X-X	135
Tableau VII.4 : Calcul du ferraillage de la dalle pleine sur le sens Y-Y	135
Tableau VII.5:Ferraillages du radie	135
Tableau VII.6: Les sollicitations de la nervure du radier	136
Tableau VII.7:Calcul du ferraillage des nervures sur le sens X-X	137
Tableau VII.8:Calcul du ferraillage des nervures le sens Y-Y	137
Tableau VII.9 : Choix des barres des nervures	137
Tableaudesarmatures(encm²)	144

Liste des Figures

Figure I-1 : Diagramme contrainte-déformation du béton à l'ELU	5
Figure I-2 : Diagramme des contraintes du béton à l'ELS	5
Figure I-3 : Diagramme contrainte déformation de l'acier	7
Figure II-1: Loi de dégression	14
Figure II-2: Schéma de Poteau Central	16
Figure II-3: Coupe de voile	20
Figure III-1: Schéma d'une section en T.	21
Figure III-2 : 1er type de poutrelle à 2 travées.	22
Figure III-3: Schéma de ferraillage des poutrelles	43
Figure III-4: Schéma de ferraillage de dalle pleine	49
Figure IV-1: Coupe verticale sur l'acrotère	50
Figure IV-2: Schéma de ferraillage de l'acrotère	55
Figure IV-3 : Schéma de ferraillage du balcon	58
Figure IV.4 : Coupe descriptive d'un escalier	59
Figure IV.5 : Schéma statique de la charge appliquée sur la Paillasse et le palier (ELU)	61
Figure IV.6 : Disposition des armatures.	64
Figure IV.7 : Schéma statique de la charge appliquée sur la poutre de palier (ELU)	67
Figure IV.8: Schéma statique de la charge appliquée sur la poutre de palier (ELS)	67
Figure IV.9 : Schéma de ferraillage poutre palier	70
Figure IV.10.: Dimensions de l'ascenseur	72
Figure IV.11 : Ascenseur électrique	73
Figure IV-12:Le coefficient de sécurité des câbles	75
Figure IV.13.: Schéma de la surface d'impact	76
Figure IV-14: Schéma de la dalle	79
Figure V.1: Modèle 3D de la structure	87
Figure V-2: Limites des décrochements en plan	88
Figure V-3: Limites des décrochements en élévation	88
Figure V-4: Distribution des charges verticales sur les poteaux et voiles	90
Figure V.5.1er Disposition des voiles	93
Figure V.6.2éme Disposition des voiles	93

Figure .V.7. Disposition des voiles	94
Figure V-8: Représentation du mode 1 (Direction Y).(T=0.57s)	95
Figure V-9: Représentation du mode 2 (Direction Z)(T=0.51s)	95
Figure V-10: Représentation du mode 3 (Direction X) (T=0.35s)	96
FigureVI-1:Schéma de ferraillage des poutres	108
Figure VI-2:Schéma de ferraillage des poteaux	118
Figure VI-3:Schéma de ferraillage des voiles (Sens y-y)	127
Figure VI-4:Schéma de ferraillage des voiles (Sens X-X)	127
Figure VII-1: schéma de la Semelle isolé.	128
Figure VII-2: Schéma de la Semelle filante	129
Figure VII-3: Distribution des contraintes à l'ELS	131
Figure VII-4: distribution des contraintes à L'ELU	132
Figure VII-5:Distribution des contraintes à ACC	132
Figure VII-6:Distribution des contraintes de cisaillement suivant x-x	133
Figure VII-7:Distribution des contraintes de cisaillement suivant Y-Y	133
Figure VII-8 : Ferraillage du radier	136
Figure VII-9 : Ferraillage de la nervure	139

Liste des notions

- A : Coefficient d'accélération de zone, Coefficient numérique en fonction de l'angle de frottement.
- A_s: Aire d'une section d'acier.
- A_t: Section d'armatures transversales.
- B: Aire d'une section de béton.
- φ : Diamètre des armatures.
- φ : Angle de frottement.
- C: Cohésion.
- q : Capacité portante admissible.
- Q : Charge d'exploitation.
- γ_s: Coefficient de sécurité dans l'acier.
- γ_b: Coefficient de sécurité dans le béton.
- σ_s: Contrainte de traction de l'acier.
- σ_{bc} : Contrainte de compression du béton.
- $\overline{\sigma}_s$: Contrainte de traction admissible de l'acier.
- $\overline{\sigma_{bc}}$: Contrainte de compression admissible du béton.
- τ_n : Contrainte ultime de cisaillement.
- τ : Contrainte tangentielle.
- β: Coefficient de pondération.
- σ sol : Contrainte du sol
- G : Charge permanente.
- ξ: Déformation relative.
- V₀: Effort tranchant a la base.
- N_{ser}: Effort normal pondéré aux états limites de service.
- N_u: Effort normal pondéré aux états limites ultime.
- Tu: Effort tranchant ultime.
- T: Effort tranchant, Période.
- S_t: Espacement.
- λ: Elancement.
- e: Epaisseur, Indice des vides.
- P: Force concentrée.
- F: Flèche.
- F: Flèche admissible.
- L: Longueur ou portée.
- L_f: Longueur de flambement.
- W: Poids total de la structure.
- d: Hauteur utile.
- F_e: Limite d'élasticité de l'acier.
- M₁₁: Moment à l'état limite ultime.
- M_{ser}: Moment à l'état limite de service.
- M_t: Moment en travée.
- M_a: Moment sur appuis.
- M₀: Moment en travée d'une poutre reposant sur deux appuis libres.
- I: Moment d'inertie.
- F_i: Flèche due aux charges instantanées.
- F_v : Flèche due aux charges de longue durée.
- I_{fi}: Moment d'inertie fictif pour les déformations instantanées.

- I_{fv}: Moment d'inertie fictif pour les déformations différées.
- M: Moment, Masse.
- E_{ij}: Module d'élasticité instantané.
- E_{vj}: Module d'élasticité différé.
- E_s: Module d'élasticité de l'acier
- f_{c28}: Résistance caractéristique à la compression du béton à 28 jours d'âge.
- f_{t28}: Résistance caractéristique à la traction du béton à 28 jours d'âge.
- f_{cj} : Résistance caractéristique à la compression du béton à j jours d'âge.
- K: Coefficient de raideur de sol.
- Y: Position de l'axe neutre.
- I0: Moment d'inertie de la section totale homogène.
- E : effort de séisme.
- η : Coefficient de fissuration.

Introduction générale

L'étude des structures est une étape clé et un passage obligatoire dans l'acte de bâtir. Faire cette étude vise à mettre en application les connaissances acquises durant les années de formation.

Mon projet est une étude détaillée d'une structure en béton armé à usage multiple, composée rez-de-chaussée et 9 étages contreventé par voiles et portiques. Le bâtiment étant irrégulier de par sa forme et ses fonctionnalités, il est nécessaire de faire une étude sismique à l'aide de logiciel (robot structural 2019). Le but de cette étude est donc de modéliser la structure afin d'effectuer les analyses modale et sismique nécessaires. Toute étude de projet d'un bâtiment, a pour but d'assurer la stabilité et la sécurité des structures en fonction de la résistance des différents éléments structuraux (poteaux, poutres, voiles...) aux différentes sollicitations (compression, flexion...).

Ce travail est composé de sept chapitres :

- Le Premier chapitre consiste à la présentation du bâtiment, la définition des différents éléments et le choix des matériaux à utiliser.
- Le deuxième chapitre présente le pré dimensionnement des éléments structuraux (tel que les poteaux, les poutres et les voiles).
- Le 3ème chapitre consiste à étudier le plancher corps creux et plancher à dalle pleine.
- Le 4éme chapitre présente le calcul des éléments secondaires (l'acrotère, les escaliers, les balcons et ascenseurs).
- Le 5ème chapitre représente une étude sismique effectuée à l'aide d'un logicielrobot structural 2019 qui a permis l'analyser notre structure.
- Le 6ème chapitre présente le calcul des ferraillages des éléments structuraux, par les résultats obtenus du logiciel robot structural 2019.
- Le 7ème chapitre concerne l'étude de l'infrastructure

Finalement, ce projet se termine par une conclusion générale qui résume tout ce qui a été fait, et une série des plans architecturaux et génie civil qui vient d'apporter plus de détailles.

CHAPITRE I : Présentation de l'ouvrage

I.1 Introduction:

L'étude d'un bâtiment en béton armé nécessite des connaissances et des compétences de base, lesquelles l'ingénieur doit prendre en considération afin de justifier ses choix de conception et d'étude, et cela pour obtenir une structure à la fois sécuritaire et économique. A cet effet, on consacre ce chapitre pour donner quelques rappels et description de notre cas d'étude.

I.2 Présentation de l'ouvrage :

Notre projet consiste à étudier un bâtiment en béton armé en (R+9) à usage multiple qui sera implantée à ville de Saida, classée en zone de faible sismicité (zone I), et de groupe d'usage 2 d'après les Règles Parasismiques Algériennes « RPA99/version 2003 ».

Le projet entre dans le cadre d'une construction qui comprend :

- Le RDC à usage commercial.
- Les étages courants à usage d'habitation.

I.3 Caractéristique géométrique :

Le bâtiment à pour dimensions les cotes suivantes :

	Longueur totale de bâtiment :	30.8 m
\triangleright	Largeur totale de bâtiment :	. 18.4 m
\triangleright	Hauteur totale de bâtiment :	.30.60 m
\triangleright	Hauteur de RDC:	3.06 m
\triangleright	Hauteur d'étage courant :	3.06 m

I.4 Caractéristique du site :

D'après les résultats du rapport géotechnique, on peut Souligner les conclusions et les recommandations suivantes :

- Une contrainte du sol de 2 bars obtenus à partir d'une profondeur d'ancrage de 4 m.
- Le sol est classé en catégorie S2 (sol très dense) selon sa nature géotechnique.

I.5 Caractéristique structurales :

Le choix de la structure portante et de contreventement se fera après vérification des recommandations de la règlementation en vigueur (la RPA).

C'est une structure en béton armé avec un système de contreventement mixte (poteaux poutres) et voiles.

I.5.1 Planchers:

Les planchers sont réalisés Corps creux et une dalle de compression, pour RDC et étages courants.

.I.5.2 Maçonnerie :

Les maçonneries seront réalisées comme suite :

- Les murs extérieurs : en doubles cloisons en briques creuses de (15cm et 10cm) Séparées par un vide d'air de 5 cm.
- Les murs intérieurs sont faits en simple cloison de 10 cm d'épaisseur.

I.5.3 Revêtement:

- Enduit en plâtre pour les plafonds.
- Enduit en ciment pour les cloisons extérieures et les murs.
- Revêtement en carrelage pour les planchers.
- Le plancher terrasse sera recouvert par une étanchéité multicouche imperméable.

I.5.4 Isolation:

L'isolation acoustique est assurée par la masse du plancher en corps creux et par le vide d'air des murs Extérieurs.

L'isolation thermique est assurée par les couches de liège ou polystyrène pour le plancher Terrasse ainsi que par les vides d'air des cloisons double parois en brique creuses.

L5.5 Les Escaliers:

Un escalier est une construction permettant de relier différents niveaux d'un bâtiment. Il est Constitué d'une succession de marches horizontales et de paliers de repos, permettant à l'utilisateur de monter ou descendre en toute sécurité, Dans le cadre de notre ouvrage, les escaliers seront équipés de deux volées et d'un seul palier.

I.5.6 Cage d'ascenseur :

L'ascenseur est un dispositif mécanique de transport vertical conçu pour faciliter la mobilité entre différents niveaux d'un bâtiment. Il est généralement composé d'une cabine fermée qui se déplace le long de rails verticaux, et est propulsée par une machinerie motorisée.

I.5.7 Acrotère:

Un acrotère est une structure surélevée en maçonnerie ou en béton, généralement située à La bordure d'un toit-terrasse d'une hauteur de 60 cm, qui sert à retenir les matériaux de couverture et à empêcher l'eau De pluie de déborder.

I.5.8 Terrasse:

Dans notre bâtiment, la terrasse est inaccessible, c'est-à-dire qu'elle n'est pas destinée à être utilisée pour des activités ou des déplacements fréquents. En plus de servir de couverture elle est destinée principalement recevoir les équipements de ventilation ou de climatisation.

I.5.9 Balcon:

Les balcons sont des éléments non porteurs qui se composent d'une dalle pleine en béton armé.

I.6 Caractéristiques mécaniques des matériaux :

I.6.1 Le béton :

Le béton est un matériau utilisé pour construire de nombreux type d'ouvrage. Il est constitué par le mélange de ciment, d'eau et de granulat (sable, gravier) à proportions étudiées amélioré dans certains cas par des adjuvants.

Résistance de béton à la compression :

Lorsque la sollicitation s'exerce sur un béton d'âge j < 28 sa résistance à la compression sera calculée comme suite selon l'article 4.1.1 BAEL91 :

$$f_{cj} = \frac{j}{4,76 + 0,83j} f_{c28} \text{ Pour } f_{c28} \le 40Mpa$$

•
$$f_{cj} = \frac{j}{1,4+0,95j} f_{c28}$$
 Pour $f_{c28} \ge 40Mpa$

Pour notre projet d'étude on adoptera un béton de $f_{c28} = 25 Mpa$

> Résistance de béton à la traction :

La résistance caractéristique à la traction de béton a j jours est définie selon l'article 4.1.1 BAEL91 par la relation suivante :

•
$$f_{ij} = 0,6+0,06 f_{cj} \text{ Pour } f_{c28} \le 60 Mpa$$

Cela donne pour notre cas étude : $f_{t28} = 2,1Mpa$

- **Les contraintes limites :**
- Contraintes limites ultime à la compression :

Pour le calcul à l'ELU on adoptera le diagramme parabole-rectangle suivant : $f_{bu} = \frac{0.85 f_{c28}}{\theta.\gamma_b}$

 f_{bu} : Contrainte ultime du béton en compression.

 γ_h : Coefficient de sécurité.

 $\gamma_b = 1,5$ en situation durable ou transitoire. $\rightarrow f_{bu} = 14,17 Mpa$

 $\gamma_b = 1,15$ en situation accidentelle. $\rightarrow f_{bu} = 18,48 Mpa$

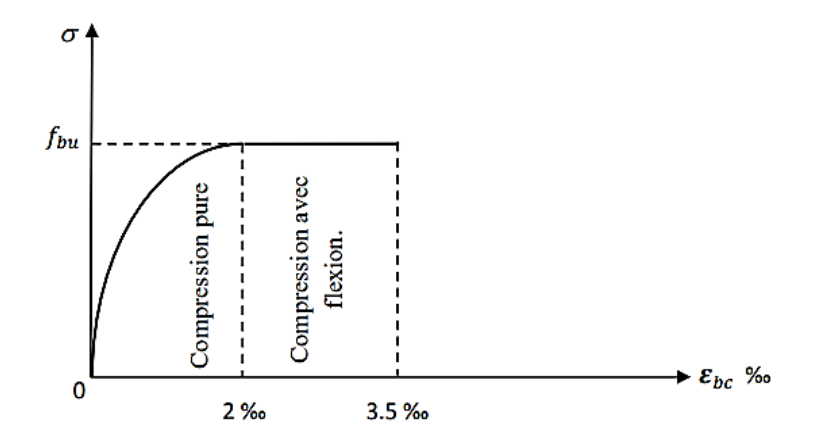


Figure I-1: Diagramme contrainte-déformation du béton à l'ELU

• Contrainte limite de service à la compression :

Le diagramme des contraintes à l'ELS donné par la loi : $\sigma_{bc} = 0.6 f_{c28}$.

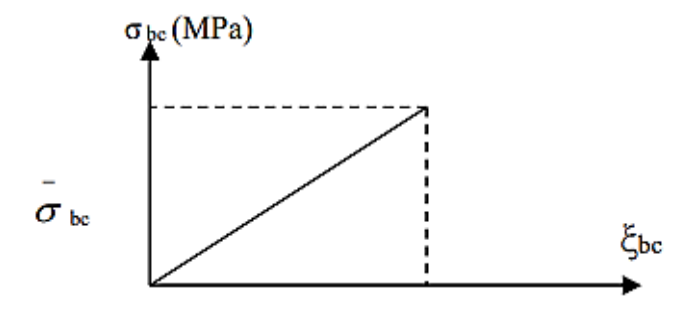


Figure I-2: Diagramme des contraintes du béton à l'ELS

Dans notre étude on prend $\sigma_{bc} = 15Mpa$

• Contrainte ultime de cisaillement :

D'après l'article 13.3.2 BAEL91 La contrainte ultime de cisaillement est limitée par :

$$\tau = \frac{v_u}{b_0.d} \le \tau_{adm}$$

Tableau I.1: La contrainte limite ultime de cisaillement

	Cadre de 90°(droit)	Cadre de 45°
Fissuration peu préjudiciable	$\overline{\tau} = \min(0, 2\frac{f_{cj}}{\gamma_b}; 5Mpa)$	$\overline{\tau} = \min(0, 27 \frac{f_{cj}}{\gamma_b}; 7Mpa)$
Fissuration préjudiciable Où très préjudiciable	$\overline{\tau} = \min(0.15 \frac{f_{cj}}{\gamma_b}; 4Mpa)$	$\overline{\tau} = \min(0, 27 \frac{f_{cj}}{\gamma_b}; 7Mpa)$

Module de déformation longitudinale de béton :

On distingue deux modules de déformation longitudinale :

Le module de déformation instantané :

Le module de déformation instantané pour les charges de durée d'application inférieure à 24 heures est :

$$E_{ij} = 11000\sqrt[3]{f_{cj}} \ f_{c28} = 25Mpa \rightarrow E_{t28} = 32164, 20Mpa$$

Le module de déformation différé:

Le module de déformation différé pour les charges de longue durée d'application est :

$$E_{vj} = 3700 \sqrt[3]{f_{cj}} \quad f_{c28} = 25Mpa \rightarrow E_{v28} = 10818,90Mpa$$

Coefficient de poisson :

C'est le rapport entre la déformation transversale et le raccourcissement unitaire de déformation longitudinale.

- v = 0 Pour le calcul des sollicitations à l'ELU (béton non fissuré).
- v = 0.2 Pour le calcul des déformations à l'ELS (béton fissuré).

I.6.2 Acier:

L'acier est un alliage de fer et de carbone en faible pourcentage, son rôle est de reprendre les efforts de traction qui ne peuvent pas être reprise par le béton.

> Type d'acier :

Armature Longitudinales:

- Barres à haute adhérence HA → FeE400
- Treillis soudé TS→ FeE500

Armature Transversales:

- Haute adhérence HA → FeE400
- Rond Lisse RL→ FeE235

> Contrainte limite ultime (ELU) :

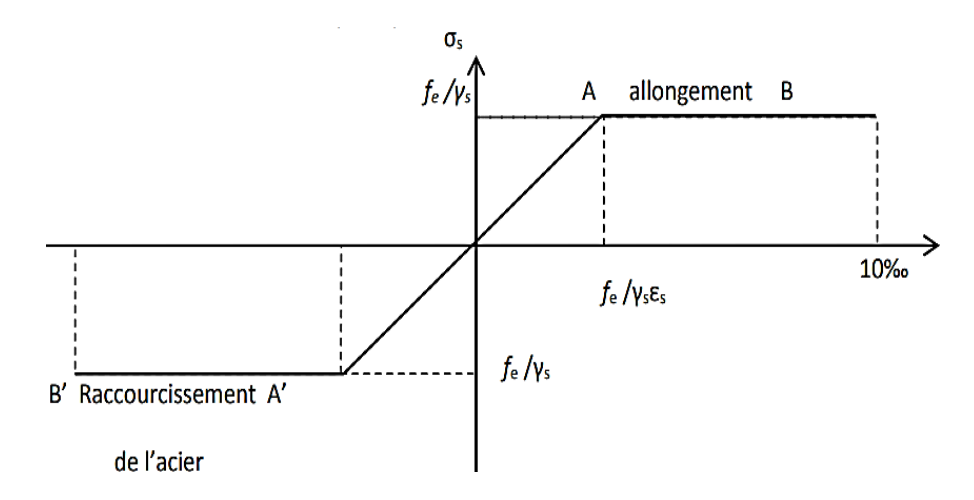


Figure I-3: Diagramme contrainte déformation de l'acier

$$\sigma_s = \frac{f_e}{\gamma_s} \rightarrow \text{Aciers naturels}$$

 γ_s : Coefficient de sécurité dépend de type de situation.

 $\gamma_s = 1,15$ en situation courante

 $\gamma_s = 1$ en situation accidentelle

> Contrainte limite de service (ELS) :

- Fissuration peu préjudiciable : dans ce cas aucune vérification
- Fissuration préjudiciable : $\sigma_{st} \leq \bar{\sigma}_{st} = \min(\frac{2f_e}{3};110\sqrt{\eta.f_{tj}})$
- Fissuration très préjudiciable $\sigma_{st} \leq \overline{\sigma}_{st} = \min(\frac{f_e}{2}; 90\sqrt{\eta \cdot f_{tt}})$

η: Coefficient de fissuration

I.7 Sollicitation et Combinaison de calcul

Les sollicitations sont des efforts provoqués en chaque point et sur chaque section de la structure par les efforts et actions auxquelles elle soumise, elles sont exprimées sous forme des forces (des efforts normaux ou tranchants), et de moments (de flexion, de torsion).

- Etat limite ultime : D'après le BAEL91/99 ELU :1,35*G* +1,5*Q*
- Etat limite de service : D'après le BAEL91/99 ELS : G + Q

• Situation accidentelle : D'après le RPA99 V2003

$$G + Q \pm E$$
$$0,8G \pm E$$
$$G + Q \pm 1,2E$$

I.8 Règlements et normes utilisés :

Les règlements utilisés sont :

- Règlement Parasismique Algérienne (RPA99/version 2003).
- Code du Béton Armé (CBA93).
- Règles du Béton Armé aux Etats Limites (BAEL91/99).
- Document Technique Règlementaire (DTR BC.2.2)

I.9 Conclusion:

Dans ce chapitre, nous avons présenté la description de notre projet avec toutes ses caractéristiques, nous avons aussi donné les caractéristiques des matériaux utilisées ainsi que les codes et les règlements en vigueur. Le chapitre suivant fera l'objet du pré dimensionnement de tous les éléments de la structure de notre ouvrage.

CHAPITRE II: Pré-dimensionnement des éléments

II.1 Introduction:

Le pré-dimensionnement des éléments a pour but de déterminer l'ordre de grandeur des différents éléments constituant le bâtiment conformément aux règlements de dimensionnement des éléments en béton en vigueur (BAEL 91/99, CBA...etc.) ainsi qu'aux règlements parasismique régionaux à savoir le RPA V99/2003 pour notre cas d'étude.

II.2 Pré-dimensionnement Les planchers :

Les planchers sont des plans horizontaux séparent deux niveaux d'un bâtiment, ils assurent la transmission des charges verticales aux éléments structuraux.

II.2.1 Planchers à corps creux :

Composés de corps creux, avec une dalle de compression armé par un treillis soudé. L'épaisseur du plancher est déterminée à partir de la condition de la flèche:

$$\frac{L_{max}}{25} \le h_t \le \frac{L_{max}}{20}$$

L_{max} : longueur maximale entre extrémitéd'appuis selon la disposition des poutrelles

 \boldsymbol{h}_{t} : hauteur totale du plancher

$$L_{\text{max}} = 4,10 \text{ m}$$

$$\frac{410}{25} \le h_t \le \frac{410}{20}$$
 $16.4 \le h_t \le 20.5$

Donc on adoptera des planchers à corps creux avec une hauteur de $h_t = 20 \text{ cm}$

Avec:

 $h_1 = 16 \text{ cm}$: hauteurdecorpscreux

 $h_0 = 4 \text{ cm}$: hauteurdedalledecompression

II.2.2 Planches à dalles pleines :

Ce type de plancher est le plus utilisé pour les bâtiments industriels car ils peuvent résister à des surcharges d'exploitations importantes ($Q \ge 2,5 \text{ KN/m}^2$).

L'épaisseur des dalles pleine est déterminée à partir du critère suivant :

> Condition de résistance à la flexion :

- Dalle reposant sur 3 à 4 appuis : $\frac{L_x}{50} \le e \le \frac{L_y}{40}$ pour les dalles continues avec $0.4 \le \alpha \le 1$
- Dalle reposant sur 2 appuis : $\frac{L_x}{35} \le e \le \frac{L_y}{30}$ pour les dalles continues avec $\alpha \le 0.4$

Avec :
$$\alpha = \frac{L_x}{L_v}$$

e : L'épaisseur des dalles pleine

 L_x : La plus petite portée du panneau de dalle

 L_{ν} : La plus grande portée du panneau de dalle

Tableau II.1: Dimensionnement du plancher dalle pleine

$L_x(cm)$	$L_y(cm)$	α	$\frac{L_x}{50} \le e \le \frac{L_y}{40}$	Le choix (cm)
400	500	0,8	$8 \le e \le 12,5$	12

> Condition de résistance au coupe-feu :

 $e \ge 7$ cm : Pour une heure de coupe-feu

 $e \ge 11$ cm: pour deux heures de coupe-feu

Donc on prend : e = 12cm

> Condition d'isolation acoustique :

 $e \ge 16cm$ (L'isolation contre le bruit d'impacte2500e $\ge 400kg/m2$)

 $e \ge 14cm$ (L'isolation contre le bruit aérien2500e $\ge 350kg/m2$)

Finalement on adopte une épaisseur égale e = 16 cm pour les plancher dalle pleine

II.3 Pré-dimensionnement Les poutres :

Sont des éléments horizontaux en béton armée rectangulaire destiné à reprendre les efforts et les transmettre aux poteaux.

II.3.1 Les poutres principales :

Elles sont perpendiculaires aux poutrelles selon BAEL91/99 le pré dimensionnement se

faiton Utilisant la condition suivante : $\frac{L_{max}}{15} \le h \le \frac{L_{max}}{10}$

 L_{max} : longueur maximale entre extrémité

$$L_{max} = 4.20 \ cm$$

$$\frac{420}{15} \le h \le \frac{420}{10} \Rightarrow 28 \le h \le 42 \Rightarrow h = 40 \ cm$$

 $0.3h \le b \le 0.7h \Rightarrow 0.4 \times 40 \le b \le 0.8 \times 40 \Rightarrow 16 \le b \le 32 \Rightarrow b = 30 \text{ cm}$

• Vérification des conditions par le RPAV99/2003:

$$h = 40 \text{ cm} \ge 30 \text{ cm}....\text{CV}$$

$$b = 30 \text{ cm} \ge 20 \text{ cm}....\text{CV}$$

$$\frac{h}{b} = 1,33 \le 4...$$
CV

Donc on adopte pour les poutres principales une section de : $(b \times h) = (30 \times 40)cm^2$

II.3.2 Les poutres secondaires :

Elles sont parallèles aux poutrelles selon BAEL91/99 le pré dimensionnement se fait on utilisant la condition suivante : $\frac{L_{\text{max}}}{15} \le h \le \frac{L_{\text{max}}}{10}$

 L_{max} : longueur maximale entre extrémité

$$L_{max} = 410 \ cm$$

$$\frac{410}{15} \le h \le \frac{410}{10} \Rightarrow 28 \le h \le 42 \Rightarrow h = 40 \ cm$$

$$0.3h \le b \le 0.7h \Rightarrow 0.4 \times 40 \le b \le 0.8 \times 40 \Rightarrow 16 \le b \le 32 \Rightarrow b = 30 \text{ cm}$$

• Vérification des conditions par le RPA V99/2003 :

$$h = 40 \text{ cm} \ge 30 \text{ cm}....\text{CV}$$

$$b = 30 \text{ cm} \ge 20 \text{ cm}.....\text{CV}$$

$$\frac{h}{b} = 1,33 \le 4....$$
CV

Donc on adopte pour les poutres secondaires une section de : (b×h) = (30× 40) cm^2

II.4 Evaluation des charges et des surcharges :

II.4.1 Les charges permanentes :

> Plancher terrasse inaccessible :

Tableau II.2: Charges permanente du plancher terrasse inaccessible

N°	Désignation	Ep (m)	Masse volumique (KN / m^3)	Poids (KN/m^2)
1	Gravillon de protection roulé	0,05	17	0,85
2	Etanchéité multicouche	0,02	6	0,12
3	Forme de pente en béton léger	0,10	20	2
4	Isolation thermiqueenliege	0,04	4	0,16
5	Plancher à corps creux	(0,16+0,04)		2,85
6	Enduit en plâtre	0,02	10	0,20
			Charge permanent G	6,18

> Plancher étage courant :

Tableau II.3: Charges permanente du plancher d'étage courant

N°	Désignation	Ep (m)	Masse volumique (KN / m^3)	Poids (KN / m^2)
1	Carrelage	0,02	20	0,40
2	Mortier de ciment	0,02	20	0,40
3	Lit de sable	0,02	18	0,36
4	Cloisons	0,10	9	0,90
5	Plancher à corps creux	(0,16+0,04)		2,85
6	Enduit en plâtre	0,02	10	0,20
			Charge permanent G	5,11

> Plancher en dalle pleine :

Tableau II.4: Charges permanente du Plancher en dalle pleine

N°	Désignation	Ep (m)	Masse volumique (KN / m^3)	Poids (KN/m^2)
1	Carrelage	0,02	20	0,40
2	Mortier de ciment	0,02	20	0,40
3	Lit de sable	0,02	18	0,36
4	Cloisons	0,10	9	0,90
5	Plancher endallepleine	0,16	25	5
6	Enduit en plâtre	0,02	10	0,20
			Charge permanent G	6,26

CHAPITRE II:

Cloison double paroi (extérieur) :

Tableau II.5 : Charges permanente des murs extérieurs (double cloison)

N°	Désignation	Ep (m)	Masse volumique (KN / m^3)	Poids (KN/m^2)
1	Enduitenciment	0,02	18	0,36
2	Briquescreuses	0,15	9	1,35
3	Lame d'air	0,05		
4	Briquescreuses	0,10	9	0,90
5	Enduit en plâtre	0,02	10	0,20
			Charge permanent G	2,81

Cloison simple paroi (intérieur) :

Tableau II.6: Charges permanente des murs intérieurs (simple cloison)

N°	Désignation	Ep (m)	Masse volumique (KN / m^3)	Poids (KN/m^2)
1	Enduit en plâtre	0,02	10	0,20
4	Briquescreuses	0,10	9	0,90
5	Enduit en plâtre	0,02	10	0,20
_			Charge permanent G	1,30

II.4.2 Les charges d'exploitation :

Tableau II.7: Charges d'exploitation

Etage	Usage	Q (KN/m²)
Terrasse	Terrasse inaccessible	1
Les étages courant	Habitation	1,50
RDC	Commerciale	2,50

II.5 Pré dimensionnement des poteaux :

Ce sont des éléments en béton armé, rectangulaire et circulaire, destiné à transmettre des charges aux fondations, le pré dimensionnement des poteaux se fait à la compression centrée selon les règles du BAEL91 (art B.8.4.1), en appliquant les critères de résistance et le critère de stabilité de forme et suivant les exigences du RPA2024.

II.5.1 Descente des charges :

L'application de la loi de dégression : Comme il est rare que toutes les charges d'exploitation agissent simultanément, on applique pour leur détermination la loi de dégression qui consiste à réduire les charges identiques à chaque étage de 10% jusqu'à 0,5Q (DTR B.C-2.2).

Ce qui donne :
$$Q_0 + \frac{3+n}{2n}(Q_1 + Q_2 + \dots + Q_n)$$
.

Avec:

- n: Nombre d'étage on démarre de haut en bas (le premier étage est "0").
- Q_0 : La charge d'exploitation sur la terrasse.
- Q_1 , ... Q_n : Les charges d'exploitations des planchers respectifs.

A l'aide de Lois de dégression l'évaluation des charges d'exploitation sera effectuée.

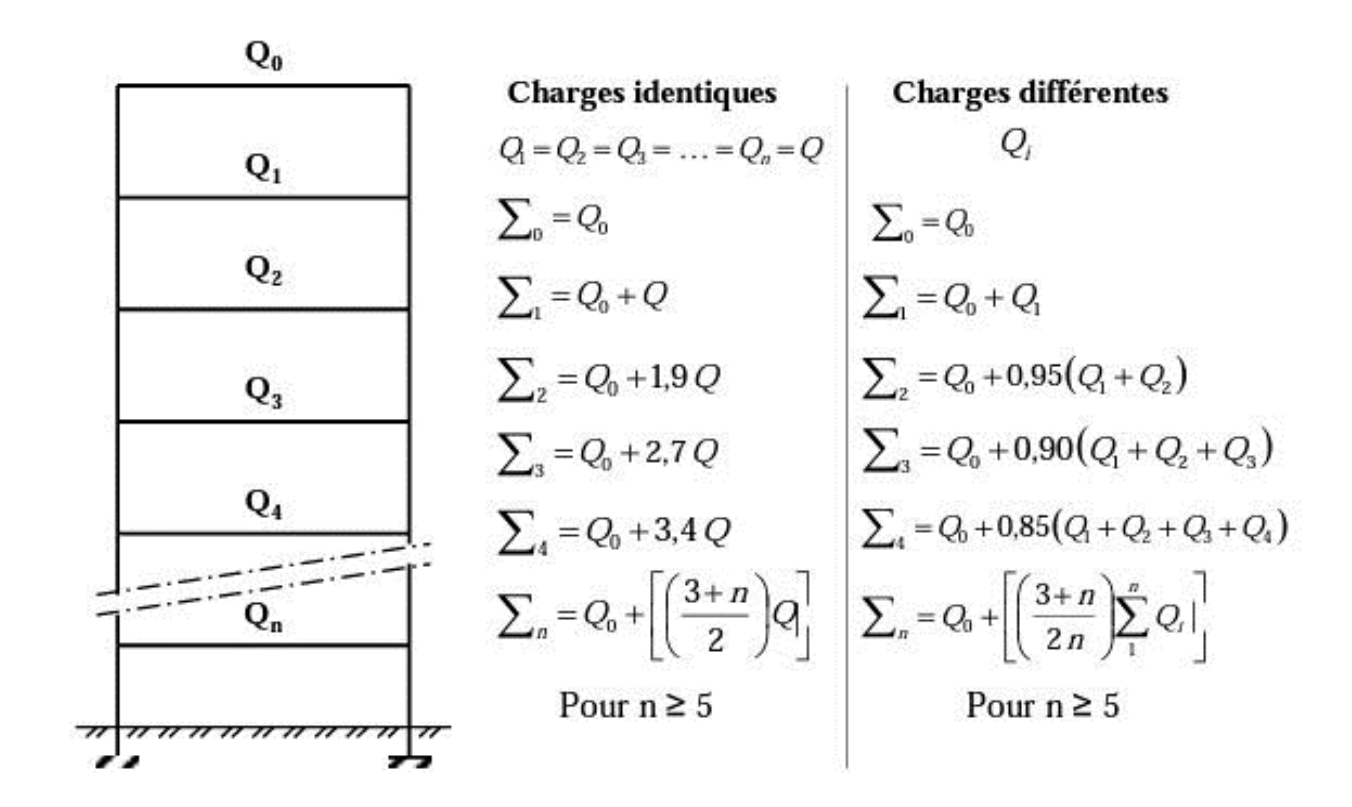


Figure II-1: Loi de dégression

iv de plancher	Surcharge (KN/m²)	Σ des surcharges	Σ surcharges q (KN/m²)
Terrasse	1	$\sum = Q_0$	1,00
08	1,5	$\sum = Q_0 + Q_1$	2,50
07	1,5	$\sum = Q_0 + 0.95(Q_1 + Q_2)$	3,85
06	1,5	$\sum = Q_0 + 0.90(Q_1 + \dots + Q_3)$	5,05
05	1,5	$\sum = Q_0 + 0.85(Q_1 + \dots + Q_4)$	6,10
04	1,5	$\sum = Q_0 + 0.80(Q_1 + \dots + Q_5)$	7,00
03	1,5	$\sum = Q_0 + 0.75(Q_1 + \dots + Q_6)$	7,75
02	1,5	$\sum = Q_0 + 0.71(Q_1 + \dots + Q_7)$	8,45
01	1.5	$\sum = Q_0 + 0.69(Q_1 + \dots + Q_8)$	9.28
RDC	2.5	$\sum_{1} = Q_0 + 0.67(Q_1 + \dots + Q_9)$	10.72

Tableau II.8 : Dégression des surcharges

II.5.2 Le pré-dimensionnement :

S'effectue selon le cas le plus défavorable c'est le cas de la plus grande surface afférente, généralement le poteau du centre.

Critère de résistance d'après le BAEL 91.

$$B_r \ge k \beta N_u / (\frac{f_{bu}}{0.9} + \frac{0.85 \sigma_{st} A}{B_r})$$

D'après les règles de BAEL 91 on prend A/ B_r =1%.

 B_r : Section réduite de béton $B_r = (a-0.02)(b-0.02)$.

 θ : Facteur de durée d'application des charges $\theta = 1$ (lorsque la durée est ≥ 24 h).

K: Facteur correcteur pour la durée d'application des charges, les surcharges étant appliquées généralement après 90 jours donc K=1

$$\beta = 1 + 0.2 \left(\frac{\lambda}{35}\right)^2 \text{ avec} \lambda = 35 \text{ on trouve } \beta = 1.2$$

β: Coefficient qui dépend de l'élancement du poteau.

 f_{bu} : Contrainte limite ultime de béton égale à 14,17MPa.

 σ_{st} : Contrainte limite ultime d'acier égale à 347,83MPa.

$$Donc: B_r \ge \frac{1 \times 1,2 N_u}{1 \times \frac{14,17}{0.9} + 0,85 \times 0,01 \times 347,83} \Longrightarrow B_r \ge 0,064 N_u avec: N_uen(kN)$$

A partir deB_r , seront fixées les sections des poteaux telle que :

$$N_u = 1.35G + 1.5Q$$

 N_u : l'effort normal ultime.

G: charge permanente.

Q : charge d'exploitation.

II.5.3 Exemple de calcul:

Pré dimensionnement d'un poteau des plus sollicité :

> Poteau Central:

• Les longueurs afférentes :

$$L_{\text{aff pp}} = \frac{4.20}{2} + \frac{4,20}{2} = 4,20 \text{ m}$$

$$L_{aff ps} = \frac{4.10}{2} + \frac{4.10}{2} = 4.10 \text{ m}$$

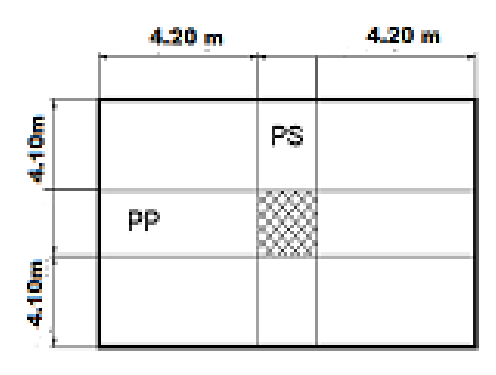


Figure II-2: schéma de Poteau Central

• La Surface afférente :

$$\left(\frac{4.20}{2} + \frac{4.20}{2}\right) \times \left(\frac{4.10}{2} + \frac{4.10}{2}\right) = 17.32 \text{ m}$$

• Poteau du 09 étage :

Poids du plancher :6,18 × 17.32 = 107,03 kN

Poids de la poutre principale : $0.3 \times 0.4 \times 25 \times 4.20 = 12.6KN$

Poids de la poutre secondaire : $0.3 \times 0.4 \times 25 \times 4.10 = 12.30 KNG_{09} = 131.93 KN$

 $N_{u.09} = 1.35G_{09} + 1.5(Q_{09} \times S_{aff}) \Longrightarrow N_{u.09} = 1.35 \times 131.93 + 1.5 \times (1 \times 17.32)$

$$N_{u,9} = 204.09 \, KN$$

 $B_{r,10} \ge 0.064 N_{u,10} \Longrightarrow B_r \ge 0.64 \times 204.09 = 130.62 \ cm^2$

$$B_r = (a-2)(b-2) \ge 130.62cm^2$$

Avec : a=b Donc : $a = \sqrt{130.62} + 2 \implies a=13.42 \text{ cm}$

Donc on prend une section de (35×35) cm².

• Poteau du 08 étage :

$$G_{09} = 131.93 \text{ KN}$$

Poids du plancher : $5,11 \times 17.32 = 88.51 \, kN$

Poids de la poutre principale : $0,30 \times 0,40 \times 25 \times 4,20 = 14,10KN$

Poids de la poutre secondaire : $0.30 \times 0.35 \times 25 \times 4.10 = 9.38KN$

Poids de poteau : $0,35 \times 0,35 \times 25 \times 3,06 = 9.37KN$

$$G_{08} = 254.71KN$$

$$N_{u,08} = 1.35G_{08} + 1.5(Q_{08} \times S_{aff}) \Longrightarrow N_{u,08} = 1.35254.716 + 1.5 \times (2.5 \times 17.32)$$

$$N_{\nu,09} = 391,81 \, KN$$

$$B_{r,08} \ge 0.64 N_{u,09} \Longrightarrow B_r \ge 0.64 \times 408.8 = 261.63 \text{ cm}^2$$

$$B_r = (a-2)(b-2) \ge 261.63cm^2$$

Avec : a=b Donc : $a = \sqrt{261.63} + 2 \implies a=18.17 \text{ cm}$

Donc on prend une section de (35×35) cm²

Niveau	$G_{cum}(KN)$	Q _{cum} (KN)	N _u (KN)	$B_r(cm^2)$	A(cm)	Section(cm ²)
09 étage	131.93	17.32	204.09	130.62	13.42	35×35
8 étage	254.71	43.3	408.8	261.63	18.17	35×35
7 étage	377.49	66.68	609.63	390.16	21.75	35×35
6 étage	500.27	87.46	806.55	516.19	24.72	40×40
5 étage	625.92	105.65	1003.47	642.22	27.34	40×40
4 étage	751.57	121.24	1194.48	765.75	29.67	40×40
3 étage	877.22	134.23	1385.60	886.78	31.78	45×45
2 étage	1006.12	146.35	1577.79	1009.78	33,78	45×45
1 étage	1135.02	160.06	177.72	1134.31	35.67	45×45
RDC	1267.77	185.67	1989.99	1273.59	37.67	50×50

Tableau II.9: Pré dimensionnement des poteaux centraux.

> Poteau de rive :

• Les longueurs afférentes :

$$L_{aff pp} = \frac{4.2}{2} + \frac{4,20}{2} = 4,20 \text{ m}$$

$$L_{aff ps} = \frac{4.1}{2} = 2.05 \text{ m}$$

La Surface afférente :

$$\left(\frac{4.1}{2}\right) \times \left(\frac{4,20}{2} + \frac{4.20}{2}\right) = 8,61 \text{ m}^2$$

Tableau II.10: Pré dimensionnement des poteaux de rive

Niveau	$G_{cum}(KN)$	Q _{cum} (KN)	N _u (KN)	$B_r(cm^2)$	A(cm)	Section(cm ²)
9 étage	78.1	8.61	118.35	75.74	10.70	30×30
8 étage	153.9	21.53	229.3	146.75	14.11	30×30
7 étage	229.69	33.15	359.8	230.28	17.17	30×30
6 étage	261.48	43.48	418.22	267.66	18.36	30×30
5 étage	337.27	52.52	534.09	341.82	20.48	35×35
4 étage	415.54	60.27	651.38	416.89	22.42	35×35
3 étage	493.81	66.73	766.74	490.71	24.15	35×35
2 étage	571.04	72.75	880.51	563.53	25.73	35×35
1 étage	649.67	79.55	996.38	637.68	27.25	40×40
RDC	730.81	92.29	1125.03	720.02	28.83	40×40

> Poteau d'angle :

• Les longueurs afférentes :

$$L_{aff pp} = \frac{3.50}{2} = 1.75 \text{ m}$$
 $L_{aff ps} = \frac{3.6}{2} = 1.8 \text{ m}$

La Surface afférente :

$$\left(\frac{3,60}{2}\right) \times \left(\frac{3.50}{2}\right) = 3.15 \text{ m}^2$$

Tableau II.11: Pré dimensionnement des poteaux d'angle

Niveau	$G_{cum}(KN)$	$Q_{cum}(KN)$	$N_u(KN)$	$B_r(cm^2)$	A(cm)	Section(cm ²)
9 étage	40.77	3.15	59.76	38.25	8.18	30×30
8 étage	85.06	7.89	126.66	81.06	11	30×30
7 étage	129.35	12.13	192.82	123.40	13.10	30×30
6 étage	173.64	15.91	258.28	165.30	14.85	30×30
5 étage	220.41	19.22	326.38	208.88	16.45	35×35
4 étage	267.18	22.05	393.76	252	17.87	35×35
3 étage	313.95	24.41	460.45	294.68	19.16	35×35
2 étage	360.72	26.62	526.90	337.22	20.36	35×35
1 étage	410.36	29.10	597.63	382.48	21.55	40×40
RDC	460	33.77	671.65	429.85	22.73	40×40

II.5.4 Vérification des conditions du RPA V99/2003 :

Suivant l'Art 7.4.1 RPA V99/2003 les dimensions de la section des poteaux doivent satisfaire les conditions suivantes (Zone) :

$$\begin{cases} \min(b_1;h_1) \geq 25cm \\ \min(b_1;h_1) \geq \frac{h_e}{20} \end{cases}$$
 Avec : h_e la hauteur libre d'étage.
$$\frac{1}{4} < \frac{b_1}{h_1} < 4$$

Pour le poteau plus sollicité (Poteau Central)

On va prendre le cas du poteau (35×35) cm² c'est la section minimale dans notre cas.

$$\begin{cases} \min(35; 35) = 35 \ge 25cm \dots CV \\ \min(35; 35) = 35 \ge \frac{306 - 40}{20} = 13,30 cm \dots CV \\ \frac{1}{4} < \frac{35}{35} = 1 < 4 \dots CV \end{cases}$$

II.6 Pré-dimensionnement des voiles :

II.6.1 Voiles du contreventement :

Le pré-dimensionnement des murs en béton armé doit être justifié par l'article 7.7 de RPA99/V2003

Les voiles servent, d'une part, à contreventer le bâtiment en reprenant les efforts horizontaux (séisme et/ou vent), et d'autre part, à reprendre les efforts verticaux (poids propre et autres) qu'ils transmettent aux fondations.

D'après le RPA99/V2003 article 7.7.1 les voiles sont considérés comme des éléments satisfaisant la condition:

- \checkmark L > 4a.
- ✓ L'épaisseur minimale est de 15 cm
- \checkmark l'épaisseur doit être déterminée en fonction de la hauteur libre d'étage h_e et des conditions de rigidité aux extrémités comme indiquées a la figure

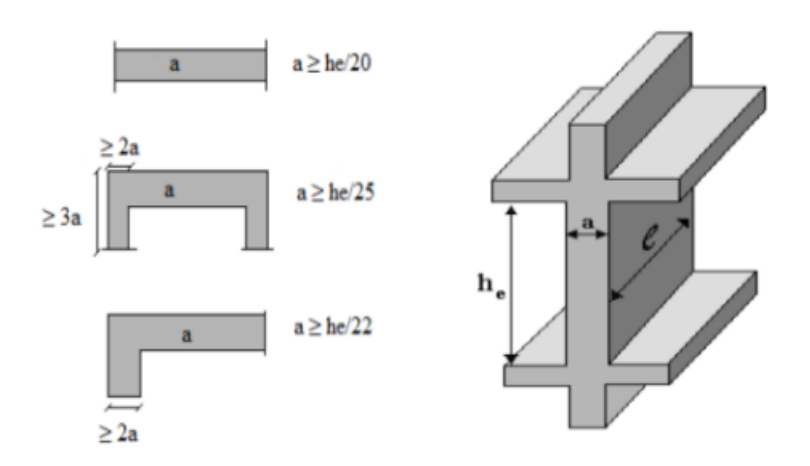


Figure II-3: coupe de voile

Dans notre cas:

Pour le RDC et les étages courants :

$$h_e = 306 - 40 = 266cm$$

$$a \ge \max\left\{\frac{266}{20}; 15cm\right\} = \max\{13,3cm; 15cm\} \implies a = 20cm$$

II.7 Conclusion:

Le pré dimensionnement que nous avons effectué sur les éléments structuraux a pour but d'assurer la résistance, la stabilité et l'économie de la structure tout en satisfaisant les règles de RPA99/version2003 et les différents critères. Le chapitre suivant fera l'objet d'étude des planchers corps creux et des dalles pleines.

Chapitre III: Etude des planchers

III.1. Introduction:

Les planchers sont des éléments horizontaux de la structure capables de reprendre les charges verticales et qui ont le rôle de :

- ✓ Résister aux charges.
- ✓ Permettre une isolation thermique.
- ✓ Assurer la compatibilité des déplacements horizontaux.

Les planchers dans notre structure sont réalisés en :

- ✓ Dalle à corps creux.
- ✓ Dalle pleine.

III.2. Plancher à corps creux:

Ce type de plancher est composé d'un corps creux et d'une dalle de compression d'épaisseur (16 + 4) cm. Les poutrelles ont une section en (T)

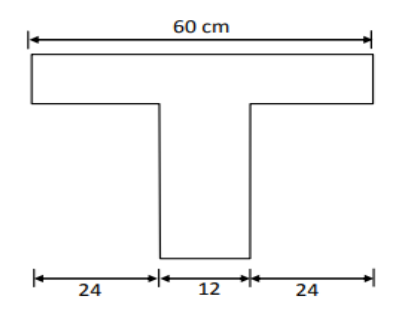


Figure III-1: Schéma d'une section en T.

III.2.1. Etude du poutrelle[CBA93/B.6.2,20] :

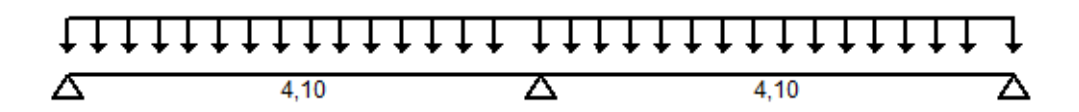
Dans le cas des planchers comportant des poutres (secondaires et principales) surmontées par une dalle générale à laquelle elle sont liées, il est légitime d'utiliser pour le calcul des poutres, les méthodes de calcul simplifiées dont le domaine d'application est essentiellement défini en fonction du rapport de la charge d'exploitation aux charges permanentes et limité, éventuellement, par des conditions complémentaires :

- ✓ Méthode forfaitaire pour le calcul des planchers à charge d'exploitation modérée ; [BAEL 91 Ar99/B.6.2,21].
- ✓ Méthode d'Albert Caquot pour les planchers à charge d'exploitation relativement élevée [BAEL 91 Ar 99/B.6.2,22].

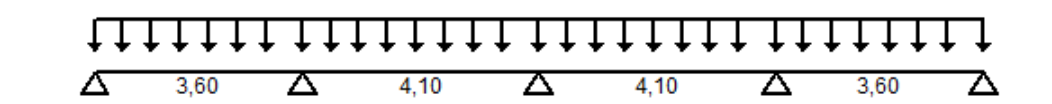
III.2.2. Les différents types des poutrelles :

terrasse:

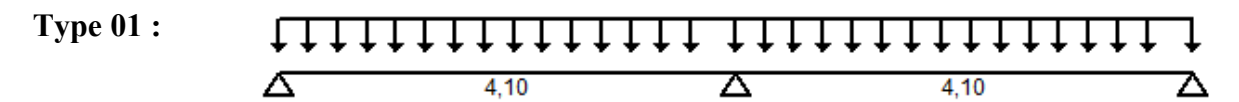
Type 01:

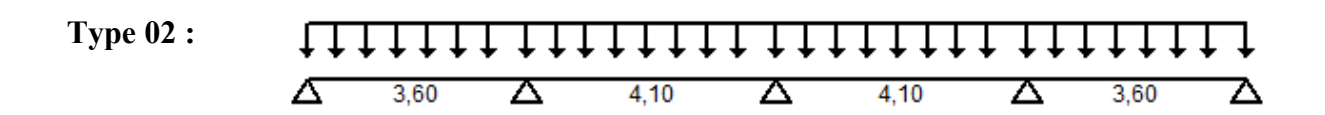






***** étage courant :





III.2.2.1. Méthode des trois moments :

La méthode des trois moments s'applique aux systèmes dits poutres continues. On suppose que l'effet de l'effort tranchant est négligé

❖ Principe de la méthode des trois moments : Cette méthode consiste à déterminer les moments fléchissant dans le cas des poutres continues. C'est-à-dire des poutres qui reposent sur plus de deux appuis. Il existe plusieurs façons pour déterminer le degré d'hyperstaticité :

Le degré d'hyperstaticité est égal au nombre des appuis intermédiaires.

$$DH = n_a - 2$$

Ou bien:

Le degré d'hyperstaticité est égal au nombre des appuis intermédiaires.

- a) Combinaisons fondamentales:
 - Etat limite ultime (ELU): $q_u = (1.35G + 1.5Q)b$
 - Etat limite de service (ELS): $q_{ser} = (G+Q)b$
- b) Evaluation des charges :

Les poutrelles supportent les charges suivantes :

Tableau III-1: Charges et combinaisons des poutrelles.

Type de plancher	$G(KN/m^2)$	$Q(KN/m^2)$	b (m)	$q_u(KN/m)$	q _{ser} (KN/m)
Terrasse	6.18	1	0.60	5.90	4.30
les étages courant	5.11	1.5	0.60	5.48	3.97

III.2.2.2. Exemple de calcule (plancher étage courant) :

Type 01:

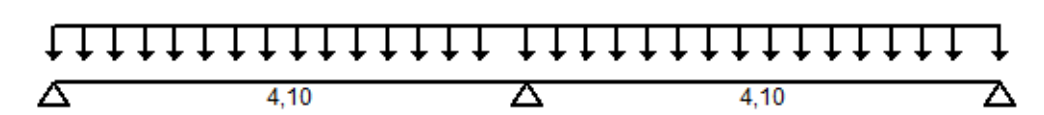


Figure III-2 : 1 er type de poutrelle à 2 travées.

Degré de hyperstaticité :

DH = 3 - 2 = 1 fois hyperstatcité (M_B)

Avec:

$$M_A = 0.2 M_{0_{AB}} = 0.2 \times 11.51 = 2.30 KN. m$$

 $M_c = 0.2 M_{0_{BC}} = 0.2 \times 11.51 = 2.30 KN. m$

$$\begin{split} M_{0_{AB}} &= \frac{q_u L_1^2}{8} = \frac{5.48 \times 4.10^2}{8} = 11.51 \text{kN. m} \\ M_{0_{BC}} &= \frac{q_u L_2^2}{8} = \frac{5.48 \times 4.10^2}{8} = 11.51 \text{kN. m} \end{split}$$

Appui B:
$$L_{AB}$$
. $M_A + 2(L_{AB} + L_{BC})M_B + L_{BC}M_C + 6EI(\theta_B^g + \theta_B^d) = 0$

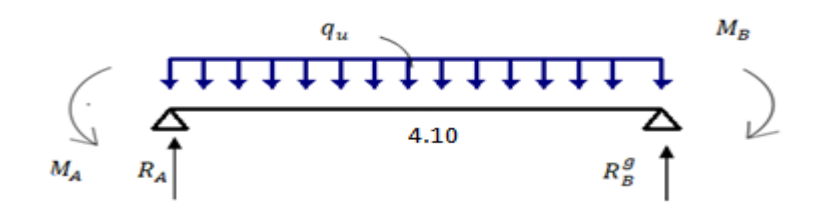
$$6EI(\theta_B^g + \theta_B^d) = \frac{q_u}{4}(L_{AB}^3 + L_{BC}^3) = \frac{5.48}{4}(4.10^3 + 4.10^3) = 188.84$$

$$4.10 \times 2.30 + 2(4.10 + 4.10)M_B + 4.10 \times 2.30 + 188.84 = 0$$

$$16.40M_B + 207.70 = 0$$

Donc : $M_B = -12.66 \, KN. \, m$

Travée A-B:



$$\sum F / y = 0 \implies R_A + R_B^g = 22.47 \ KN$$

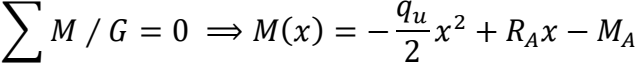
$$\sum {}^{M}/_{A} = 0 \implies -M_{A} + M_{B} - L_{AB}.R_{B}^{g} + \frac{q_{u} \times L_{AB}^{2}}{2} = 0$$

$$\sum M/A = 0 \implies -2.30 + 12.66 - 4.10R_B^g + \frac{5.48 \times 4.10^2}{2} = 0$$

$$\Rightarrow R_B^g = 13.76 \, KN$$

$$R_{A} = 8.71 \, KN$$

$$\sum M / G = 0 \implies M(x) = -\frac{q_u}{2}x^2 + R_A x - M_A$$

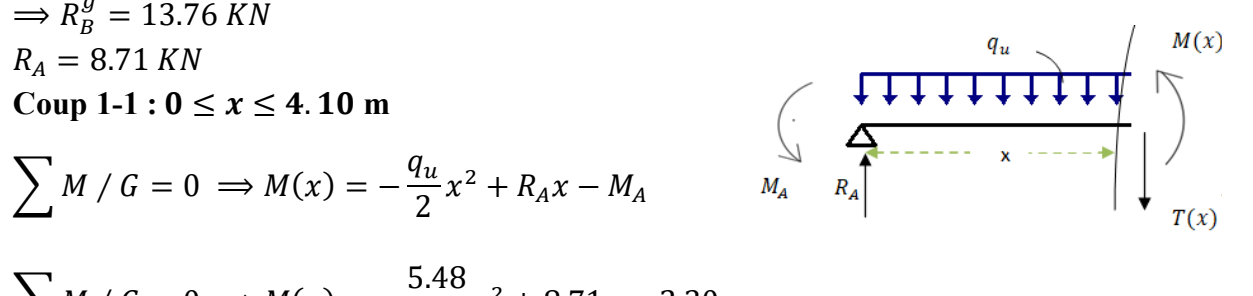


$$\sum M/G = 0 \implies M(x) = -\frac{5.48}{2}x^2 + 8.71x - 2.30$$

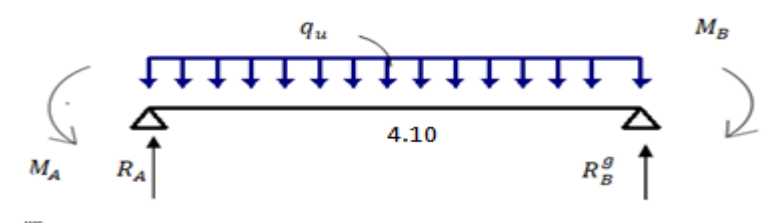
$$T(x) = -5.48x + 8.71$$
;
$$\begin{cases} T(0) = 8.71 \text{ KN} \\ T(4.1) = -13.76 \text{ KN} \end{cases}$$

$$T(x) = 0 \Longrightarrow x = 1.59 \text{ m}$$

Donc
$$M_t^{AB} = M(1.59) = 4.62 \text{ KN. } m$$



Travée B-C:



$$\sum_{A} F / y = 0 \implies R_B^d + R_C = 22.47 \text{ KN}$$

$$\sum M / B = 0 \implies M_C - M_B - L_{BC} R_C \cdot + \frac{q_u \times L_{BC}^2}{2} = 0$$

$$\sum M/B = 0 \implies 2.30 - 12.66 - 4.10R_C + \frac{5.48 \times 4.10^2}{2} = 0$$

$$\implies R_C = 8.71 \, KN$$

$$R_B^d = 13.76KN$$

Coup 1-1: $0 \le x \le 4.10$ m

$$\sum M/G = 0 \implies M(x) = -\frac{q_u}{2}x^2 + R_B^d x - M_B$$

$$\sum M/G = 0 \implies M(x) = -\frac{5.48}{2}x^2 + 13.76x - 12.66$$

$$T(x) = -5.48x + 13.76$$
;
$$\begin{cases} T(0) = 13.76 \text{ KN} \\ T(2.95) = -8.71 \text{KN} \end{cases}$$

$$T(x) = 0 \Rightarrow x = 2.51$$
m

Donc
$$M_t^{BC} = M(2.51) = 4.62 \text{ KN.m}$$

ELS:

Avec:

$$M_{0_{AB}} = \frac{q_s L_1^2}{8} = \frac{3.97 \times 4.10^2}{8} = 8.34 \text{ kN. m}$$

$$M_{0_{BC}} = \frac{q_s L_2^2}{8} = \frac{3.97 \times 4.10^2}{8} = 8.34 \text{ kN. m}$$

$$M_A = 0.2 M_{0_{AB}} = 0.2 \times 8.34 = 1.668 \, KN. m$$

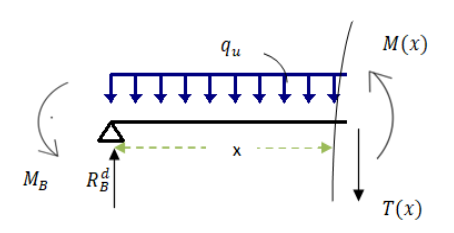
$$M_C = 0.2 M_{0_{CD}} = 0.2 \times 8.34 = 1.688 \, \text{KN.} \, \text{m}$$

Appui B:

$$L_{AB}.M_A + 2(L_{AB} + L_{BC})M_B + L_{BC}M_C + 6EI(\theta_B^g + \theta_B^d) = 0$$

$$6EI(\theta_B^g + \theta_B^d) = \frac{q_S}{4}(L_{AB}^3 + L_{BC}^3) = \frac{3.97}{4}(4.10^3 + 4.10^3) = 136.81$$

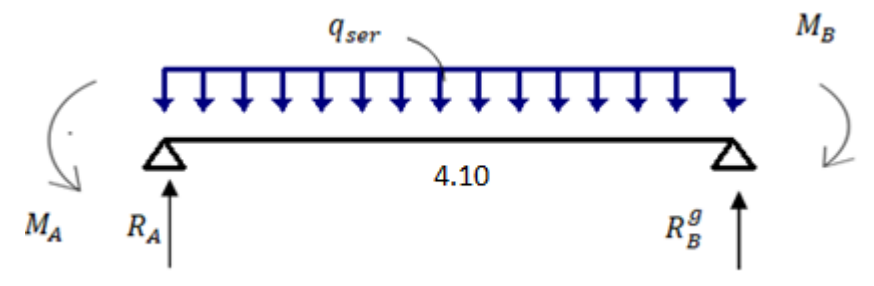
$$6.92 + 2(4.10 + 4.10)M_B + 6.92 + 136.81 = 0$$



 $16.40M_B + 150.65 = 0$

Donc : $M_B = -9.18 \, KN. \, m$

Travée A-B:



$$\sum_{A} F / y = 0 \implies R_A + R_B^g = 16.28 \, KN$$

$$\sum M/Y = 0 \implies -1.688 + 9.18 - 4.10R_B^g + \frac{3.97 \times 4.10^2}{2} = 0$$

$$\implies R_B^g = 9.97 \ KN$$

$$R_A = 6.31KN$$

Coup 1-1: $0 \le x \le 4.10m$

$$\sum M/G = 0 \implies M(x) = -\frac{3.97}{2}x^2 + 6.31x - 1.688$$

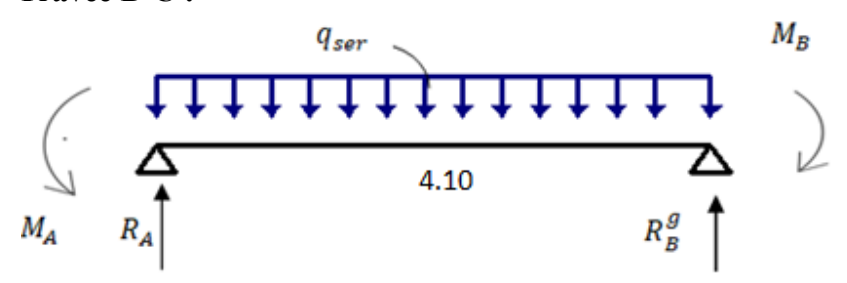
$$M_A$$
 R_A
 $T(x)$

$$T(x) = -3.97x + 6.31$$
;
$$\begin{cases} T(0) = 6.31 \, KN \\ T(4.10) = -9.97 KN \end{cases}$$

$$T(x) = 0 \Longrightarrow x = 1.59$$

Donc
$$M_t^{AB} = M(1.59) = 3.37 \text{ KN. } m$$

Travée B-C:



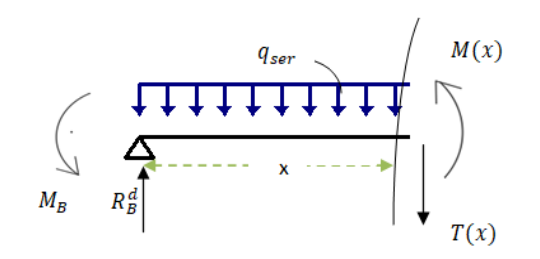
$$\sum F / y = 0 \implies R_B^d + R_C = 16.28 \, KN$$

$$\sum M/B = 0 \implies 1.688 - 9.18 - 4.10R_C + \frac{3.97 \times 4.10^2}{2} = 0$$

$$\Rightarrow R_C = 6.13 \, KN$$

$$R_B^d = 10.15 KN$$

Coup 1-1: $0 \le x \le 4.10m$



$$\sum M / G = 0 \implies M(x) = -\frac{3.97}{2}x^2 + 10.15x - 9.18$$

$$T(x) = -3.97x + 10.15$$
;
$$\begin{cases} T(0) = 10.15 \text{ KN} \\ T(2.95) = -6.13 \text{ KN} \end{cases}$$

$$T(x) = 0 \Longrightarrow x = 2.56$$

Donc $M_t^{BC} = M(2.56) = 3.80 \text{ KN.m}$

Tableau III-2: Récapitulation des moments et les efforts tranchants (ELU)

	ubicuu 1	Elu								
					terrasse					
types				mom	ents	moments	eff	ort		
	travées	l(m)		en ap	puis	en travées	tranc	hants		
				$M_w(kN.m)$	$M_e(kN.m)$	$M_t(kN.m)$	$T_w(kN)$	$T_e(kN)$		
1	a-b	4.10		2.48	13.64	4.85	9.30	-14.89		
	b-c	4.10		13.64	2.48	4.95	14.81	-9.38		
2	a-b	3.60		1.91	9.45	4.26	8.53	-12.71		
	b-c	4.10		9.45	7.67	3.85	12.53	-11.65		
	c-d	4.10		7.67	9.45	3.85	11.66	-12.53		
	d-e	3.60		9.45	1.91	4.26	12.71	-8.53		

Tableau III-3: Récapitulation des moments et les efforts tranchants (ELS)

		ELS								
		Terrasse								
Types			Mom	ents	Moments	effort tra	anchants			
	Travées	L(m)	en ap	puis	en travées					
			$M_w(kN.m)$	$M_e(kN.m)$	$M_t(kN.m)$	$T_w(kN)$	$T_e(kN)$			
1	A-B	4.10	1.80	9.94	3.61	6.83	-10.80			
	В-С	4.10	9.94	1.80	3.62	10.80	-6.83			
2	A-B	3.60	1.39	6.88	3.11	6.22	-9.26			
	В-С	4.10	6.88	5.60	2.81	9.13	-8.50			
	C-D	4.10	5.60	6.88	2.80	8.50	-9.13			
	D-E	3.60	6.88	1.39	3.11	9.26	-6.22			

Tableau III-4: Récapitulation des moments et les efforts tranchants (ELU)

		ELU									
		Etage courant									
Types			Mom	ents	Moments	eff	ort				
	Travées	L(m)	en ap	puis	en travées	tranc	hants				
			$M_w(kN.m)$	$M_e(kN.m)$	$M_t(kN.m)$	$T_w(kN)$	$T_e(kN)$				
1	A-B	4.10	2.30	12.66	4.62	8.71	-13.76				
	В-С	4.10	12.66	2.30	4.62	13.76	-8.71				
2	A-B	3.60	1.78	8.77	3.94	7.92	-11.81				
	В-С	4.10	8.77	7.13	3.60	11.64	-10.83				
	C-D	4.10	7.13	8.77	3.59	10.84	-11.63				
	D-E	3.60	8.77	1.78	3.94	11.81	-7.92				

Tableau III-5 : Récapitulation des moments et les efforts tranchants (ELS)

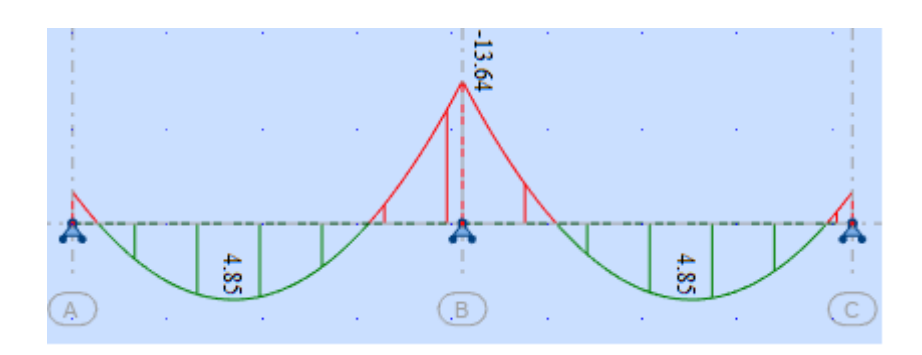
	ELS										
	Etage co	Etage courant									
Types			Moments		Moments en	effort					
	Travées	L(m)	en appuis	en appuis t		tranchant	CS .				
			$M_w(kN.m)$	$M_e(kN.m)$	$M_t(kN.m)$	$T_w(kN)$	$T_e(kN)$				
1	A-B	4.10	1.67	9.18	3.37	6.31	-9.97				
	В-С	4.10	9.18	1.67	3.80	10.15	-6.13				
2	A-B	3.60	1.29	6.83	2.85	5.73	-8.56				
	В-С	4.10	6.38	5.16	2.55	8.84	-7.43				
	C-D	4.10	5.16	6.38	2.58	7.84	-8.44				
	D-E	3.60	6.38	1.29	2.85	8.56	-5.73				

III.2.2.3. Diagrammes des moments flechissants :

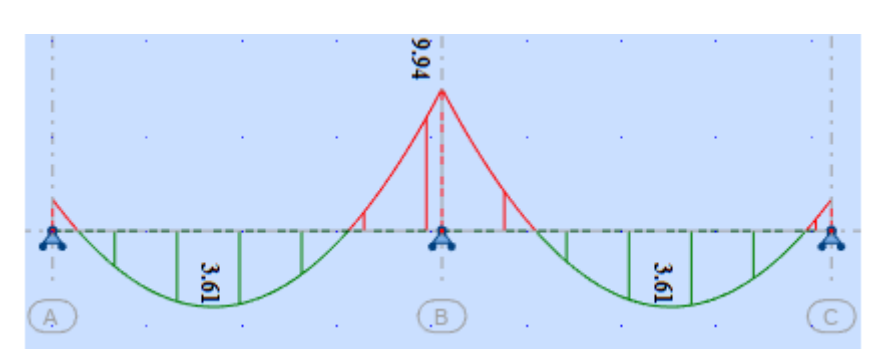
• Terrasse:

Type 01:

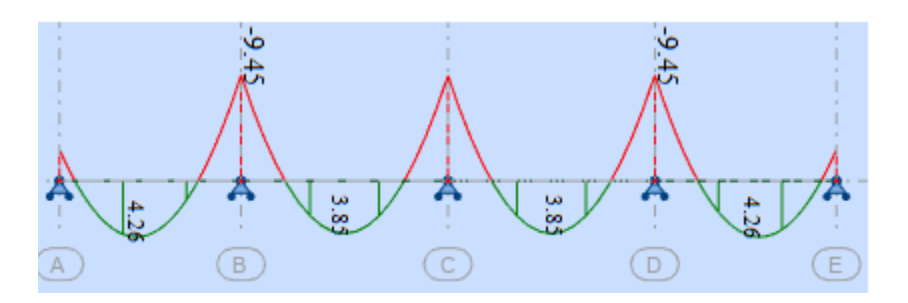
ELU:



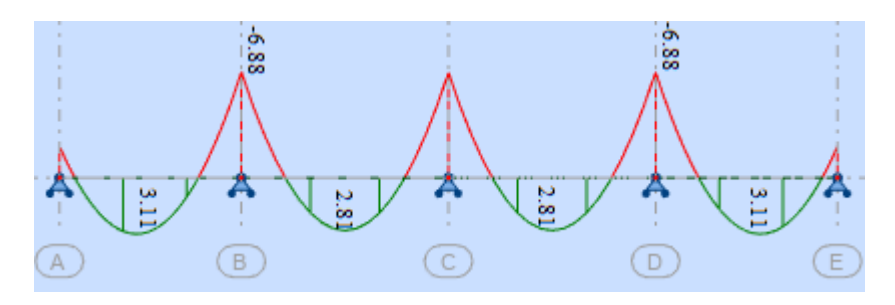
ELS:



Type 02:



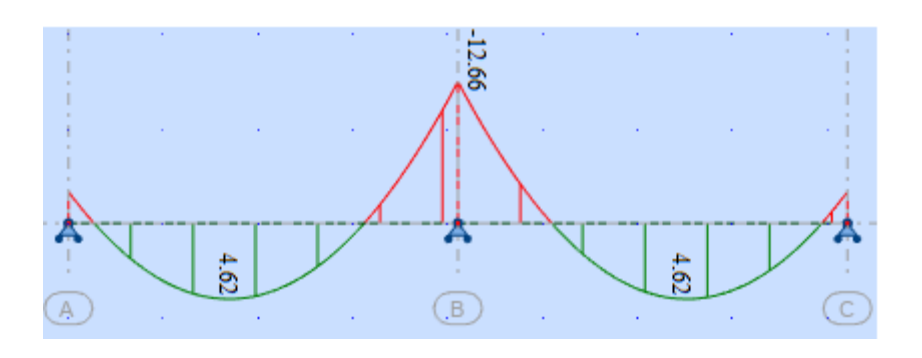
ELS:



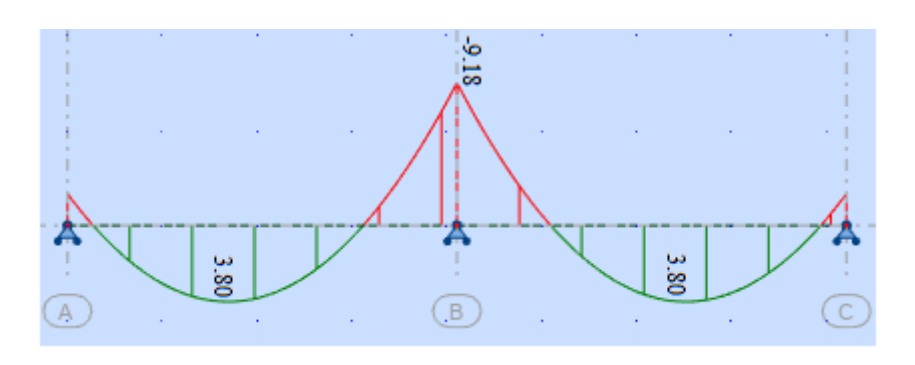
• Etage courant:

Type 01:

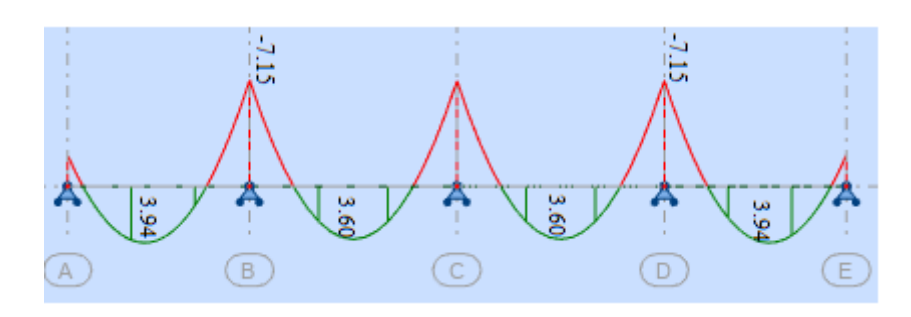
ELU:



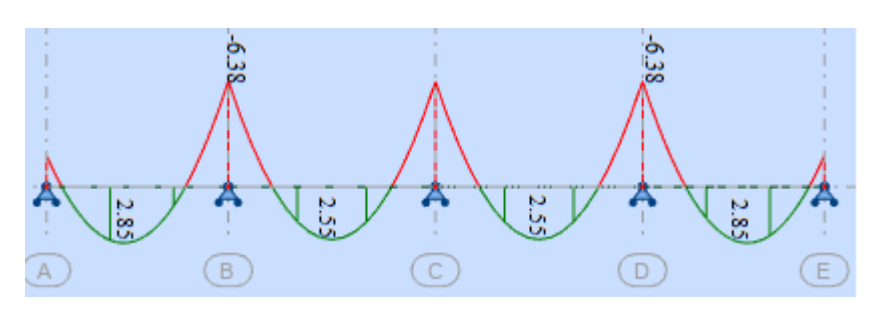
ELS



type 02:



ELS:

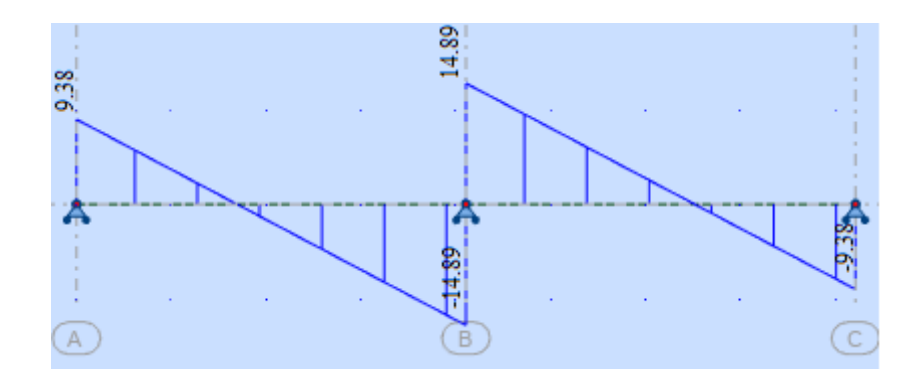


III.2.2.4. Diagrammes des efforts tranchants :

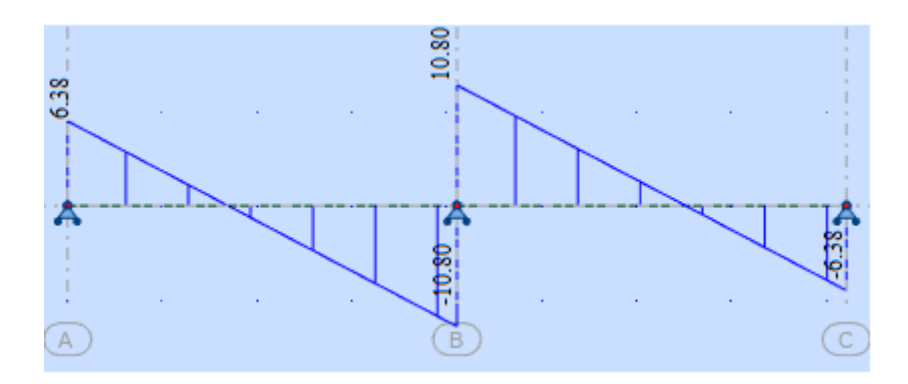
terrasse:

type 1

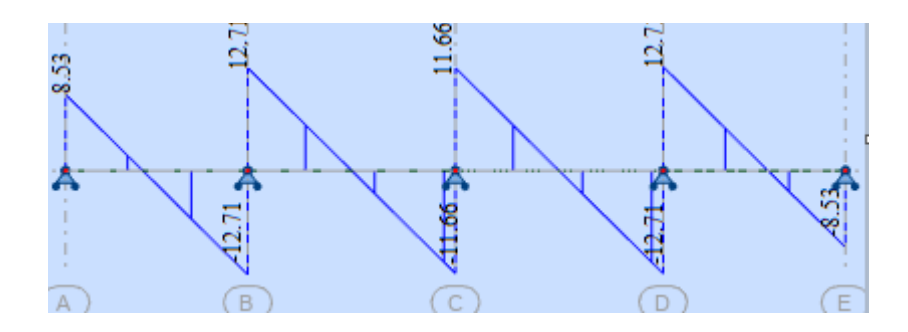
ELU



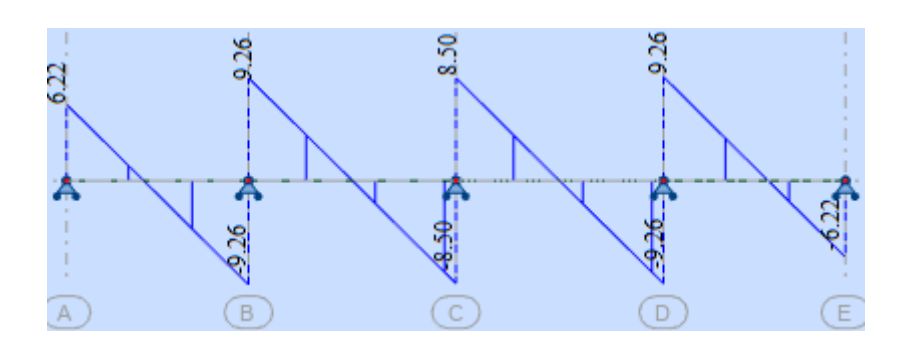
ELS



Type 02:

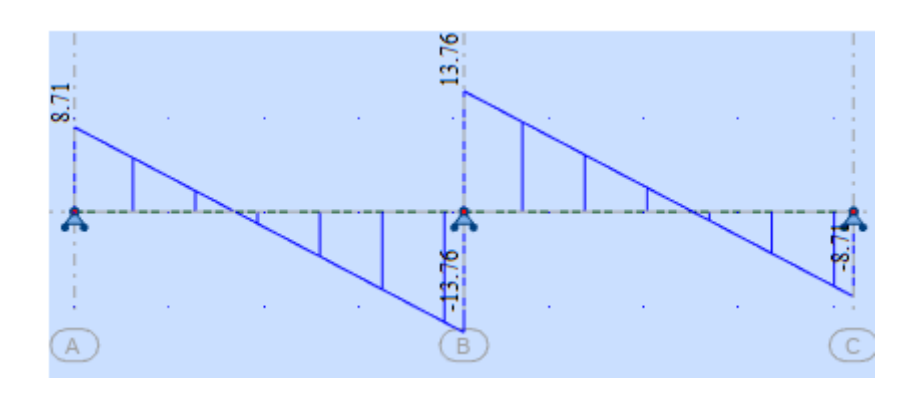


ELS:

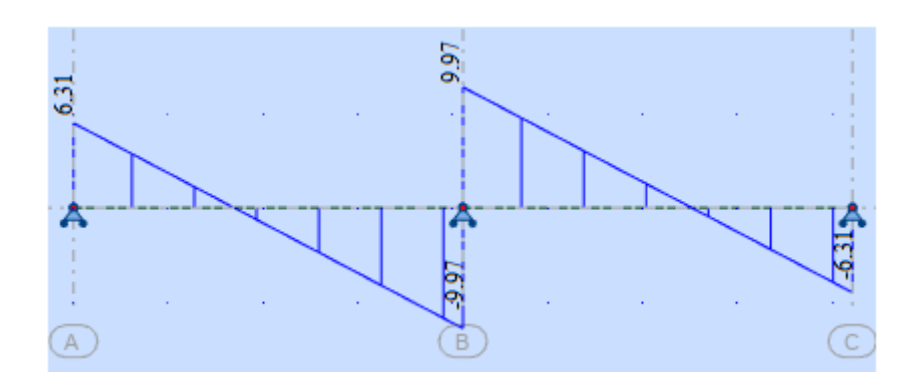


Etage courant:

Type 01 : ELU :

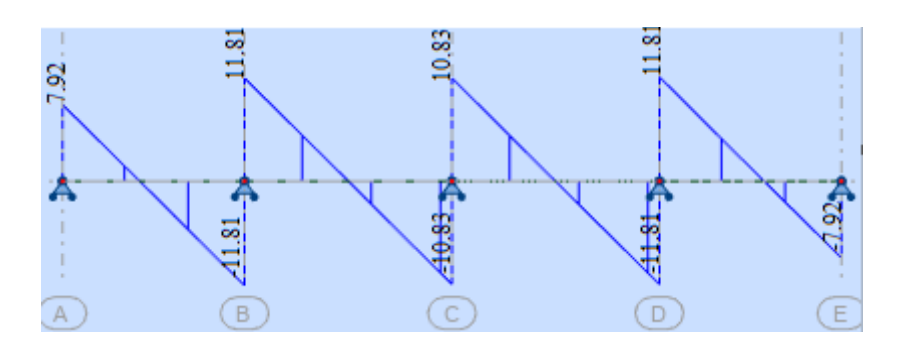


ELS:

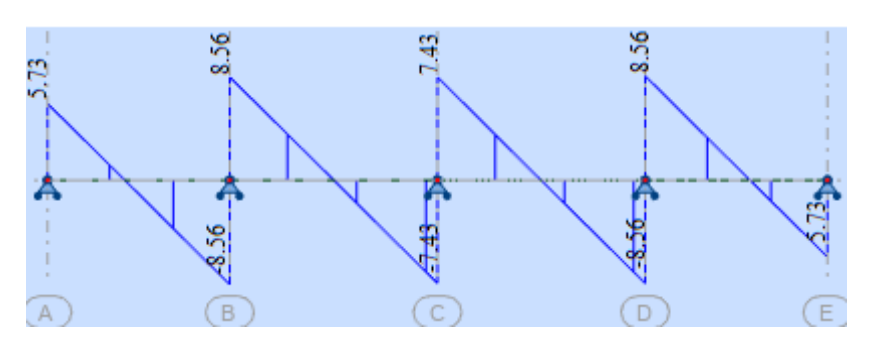


Type 02:

ELU:



ELS:



III.2.2.5. Ferraillage des poutrelles (Terrasse) :

Tableau III-6: Récapitulation des sollicitations de la terrasse.

Sollicitations	ELU	ELS
$M_a(kN.m)$	13.64	9.94
$M_t(kN.m)$	4.95	3.80
T(kN)	14.89	10.80

III.2.2.5.1. Calcul à l'ELU

- **A** Calcul de la section d'armatures longitudinales :
- a) En travée : $M_t = 4.95 \, KN. \, m$
- ❖ Moment équilibré par la table de compression(Mtu)

$$M_{Tu} = b. h_0. f_{bu}. (d - \frac{h_0}{2})$$

Avec:
$$f_{bu} = \frac{0.85 f_{c28}}{\theta.\gamma_b} \Longrightarrow f_{bu} = \frac{0.85 \times 25}{1.5} = 14.17 MPa$$

$$M_{Tu} = 0.6 \times 0.04 \times 14.17 \times 10^{3} \left(0.9 \times 0.2 - \frac{0.04}{2}\right) = 54.413 \text{ KN. m}$$

 $M_t = 4.95$ KN. $m < M_{Tu} = 54.413$ KN. $m \rightarrow L$ 'axe neutre situé dans la table de compression, la section en T est calculée comme une section rectangulaire (b × h_t)

$$\mu_b = \frac{M_t}{bd^2 f_{bu}} \Longrightarrow \mu_b = \frac{4.95 \times 10^{-3}}{0.6 \times (0.9 \times 0.2)^2 \times 14.17} = 0.018$$

$$\mu_b = 0.018 \le \mu_l = 0.392 \ (FeE400) \rightarrow \text{Section pas armatures Comprimées} \ (A_{sc} = 0)$$
 $\alpha = 1.25 \left(1 - \sqrt{1 - 2\mu_{bu}}\right) \Rightarrow \alpha = 1.25 \left(1 - \sqrt{1 - 2 \times 0.018}\right) = 0.023$
 $z = d(1 - 0.4\alpha) \Rightarrow z = 0.9 \times 0.2(1 - 0.4 \times 0.023) = 0.178$
 $A_{cal} = \frac{M_t}{z.\sigma_{st}}$
Avec: $\sigma_{st} = \frac{F_e}{\gamma_s} = \frac{400}{1.15} = 347.826MPa$

$$A_{cal} = \frac{4.95 \times 10^{-3}}{0.178 \times 347.826} \times 10^4 = 0.80cm^2$$

❖ Vérification de la condition de non fragilité CBA93 (Art A.4.2.1)

$$A_{min} = 0.23b. d. \frac{f_{t28}}{f_o} \Longrightarrow A_{min} = 0.23 \times 0.6 \times 0.18 \times \frac{2.1}{400} \times 10^4 = 1.3 cm^2$$

Choix des barres :

On opte pour $A_{su} = \max(A_{cal}; A_{min}) = 1.3cm^2 \Rightarrow 3T12 = 3.39cm^2$

a) **En appui** : $M_a = 13.64 \, KN. \, m$

La table de compression est tendue, un béton tendue n'intervient pas dans la résistance donc le calcul se ramène à une section rectangulaire $(b_0 \times h_t)$

$$\mu_b = \frac{M_a}{b_0 d^2 f_{bu}} \Longrightarrow \mu_b = \frac{13.64 \times 10^{-3}}{0.12 \times (0.9 \times 0.2)^2 \times 14.17} = 0.247$$

$$\mu_b = 0.247 \le \mu_l = 0.392 \ (FeE400) \rightarrow \text{Section pas armatures Comprimées} \ (A_{sc} = 0)$$
 $\alpha = 1.25 \left(1 - \sqrt{1 - 2\mu_{bu}}\right) \Rightarrow \alpha = 1.25 \left(1 - \sqrt{1 - 2 \times 0.247}\right) = 0.360$
 $z = d(1 - 0.4\alpha) \Rightarrow z = 0.9 \times 0.2(1 - 0.4 \times 0.185) = 0.1668$
 $A_{cal} = \frac{M_a}{z.\sigma_{st}} \Rightarrow A_{cal} = \frac{13.64 \times 10^{-3}}{0.1668 \times 347.826} \times 10^4 = 2.35 cm^2$

❖ Vérification de la condition de non fragilité CBA93 (Art A.4.2.1):

$$A_{min} = 0.23b_0.d.\frac{f_{t28}}{f_e} \Longrightarrow A_{min} = 0.23 \times 0.12 \times 0.18 \times \frac{2.1}{400} \times 10^4 = 0.26cm^2$$

Choix des barres :

On opte pour $A_{su} = \max(A_{cal}; A_{min}) = 2.35 \ cm^2 \Rightarrow 3T12 = 3.39 \ cm^2(Chap)$ Ferraillage transversal BAEL99 (Art5.1.2.2)

Calcul des armatures transversales :

Le diamètre \emptyset_t des armatures d'âme doit être inférieur ou égal à la plus petite des trois quantités suivantes :

$$\emptyset_t \leq min\left\{\frac{h}{35}; \frac{b_0}{10}; \emptyset_{l,min}\right\}$$
En ''mm''

Avec:

h : Hauteur totale de la poutrelle.

 \emptyset_t : Diamètre maximal des armatures longitudinales.

 b_0 : Largeur de l'âme de la nervure.

$$\emptyset_t \le \min\left(\frac{200}{35}; \frac{120}{10}; 12\right) = \min(5.71; 12; 12) = 5.71mm$$

On adopte $\emptyset_t = 8mm$ avec une nuance d'acier FeE235

Donc la section d'armatures transversales sera $A_t = 2\emptyset 8 = 1.01 \ cm$

III.2.2.6. Vérifications nécessaires

III.2.2.6.1. Vérifications à ELU

❖ Vérification au cisaillement

Lorsque que les armatures d'âme sont des armatures droites (perpendiculaires à la ligne moyenne), on doit vérifier pour une fissuration peu nuisible la condition :

$$\tau_u \leq \bar{\tau}_u$$

$$\tau_u = \frac{T_u}{b_0.d} = \frac{14.89 \times 10^{-3}}{0.12 \times 0.18} = 0.68MPa$$

$$\bar{\tau}_u = min\left\{\frac{0.2f_{c28}}{\gamma_b}; 5MPa\right\} = min\{3.33; 5MPa\} = 3.33 MPa$$

$$\tau_u = 0.68 \, MPa \le \bar{\tau}_u = 3.33 \, MPa \dots C.V$$

Il n'y'a pas de risque de rupture par cisaillement.

Second Second S

$$\frac{A_t}{b_0 \cdot s_t} \ge \frac{\tau_u - \tau_0}{0.9 \frac{f_e}{\gamma_s} (\sin\alpha + \cos\alpha)}$$

Avec:
$$\tau_0 = 0.3 f_{t28}^* \cdot k$$
 et $f_{tj}^* = min \begin{cases} f_{t28} = 2.1 \text{ MPa} \\ 3.3 \text{ MPa} \end{cases} = 2.1 \text{ MPa}$

En flexion simple : k=1

Armature droites : $\alpha = 90^{\circ}$

Donc:

$$\frac{A_t}{b_0 \cdot s_t} \ge \frac{\tau_u - 0.3 f_{t28}}{0.9 \frac{f_e}{\gamma_s}}$$

$$s_{t} \le \frac{A_{t} \cdot 0.9f_{e}}{b_{0} \cdot \gamma_{s}(\tau_{u} - 0.3f_{t28})} = \frac{1.01 \times 0.9 \times 400}{12 \times 1.15(0.68 - 0.3 \times 2.1)}$$

$$s_t \leq 526.95cm$$

$$s_t \leq \min \Big\{ \begin{matrix} 0.9d = 16.2cm \\ 40cm \end{matrix} = 16.2cm$$

Donc : $s_t = 15cm$

❖ Vérification des armatures longitudinales aux voisinages des appuis CBA93 (Art A.5.1.3.1.2)

Appuis de rive :

$$A_l = 3.39 + 3.39 = 6.78 cm^2 \ge 1.15 \frac{Vu}{fe} = 1.15 \frac{14.89 \times 10}{400} = 0.42 cm^2$$

III.2.2.6.2. Vérifications à l'ELS

Etat limite d'ouverture des fissures

a) En travée:

$$\sigma_{bc} = \frac{M_t}{I} \cdot y \le \overline{\sigma_{bc}} = 0.6 \cdot f_{c28}$$

> Position de l'axe neutre :

$$b_0 \cdot \frac{y^2}{2} + [(b - b_0)h_0 + n \cdot A_{su}]y - \left[(b - b_0)\frac{h_0^2}{2} + n \cdot A_{su} \cdot d \right] = 0$$

$$\Rightarrow 12 \times \frac{y^2}{2} + \left[(60 - 12)4 + 15 \times 3.39 \right] y - \left[(60 - 12) \frac{16}{2} + 15 \times 3.39 \times 18 \right] = 0$$

 \Rightarrow y = 4.78 cm \geq h₀: L'axe neutre est bien dans la nervure.

> Inertie:

$$I = \frac{b \cdot y^3}{3} - (b - b_0) \frac{(y - h_0)^3}{3} + n \cdot A_{su} \cdot (d - y)^2$$

$$I = \frac{60 \times 4.78^3}{3} - (60 - 12) \frac{(4.78 - 4)^3}{3} + 15 \times 3.39(18 - 3.39)^2$$

$$I = 13030.79cm^4$$

Donc:
$$\sigma_{bc} = \frac{3.80 \times 10^{-3}}{13030.79 \times 10^{-8}} \times 4.78 \times 10^{-2} = 1.39 \, MPa$$

$$\overline{\sigma_{bc}} = 0.6 \times 25 = 15MPa$$

$$\sigma_{bc} = 1.39MPa \le \overline{\sigma_{bc}} = 15MPa.....$$
C.V

⇒Donc les armatures calculées à l'ELU sont maintenues.

b) En appui

On conduit le calcul comme la section étant rectangulaire $(12 \times 20)cm^2$

$$\sigma_{bc} = \frac{M_a}{I} \cdot y \le \overline{\sigma_{bc}} = 0.6 \cdot f_{c28}$$

> Position de l'axe neutre :

$$b_0 \cdot \frac{y^2}{2} + n \cdot A_{su} \cdot y - n \cdot A_{su} \cdot d = 0$$

$$\Rightarrow 6y^2 + 50.85y - 915.3 = 0$$

$$\implies y = 8.82cm$$

> Inertie:

$$I = \frac{b_0 \cdot y^3}{3} + n \cdot A_{su} \cdot (d - y)^2$$

$$I = 7029.76741cm^4$$

Donc:
$$\sigma_{bc} = \frac{9.94 \times 10^{-3}}{7029.76741 \times 10^{-8}} \times 8.82 \times 10^{-2} = 12.47 MPa$$

$$\sigma_{bc} = 12.47 \; MPa \le \overline{\sigma_{bc}} = 15 \; MPa.....$$
C.V

⇒Donc les armatures calculées à l'ELU sont maintenues.

Contrainte des aciers :

L'état de fissuration est peu préjudiciable, donc aucune vérification à faire.

❖ Condition de la vérification de la flèche selon CBA 93 (Article B.6.5.1):

Le calcul des déformations est effectué pour évaluer les flèches dans le but de fixer les contre flèches à la construction ou de limiter les déformations de service.

Pour vérifier la flèche, il faut vérifier les conditions suivantes, si l'une de ses conditions cidessous n'est pas satisfaite la vérification de la flèche devient nécessaire:

a)
$$\frac{h}{L} \ge \frac{1}{16}$$

b)
$$\frac{h}{L} \ge \frac{M_{t,ser}}{10 \cdot M_{0,ser}}$$

c)
$$\frac{10}{b_0 \cdot d} \le \frac{4.2}{f_e}$$

Avec:

L : Portée de la travée entre nus d'appuis.

h : Hauteur totale de la section droite.

d: Hauteur utile de la section droite.

 b_0 : Largeur de la nervure.

 $M_{t,ser}$: Moment fléchissant maximal en travée.

 $M_{0,ser}$: Moment fléchissant maximal dans la travée supposée indépendante et reposante sur deux appuis libres.

 f_e : Limite élastique en MPa.

Remarque : Les conditions de la flèche ne sont pas vérifiées, c'est-à-dire la vérification de la flèche est nécessaire.

Evaluation des flèches : selon CBA (ANNEXE D: Méthode simplifiée de calcul des flèches):

On définit la flèche nuisible comme la flèche due aux charges appliquées à partir de la pose des cloisons. On calcule :

- les flèches instantanées et différée f_{gi} et f_{gv} dues à l'ensemble des charges permanentes,
- la flèche instantanée f_{ji} due aux charges permanentes appliquées au moment de la mise en œuvre des cloisons,
- la flèche instantanée f_{pi} due à l'ensemble des charges (G+Q) supportée par l'élément considéré.

La flèche nuisible aux cloisons à comparer aux valeurs admissible vaut :

$$\Delta f_t = f_{gv} - f_{ji} + f_{pi} - f_{gi} \le f_{adm}$$

Avec la flèche admissible pour une poutre inferieur à 5m est de :

$$L = 4.10m < 5m \Rightarrow f_{adm} = \frac{L}{500} = \frac{410}{500} = 0.82cm = 8.2mm$$

On adoptera (Commentaires du B.6.5.2) les expressions suivantes pour le calcul des flèches:

$$f_{ji} = \frac{{}^{M_{jtser} \cdot L^{2}}}{{}^{10E_{bi} \cdot I_{fji}}}; f_{gi} = \frac{{}^{M_{gtser} \cdot L^{2}}}{{}^{10E_{bi} \cdot I_{fgi}}}; f_{pi} = \frac{{}^{M_{ptser} \cdot L^{2}}}{{}^{10E_{bi} \cdot I_{fpi}}}; f_{gv} = \frac{{}^{M_{gtser} \cdot L^{2}}}{{}^{10E_{bv} \cdot I_{fgv}}}$$

> Les moments en travée

$$q_q = G \times 0.6$$

$$q_p = 0.6 (G + Q)$$

$$q_j = 0.6 (G - 0.75)$$

Avec:

 q_g : L'ensemble des charges permanentes.

 q_p : Charges permanentes appliquées au moment de la mise en œuvre des cloisons.

 q_j : L'ensemble des charges permanentes et d'exploitations supportées par l'élément considéré.

Tableau III-7. Tableau des charges (terrasse).									
LES CHARGES									
Type de Plancher	$G(KN/m^2)$	$Q(KN/m^2)$	$g(KN/_{ml})$	$p(KN/_{ml})$	$j(KN/_{ml})$				
Terrasse	Terrasse 6.18 1 3.708 4.308 3.258								

Tableau III-7: Tableau des charges (terrasse).

\triangleright Calcul des moments en travée M_q ; M_p ; M_i :

$$M_g = 0.63 \frac{gL^2}{8} = 0.63 \times \frac{3.708 \times 4.10^2}{8} = 4.908 \text{ KN.m}$$

$$M_p = 0.63 \frac{pL^2}{8} = 0.63 \times \frac{4.308 \times 4.10^2}{8} = 5.702 \text{ KN.m}$$

$$M_j = 0.63 \frac{jL^2}{8} = 0.63 \times \frac{3.258 \times 4.10^2}{8} = 4.312 \text{KN.m}$$

Modules de Young instantané et différé

$$E_i = 11000\sqrt[3]{f_{c28}} = 32164.2MPa$$

$$E_v = 3700\sqrt[3]{f_{c28}} = 10818.86$$

$$\triangleright$$
 Coefficients λ , μ

$$\lambda_i = \frac{0.05 f_{c28}}{\rho (2 + 3\frac{b_0}{b})}$$

$$\lambda = \lambda_i = \frac{0.05 \times 2.1}{0.0157(2+3\frac{12}{60})} = 2.57$$
 Pour les déformations instantanées,

$$\lambda = \lambda_v = \frac{2}{5}\lambda_i = 1.03$$
 Pour les déformations de longue durée,

$$\rho = \frac{A_s}{b_0 \cdot d} = \rho = \frac{3.39}{12 \times 18} = 0.0157$$
le pourcentage d'armatures tendues.

Propriété de la section

$$y_{s} = \frac{\frac{b_{0}h^{2}}{2} + (b - b_{0})\frac{h_{0}^{2}}{2} + 15A_{s}d}{b_{0}h + (b - b_{0})h_{0} + 15A_{s}} = \frac{\frac{12 \times 20^{2}}{2} + (60 - 12)\frac{4^{2}}{2} + 15 \times 3.39 \times 18}{12 \times 20 + (60 - 12)4 + 15 \times 3.39} = 7.66cm$$

$$I_{0} = \frac{b_{0}h^{3}}{12} + b_{0}h\left(\frac{h}{2} - y_{s}\right)^{2} + \frac{(b - b_{0})h_{0}^{3}}{12} + (b - b_{0})h_{0}\left(y_{s} - \frac{h_{0}}{2}\right)^{2} + 15A_{s}(d - y_{s})^{2}$$

$$I_{0} = \frac{12 \times 20^{3}}{12} + 12 \times 20\left(\frac{20}{2} - 7.66\right)^{2} + \frac{(60 - 12)4^{3}}{12} + (60 - 12)4\left(7.66 - \frac{4}{2}\right)^{2} + 15 \times 3.39(18 - 7.66)^{2} = 21157.64cm^{4}$$

 OuI_0 est le moment d'inertie de la section non fissurée homogénéisée par rapport au béton,

Les Contraintes

$$\sigma_{sj} = 15 \frac{M_{ser,j}(d - y_s)}{I} = 31.60MPa$$

$$\sigma_{sg} = 15 \frac{M_{ser,g}(d - y_s)}{I} = 35.97MPa$$

$$\sigma_{sp} = 15 \frac{M_{ser,p}(d - y_s)}{I} = 41.79MPa$$

$$\mu_j = max \left[0; 1 - \frac{(1.75f_{t28})}{(4\rho\sigma_{sj} + f_{t28})} \right] = 0.10$$

$$\mu_g = max \left[0; 1 - \frac{(1.75 f_{t28})}{(4\rho\sigma_{sg} + f_{t28})} \right] = 0.15$$

$$\mu_p = max \left[0; 1 - \frac{(1.75 f_{t28})}{(4\rho\sigma_{sp} + f_{t28})} \right] = 0.22$$

 \triangleright Inerties fictives I_f

Le BAEL (B.6.5.2 commentaires) définit un moment d'inertie fictif (ou fissurée) :

$$\begin{split} &\mathbf{I}_{fij} = \frac{1.1\mathbf{I}_0}{1 + \lambda_i \cdot \mu_j} = 18515.03cm^4; \\ &\mathbf{I}_{fig} = \frac{1.1\mathbf{I}_0}{1 + \lambda_i \cdot \mu_p} = 14867.38cm^4; \\ &\mathbf{I}_{fip} = \frac{1.1\mathbf{I}_0}{1 + \lambda_i \cdot \mu_p} = 14867.38cm^4; \\ &\mathbf{I}_{fvg} = \frac{1.1\mathbf{I}_0}{1 + \lambda_v \cdot \mu_g} = 20158.86cm^4 \\ & > \quad \text{La flèche totale } \Delta_f \\ & \Delta_f = \Delta f_t = f_{gv} - f_{ji} + f_{pi} - f_{gi} \\ & f_{ji} = \frac{M_{jtser} \cdot L^2}{10E_{bi} \cdot \mathbf{I}_{fgi}} = 1.21mm \\ & f_{gi} = \frac{M_{gtser} \cdot L^2}{10E_{bi} \cdot \mathbf{I}_{fgi}} = 1.5mm \\ & f_{pi} = \frac{M_{ptser} \cdot L^2}{10E_{bi} \cdot \mathbf{I}_{fgi}} = 2.00mm \\ & f_{gv} = \frac{M_{gtser} \cdot L^2}{10E_{bv} \cdot \mathbf{I}_{fgv}} = 3.15mm \\ & \Delta f_t = f_{gv} - f_{ji} + f_{pi} - f_{gi} = -1.21 - 1.5 + 2 + 3.15 = 2.44mm \\ & \Delta f_t = 2.44mm \leq f_{adm} = 8.2mm \dots C.V \end{split}$$

III.2.2.7. Ferraillage des poutrelles (Etage courant) :

Tableau III-8: Récapitulation des sollicitations de l'étage courant.

Sollicitations	ELU	ELS
$M_a(kN.m)$	12.66	9.18
$M_t(kN.m)$	4.62	3.62
T(kN)	13.76	10.15

III.2.2.7.1. Calcul à l'ELU

- **Calcul de la section d'armatures longitudinales :**
- a) En travée : $M_t = 4.62$ KN. m
- **❖** Moment équilibré par la table de compression(M_{tu})

$$M_{Tu} = b. h_0. f_{bu}. (d - \frac{h_0}{2})$$

Avec:
$$f_{bu} = \frac{0.85 f_{c28}}{\theta.\gamma_b} \Longrightarrow f_{bu} = \frac{0.85 \times 25}{1.5} = 14.17 MPa$$

$$M_{Tu} = 0.6 \times 0.04 \times 14.17 \times 10^3 \left(0.9 \times 0.2 - \frac{0.04}{2}\right) = 54.413 \text{ KN. m}$$

 $M_t = 4.62 \ KN. \ m < M_{Tu} = 54.413 \ KN. \ m \rightarrow L$ 'axe neutre situé dans la table de compression, la section en T est calculée comme une section rectangulaire (b × h_t)

$$\mu_b = \frac{M_t}{bd^2 f_{bu}} \Longrightarrow \mu_b = \frac{4.62 \times 10^{-3}}{0.6 \times (0.9 \times 0.2)^2 \times 14.17} = 0.016$$

 $\mu_b = 0.016 \le \mu_l = 0.392 \ (FeE400) \rightarrow \text{Section pas armatures Comprimées } (A_{sc} = 0)$

$$\alpha = 1.25(1 - \sqrt{1 - 2\mu_{bu}}) \Longrightarrow \alpha = 1.25(1 - \sqrt{1 - 2 \times 0.016}) = 0.0201$$

$$z = d(1 - 0.4\alpha) \Rightarrow z = 0.9 \times 0.2(1 - 0.4 \times 0.0201) = 0.1785$$

$$A_{cal} = \frac{M_{t}}{z.\sigma_{st}}$$

Avec :
$$\sigma_{st} = \frac{F_e}{v_s} = \frac{400}{1.15} = 347.826 MPa$$

$$A_{cal} = \frac{4.62 \times 10^{-3}}{0.1785 \times 347.826} \times 10^{4} = 0.74 cm^{2}$$

❖ Vérification de la condition de non fragilité CBA93 (Art A.4.2.1)

$$A_{min} = 0.23b.d. \frac{f_{t28}}{f_e} \Longrightarrow A_{min} = 0.23 \times 0.6 \times 0.18 \times \frac{2.1}{400} \times 10^4 = 1.3cm^2$$

***** Choix des barres :

$$A_{su} = \max(A_{cal}; A_{min}) = 1.3cm^2 \Longrightarrow 3T12 = 3.39cm^2$$

b) **En appui** :
$$M_a = 12.66 \, KN. \, m$$

La table de compression est tendue, un béton tendue n'intervient pas dans la résistance donc le calcul se ramène à une section rectangulaire $(b_0 \times h_t)$

$$\mu_b = \frac{M_a}{b_0 d^2 f_{bu}} \Longrightarrow \mu_b = \frac{12.66 \times 10^{-3}}{0.12 \times (0.9 \times 0.2)^2 \times 14.17} = 0.229$$

$$\mu_b = 0.229 \le \mu_l = 0.392 \ (FeE400) \rightarrow {
m Section \ pas \ armatures \ Comprimées} \ (A_{sc} = 0)$$

$$\alpha = 1.25(1 - \sqrt{1 - 2\mu_{bu}}) \Rightarrow \alpha = 1.25(1 - \sqrt{1 - 2 \times 0.229}) = 0.329$$

$$z = d(1 - 0.4\alpha) \Rightarrow z = 0.9 \times 0.2(1 - 0.4 \times 0.329) = 0.156$$

$$A_{cal} = \frac{M_a}{z.\,\sigma_{st}} \Longrightarrow A_{cal} = \frac{12.66 \times 10^{-3}}{0.156 \times 347.826} \times 10^4 = 2.33 cm^2$$

❖ Vérification de la condition de non fragilité CBA93 (Art A.4.2.1):

$$A_{min} = 0.23b_0. d. \frac{f_{t28}}{f_e} \Longrightarrow A_{min} = 0.23 \times 0.12 \times 0.18 \times \frac{2.1}{400} \times 10^4 = 0.26cm^2$$

***** Choix des barres :

$$A_{su} = \max(A_{cal}; A_{min}) = 2.33cm^2 \Rightarrow 3T12 = 3.39 cm^2(Chap)$$

Calcul des armatures transversales :

$$\emptyset_t \le min\left\{\frac{h}{35}; \frac{b_0}{10}; \emptyset_{l,min}\right\}$$
en ''mm''

$$\emptyset_t \le \min\left(\frac{200}{35}; \frac{120}{10}; 12\right) = \min(5.71; 12; 12) = 5.71mm$$

On adopte $\emptyset_t = 8mm$ avec une nuance d'acier FeE235

Donc la section d'armatures transversales sera $A_t = 208 = 1.01 \text{ cm}^2$

III.2.2.8. Vérifications nécessaires

III.2.2.8.1. Vérifications à ELU

Vérification au cisaillement

$$\tau_u \le \bar{\tau}_u$$

$$\tau_u = \frac{T_u}{b_0 \cdot d} = \frac{13.76 \times 10^{-3}}{0.12 \times 0.18} = 0.64 \text{ MPa}$$

$$\bar{\tau}_u = min\left\{\frac{0.2f_{c28}}{\gamma_b}; 5MPa\right\} = min\{3.33; 5MPa\} = 3.33 \ MPa$$

$$\tau_u = 0.63 \; MPa \leq \bar{\tau}_u = 3.33 \; MPa.....$$
C.V

Il n'y'a pas de risque de rupture par cisaillement.

State Espacement St

$$\frac{A_t}{b_0 \cdot s_t} \ge \frac{\tau_u - \tau_0}{0.9 \frac{f_e}{\gamma_s} (sin\alpha + cos\alpha)}$$

Avec :
$$\tau_0 = 0.3 f_{t28}^* \cdot k$$
 et $f_{tj}^* = min \begin{cases} f_{t28} = 2.1 \ MPa \\ 3.3 \ MPa \end{cases} = 2.1 \ MPa$

En flexion simple : k=1

Armature droites : $\alpha = 90^{\circ}$

Donc:

$$\frac{A_t}{b_0 \cdot s_t} \ge \frac{\tau_u - 0.3 f_{t28}}{0.9 \frac{f_e}{\gamma_s}}$$

$$s_{t} \le \frac{A_{t} \cdot 0.9f_{e}}{b_{0} \cdot \gamma_{s}(\tau_{u} - 0.3f_{t28})} = \frac{1.01 \times 0.9 \times 400}{12 \times 1.15(0.64 - 0.3 \times 2.1)}$$

$$s_t \le 2634.78cm$$

$$s_t \leq {0.9d = 16.2cm \atop 40cm} = 16.2cm$$

Donc: $s_t = 15cm$

❖ Vérification des armatures longitudinales aux voisinages des appuis CBA93 (Art A.5.1.3.1.2)

Appuis de rive :

$$A_l = 3.39 + 3.39 = 6.78cm^2 \ge 1.15 \frac{Vu}{fe} = 1.15 \frac{13.64 \times 10}{400} = 0.39cm^2$$

III.2.2.8.2. Vérifications à l'ELS

***** Etat limite d'ouverture des fissures

a) En travée:

 $y = 4.78 \ cm \ge h_0$: L'axe neutre est bien dans la nervure.

> Inertie:

 $I = 13030.75cm^4$

Donc:
$$\sigma_{bc} = \frac{3.62 \times 10^{-3}}{13030.75 \times 10^{-8}} \times 4.78 \times 10^{-2} = 1.32 MPa$$

$$\overline{\sigma_{bc}} = 0.6 \times 25 = 15MPa$$

$$\sigma_{bc} = 1.32MPa \le \overline{\sigma_{bc}} = 15MPa.....$$
C.V

⇒Donc les armatures calculées à l'ELU sont maintenues.

b) En appui

On conduit le calcul comme la section étant rectangulaire $(12 \times 20)cm^2$

$$\sigma_{bc} = \frac{M_a}{I} \cdot y \le \overline{\sigma_{bc}} = 0.6 \cdot f_{c28}$$

> Position de l'axe neutre :

$$y = 8.82cm$$

> Inertie:

 $I = 7029.76741cm^4$

Donc:
$$\sigma_{bc} = \frac{9.18 \times 10^{-3}}{7029.76741 \times 10^{-8}} 8.82 \times 10^{-2} = 11.51 \, MPa$$

$$\sigma_{bc} = 11.51 MPa \le \overline{\sigma_{bc}} = 15 MPa.....$$
C.V

⇒Donc les armatures calculées à l'ELU sont maintenues.

Contrainte des aciers :

L'état de fissuration est peu préjudiciable, donc aucune vérification à faire.

❖ Condition de la vérification de la flèche selon CBA 93 (Article B.6.5.1):

Remarque : Les conditions de la flèche ne sont pas vérifiées, c'est-à-dire la vérification de la flèche est nécessaire.

Evaluation des flèches : selon CBA (ANNEXE D: Méthode simplifiée de calcul des flèches):

$$L = 3.86m < 5m \Rightarrow f_{adm} = \frac{L}{500} = \frac{386}{500} = 0,77cm = 7.7$$

> Les moments en travée

$$q_g = G \times 0.6$$

$$q_p = 0.6 (G + Q)$$

$$q_i = 0.6 (G - 0.75)$$

Type de Plancher $G(KN/m^2)$ $Q(KN/m^2)$ g(KN/ml) p(KN/ml) j(KN/ml) Etage courant 5.11 1.5 3.06 3.96 2.29

Tableau III-9: Tableau des charges (Etage courant).

Calcul des moments en travée M_g ; M_p ; M_j :

$$M_g = 0.63 \frac{gL^2}{8} = 0.63 \times \frac{3.06*4.10^2}{8} = 4.05 \text{KN.m}$$

$$M_p = 0.63 \frac{pL^2}{8} = 0.63 \times \frac{3.96 \times 4.10^2}{8} = 5.242 \text{KN.m}$$

$$M_j = 0.63 \frac{jL^2}{8} = 0.63 \times \frac{2.29 \times 4.10^2}{8} = 3.03 \text{KN.m}$$

Modules de Young instantané et différé

$$E_i = 11000\sqrt[3]{f_{c28}} = 32164.2MPa$$

$$E_v = 3700\sqrt[3]{f_{c28}} = 10818.86$$

 \triangleright Coefficients λ , μ

$$\lambda = \lambda_i = \frac{0.05 \times 2.1}{0.0157(2+3\frac{12}{60})} = 2.57$$
 Pour les déformations instantanées,

$$\lambda = \lambda_v = \frac{2}{5}\lambda_i = 1.03$$
 Pour les déformations de longue durée,

$$\rho = \frac{A_s}{b_0 \cdot d} = \rho = \frac{3.39}{12 \times 18} = 0.0157$$
le pourcentage d'armatures tendues.

> Propriété de la section

$$y_s = 7.66cm$$

$$I_0 = 21157.64cm^4$$

Ou I_0 est le moment d'inertie de la section non fissurée homogénéisée par rapport au béton,

Les Contraintes

$$\sigma_{sj} = 15 \frac{M_{ser,j}(d - y_s)}{I} = 22.21 MPa$$

$$\sigma_{sg} = 15 \frac{M_{ser,g}(d - y_s)}{I} = 29.68 MPa$$

$$\sigma_{sp} = 15 \frac{M_{ser,p}(d - y_s)}{I} = 38.41 MPa$$

$$\mu_j = max \left[0; 1 - \frac{(1.75 f_{t28})}{(4\rho\sigma_{sj} + f_{t28})} \right] = 0$$

$$\mu_g = max \left[0; 1 - \frac{(1.75 f_{t28})}{(4\rho\sigma_{sg} + f_{t28})} \right] = 0.072$$

$$\mu_p = max \left[0; 1 - \frac{(1.75 f_{t28})}{(4\rho\sigma_{sp} + f_{t28})} \right] = 0.185$$

 \triangleright Inerties fictives I_f

Le BAEL (B.6.5.2 commentaires) définit un moment d'inertie fictif (ou fissurée) :

$$\begin{split} \mathbf{I}_{fij} &= \frac{1.1 \mathbf{I}_0}{1 + \lambda_i \cdot \mu_j} = 23273.4 cm^4; \\ \mathbf{I}_{fig} &= \frac{1.1 \mathbf{I}_0}{1 + \lambda_i \cdot \mu_g} = 19639.34 cm^4; \\ \mathbf{I}_{fip} &= \frac{1.1 \mathbf{I}_0}{1 + \lambda_i \cdot \mu_p} = 15773.76 cm^4; \\ \mathbf{I}_{fvg} &= \frac{1.1 \mathbf{I}_0}{1 + \lambda_v \cdot \mu_g} = 21666.6 cm^4 \end{split}$$

 \triangleright La flèche totale Δ_f

$$\begin{split} & \Delta_f = \Delta f_t = f_{gv} - f_{ji} + f_{pi} - f_{gi} \\ & f_{ji} = \frac{M_{jtser} \cdot L^2}{10E_{bi} \cdot I_{fji}} = 0.68mm \\ & f_{gi} = \frac{M_{gtser} \cdot L^2}{10E_{bi} \cdot I_{fgi}} = 1.07mm \\ & f_{pi} = \frac{M_{ptser} \cdot L^2}{10E_{bi} \cdot I_{fpi}} = 1.73mm \\ & f_{gv} = \frac{M_{gtser} \cdot L^2}{10E_{bv} \cdot I_{fgv}} = 2.9mm \\ & \Delta f_t = f_{gv} - f_{ji} + f_{pi} - f_{gi} = 2.9 - 0.68 + 1.73 - 1.07 = 2.88mm \end{split}$$

$$\Delta f_t = 2.88mm \le f_{adm} = 7.7mm \dots \dots C.V$$

III.2.3. Etude de la dalle de compression

D'après le BAEL 91 (B.6.8, 423), les sections des armatures sont calculées comme suit :

Armatures perpendiculaires aux poutrelles
$$A_{\perp} = \frac{4b}{f_e} = \frac{4 \times 60}{400} = 0.6 \frac{cm^2}{ml}$$

Armatures parallèles aux poutrelles: $A_{\parallel} = \frac{A_{\perp}}{2} = 0.30 \frac{cm^2}{ml}$

Soit :
$$A_{\perp} = 5\emptyset \frac{5}{ml} \rightarrow s_t = 20cm \le 30cm \dots CBA$$

$$A_{\parallel} = 5\emptyset \frac{4}{ml} \rightarrow s_t = 25cm \le 30cm \dots CBA$$

III.2.4. Schéma de ferraillage :

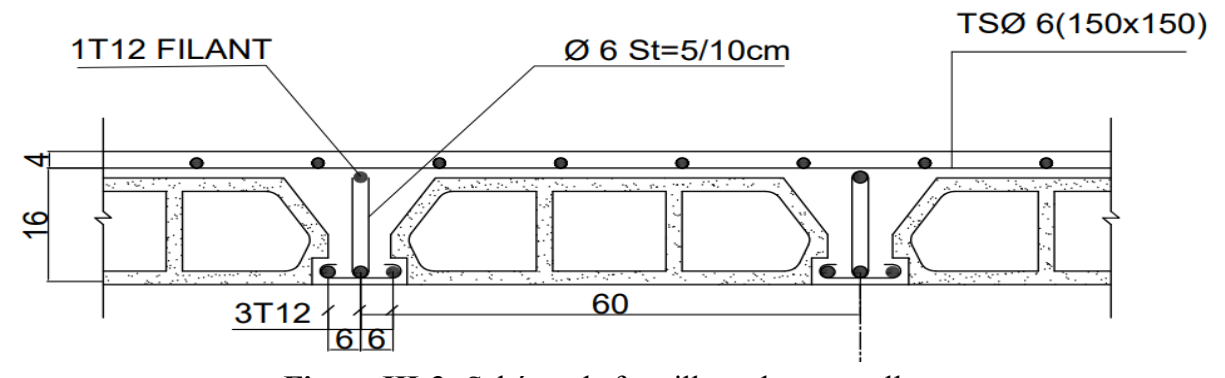


Figure III-3: Schéma de ferraillage des poutrelles

III.3. Plancher en dalle pleine :

Les dalles en béton sont des éléments rectangulaires de dimension l_x et l_y appuyés sur 2,3 ou 4côtés. Nous désignerons par la l_x plus petite dimension de la dalle et l_y la plus grande.

Dans l'étude des dalles, on considère généralement une bande de 1m de largeur c.à.d. la section transversale vaut (h x 100 cm).

Supposant que la dalle est uniformément chargée, Pour le calcul des dalles nous distinguerons 2 cas :

- a) Dalle portée sur deux sens si : $0.4 \le \alpha \le 1$
- b) Dalle n'est portée que dans un seul sens si : $\alpha = \frac{l_x}{l_y} < 0.4$
- c) Plancher de RDC : $\begin{cases} G = 6.26 \\ Q = 2.5 \end{cases} \left(\frac{\text{KN}}{\text{m2}} \right)$

III.3.1. Combinaisons fondamentales:

A l'ELU:

$$q_u = (1.35G + 1.5Q)b$$
 ; b=1ml
 $q_u = (1.35 \times 6.26 + 1.5 \times 2.5) = 12.2 \ kn/m$

A l'ELS:

$$q_{ser} = (G + Q)b$$

 $q_{ser} = (6.26 + 2.5) = 8.76 \text{ kn/m}$

III.3.2. Détermination des sollicitations :(panneau de rive)

$$\alpha = \frac{l_x}{l_y} = \frac{410}{420} = 0.97 > 0.4 \Longrightarrow$$
 Donc la dalle est portée sur deux sens.

A l'ELU:

Moment isostatique

$$\begin{split} M_{0x} &= \mu_x \cdot q_u \cdot l_x^2 \\ M_{0y} &= \mu_y \cdot M_{0x} \\ \mu_x &= \frac{(0.97 - 0.95)(0.037 - 0.041)}{(1 - 0.95)} + 0.041 = 0.039 \text{ (Annexe 1)} \\ \mu_y &= \frac{(0.97 - 0.95)(1 - 0.887)}{(1 - 0.95)} + 0.887 = 0.932 \\ M_{0x} &= 0.039 \times 12.2 \times 4.1^2 = 7.99 \text{ KN. m} \\ M_{0y} &= 0.932 \times 7.99 = 7.44 \text{ KN. m} \end{split}$$

❖ Moments en appuis :

$$\begin{cases} M_{ax} = 0.5M_{0x} = 0.5 \times 7.99 = 4.00KN. m \\ M_{ay} = 0.5M_{0y} = 0.5 \times 7.44 = 3.72KN. m \end{cases}$$

Moments en travée :
$$\begin{cases} M_{tx} = 0.85 M_{0x} = 0.85 \times 7.99 = 6.80 KN. m \\ M_{ty} = 0.75 M_{0y} = 0.75 \times 7.44 = 6.32 KN. m \end{cases}$$

& Effort tranchant:

$$\alpha = 0.97 > 0.4 \Longrightarrow \begin{cases} T_x = \frac{q_u l_x}{2} \cdot \frac{1}{1 + \frac{\alpha}{2}} = \frac{7.99 \times 4.10}{2} \cdot \frac{1}{1 + \frac{0.97}{2}} = 11.02KN \\ T_y = \frac{q_u l_x}{3} = \frac{7.99 \times 4.10}{3} = 10.91KN \end{cases}$$

A l'ELS:

❖ Moment isostatique

$$\begin{split} M_{0x} &= \mu_x \cdot q_s \cdot l_x^2 \\ M_{0y} &= \mu_y \cdot M_{0x} \\ \mu_x &= \frac{(0.97 - 0.95)(0.044 - 0.048)}{(1 - 0.95)} + 0.041 = 0.046 \text{ (Annexe 1)} \\ \mu_y &= \frac{(0.97 - 0.95)(1 - 0.932)}{(1 - 0.95)} + 0.932 = 0.5768 \end{split}$$

$$M_{0x} = 0.046 \times 8.76 \times 4.1^2 = 6.77 \text{ KN. m}$$

 $M_{0y} = 0.5768 \times 6.77 = 3.90 \text{ KN. m}$

❖ Moments en appuis :

$$\begin{cases} M_{ax} = 0.5M_{0x} = 0.5 \times 6.77 = 3.39KN.m \\ M_{ay} = 0.5M_{0y} = 0.5 \times 3.9 = 1.95KN.m \end{cases}$$

❖ Moments en travée :

$$\begin{cases} M_{tx} = 0.85 M_{0x} = 0.85 \times 6.77 = 5.75 KN. m \\ M_{ty} = 0.75 M_{0y} = 0.75 \times 3.9 = 2.93 KN. m \end{cases}$$

Effort tranchant:

$$\alpha = 0.97 > 0.4 \Longrightarrow \begin{cases} T_x = \frac{q_{ser}l_x}{2} \cdot \frac{1}{1 + \frac{\alpha}{2}} = \frac{8.76 \times 4.1}{2} \cdot \frac{1}{1 + \frac{0.97}{2}} = 12.09KN \\ T_y = \frac{q_{ser}l_x}{3} = \frac{8.76 \times 4.1}{3} = 11.97KN \end{cases}$$

Tableau III-10: Récapitulation des sollicitations a L'ELU et ELS

Combinaisons	ELU	J	ELS		
Sens	X-X	у-у	X-X	у-у	
M_a	4	3.72	3.39	1.95	
M_t	6.8	6.32	5.75	2.93	
T	11.02	10.9	12.09	11.97	

III.3.3. Ferraillage de la dalle :

Le Ferraillage sera calculé à l'État limite ultime A ELU Pour b = 1 ml

> Sens X-X

a) En travée :
$$M_{tx} = 6.32$$
KN.m

$$\mu_{bu} = \frac{M_{tx}}{f_{bu} \cdot b \cdot d^2} = \frac{6.32 \times 10^{-3}}{14.17 \times 1 \times 0.14^2} = 0.0137$$

$$\mu_{bu} = 0.0137 \le \mu_{bu} = 0.392 \text{ and } d'\text{ arm at unity}$$

$$\mu_{bu} = 0.0137 \le \mu_l = 0.392 \rightarrow pas\ d'armaturs\ comprimées$$

$$\alpha = 1.25 \left(1 - \sqrt{1 - 2\mu_{bu}} \right) = 0.017$$

$$z = d(1 - 0.4\alpha) = 0.178 m$$

$$A_{tx} = \frac{M_{tx}}{z \cdot \bar{\sigma}_c} = \frac{6.32 \times 10^{-3}}{0.178 \times 347.826} \times 10^4 = 1.02 \text{cm}^2$$

Vérification de la condition de non fragilité :

$$A_{x\,min} = \frac{3 - \alpha}{2} A_{y\,min}$$

$$A_{y \, min} = 8h = 8 \times 0.2 = 1.6cm^2$$

$$A_{x min} = \frac{3 - 0.97}{2} \times 1.6 = 1.62 cm^2$$

$$A_{tx} = 1.02 \; cm^2 \leq A_{x \; min} = 1.62 \; cm^2 \; ... \; ... \; ... \; C. \; N. \; V \; Donc \; A_{tx} = A_{x \; min} = 1.62 \; cm^2$$

\Display Choix des barres : $4HA12 = 4.52 cm^2$

b) En appuis:
$$M_{ax} = 4 KN. m$$

$$\mu_{bu} = \frac{M_{ax}}{f_{bu} \cdot b \cdot d^2} = \frac{4 \times 10^{-3}}{14.17 \times 1 \times 0.14^2} = 0.008$$

$$\mu_{bu} = 0.008 \le \mu_l = 0.392 \rightarrow pas\ d'armaturs\ comprimées$$

$$\alpha = 1.25 \left(1 - \sqrt{1 - 2\mu_{bu}} \right) = 0.01$$

$$z = d(1 - 0.4\alpha) = 0.1792 m$$

$$A_{ax} = \frac{M_{ax}}{z \cdot \bar{\sigma}_s} = \frac{4 \times 10^{-3}}{0.1792 \times 347.826} \times 10^4 = 0.64 \text{ cm}^2$$

Vérification de la condition de non fragilité :

$$A_{ax} = 0.64 \ cm^2 \ge A_{x \ min} = 1.62 \ cm^2 \dots \dots \dots C. \ N. \ V \ Donc \ A_{ax} = A_{x \ min} = 1.62 \ cm^2$$

$$Arr$$
 Choix des barres : $04HA12 = 4.52 cm^2$

> Sens y-y

a) En travée :
$$M_{ty} = 6.32$$
KN. m

$$\mu_{bu} = \frac{M_{ty}}{f_{bu} \cdot b \cdot d^2} = \frac{6.32 \times 10^{-3}}{14.17 \times 1 \times 0.18^2} = 0.0137$$

$$\mu_{bu} = 0.0137 \le \mu_l = 0.392 \ \rightarrow pas \ d'armaturs \ comprimées$$

$$\alpha = 1.25(1 - \sqrt{1 - 2\mu_{bu}}) = 0.0172$$

$$z = d(1 - 0.4\alpha) = 0.179 m$$

$$A_{ty} = \frac{M_{ty}}{z \cdot \bar{\sigma}_s} = \frac{6.32 \times 10^{-3}}{0.178 \times 347.826} \times 10^4 = 1.02 cm^2$$

Vérification de la condition de non fragilité :

$$A_{v min} = 8h = 8 \times 0.2 = 1.6cm^2$$

$$A_{ty} = 1.02 \; cm^2 \geq A_{y \; min} = 1.6 \; cm^2 \; ... \; ... \; ... \; C. \; N. \; V \; \text{Donc} \; \; A_{ty} = A_{y \; min} = 1.6 \; cm^2$$

Arr Choix des barres : $04HA12 = 4.52 cm^2$

b) En appuis:
$$M_{ay} = 3.72 KN. m$$

$$\mu_{bu} = \frac{M_{ay}}{f_{bu} \cdot b \cdot d^2} = \frac{3.72 \times 10^{-3}}{14.17 \times 1 \times 0.18^2} = 0.008$$

$$\mu_{bu} = 0.008 \le \mu_l = 0.392 \ o pas \ d'armaturs \ comprimées$$

$$\alpha = 1.25(1 - \sqrt{1 - 2\mu_{bu}}) = 0.010$$

$$z = d(1 - 0.4\alpha) = 0.179 m$$

$$A_{ay} = \frac{M_{ay}}{z \cdot \bar{\sigma}_s} = \frac{3.72 \times 10^{-3}}{0.179 \times 347.826} \times 10^4 = 0.59 \text{ cm}^2$$

Vérification de la condition de non fragilité :

$$A_{ay} = 0.44 \; cm^2 \geq A_{y \; min} = 1.6 \; cm^2 \; ... \; ... \; ... \; C. \, N. \, V$$
 Donc $A_{ay} = A_{y \; min} = 1.6 cm^2$

• Choix des barres : $04HA12 = 4.52 cm^2$

Tableau III-11: récapitulation des résultats de ferraillage

		8
		Choix
Sens x-x	Appui	$4HA12 = 4.52 \ cm^2$
	Travée	$4HA12 = 4.52 \ cm^2$
Sens y-y	Appui	$4HA12 = 4.52 \ cm^2$
	Travée	$4HA12 = 4.52 \ cm^2$

Service Espacement:

Cas des charges réparties (fissuration peu préjudiciable).

$$S_{tx} \leq min \begin{cases} 3 \cdot h \\ 33 \ cm \end{cases} \Rightarrow S_{tx} \leq min \begin{cases} 60 \ cm \\ 33 \ cm \end{cases} = 33 \ cm$$
$$\Rightarrow S_{tx} = 25 cm$$
$$S_{ty} \leq min \begin{cases} 4 \cdot h \\ 45 \ cm \end{cases} \Rightarrow S_{ty} \leq min \begin{cases} 80 \ cm \\ 45 \ cm \end{cases} = 45 \ cm$$
$$\Rightarrow S_{ty} = 25 cm$$

III.3.4. Vérification à L'ELU:

III.3.4.1. Vérification du cisaillement :

$$\begin{split} \tau_u &= \frac{T_{u,max}}{b \cdot d} \leq \bar{\tau} = 0.07 \frac{f_{c28}}{\gamma_b} \\ \tau_u &= \frac{11.02 \times 10^{-3}}{1 \times 0.18} = 0.06 MPa \\ \bar{\tau} &= 0.07 \frac{25}{1.5} = 1.17 MPa \\ \tau_u &= 0.06 MPa \leq \bar{\tau} = 1.167 MPa \dots C.V \end{split}$$

III.3.4.2. Vérification de poinçonnement:

$$\begin{split} q_u &\leq 0.045 U_C \cdot h \cdot \frac{f_{c28}}{\gamma_b} \Rightarrow q_u = 7.99 \times 10^{-3} \\ &\Rightarrow q_u = 0.0079 \ MN/m \leq 2.49 MN/m \ldots \ldots \ldots \ldots C.V \end{split}$$

III.3.5. Vérification à L'ELS:

***** Etat limite d'ouverture des fissures

$$\begin{cases} \text{fissuration peu préjudiciable} \\ Acier \, f_e E 400 \\ Section \, rectangulaire \\ flexion \, simple \\ \alpha \leq \frac{\gamma-1}{2} + \frac{f_{c28}}{100} \; \; ; \; \; \gamma = \frac{M_u}{M_{ser}} \end{cases}$$

 \triangleright Sens xx:

a) En travée :
$$M_{t,u} = 6.8 \ kN \ .m \ ; M_{t,ser} = 5.75 kN \ .m$$

$$\alpha = 1.25 \left(1 - \sqrt{1 - 2\mu_{bu}}\right) = 0.015$$

$$\gamma = \frac{6.8}{5.75} = 1.18$$

$$\alpha = 0.04 \le \frac{1.18 - 1}{2} + \frac{25}{100} = 0.34 \dots \dots C.V$$

⇒ Donc les armatures calculées à L'ELU conviennent pour L'ELS.

b) En appui :
$$M_{a,u} = 4kN \cdot m$$
; $M_{a,ser} = 3.39 kN \cdot m$

$$\alpha = 1.25 \left(1 - \sqrt{1 - 2\mu_{bu}} \right) = 0.007$$

$$\gamma = \frac{4}{339} = 1.18$$

$$\alpha = 0.007 \le \frac{1.18 - 1}{2} + \frac{25}{100} = 0.34 \dots \dots C.V$$

⇒ Donc les armatures calculées à L'ELU conviennent pour L'ELS.

> Sens y-y:

a) En travée :
$$M_{t.u} = 6.32kN \cdot m$$
 ; $M_{t.ser} = 2.93 kN \cdot m$

$$\alpha = 1.25(1 - \sqrt{1 - 2\mu_{bu}}) = 0.0112$$

$$\gamma = \frac{6.32}{2.93} = 2.15$$

$$\alpha = 0.0112 \le \frac{0.87 - 1}{2} + \frac{25}{100} = 0.825 \dots \dots \dots \dots C.V$$

⇒ Donc les armatures calculées à L'ELU conviennent pour L'ELS.

b) En appui :
$$M_{a,u} = 3.72kN .m$$
; $M_{a,ser} = 1.95 KN.m$

$$\alpha = 1.25 \left(1 - \sqrt{1 - 2\mu_{bu}} \right) = 0.0075$$

$$\gamma = \frac{3.72}{1.95} = 1.9$$

$$\alpha = 0.0075 \le \frac{1.9 - 1}{2} + \frac{25}{100} = 0.7 \dots \dots C.V$$

⇒ Donc les armatures calculées à L'ELU conviennent pour L'ELS.

Contrainte des aciers :

L'état de fissuration est peu préjudiciable, donc aucune vérification à faire.

Vérification de la flèche :

$$\frac{h}{L_x} \ge \frac{M_{tx,ser}}{20M_{0x,ser}} \Rightarrow \frac{0.2}{4.1} = 0.057 \ge \frac{5.75}{20 \times 6.77} = 0.042 \dots \dots C.V$$

$$\frac{A_s}{b \cdot d} \le \frac{2}{f_e} \Rightarrow \frac{4.52}{100 \cdot 18} = 0.0025 \le \frac{2}{400} = 0.005 \dots \dots \dots \dots C.V$$

III.3.6. Schéma de ferraillage :

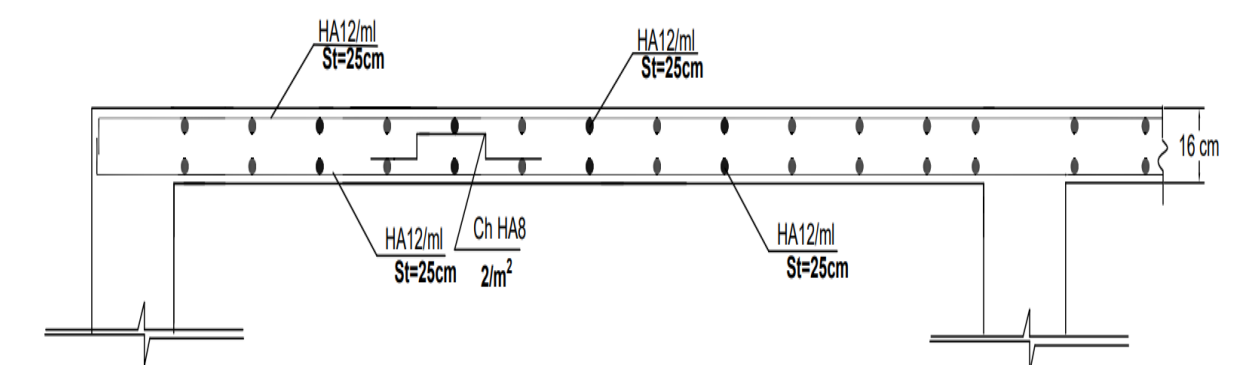


Figure III-4: Schéma de ferraillage de dalle pleine

III.4. Conclusion

Les plancher est l'élément sur lequel on vit et on exploite un bâtiment, don il doit être performant dans les différents rôles qu'il joue (support des charges, isolation, séparation entre niveau..).

Chapitre IV: Etude des éléments secondaires

IV.1. Introduction:

Les éléments non structuraux sont des éléments qui ne font pas partie du système de contreventement ni du système porteur, leur rôle est d'assurer la sécurité et le confort des usagers, ils sont réalisés généralement en maçonnerie cloisons...) ou en béton (acrotère, escaliers, balcon...etc.).

Ces éléments doivent avoir un comportement adéquat en cas de séisme, ils doivent donne être réalisés conformément aux recommandations des règlements parasismiques tout en vérifiant leur résistance à un séisme important, cur dans ce dernier cas ils peuvent être sollicités par l'ossature qui se déforme

On va s'intéresser dans ce chapitre aux éléments suivants :

- Acrotère
- Escalier
- Balcon
- Ascenseur

IV.2. Etude de L'acrotère :

L'acrotère est un mur d'une hauteur de 60 cm et d'une épaisseur de 10 cm, il est généralement situé en bordure de toitures terrasses afin de protéger la ligne conjonctive entre lui-même et la forme de pente contre l'infiltration des eaux pluviales, il assure aussi la sécurité en formant un écran pour prévenir toute chute quelle qu'elle soit. Il est réalisé en béton armé et est soumis à son poids propre et à une surcharge horizontale due à une main courante (Q=1 KN/m) ainsi qu'au séisme qui crée un moment de renversement. Il est considéré comme étant une console encastrée au plancher terrasse. Son point le plus faible est son interface où se trouve l'encastrement dans le plancher terrasse et c'est pour cela que le calcul se fera en flexion composée dans la section d'encastrement pour une bande de 1 m linéaire. L'acrotère est exposé aux intempéries ce qui peut provoquer des fissures et des déformations importantes (fissuration préjudiciable).

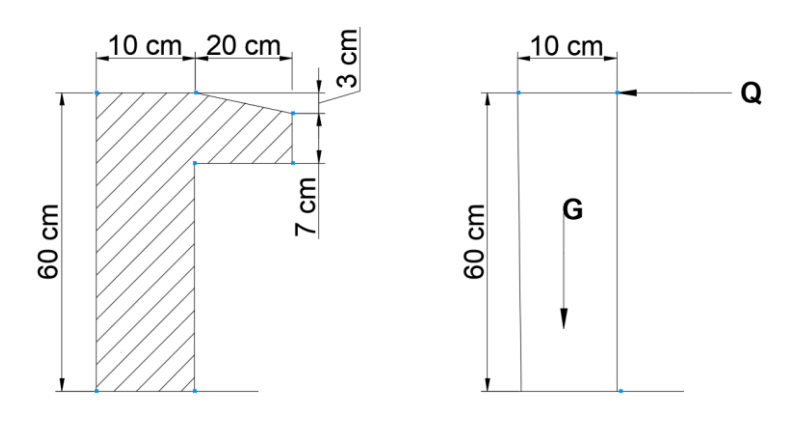


Figure IV-1: Coupe verticale sur l'acrotère

IV.2.1 Evaluation des charges :

> La charge permanente :

Section de l'acrotère :

$$S = (0,1\times0,6) + (0,07\times0,2) + \left(\frac{0,2\times0,03}{2}\right) \Rightarrow S = 0,077m^2$$

Le Poids propre:

$$G_1 = S.\gamma_{RA} \Rightarrow G_1 = 0.077 \times 25 \Rightarrow G_1 = 1.925 \text{ KN/m}$$

Le Poids d'enduit ciment extérieur (e = 2cm):

$$G_2 = U.e.\gamma_{ciment} \Rightarrow G_2 = 1,47 \times 0,02 \times 18 \Rightarrow G_2 = 0,53 \text{ KN/m}$$

Le poids total:

$$W_p = G_1 + G_2 \Rightarrow W_p = 1,925 + 0,53 \Rightarrow W_p = 2,46 \text{KN/m}$$

> La charge due à la main courante

$$Q = 1 \text{ KN/m}$$

> La force sismique horizontale :

$$F_p = 4.A.C_p.W_p$$

avec:

A: Coefficient d'accélération de zone (groupe d'usage 2, zone I) A = 0,1

 C_p : Facteur de force horizontal (Cp = 0.8)

$$F_{p} = 4 \times 0, 1 \times 0, 8 \times 2, 46$$

$$F_{n} = 0.79 \text{ KN/m}$$

IV.2.2Combinaisons des charges :

ELU:

Effort normal
$$\Rightarrow N_u = 1,35W_p \Rightarrow N_u = 1,35 \times 2,46 \Rightarrow N_u = 3,32 \text{ KN}$$

Moment fléchissant $\Rightarrow M_u = 1,5F_p.h \Rightarrow M_u = 1,5 \times 0,79 \times 0,6 \Rightarrow M_u = 0,71 \text{ KN.m}$
Effort tranchant $\Rightarrow T_u = 1,5F_p \Rightarrow T_u = 1,5 \times 0,79 \Rightarrow T_u = 1,18 \text{ KN}$

ELS:

Effort normal
$$\Rightarrow N_s = W_p \Rightarrow N_s = 2,46 \text{ KN}$$

Moment fléchissant $\Rightarrow M_s = F_p \times h \Rightarrow M_s = 0,79 \times 0,6 \Rightarrow M_s = 0,47 \text{ KN.m}$
Effort tranchant $\Rightarrow T_s = F_p \Rightarrow T_s = 0,79 \text{KN}$

IV.2.3 Calcul de l'excentricité :

L'excentricité de 1er ordre :

$$e_1 = \frac{M_u}{N_u} \Rightarrow e_1 = \frac{0.71}{3.32} \Rightarrow e_1 = 0.21 \text{ m}$$

L'excentricité additionnelle :

$$e_a = Max \left\{ 2 \text{ cm} ; \frac{L}{250} \right\} \Rightarrow e_a = Max \left\{ 2 \text{ cm} ; \frac{60}{250} \right\} \Rightarrow e_a = 0,02 \text{ m}$$

L'excentricité de 2^{éme} ordre :

$$e_2 = \frac{3L_f^2}{10^4.h} (2 + \alpha \varnothing)$$

 α : le rapport du moment premier ordre

$$\alpha=10\left(1-\frac{M_u}{1,5M_{ser}}\right) \Rightarrow \alpha=10\left(1-\frac{0,71}{1,5\times0,47}\right) \Rightarrow \alpha=-0,071$$

 $L_{\scriptscriptstyle f}$: longueur de flambement

$$L_f = 2L_0 \Rightarrow L_f = 2 \times 0.6 \Rightarrow L_f = 1.2 \text{ m}$$

∅ : Le rapport de la déformation finale

$$\emptyset = 2$$

$$e_2 = \frac{3 \times 1, 2^2}{10^4 \times 0, 6} (2 + (-0,071 \times 2)) \Rightarrow e_2 = 0,0016 \text{ m}$$

Excentricité total :

$$e = e_1 + e_a + e_2 \Rightarrow e = 0.21 + 0.02 + 0.0016 \Rightarrow e = 0.23 \text{ m}$$

IV.2.4 Sollicitation au centre de gravité de l'acier tendue :

Calcul du moment Fictif:

$$M_F = N_u \left(e + (d - \frac{h}{2}) \right) \Rightarrow M_F = 3.32 \left(0.23 + (0.08 - \frac{0.1}{2}) \right) \Rightarrow M_F = 0.90 \text{ KN.m}$$

Le moment réduit :

$$\mu_{bu} = \frac{M_F}{f_{bu}.b.d^2} = \frac{0.90 \times 10^{-3}}{14.17 \times 1 \times 0.08^2} = 0.0099$$

$$\mu_{bc} = 0.8 \frac{h}{d} \left(1 - 0.4 \frac{h}{d} \right) \Rightarrow \mu_{bc} = 0.493$$

$$\mu_{bu} = 0.0099 \le \mu_{bc} = 0.493$$

La section sera partiellement comprimée, le calcul de la section sera fait en flexion simple.

IV.2.5 Calcul de ferraillage:

> Ferraillage longitudinales:

En flexion simple:

$$\mu_{bu} = \frac{M_F}{f_{bu}.b.d^2} = \frac{0.90 \times 10^{-3}}{14.17 \times 1 \times 0.08^2} = 0.0099$$

$$\mu_{bu} = 0.0099 \text{ p } \mu_l = 0.392 \text{ (FeE400)}$$
Il n'y a pas d'armatures comprimées $A_{sc} = 0$

$$\alpha = 1.25(1 - \sqrt{1 - 2\mu}) \Rightarrow \alpha = 0.012$$

$$Z = d(1 - 0.4\alpha) \Rightarrow Z = 0.080 \text{ m}$$

$$\mu_{bu} = 0.0099 \text{ p } \mu_{AB} = 0.186$$
pivot A
$$\xi_{st} = 10\%_0$$

$$donc \ \overline{\sigma}_s = \frac{f_e}{\gamma_s} = \frac{400}{1.15} = 347.83 \text{ MPa}$$

$$A_{st} = \frac{M_F}{\overline{\sigma}} \Rightarrow A_{st} = \frac{0.90 \times 10^{-3}}{347.83 \times 0.080} \times 10^4 \Rightarrow A_{st} = 0.32 \text{ cm}^2$$

$$A_{Fc} = A_{st} - \frac{N_u}{\overline{\sigma}_s} \Rightarrow A_{Fc} = 0.32 - \frac{3.32 \times 10^{-3}}{347.83} \times 10^4 \Rightarrow A_{Fc} = 0.22 \text{ cm}^2$$

Condition de non fragilité :

$$A_{\min} = 0,23.b.d. \frac{f_{t28}}{f_e} \Rightarrow A_{\min} = 0,23 \times 100 \times 8 \times \frac{2,1}{400} \Rightarrow A_{\min} = 0,966 \text{ cm}^2$$

Section maximale:

$$A_{Max} = \frac{0.2B}{100} \Rightarrow A_{Max} = \frac{0.2 \times 100 \times 10}{100} \Rightarrow A_{Max} = 2 \text{ cm}^2$$

$$A = Max(A_{st}; A_{min}; A_{Max}) = 2 \text{ cm}^2$$

Choix des barres : $5HA8 \Rightarrow A = 2,51 \text{ cm}^2$

Les armatures de répartition :
$$A_r = \frac{A}{4} \Rightarrow A_r = \frac{2,51}{4} \Rightarrow A_r = 0,63 \text{ cm}^2$$

Choix des barres : $4\%6 \Rightarrow A = 1,13 \text{ cm}^2$

IV.2.6 Vérification d'effort tranchant :

Pour des fissurations préjudiciables

$$T_u = 1{,}18 \text{ KN}$$

$$\tau = \frac{T_u}{b.d} \le \overline{\tau} = \min\left(\frac{0.15 f_{c28}}{\gamma_b}; 4MPa\right)$$

$$\tau = \frac{1,18 \times 10^{-3}}{1 \times 0,08} \le \overline{\tau} = \min\left(\frac{0,15 \times 25}{1,5};4MPa\right)$$

$$\tau = 0.015 MPa \le \overline{\tau} = 2.5 MPa$$
CV

IV.2.7 Vérification de séisme :

$$F_p \leq 1,5Q \Longrightarrow 0,79 \leq 1,5 \times 1 \Longrightarrow 0,79 \text{ KN/m} \leq 1,5 \text{ KN/m}......CV$$

IV.2.8 Schéma de ferraillage:

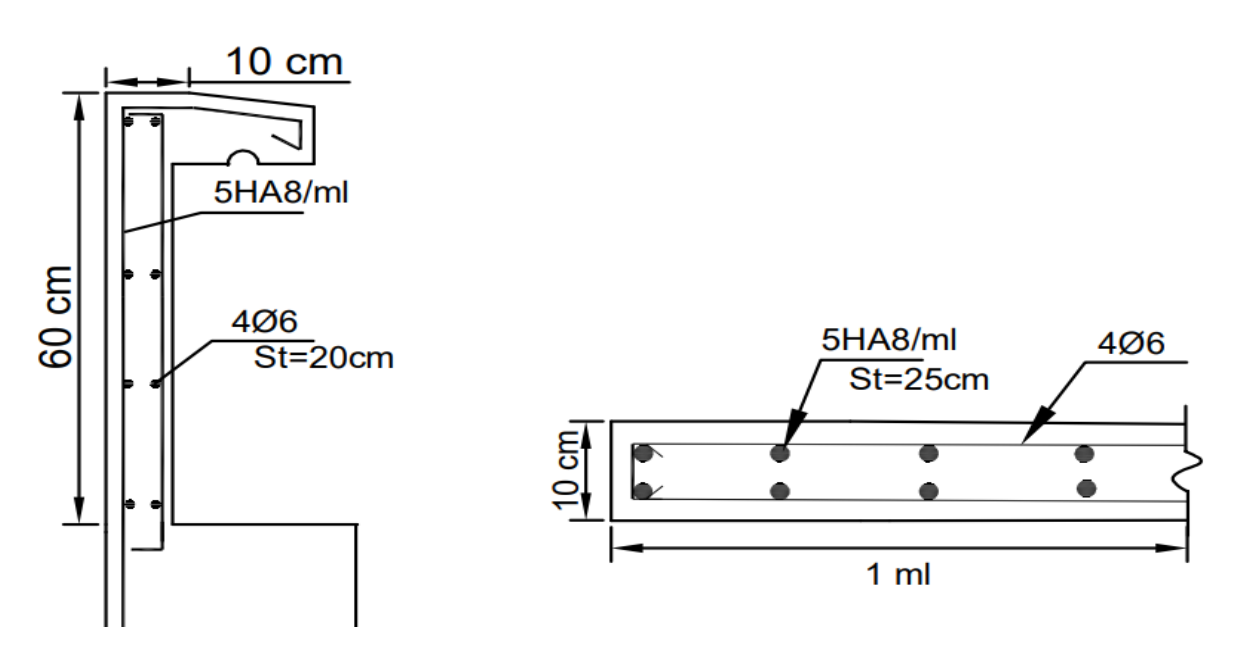


Figure IV-2: Schéma de ferraillage de l'acrotère

IV.3. Etude du balcon:

IV.3.1. Définition :

Le balcon est constitué d'une dalle pleine il est considéré comme une console encastrée au niveau de la poutre de rive.

IV.3.2. Pré-dimensionnement :

L'épaisseur du balcon est donnée par la formule suivante :

$$\frac{L}{30} \le e_b \le \frac{L}{10}$$

 e_b : Epaisseur du balcon

L: $largeur\ du\ console = 1.58\ m$

$$\frac{150}{30} \leq e_b \leq \frac{150}{10} \Rightarrow 5.00 \; cm \leq e_b \leq 15 \; cm$$

On prend : $e_b = 15 cm$

IV.3.3. Evaluation des charges et surcharges :

1. Charge Permanente(G):

Tableau. IV.1: Descente des charges (balcon)

N°	Désignations	$E_p(cm)$	Masse volumique $\binom{KN}{m^3}$	Poids $\binom{KN}{m^2}$
1	Carrelage	2	20	0.40
2	Mortier de ciment.	2	20	0.40
3	Lit de sable	2	18	0.36
4	Plancher en dalle pleine	15	25	3.75
5	Enduit en ciment	2	18	0.36
	Total C	nanente (G)	5.27	

2. Charge concentrée(P):

Tableau. IV.2: Charge concentrée.

N°	Désignations	$E_p(cm)$	Poids $\binom{KN}{m^2}$
Æ	Enduit extérieur en ciment	2	0.36
3	Briques creuses	10	0.9
4	Enduit intérieur en ciment	2	0.28
	TotalCharge perm	1.54	

Hauteur du mur : H = 1.2m

$$P = 1.54 \times 1.2 \times 1 = 1.85 \ kN$$

3. Charge d'exploitation :

$$Q = 3.5KN/m^2$$

IV.3.4. Détermination des sollicitations :

a) Combinaisons d'action :

Le calcul se fait pour une bande de 1 m linéaire.

$$q_u = (1.35G + 1.5Q) \times 1 = 12.36 \text{ kN/ml}$$

$$p_u = 1.35p = 2.49kN$$

✓ ELS:

$$q_{ser} = (G + Q) \times 1 = 8.77 \text{ kN/ml}$$

$$p_{ser} = p = 1.85 \ kN$$

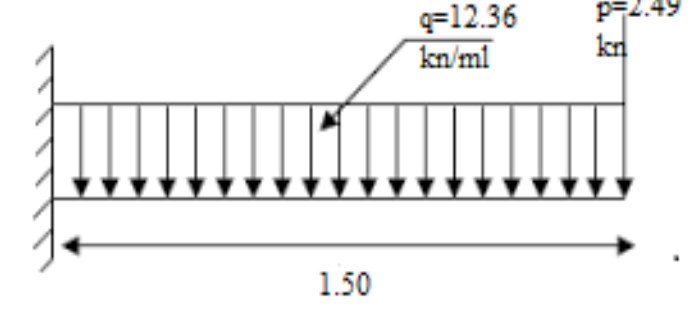


Schéma de statique

b) Moments fléchissant et efforts tranchants :

On a:
$$\begin{cases} M_{max} = \frac{q \times l^2}{2} + p \times l \\ T_{max} = q \times l + p \end{cases}$$

✓ ELU:

$$M_{max} = 17.64 \text{ kN. m}$$

$$T_{max} = 21.03 \ kN$$

✓ ELS:

$$M_{max} = 12.64 \text{ kN.m}$$

$$T_{max} = 15kN$$

IV.3.5. Ferraillage du Balcon:

Armatures longitudinales:

$$\mu = \frac{M_u}{bd^2 f_{bu}} \Longrightarrow \mu = \frac{17.64 \times 10^{-3}}{1 \times (0.9 \times 0.15)^2 \times 14.17} = 0.0683$$

$$\mu = 0.0683 \le \mu_l = 0.392 \ (FeE400) \to \text{Section pas armatures Comprimées } (A_{sc} = 0)$$

$$\alpha = 1.25(1 - \sqrt{1 - 2\mu}) \Rightarrow \alpha = 1.25(1 - \sqrt{1 - 2 \times 0.0683}) = 0.0885$$

$$z = d(1 - 0.4\alpha) \Rightarrow z = 0.9 \times 0.15(1 - 0.4 \times 0.0885) = 0.1302$$

$$A_{cal} = \frac{M_{t}}{z.\,\sigma_{st}}$$

$$A_{cal} = \frac{17.64 \times 10^{-3}}{0.1302 \times 347.826} \times 10^{4} = 3.9 \text{ cm}^{2}$$

Vérification de la condition de non fragilité

$$A_{min} = 0.23b \cdot d \cdot \frac{f_{t28}}{f_e} \Longrightarrow A_{min} = 0.23 \times 1 \times 0.135 \times \frac{2.1}{400} \times 10^4 = 1.63cm^2$$

***** Choix des barres :

On opte pour
$$A_{su} = \max(A_{cal}; A_{min}) = 3.9 \text{ } cm^2 \Rightarrow 4T12 = 4.52 \text{ } cm^2$$

Service Espacement:

$$S_t \le \min(3h; 30 \ cm) \Longrightarrow S_t \le \min(45 \ cm; 30 \ cm) = 30 \ cm$$

$$S_t = 15 cm$$

Les armatures de répartitions :

$$A_r = \frac{A}{4} \Rightarrow A_r = \frac{3.89}{4} = 0.97 \text{ cm}^2$$

thick Choix des barres: $4708 = 2.01 \ cm^2$

Espacement:

$$S_t \le \min(4h; 45cm) \Longrightarrow S_t \le \min(60 \ cm; 45 \ cm) = 45cm$$

$$S_t = 25 cm$$

IV.3.6. Vérification au cisaillement :

$$\tau_u = \frac{T_{max}}{b. d} = \frac{21.03 \times 10^{-3}}{1 \times 0.135} = 0.155 MPa$$

$$\bar{\tau}_u = 0.07 \frac{f_{c28}}{\gamma_b} = 1.17 \ MPa$$

$$\tau_u = 0.155 \, MPa \leq \bar{\tau}_u = 1.17 \, MPa \dots C.V$$

Les armatures transversales ne sont pas nécessaires.

IV.3.7. Vérification de la flèche:

Position de l'axe neutre :

$$y_1 = \frac{(b \times h) \times \frac{h}{2} + n \times A \times d}{(b \times h) + n \times A}$$

$$y_1 = \frac{(100 \times 15) \times \frac{15}{2} + 15 \times 4.52 \times 13.5}{(100 \times 15) + 15 \times 4.52} = 7.76 \text{ cm}$$

$$y_2 = h - y_1 = 7.24 \text{ cm}$$

$$\begin{split} &I = \frac{by_1^3}{3} + \frac{by_2^3}{3} + n \times A(d - y_1)^2 \\ \Rightarrow &I = \frac{100 \times 7.76^3}{3} + \frac{100 \times 7.24^3}{3} + 15 \times 4.52(13.5 - 7.76)^2 \\ \Rightarrow &I = 30460.25 \ cm^4 \\ &f_1 = \frac{q_{ser} \cdot l^4}{8EI} = \frac{8.77 \times 1.50^4 \times 10^8}{8 \times 32164.20 \times 30460.25} = 0.566 \ mm \\ &f_2 = \frac{p_{ser} \cdot l^3}{3EI} = \frac{1.8 \times 1.50^3 \times 10^8}{3 \times 32164.20 \times 30460.25} = 0.206 \ mm \\ &f_t = f_1 + f_2 = 0.772 \ mm \\ &f_{adm} = \frac{1580}{250} = 6.32 \ mm \\ &f_t = 0.772 \ mm \leq f_{adm} = 6.32 \ mm \dots C. \ V \end{split}$$

IV.3.8. Le contre poids :

Poids de balcon:

$$G_1 = e.L.b.\gamma_{BA} = 0.15 \times 1.50 \times 1 \times 25 = 5.63 KN$$

Poids de contre balancement :

$$G_2 = e. x. b. \gamma_{BA} = 0.15X \times 1 \times 25 = 3.75X KN$$

 $G_2 = 60\%G_1 = 3.37 KN$
 $G_2 = 3.75X = 3.37 KN \Rightarrow X = 0.9 m$

IV.3.9. Schéma de ferraillage

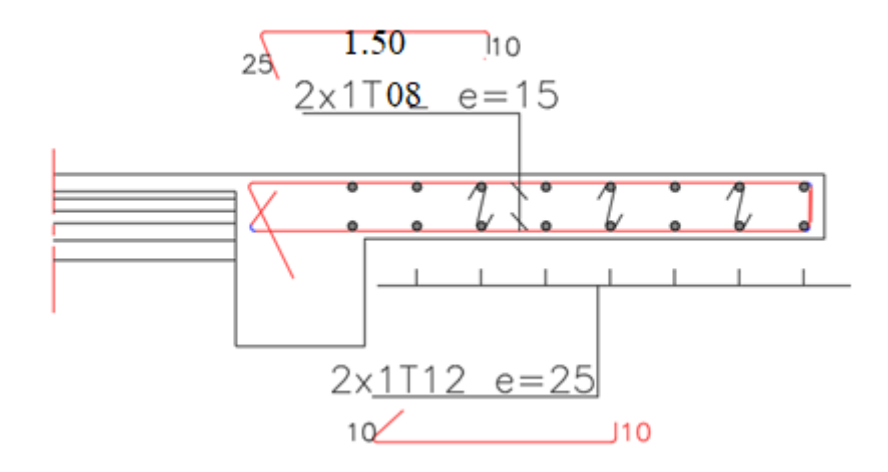


Figure IV-3 : Schéma de ferraillage du balcon

IV.4. Etude d'escalier:

IV.4.1. Définition:

Les escaliers sont des éléments constitués d'une succession de gradins permettant le passage à pied entre les différents niveaux d'un immeuble comme il constitue une issue de secours importante en cas d'incendie.

IV.4.2. Description:

L'escalier se compose généralement par:

✓ La paillasse : une dalle inclinée en béton armé, elle supporte les marches et les contremarches.

- ✓ Palier de repos : L'escalier est équipé avec une petite dalle dite palier de repos ,elle permet aux usagers de se reposer.
- ✓ L'emmarchement : la longueur d'une marche
- ✓ Le giron (g): la largeur d'une marche
- ✓ Contre marche (h) : la hauteur de marche.
- ✓ **Garde de corps :** a pour rôle d'éviter les risques de chute.

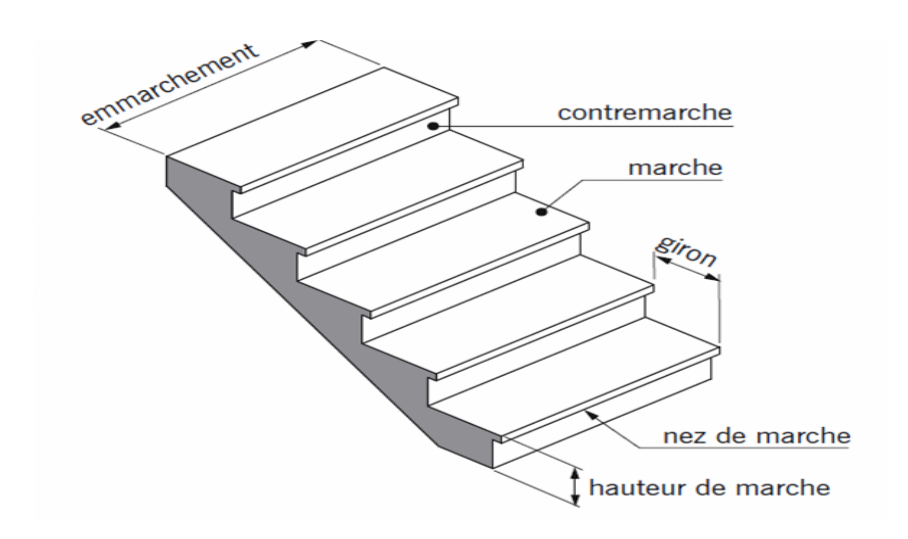


Figure IV.4: Coupe descriptive d'un escalier

IV.4.3. Pré dimensions des escaliers:

Pour les dimensions des marches \ll g \gg et contre marche \ll h \gg on utilisé généralement la formule de \ll Blondel \gg

$$60 cm \le g + 2h \le 66 cm$$

Avec:

- o h : hauteur de contra marche la plus courante varie de 15 à 20 cm
- o g«giron» la dimension de la marche la plus courante varie de 22 à 33 cm
- O H: hauteur de la volée.
- o n : nombre de contre marches
- o L:longueur de la volée.

Escalier RDC et étage courant :

La hauteur d'étage H = 3,06 m

La hauteur de la contre marche : h = 17 cm

Le giron : g = 30 cm

Le nombre de contre marche : $n = \frac{h_e}{2h} = \frac{306}{2 \times 17} = 9$

Le nombre de marche: 9

On aura donc

 $60 \text{ cm} \le 30 + 2 \times 17 = 64 \text{ cm} \le 66 \text{ cm}$

Alors on va opter pour une volée de 09 contre marches.

N.B: nous adoptons 09 contre marches de 17 cm. et 09 marches de 30 cm.

L'ongle d'inclinaison

$$\tan \alpha = \frac{153}{240} = 0.63 \quad \Longrightarrow \alpha = 32.21^{\circ}$$

La longueur de volée :

$$L' = \frac{H_1}{\sin\alpha} = \frac{1.53}{\sin(32.21)} = 2.78 \, m$$

L'épaisseur de la paillasse et de palier :

$$L_T = L + L_p = 2.40 + 1.50 = 3.90 m$$

$$\frac{L_T}{30} \le e \le \frac{L_T}{20} \implies 13cm \le e \le 19.5 \ cm$$

On prendre $e_{pai} = e_p = 15cm$

IV.4.4. Descente des charges :

Tableau IV.3: Evaluation des charges de la paillasse.

	Chargement	Poids KN /m2
1	Carrelage horizontal (e = 2 cm)	0.44
2	Mortier de pose horizontal (e = 2 cm)	0.40
3	Carrelageverticale (e = 2 cm)	0.25
4	Mortier de pose verticale ($e = 2 \text{ cm}$)	0.23
5	Marche en béton armé (h= 17 cm; [(25x 0,17)/2])	2.13
6	Paillasse en béton armé (e= 15 cm; [(25x 0,15)/ cos 32.21])	4.43
7	Enduit en ciment sous Paillasse (e = 2 cm; 0,18 x 2/cos 32.21)	0.43
8	Garde-corps	1
	Charge permanente	9.20
	Surcharge d'exploitation	2.5

Tableau IV.4: Evaluation des charges du palier

	Chargement	Poids KN /m2
1	Carrelage (e= 2 cm)	0.44
2	Mortier de pose (e= 2 cm)	0.40
3	Dalle pleine en béton armé (e = 15 cm; 25 x 0,15)	3.75
4	Enduit en ciment sous palier (e = 2 cm; 0,18 x 2)	0.36
	Charge permanente	4.95
	Surcharge d'exploitation	2.5

IV.4.5. Exemple de calcul:

Calcul des sollicitations :

Le calcul se fait pour une bonde de 1ml

Tableau IV.5: Combinaison de calcul.

Co	ombinaison	Paillasse(KN/ m ²)	palier(KN/ m ²)
ELU	$(1.35G+1.5Q)\times 1\ ml$	16.17	10.43
ELS	$(G+Q)\times 1 \ ml$	11.70	7.45

$$\frac{q_{pail} - q_{pal}}{q_{pail}} \Rightarrow \frac{16.05 - 10.43}{10.43} = 35.01\% \text{ f } 10\%$$

Donc le chargement est composé de la charge appliquée sur la Paillasse et celle sur le palier

- * A ELU:
- **Schéma statique:**

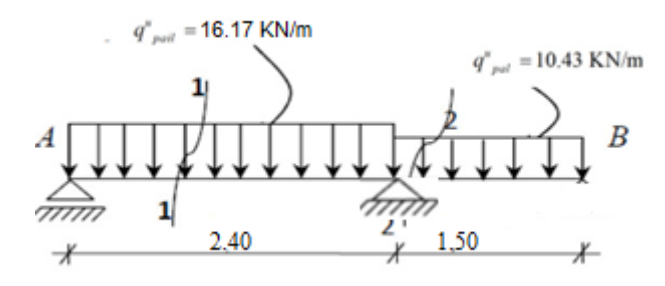


Figure IV.5 : Schéma statique de la charge appliquée sur la Paillasse et le palier (ELU)

Détermination des réactions :

$$\sum_{A} F/y = 0 \Rightarrow V_A + V_B = 10.43 \times 1.5 + 16.17 \times 2.4$$

$$\Rightarrow V_A + V_B = 54.45 \, KN$$

$$\sum_{A} M/A = 0 \Rightarrow 16.17 \times 2.4 \times \left(\frac{2.4}{2}\right) + 10.43 \times 1.5 \times \left(2.4 + \frac{1.5}{2}\right) - 2.40 \, V_B = 0$$

$$\Rightarrow V_B = 39.93 \, kN$$

$$V_A = 14.52 \, kN$$

Les moments fléchissant et L'effort tranchant:

Section 1-1 :
$$0 \le x \le 2.40 \ m$$

$$\begin{cases} M(x) = 14.52 \ x - 16.17 \frac{x^2}{2} \\ T(x) = 14.52 - 16.17x \end{cases}$$

$$Pour x=0 : \begin{cases} M(0) = 0 \\ T(0) = 14.52 \ kN \end{cases}$$

$$Pour x=2.4 \text{ m} : \begin{cases} M(2.4) = -11.52 \ KN. \ m \end{cases}$$

$$T(x) = 0 \implies -16.17x + 14.52 = 0$$

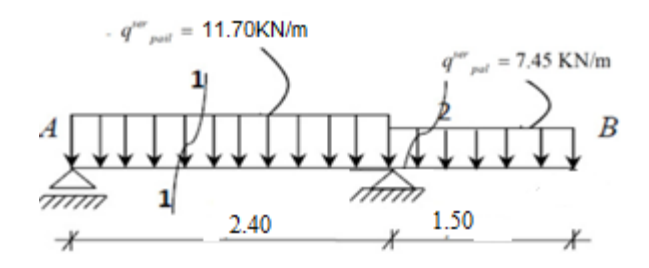
$$\implies x = 0.89m$$

$$M(0.89) = 6.51 \ KN. \ m.$$

Section 2-2 : $0 \le x \le 1.50 \ m$

$$\begin{cases} M(x) = -5.21x^{2} \\ T(x) = 10.43x \end{cases}$$
Pour x=0 m:
$$\begin{cases} M(0) = 0 \ kN.m \\ T(0) = 0 \ kN \end{cases}$$
Pour x=1.5 m:
$$\begin{cases} M(1.5) = -11.72 \ kN.m \\ T(1.5) = 15.62 \ kN \end{cases}$$

***** A ELS:



Détermination des réactions :

$$\sum F/y = 0 \Rightarrow V_A + V_B = 11.70 \times 2.4 + 7.45 \times 1.5$$

$$\Rightarrow V_A + V_B = 39.25 \ KN$$

$$\sum M/A = 0 \Rightarrow 11.70 \times 2.4 \times \left(\frac{2.4}{2}\right) + 7.45 \times 1.5 \times \left(2.4 + \frac{1.5}{2}\right) - 2.40 \ V_B = 0$$

$$\Rightarrow V_B = 28.70 \ kN$$

$$V_A = 10.55 kN$$

Les moments fléchissant et L'effort tranchant:

Section 1-1 : $0 \le x \le 2.4 \ m$

T(x) = 7.45x

Pour x=0 : $\begin{cases} M(0) = 0 \ kN. \ m \\ T(0) = 0 \ kN \end{cases}$

$$\begin{cases} M(x) = 10.55x - 11.70 \frac{x^2}{2} \\ T(x) = 10.55 - 11.70x \end{cases}$$

$$Pour x=0 : \begin{cases} M(0) = 0 \\ T(0) = 10.55 \text{ kN} \end{cases}$$

$$Pour x=2.4 \text{ m} : \begin{cases} M(2.4) = -8.3 \text{ KN. m} \\ T(1.6) = -17.17 \text{ kN} \end{cases}$$

$$T(x) = 0 \text{ m} \implies -11.70x + 10.55 = 0.9$$

$$\implies x = 0.9 \text{ m}$$

$$M(0.90) = 4.75 \text{ KN. m}$$

$$Section 2-2 : 0 \le x \le 1.5 \text{ m}$$

$$(M(x) = -3.72x^2)$$

Pour x=1.5 m:
$$\begin{cases} M(1.5) = -5.58 \text{ KN.m} \\ T(1.5) = 11.17 \text{ kN} \end{cases}$$

Les sollicitations maximales:

Tableau IV.6:Les sollicitations maximales de l'escalier

Sollicitation	ELU	ELS
$M_{t}(KN.m)$	9.79	7.05
$M_a(KN.m)$	3.45	2.49
T(KN)	24.28	17.17

IV.4.6. Calcul de ferraillage:

- **En travée:**
- **Calcul des armatures longitudinales :**

$$\mu_{\text{bu}} = \frac{M_{\text{t}}}{b \cdot d^2 \cdot f_{\text{bu}}} = \frac{9.79 \times 10^{-3}}{1 \times (0.9 \times 0.15)^2 \times 14.17} = 0.0.37$$

$$\mu_{bu} = 0.037 \le \mu_{bc} = 0.493$$

⇒ La section sera partiellement comprimée, le calcul de la section sera fait en flexion simple

$$\alpha = 1,25(1 - \sqrt{1 - 2\mu_u}) \Rightarrow \alpha = 0.047$$

$$z = d(1 - 0.4\alpha) = 0.132$$

$$z = d(1 - 0.4\alpha) = 0.132$$

$$A_s = \frac{M_t}{Z \cdot \sigma_{st}} = \frac{9.79 \times 10^{-3}}{0.132 \times 347.826} \times 10^4 = 2.13 \text{ cm}^2$$

Condition de non fragilité :

$$A_{min} = 0.23 \text{b} \cdot \text{d} \frac{f_{t28}}{f_e} \Rightarrow A_{min} = 0.23 \times 100 \times 13.5 \times \frac{2.1}{400} = 1.63 \text{ cm}^2$$

$$A = \max(A; A_{min}) = 2.13cm^2$$

- Arr Choix des barres : $6HA12 = 6.79 cm^2$
- **Les armatures de répartition :**

$$A_r = \frac{A}{4} \Rightarrow A_r = \frac{6.79}{4} = 1.70 \text{ cm}^2$$

- \bullet Choix des barres:6HA8 = 2.26 cm²
- ❖ En appui:
- **Calcul des armatures longitudinales :**

$$\mu_{\text{bu}} = \frac{M_{\text{ua}}}{b \cdot d^2 \cdot f_{\text{bu}}} = \frac{3.45 \times 10^{-3}}{1 \times (0.9 \times 0.15)^2 \times 14.17} = 0.013$$

$$\mu_{\rm bu} = 0.013 \le \mu_{\rm bc} = 0.493$$

⇒ La section sera partiellement comprimée, le calcul de la section sera fait en flexion simple

⋄
$$\alpha = 1.25(1 - \sqrt{1 - 2\mu_{11}})$$
 ⇒ α=0.016

$$z = d(1 - 0.4\alpha) = 0.134$$

$$A_{s} = \frac{M_{ua}}{Z \cdot \sigma_{st}} = \frac{3.45 \times 10^{-3}}{0.134 \times 347.826} \times 10^{4} = 0.74 cm^{2}$$

Condition de non fragilité :

$$A_{min} = 0.23 \text{b} \cdot \text{d} \frac{f_{t28}}{f_e} \Rightarrow A_{min} = 0.23 \times 100 \times 13.5 \times \frac{2.1}{400} = 1.63 \text{ cm}^2$$

 $A = \max(A; A_{min}) = 1.63 cm^2$

• Choix des barres: $3HA12 = 3.39 cm^2$

Les armatures de répartition :

$$A_r = \frac{A}{4} \Rightarrow A_r = \frac{3.39}{4} = 0.85 \text{ cm}^2$$

Le choix est de :1HA12 = 1.13 cm

IV.4.7. Schéma de ferraillage :

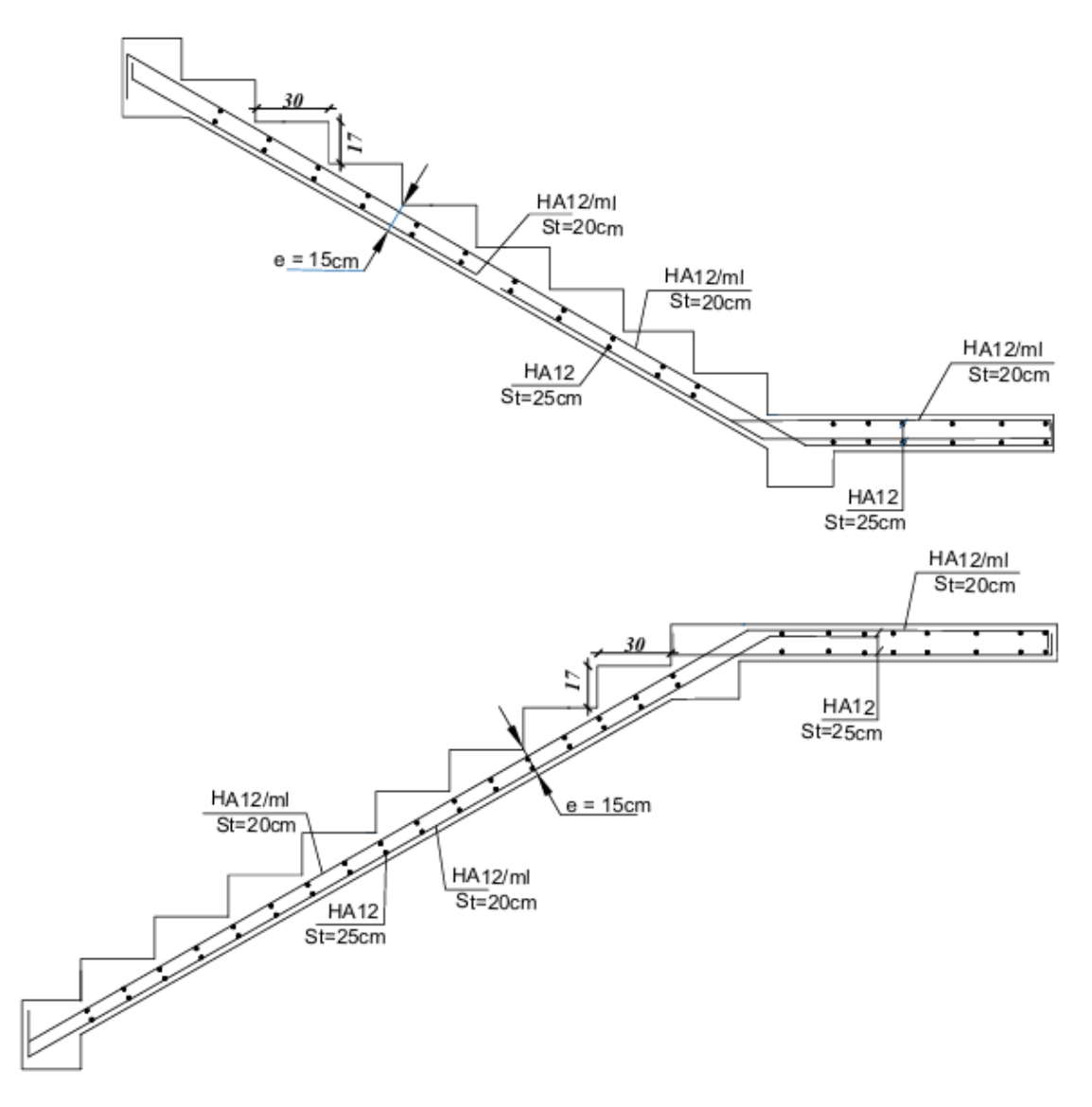


Figure IV.6: Disposition des armatures.

IV.4.8. Vérification à L'ELU:

IV.4.8.1. Vérification du cisaillement :

Pour de la fissuration peu préjudiciable

$$\begin{split} &\tau_u \leq \bar{\tau}_u \\ &\tau_u = \frac{T_u}{b.\,d} = \frac{24.28 \times 10^{-3}}{1 \times 0.135} = 0.18 \, MPa \\ &\bar{\tau}_u = min \left\{ \frac{0.2 f_{c28}}{\gamma_b}; 5MPa \right\} = min \{3.33; 5MPa\} = 3.33 \, MPa \\ &\tau_u = 0.18 \, MPa \leq \bar{\tau}_u = 3.33 \, MPa......C.V \end{split}$$

Il n'y'a pas de risque de rupture par cisaillement.

IV.4.9. Vérification à L'ELS:

• Vérification de la contrainte de compression de béton :

& En appui:

La distance y :

$$by^{2} + [30(A_{st} + A_{sc})]y - [30(d.A_{st} + d'.A_{sc})] = 0$$

$$100y^{2} + [30(3.39 + 0)]y - [30(13.5 \times 3.39 + 2 \times 0)] = 0$$

$$y = 3.23 cm$$

Le moment d'inertie :

$$I = \frac{b \cdot y^3}{3} + 15[A_{st}(d - y)^2 + A_{sc}(y - d')^2]$$

$$I = \frac{100 \times 3.23^3}{3} + 15[3.39(13.5 - 3.23)^2 + 0(3.23 - 2)^2]$$

$$I = 6486.57 \text{ cm}^4$$

La contrainte :

$$\begin{split} &\sigma_{bc} = \frac{M_{a\,ser}}{I}.\,y \leq \bar{\sigma}_{bc} = 0.6 f_{c28} \\ &\sigma_{bc} = \frac{2.49 \times 10^{-3}}{6486.57 \times 10^{-8}}.\,3.23 \times 10^{-2} \leq \bar{\sigma}_{bc} = 0.6 \times 25 \\ &\sigma_{bc} = 1.24\,MPa \leq \bar{\sigma}_{bc} = 15\,MPa \ldots \ldots C.V \end{split}$$

En travée:

La distance y:

$$by^{2} + [30(A_{st} + A_{sc})]y - [30(d.A_{st} + d'.A_{sc})] = 0$$

$$100y^{2} + [30(6.79 + 0)]y - [30(13.5 \times 6.79 + 2 \times 0)] = 0$$

$$y = 4.32 cm$$

Le moment d'inertie :

$$I = \frac{b \cdot y^3}{3} + 15[A_{st}(d - y)^2 + A_{sc}(y - d')^2]$$

$$I = \frac{100 \times 4.32^3}{3} + 15[6.79(13.5 - 4.32)^2 + 0(4.32 - 2)^2]$$

$$I = 11270.53 \text{ cm}^4$$

La contrainte :

$$\begin{split} \sigma_{bc} &= \frac{M_{t\,ser}}{I}.\,y \leq \bar{\sigma}_{bc} = 0.6 f_{c28} \\ \sigma_{bc} &= \frac{7.05 \times 10^{-3}}{11270.53 \times 10^{-8}}.\,4.32 \times 10^{-2} \leq \bar{\sigma}_{bc} = 0.6 \times 25 \\ \sigma_{bc} &= 2.71\,MPa \leq \bar{\sigma}_{bc} = 15\,MPa \ldots \ldots C.V \end{split}$$

• Vérification de la contrainte de traction de l'aciers :

Lorsque la fissuration est peu préjudiciable, donc aucune limitation des contraintes

IV.4.10. Etude de poutre palière :

IV.4.10.1. Pré dimensionnement :

$$\begin{split} L_{max} &= 3 \ m \\ \frac{L_{max}}{15} &\leq h \leq \frac{L_{max}}{10} \Rightarrow \frac{300}{15} \leq h \leq \frac{300}{10} \\ &\Rightarrow 20 \ cm \leq h \leq 30 \ cm \end{split}$$

$$\Rightarrow h = 35 cm$$

$$0.4h \le b \le 0.8h \Rightarrow 0.4 \times 35 \le b \le 0.8 \times 35$$

$$\Rightarrow 14 \ cm \le b \le 28 \ cm$$

$$\Rightarrow b = 30 cm$$

✓ Vérification des conditions par le RPA99 version 2003 :

$$h = 35 \ cm \ge 30 \ cm \dots \dots C.V$$

 $b = 30 \ cm \ge 20 \ cm \dots \dots C.V$

$$\frac{h}{b}$$
 = 1.17 cm \le 4 cm C.V

Donc on adopte pour la poutre palière une section de : $(b \times h) = (30 \times 35)cm^2$

IV.4.10.2. Evaluation des charges :

Poids propre de poutre :

$$G_{Poutre}=25\times0.3\times0.35=2.63\,KN/m$$

Charge permanente du palier et Paillasse :

$$G = \frac{4.95 + 9.20}{2} = 7.04 \, KN/m$$

$$G_t = 9.67 \, KN/m$$

IV.4.10.3. Combinaisons:

ELU:
$$q_u = 1.35G_t + 1.5Q = 16.8 \, KN/m$$

$$ELS:q_{ser}=G_t+Q=12.17\;KN/m$$

IV.4.10.4. Calcul des sollicitations :

- **❖** A ELU:
- **Schéma statique :**

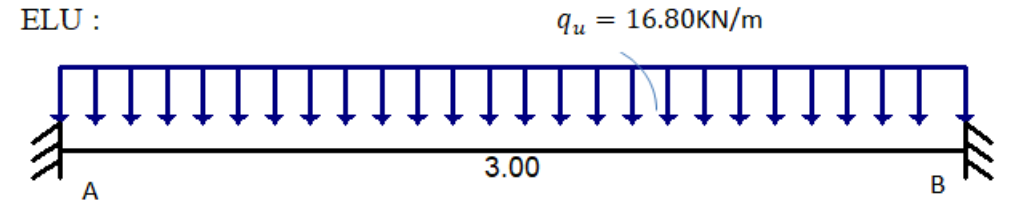


Figure IV.7 : Schéma statique de la charge appliquée sur la poutre de palier (ELU)

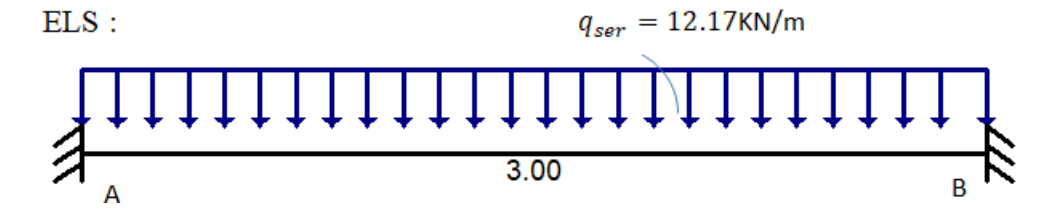


Figure IV.8: Schéma statique de la charge appliquée sur la poutre de palier (ELS)

Les moments fléchissant :

& En appuis:

$$M_a = -\frac{q_u L^2}{12} = -12.6 \text{ KN. m}$$

En travée:

$$M_t = \frac{q_u L^2}{24} = 6.3 \ KN. m$$

❖ L'effort tranchant:

$$T_A = \frac{q_u \cdot L}{2} = 25.2 \text{ KN}$$

$$T_B = -\frac{q_u \cdot L}{2} = -25.2 \text{ KN}$$

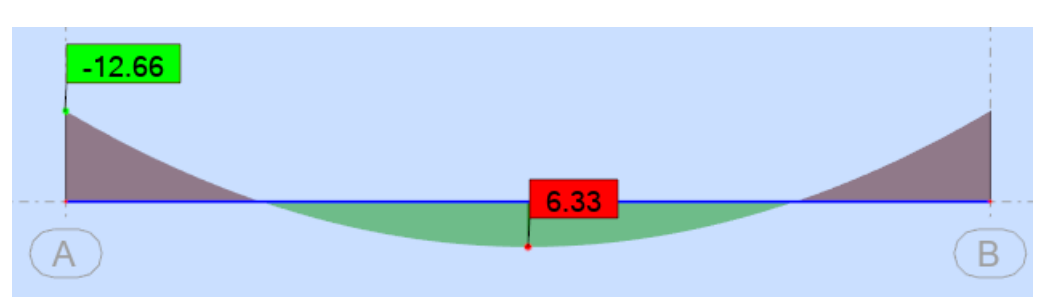
Les sollicitations en tableaux :

Tableau IV.7: Sollicitations agissant sur la poutre palière.

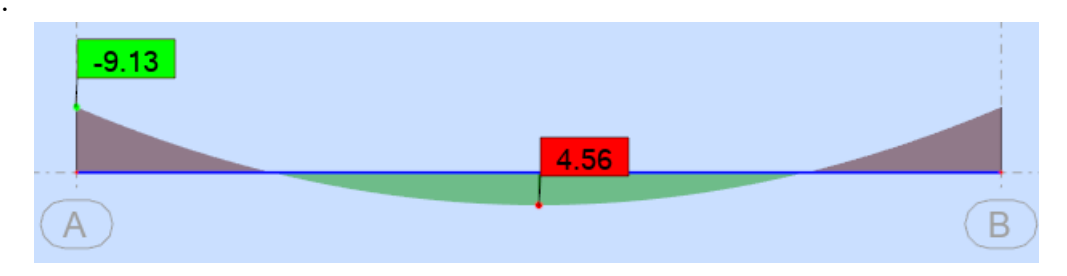
Sollicitation	ELU	ELS
$M_{t}(KN.m)$	6.3	4.56
$M_a(KN.m)$	12.6	9.13
T(KN)	25.2	18.26

Les Diagramme des moments :

ELU:

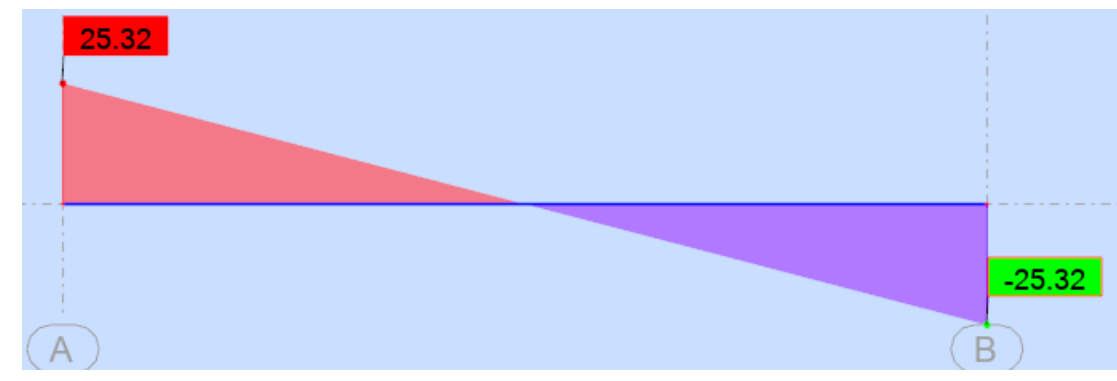


ELS:

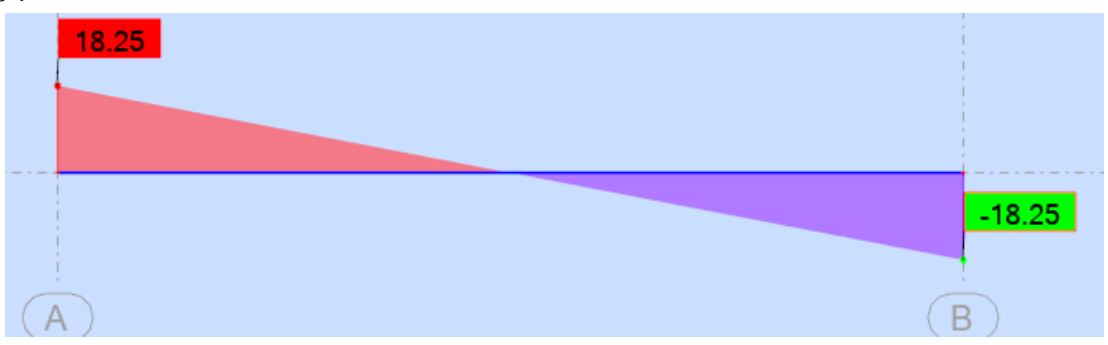


Les Diagramme des efforts tranchants :

ELU:



ELS:



IV.4.10.5. Calcul de ferraillage:

- **Calcul des armatures longitudinales :**
- **En travée :**

$$\mu_{bu} = \frac{M_t}{f_{bu} \cdot b \cdot d^2} = \frac{6.3 \times 10^{-3}}{14.17 \times 0.3 \times 0.315^2} = 0.0149$$

$$\mu_{bu} = 0.0149 \leq \mu_l = 0.392 \ \rightarrow pas \ d'armaturs \ comprimées$$

$$\alpha = 1.25(1 - \sqrt{1 - 2\mu_{bu}}) = 0.0188$$

$$z = d(1 - 0.4\alpha) = 0.3126m$$

$$A_t = \frac{M_{tx}}{z \cdot \bar{\sigma}_s} = \frac{6.3 \times 10^{-3}}{0.3126 \times 347.826} \times 10^4 = 0.58 \text{ cm}^2$$

Vérification de la condition de non fragilité :

$$A_{min} = 0.23b \cdot d \cdot \frac{f_{t28}}{f_e} \Longrightarrow A_{min} = 0.23 \times 0.3 \times 0.315 \times \frac{2.1}{400} \times 10^4 = 1.14 \text{ cm}^2$$

$$A = Max(A_t; A_{min}) = 1.14 cm^2$$

- choix des barres : $3HA12 = 3.39 \text{ cm}^2$
- **En appuis:**

$$\mu_{bu} = \frac{M_a}{f_{bu} \cdot b \cdot d^2} = \frac{12.6 \times 10^{-3}}{14.17 \times 0.3 \times 0.315^2} = 0.0299$$

 $\mu_{bu} = 0.0299 \le \mu_l = 0.392 \rightarrow pas~d'armaturs~comprimées$

$$\alpha = 1.25 \left(1 - \sqrt{1 - 2\mu_{bu}} \right) = 0.0379$$

$$z = d(1 - 0.4\alpha) = 0.310m$$

$$A_a = \frac{M_{tx}}{z \cdot \bar{\sigma}_s} = \frac{12.6 \times 10^{-3}}{0.310 \times 347.826} \times 10^4 = 1.17 \text{cm}^2$$

Vérification de la condition de non fragilité :

$$A_{min} = 0.23b \cdot d \cdot \frac{f_{t28}}{f_e} \Longrightarrow A_{min} = 1.14 \ cm^2$$

$$A = Max(A_t; A_{min}) = 1.17cm^2$$

- \Leftrightarrow choix des barres : $3HA12 = 3.39 \text{ cm}^2$
- **Calcul des armatures transversales :**
- **❖** Diamètre des armatures transversales :

$$\emptyset_t \le \min\left(\frac{h}{35}; \frac{b}{10}; \emptyset_{l\min}\right) \Rightarrow \emptyset_t \le \min\left(\frac{350}{35}; \frac{300}{10}; 12\right) \Rightarrow \emptyset_t \le 10 \text{ mm}$$

On optera pour un cadre en : $\emptyset_t = 6 \text{ mm}$

Donc $:406 = 1.13 \text{ cm}^2$

Second : Espacement des armatures transversales :

Suivant BAEL:

Espacement minimal:

$$S_t \le \min(0.9d; 40 \text{ cm}) \Rightarrow S_t \le \min(28.35; 40 \text{ cm}) \Rightarrow S_t \le 28.35 \text{ cm}$$

$$S_t = 25 \text{ cm}$$

Pourcentage minimal:

$$s_t \le A_t \times \frac{f_e}{0.4b} \Longrightarrow s_t \le 1.13 \times \frac{235}{0.4 \times 30} = 22.13 \ cm$$

$$s_t = 20 cm$$

Suivant RPA99 version 2003:

La zone nodale:

$$S_t \le \min\left(\frac{h}{4};12\varnothing_{l\min};30 \text{ cm}\right) \Rightarrow S_t \le \min\left(\frac{35}{4};12\times1,2;30 \text{ cm}\right) \Rightarrow S_t \le 8,75 \text{ cm}$$

$$S_t = 8 \,\mathrm{cm}$$

Le premier cadre doit être disposées à 5 cm du nu de l'appui ou de l'encastrement.

La zone courante :

$$S_t \le \frac{h}{2} \Rightarrow S_t \le \frac{35}{2} \Rightarrow S_t \le 17,5 \text{ cm}$$

$$S_t = 15 \,\mathrm{cm}$$

IV.4.11. Schéma de ferraillage:

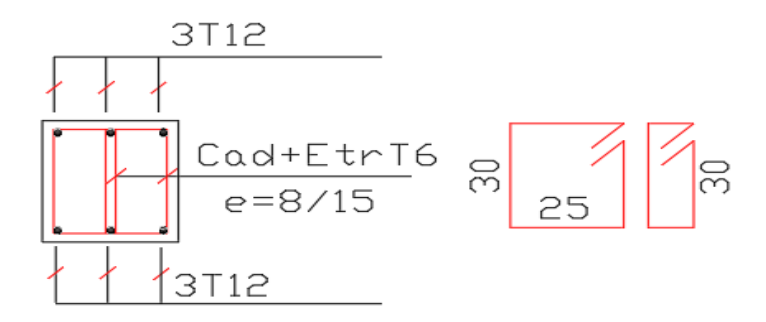


Figure IV.9 : Schéma de ferraillage poutre palier

IV.4.12. Vérification à L'ELU:

IV.4.12.1. Vérification du cisaillement :

Pour de la fissuration peu préjudiciable :

Il n'y'a pas de risque de rupture par cisaillement.

IV.4.13. Vérification à L'ELS:

IV.4.13.1. Vérification de la contrainte de compression de béton :

& En appuis:

La distance y:

$$by^{2} + [30(A_{st} + A_{sc})]y - [30(d.A_{st} + d'.A_{sc})] = 0$$

$$30y^{2} + [30(3.39 + 0)]y - [30(31.5 \times 3.39 + 2 \times 0)] = 0$$

$$y = 8.78 cm$$

Le moment d'inertie :

$$I = \frac{b \cdot y^3}{3} + 15[A_{st}(d - y)^2 + A_{sc}(y - d')^2]$$

$$I = \frac{30 \times 8.78^3}{3} + 15[3.39(31.5 - 8.78)^2 + 0(8.78 - 2)^2]$$

 $I = 33017.05 cm^4$

La contrainte:

$$\begin{split} \sigma_{bc} &= \frac{M_{a\,ser}}{I}.\, y \leq \bar{\sigma}_{bc} = 0.6 f_{c28} \\ \sigma_{bc} &= \frac{9.13 \times 10^{-3}}{33017.05 \times 10^{-8}} \times 8.78 \times 10^{-2} \leq \bar{\sigma}_{bc} = 0.6 \times 25 \\ \sigma_{bc} &= 2.42\,MPa \leq \bar{\sigma}_{bc} = 15\,MPa \ldots \ldots C.V \end{split}$$

& En travée:

La distance y :

$$y = 8.78 cm$$

Le moment d'inertie :

$$I = 33017.05 cm^4$$

La contrainte:

$$\begin{split} &\sigma_{bc} = \frac{M_{t\,ser}}{I}.y \leq \bar{\sigma}_{bc} = 0.6 f_{c28} \\ &\sigma_{bc} = \frac{4.56 \times 10^{-3}}{33017.05 \times 10^{-8}} \times 8.78 \times 10^{-2} \leq \bar{\sigma}_{bc} = 0.6 \times 25 \\ &\sigma_{bc} = 1.21 \ MPa \leq \bar{\sigma}_{bc} = 15 \ MPa \ldots \ldots C.V \end{split}$$

IV.4.13.2. Vérification de la contrainte de traction de l'acier :

Lorsque la fissuration est peu préjudiciable, donc aucune limitation des contraintes

IV.4.14. Vérification de la flèche :

$$y_{1} = \frac{\left[(b \cdot h) \frac{h}{2} \right] + \left[(n \cdot A_{s})(h - d) \right]}{(b \cdot h) + (n \cdot A_{s})}$$

$$y_{1} = \frac{\left[(30 \times 35) \frac{35}{2} \right] + \left[(15 \times 3.39)(35 - 31.5) \right]}{(30 \times 35) + (15 \times 3.39)}$$

$$y_{1} = 12.18 cm$$

$$y_{2} = 35 - 12.18 = 22.82 cm$$

$$I = \frac{by_{2}^{3}}{3} + \frac{by_{1}^{3}}{3} + (n \cdot A_{s})(d - y_{2})^{2}$$

$$I = \frac{30 \times 22.82^{3}}{3} + \frac{30 \times 12.18^{3}}{3} + (15 \times 3.39)(31.5 - 22.82)^{2}$$

$$I = 140736.18 cm^{4}$$

$$E = 32164.20 MPa$$

$$f = \frac{q_{ser} \cdot L^{4}}{384EI} \le f_{ad} = \frac{L}{500}$$

$$f = \frac{12.17 \times 10^{-3} \times 3^{4}}{384 \times 32164.2 \times 140736.18 \times 10^{-8}} \times 10^{2} \le f_{ad} = \frac{300}{500}$$

$$f = 0.0057 \le f_{ad} = 0.6 \dots C.V$$

IV.5. Etude L'ascenseur:

IV.5.1. Définition :

Un ascenseur est un dispositif mobile assurant le déplacement des personnes (et des objets) en hauteur sur des niveaux définis d'une construction.

Les dimensions, la construction et le contrôle en temps réel pendant l'usage des ascenseurs permettent l'accès sécurisé des personnes.

Cet appareil élévateur est installé la plus part du temps dans une cage d'ascenseur (une trémie verticale fermée en générale à l'intérieur de l'édifice), composée de trois constituants principaux :

Cabine : organe destiné à recevoir les personnes ou les charges à transporter ;

Treuil de levage de la poulie et

Le contre poids.

IV.5.2. Etude de l'ascenseur :

D'après la norme française **NF-P82-209** qui répartit les ascenseurs en cinq classes dont la classe I contient les ascenseurs destinés principalement au transport des personnes, que l'on désignait auparavant sous le terme simple d'ascenseur, les Dimensions de la cabine (voir constitution des ascenseurs et monte-charge P58/59).

C'est ainsi que la norme **NF-P82-208** a adopté plusieurs types de cabine selon la charge à transporter, et pour un immeuble à usage d'habitation; On a opté pour un ascenseur de 08 personnes dont la charge maximale est d'environ 600 da N, donc; les dimensions sont :

-Largeur de la cabine : Lc = 1.10m -Profondeur de la cabine : Pc = 1.20m-Largeur de la gaine : $L_G = 1.60 \text{ m}$ -Profondeur de la gaine : $P_G = 1.60 m$ -Hauteur de la cabine : Hc = 2.20m -Largeur du passage libre Lp = 0.80m -Hauteur du passage libre : Hp = 2.00m -Epaisseur de voile : e = 20cm

-Hauteur de course :C = 39.78 m

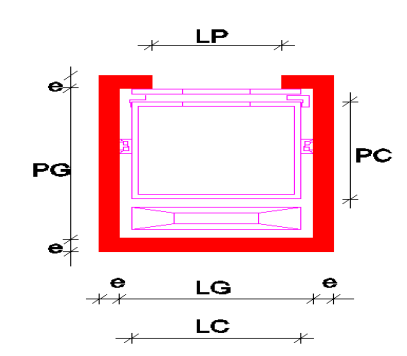


Figure IV.10.: Dimensions de l'ascenseur

* Remarque:

Les dimensions de l'ascenseur sont prises en assurant la protection contre le feu et le bruit, pour cela on prend l'épaisseur de la dalle machine égale à 15cm; et une gaine d'ascenseur de vitesse supérieure à 1 m/s.

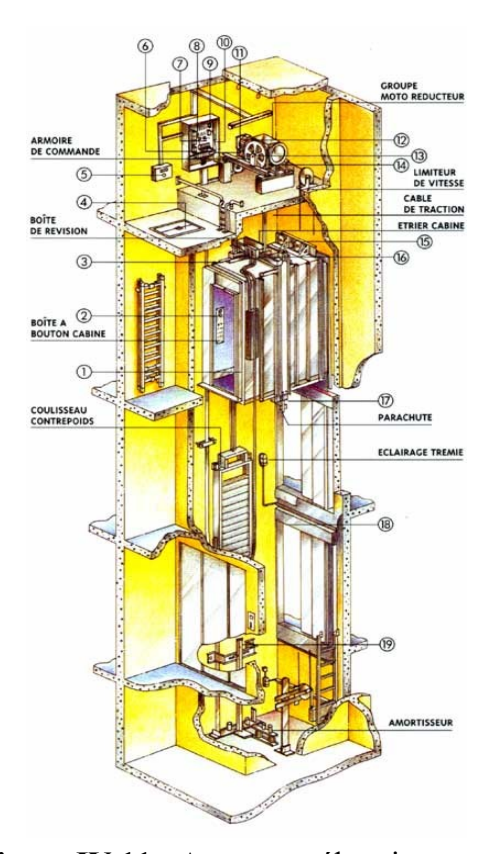


Figure IV.11: Ascenseur électrique

IV.5.3.Descente de charges :

a. Surcharge d'exploitation :

Q = 6 KN (08 personnes)

b. Charges permanentes:

1. Masse de la cabine : est composé de la somme des masses suivantes :

• Masse des côtés :

La masse de la surface des cotés, augmentée de 10% à raison de 0.115 KN/m²:

$$S_1 = (L_c + 2P_c)H_c \Longrightarrow S_1 = (1.1 + 2 \times 1.2) \times 2.2 = 7.7 m^2$$

 $M_1 = (0.115 + 0.1 \times 0.115) = 0.97 KN$

• Masse du plancher :

La masse du plancher à raison de 0.70 KN/m² pour appareils de 300 à 600daN de charge :

$$S_2 = L_c. P_c \implies S_2 = 1.1 \times 1.2 = 1.32 m^2$$

 $M_2 = 0.7 \times 1.32 = 0.92 KN$

• Masse du toit :

La masse du toit a raison de 0.20 KN/m²:

$$S_3 = L_c. P_c \Longrightarrow S_3 = 1.1 \times 1.2 = 1.32 m^2$$

 $M_3 = 0.2 \times 1.32 = 0.26 KN$

• Masse de l'arcade :

La masse de l'arcade à raison de partie fixe de 0.60 KN plus 6 KN/m de largeur de cabine de 3 KN à 6 KN de charge :

$$M_4 = 0.6 + (0.6 \times 1.1) = 1.26 \, KN$$

• Masse de La porte de la cabine :

Partie fixe de 0.80 KN plus 0.25 KN/m² de surface de porte

$$M_5 = 0.8 + (0.25 \times 1.1 \times 2) = 1.35 \ KN$$

• Masse du parachute :

Parachute à prise amortie

$$M_6 = 1 KN$$

• Masse des accessoires :

$$M_7 = 0.8 \, KN$$

• Masse des poulies de mouflage :

Deux poulies supplémentaires

$$M_8 = 0.3 \times 2 = 0.6 \, KN$$

Donc le poids mort est égal à :

$$P_T = \sum M_i \Longrightarrow P_T = 7.16 \ KN$$

2. Masse du contre poids :

$$M_P = P_T + \frac{Q}{2} \Longrightarrow M_P = 7.16 + \frac{6}{2} = 10.16 \, KN$$

3. Masse du câble :

Détermination du diamètre du câble, d'après la norme NF 82-210 C_s doit être pour cet appareil au minimum égal à 12 et le rapport D/d au minimum égal à 40 et aussi selon abaque de détermination de suspentes.

$$D = 500 \, mm$$

$$\frac{D}{d} = 40 \Longrightarrow d = \frac{D}{40} = 12.5 \ mm$$

Avec:

D: Diametre de la poilie mouflage pris entre 400 et 800 mm

d: Diametre du cable

Détermination de la charge de rupture effective :

$$C_r = C_s \cdot M$$

C_s: coefficient de sécurité (abaque de détermination des suspentes)

M : égal à la somme de la charge utile Q, poids mort P et la masse des câbles qui est considérée comme négligeable par rapport aux deux autres.

$$C_r = 17(6 + 7.16) = 223.72 \, KN$$

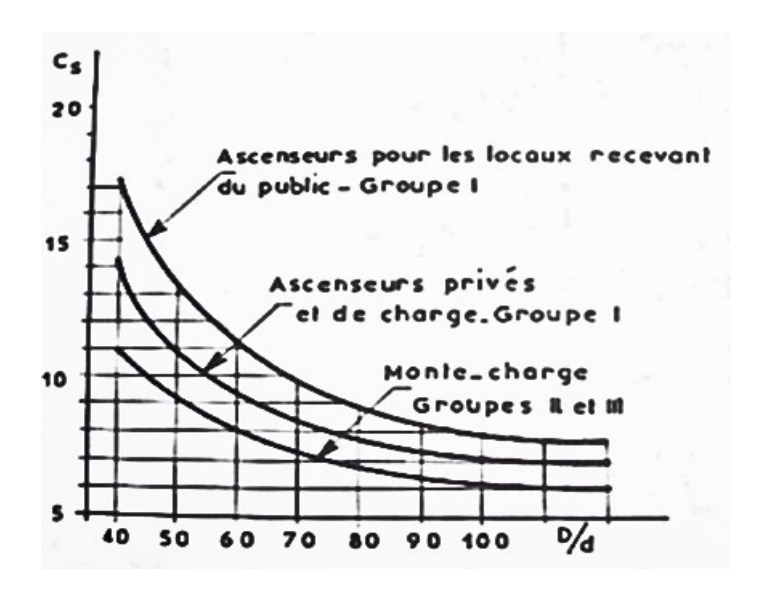


Figure IV-12: Le coefficient de sécurité des câbles

Pour obtenir la charge de rupture minimale nécessaire $C_{\rm m}$, il convient de faire intervenirle coefficient de câblage qui est égal à 0.85 donc:

$$C_m = \frac{C_r}{0.85} \Longrightarrow C_m = \frac{223.72}{0.85} = 263.2KN$$

Détermination de nombre de câble :

$$n = \frac{C_m}{C_{r\,(cable)}.m}$$

Avec:

m : type de mouflage ;

n : nombre de câble et

C_r (câble) : charge de rupture par câble en fonction du diamètre.

 $d = 12.5 \,\text{mm} \Rightarrow C_r(\text{cable}) = 8152 \,\text{daN} \,(\text{voir tableau suivant})$:

Tableau IV.8 : Caractéristiques des câbles

Tableau 17.0. Caracteristiques des cables					
Diamètre des câbles [mm]	Diamètres des fils [mm]	Section [mm ²]	Masse linéaire M _L [daN/m]	Charge admissible totale C _r [daN]	
7.87	0.5	21.05	0.203	3223	
9.48	0.6	30.26	0.293	4650	
11.00	0.7	41.27	0.396	6232	
12.6	0.8	53.34	0.515	8152	
14.2	0.9	67.98	0.656	10805	
15.5	1.0	83.84	0.810	12830	

$$n = \frac{263.2}{81.52 \times 2} = 1.61$$
 On prend :n = 2 câbles.

Détermination de Masse totale des câbles :

$$M_C = M_L.n.C$$

Avec:

M_L : masse linéaire du diamètre d'un seul câble

C : course du câble (hauteur du course)

$$M_c = 0.00515 \times 2 \times 31.56 = 0.33 \, kN.$$

❖ Masse du treuil + Moteur :

$$M_a = 12 KN$$

Combinaisons fondamentales:

> Etat limite ultime :

$$q_u = 1.35G + 1.5Q = 1.35 \times 29.65 + 1.5 \times 6 = 49.03 \ kN.$$

> Etat limite de service :

$$q_{ser} = G + Q = 29.65 + 6 = 35.65 \, kN.$$

> Etude du plancher :

a. Vérification de poinçonnement :

D'après l'article A.5.2.4 du B.A.E.L.91 :
$$q_a^u \leq \frac{0.45 \cdot U_c \cdot f_{c28} \cdot h}{\gamma_b}$$

Avec:

 q_a^u : charge ultime pour chaque appui;

 U_c : périmètre du contour au niveau du feuillet moyen;

h:épaisseurde la dalle égal a 15cm;

U,V: représentent les côtes du rectangle $(U//Lx \ et \ V//Ly)$ sur lequel la charge q_u s'applique, compte tenu de la diffusion à 45degré dans le béton.

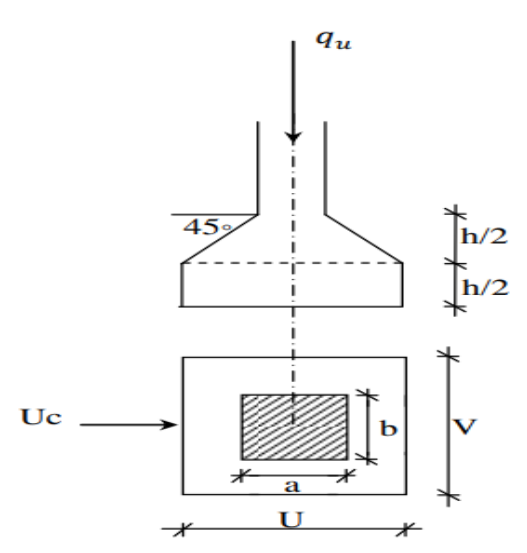


Figure IV.13.: Schéma de la surface d'impact

Pour chacun des quatre appuis :

$$q_a^u = \frac{q_u}{4} \Longrightarrow q_a^u = \frac{49.03}{4} = 12.26 \, kN$$
 $q_a^{ser} = \frac{q_{ser}}{4} \Longrightarrow q_a^u = \frac{35.65}{4} = 8.91 \, kN$

La surface impact $(a \times b)$ est de (10×10) cm^2

$$U = a + \left(\frac{h/2}{\tan{(45^{\circ})}} \times 2\right) \Longrightarrow U = 10 + \left(\frac{15/2}{1} \times 2\right) = 25 \ cm$$

$$V = b + \left(\frac{h_2}{\tan{(45^\circ)}} \times 2\right) \Longrightarrow V = 10 + \left(\frac{15_2}{1} \times 2\right) = 25 \text{ cm}$$

$$U_c = 2 \times [U + V] \Rightarrow Uc = 100cm.$$

Donc:

Conclusion: La dalle résiste au poinçonnement.

b. Calcul des sollicitations :

L'étude des dalles soumises à des charges localisées sera fait à l'aide des abaques de **PIGEAUT** et en plaçant les charges au centre ; leur moments seront par mètre linéaire.

$$M_x = Q_a(M_1 + vM_2)$$

$$M_{\nu} = Q_a(M_2 + \nu M_1)$$

Avec:

v: Coefficient de poisson.

 M_1 ; M_2 : sans dimensions, sont donnés à partir des rapports U/Lx et V/Ly dans les abaques de PIGEAUD suivants $\alpha = \frac{L_x}{L_x}$

 $\alpha = \frac{L_x}{L_y} = \frac{2}{2.1} = 0.95 \ge 0.4$ La dalle porte dans les deux sens.

U ly	1/2	0,0	0,1	0,2	0,3	0,4	0,5	0,6	0,7	0,8	0,9	1,0
	0,0	_	0,254	0,187	0,154	0,151	0,115	0,102	0,090	0,081	0,075	0,067
	0,1	0,302	0,235	0,183	0,152	0,130	0,114	0,101	0,089	0,080	0,073	0,067
	0,2	0,260	0,214	0,175	0,148	0,128	0,112	0,099	0,088	0,079	0,072	0,066
E	0,3	0,227	0,196	0,164	0,142	0,124	0,109	0,097	0,086	0,078	0,070	0,065
g	0,4	0,202	0,178	0,153	0,134	0,118	0,105	0,093	0,083	0,075	0,068	0,063
	0,5	0,181	0,160	0,141	0,126	0,115	0,100	0,089	0,080	0,075	0,066	9,060
5	0,6	0,161	0,146	0,130	0,118	0,106	0,095	0,085	0,077	0,069	0,063	0,057
Valeurs	0,7	0,144	0,133	0,121	0,110	0,098	0,088	0,079	0,072	0,065	0,058	0,054
	0,8	0,132	0,123	0,113	0,102	0,092	0,083	0,074	0,067	0,061	0,055	0,049
	0,9	0,122	0,114	0,103	0,093	0,084	0,076	0,068	0,062	0,057	0,051	0,046
	1,0	0,412	0,102	0,093	0,084	0,075	0,068	0,062	0,057	0,051	0,046	0,042
	0,0	_	0, 310	0,200	0,167	0,149	0,134	0,122	0.550	0.000		
	91	0,253	0,208	0,173	0,157	0,136	0,123		0,110	0,098	0,088	9,081
	0,2	0,202	0,175	0,152	0,137			0,110	0,099	0,089	0,081	0,074
Ea	0,5	0,167	0,150	0,135	0,123	0,123	0,110	0,100	0,089	0,082	0,074	0,067
8	0,4	0,143	0,132	0,122	0,110	0,110	0,099	0,088	0,081	0,074	0,067	0,061
Valeurs de	9,5	0,128	0,118	0,108	0,097	0,088	0,080	0,081	0,074	0,067	0,061	0,056
9	0,6	0,114	0,106	0,096	0,087	0,079	0,075			0,062	0,056	0,051
9	0,7	0,102	0,094	0,086	0,078	0,073	0,067	0,067	0,062	0,056	0,052	0,047
	0,8	0,090	0,083	0,077	0,072	0,066		0,056	0,057	0,052	0,047	0,043
	0,9	0,081	0,076	0,071	0,066	0,061	0,062	0,052	0,052	0,047	0,043	0,038
	1,0	0,073	0,069	0,065	0,060	0,055	0,050	0,047	0,047	0,043	0,038	0,035

Tableau IV.9Les coefficients M_1 et M_2 par l'abaque de PIGEAUD

La charge surfacique appliquée sur le rectangle A (25x 25) cm² est :

$$Q_u = \frac{q_u}{V.U}$$

Les moments dus aux charges concentrées :

Lorsque la charge n'est pas concentrique, on procède de la façon suivante : Soit pour

fig.IV-13. une dalle de dimension $L_x \times L_y$ soumise à une charge concentrique (A) répartie sur un rectangle $(U \times V)$

On divise la dalle en rectangles fictifs donnant les charges symétriques :

04 rectangles symétriques A ,02 rectangles symétriques B ,02 rectangles symétriques C

01 rectangle au centre D

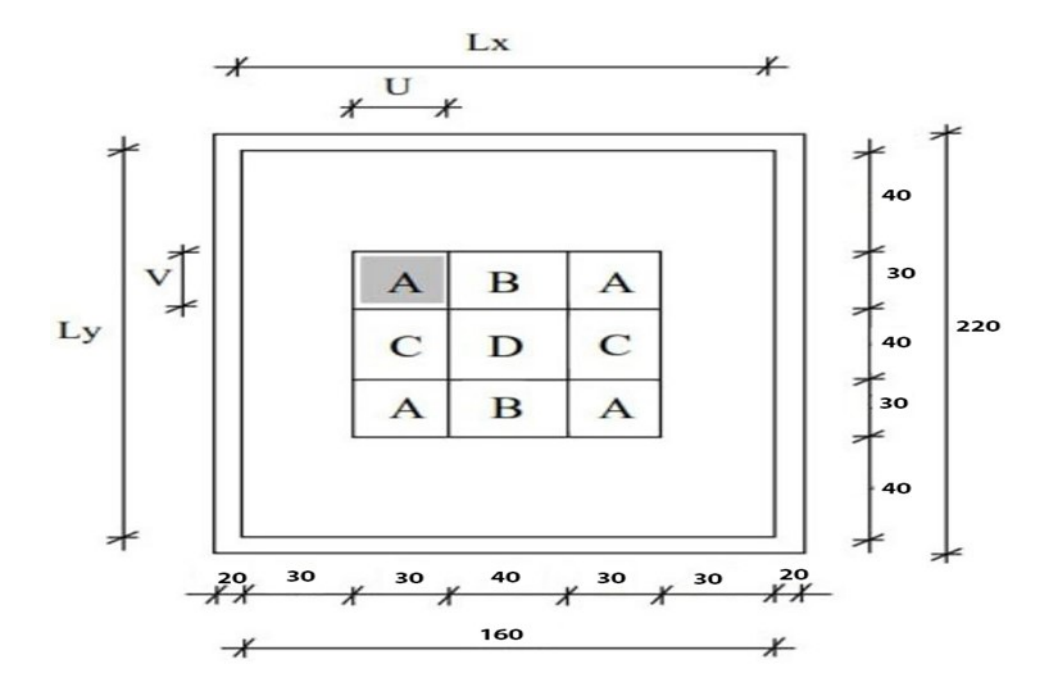


Figure IV-14: Schéma de la dalle.

On divise la dalle en rectangle fictif donnant des charges symétriques comme suite :

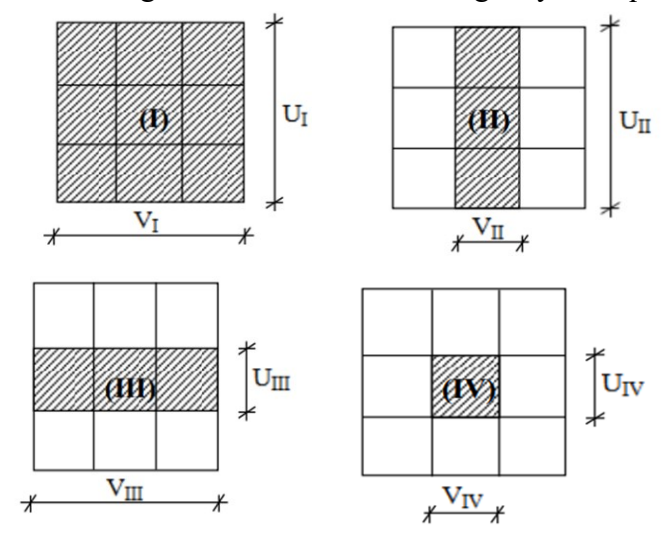


Figure IV-14: répartition de les charges sur la dalle

Donc:

$$M_{XC} = \frac{\left(M_{XI} - M_{XII} - M_{XIII} + M_{XIV}\right)}{4}$$

$$M_{YC} = \frac{\left(M_{YI} - M_{YII} - M_{YIII} + M_{YIV}\right)}{4}$$

Tableau IV.10: Tableau récapitulatif des résultats

		ti		IV	
***	I	II	III		
U	1	1	0,40	0,40	
V	1	0,40	1	0,40	
S=U.V	1	0,40	0,40	0,16	
$\frac{U}{L_x}$	0,50	0,50	0,20	0,20	
$\frac{V}{L_{y}}$	0,48	0,19	0,45	0,19	
M_1	0,103	0,112	0,147	0,175	
M_2	0,084	0,110	0,115	0,152	
$Q_{a \text{ u}} = \frac{q_{a \text{ u}}}{V.U} \text{ (KN/m}^2)$	196,16				
$Q_{a \text{ ser}} = \frac{q_{a \text{ ser}}}{V.U} \text{ (KN/m}^2)$	142,56				
$Q'_{a u} = Q_{a u}.S (KN)$	196,16	78,46	78,46	31,39	
$Q'_{a \text{ ser}} = Q_{a \text{ ser}} . S \text{ (KN)}$	142,56	57,02	57,02	22,81	
M_{xu} (KN.m)	20,20	8,79	11,53	5,49	
M_{yu} (KN.m)	16,48	8,63	9,02	4.77	
$M_{x \text{ ser}}$ (KN.m)	17.08	7,64	9,69	4,69	
$M_{\rm yser}$ (KN.m)	14,91 7,55 8,23 4,27				
M_{XCu} (KN.m)	1,34				
M_{YCu} (KN.m)	0,90				
M _{XC ser} (KN.m)		1,	11		
M _{YC ser} (KN.m)		0,:	85		

IV.5.4. Evaluation du moment de Dalle machine :

Descente des charges :

Dalle machine : $e_p = 15 cm$

$$G_{dalle} = e_p \cdot \gamma_b = 3.75 \ kN/m^2$$

La dalle n'est pas accessible, alors la surcharge d'exploitation $Q = 1 \text{ KN/m}^2$

La dalle de notre structure portent selon deux directions ⇒ le calcul se fait en flexion Simple.

> Combinaison d'action :

Le calcul se fait pour une bande de 1 ml

ELU:
$$q_u = (1,35G+1,5Q)b \Rightarrow q_u = (1,35\times3,75+1,5\times1)\times1 \quad q_u = 6,56 \text{ KN/m}$$

ELS:
$$q_{ser} = (G+Q)b \Rightarrow q_{ser} = (3,75+1) \times 1 \ q_{ser} = 4,75KN/m$$

> Calcul des moments :

Panneau continu (intermédiaire)

$$\alpha = \frac{l_x}{l_y} = \frac{3.5}{5.68} = 0.62 > 0.4 \Longrightarrow$$
 Donc la dalle est portée sur deux sens.

Moment isostatique

A l'ELU:

$$M_{0x} = \mu_x \cdot q_u \cdot l_x^2$$

$$M_{0y} = \mu_y \cdot M_{0x}$$

$$\mu_x = 0.0410$$

$$\mu_{\nu} = 0.8875$$

$$M_{0x} = 0.041 \times 6.56 \times 2^2 = 1.076 \text{ KN. m}$$

$$M_{0y} = 0.88754 \times 1.076 = 0.95 \, KN. \, m$$

A l'ELS:

$$M_{0x} = \mu_x \cdot q_u \cdot l_x^2$$

$$M_{0y} = \mu_y \cdot M_{0x}$$

$$\mu_{\rm Y} = 0.0483$$

$$\mu_{\rm v} = 0.9236$$

$$M_{0x} = 0.0483 \times 4.75 \times 2^2 = 0.92KN.m$$

$$M_{0v} = 0.9236 \times 0.92 = 0.85 \, KN. m$$

➤ Moments totaux sollicitant la dalle machine :

Ce sont les moments dus aux charges concentrées et les moments dus aux charges réparties :

ELU:

$$M_{XT}^u = (M_{XC\,u} + M_{0x}^u) \Longrightarrow M_{XT}^u = (1.35 + 1.076) = 2.43 \ kN \ .m$$

$$M_{YT}^u = (M_{Yu} + M_{0y}^u) \Longrightarrow M_{YT}^u = (0.9 + 0.95) = 1.85 \text{ kN} . m$$

ELS:

$$M_{XT}^{ser} = (M_{XC ser} + M_{0x}^{ser}) \Longrightarrow M_{XT}^{ser} = (1.11 + 0.92) = 2.03 \text{ kN} .m$$

$$M_{YT}^{ser} = (M_{YC ser} + M_{0V}^{ser}) \Longrightarrow M_{YT}^{ser} = (0.85 + 0.85) = 1.7 \text{ kN} \cdot m$$

Moment max en travée : $M_t = 0.75 M_T$

Moment max en appuis : $M_a = -0.5M_T$

Tableau IV.11: Tableau des Moments max en travée et en appuis

	$M_{tx}(KN.m)$	$M_{ty}(KN.m)$	$M_{ax}(KN.m)$	$M_{ay}(KN.m)$
ELU	1,82	1,38	-1,22	-0,92
ELS	1,52	1,28	-1,06	-0,85

Effort tranchant:

$$\alpha = 0.95 > 0.4 \Longrightarrow \begin{cases} T_x = \frac{q_u l_x}{2} \cdot \frac{1}{1 + \frac{\alpha}{2}} = \frac{6.56 \times 2}{2} \cdot \frac{1}{1 + \frac{0.95}{2}} = 4.45KN \\ T_y = \frac{q_u l_x}{3} = \frac{6.56 \times 2}{3} = 4.37KN \end{cases}$$

\Leftrightarrow Effort tranchant dus aux charges localisées V_a et V_b :

$$V_a = \frac{q_u}{3U} \Rightarrow V_a = \frac{49.03}{3 \times 0.25} = 65.37 \text{ kN}$$

$$V_b = \frac{q_u}{2U + V} \Rightarrow V_b = \frac{49.03}{2 \times 0.25 + 0.25} = 65.37 \text{ kN}$$

 $V_a = V_b$ parce que U = V

Ferraillage de la dalle :

Le Ferraillage sera calculé à l'État limite ultime A ELU Pour b = 1 ml

> Sens X-X

a) En travée :
$$M_{tx} = 1.82$$
KN.m

$$\mu_{bu} = \frac{M_{tx}}{f_{bu} \cdot b \cdot d^2} = \frac{1.82 \times 10^{-3}}{14.17 \times 1 \times 0.135^2} = 0.007$$

$$\mu_{bu} = 0.007 \le \mu_l = 0.392 \, o pas \, d'armaturs \, comprimées$$

$$\alpha = 1.25 \left(1 - \sqrt{1 - 2\mu_{bu}}\right) = 0.0088$$

$$z = d(1 - 0.4\alpha) = 0.1345 m$$

$$A_{tx} = \frac{M_{tx}}{z \cdot \bar{\sigma}_s} = \frac{1.82 \times 10^{-3}}{0.1345 \times 347.826} \times 10^4 = 0.39 \text{ cm}^2$$

Vérification de la condition de non fragilité :

$$A_{x\,min} = \frac{3 - \alpha}{2} A_{y\,min}$$

$$A_{y min} = 8h = 8 \times 0.15 = 1.2cm^2$$

$$A_{x min} = \frac{3 - 0.95}{2} \times 1.2 = 1.23 \ cm^2$$

$$A_{tx} = 0.39 \ cm^2 \geq A_{x \ min} = 1.23 \ cm^2 \dots \dots \dots C. \ N. \ V \ \mathrm{Donc} \ A_{tx} = A_{x \ min} = 1.23 \ cm^2$$

\bullet Choix des barres :05HA10 = 3.93 cm²

b) En appuis:
$$M_{ax} = 1,22KN. m$$

$$\mu_{bu} = \frac{M_{ax}}{f_{bu} \cdot b \cdot d^2} = \frac{1.22 \times 10^{-3}}{14.17 \times 1 \times 0.135^2} = 0.0047$$

$$\mu_{bu} = 0.0047 \le \mu_l = 0.392 \rightarrow pas~d'armaturs~comprimées$$

$$\alpha = 1.25 \left(1 - \sqrt{1 - 2\mu_{bu}} \right) = 0.0059$$

$$z = d(1 - 0.4\alpha) = 0.1347 m$$

$$A_{ax} = \frac{M_{ax}}{z \cdot \bar{\sigma}_s} = \frac{1.22 \times 10^{-3}}{0.1347 \times 347.826} \times 10^4 = 0.26 \text{ cm}^2$$

Vérification de la condition de non fragilité :

$$A_{ax} = 0.26 \ cm^2 \ge A_{x \, min} = 1.23 \ cm^2 \dots \dots \dots C. \ N. \ V \ Donc \ A_{ax} = A_{x \, min} = 1.23 \ cm^2$$

Arr Choix des barres : $05HA10 = 3.93 cm^2$

> Sens y-y

a) En travée :
$$M_{ty} = 1,38$$
KN. m

$$\mu_{bu} = \frac{M_{ty}}{f_{bu} \cdot b \cdot d^2} = \frac{1{,}38 \times 10^{-3}}{14.17 \times 1 \times 0.18^2} = 0{,}0053$$

 $\mu_{bu} = 0.0053 \le \mu_l = 0.392 \ o pas \ d'armaturs \ comprimées$

$$\alpha = 1.25 \left(1 - \sqrt{1 - 2\mu_{bu}}\right) = 0.0066$$

$$z = d(1 - 0.4\alpha) = 0.1346m$$

$$A_{ty} = \frac{M_{ty}}{z \cdot \bar{\sigma}_s} = \frac{1.38 \times 10^{-3}}{0.1346 \times 347.826} \times 10^4 = 0.29 cm^2$$

Vérification de la condition de non fragilité :

$$A_{v min} = 8h = 8 \times 0.15 = 1.2 \ cm^2$$

$$A_{ty} = 0.29 \ cm^2 \ge A_{y \ min} = 1.2 \ cm^2 \dots \dots \dots C. \ N. \ V \ Donc \ A_{ty} = A_{y \ min} = 1.2 \ cm^2$$

• Choix des barres : $05HA10 = 3.93 cm^2$

b) En appuis:
$$M_{ay} = 0.92 \, KN. \, m$$

$$\mu_{bu} = \frac{M_{ay}}{f_{bu} \cdot b \cdot d^2} = \frac{0.92 \times 10^{-3}}{14.17 \times 1 \times 0.18^2} = 0.0036$$

 $\mu_{bu} = 0.006 \le \mu_l = 0.392 \rightarrow pas~d'armaturs~comprimées$

$$\alpha = 1.25(1 - \sqrt{1 - 2\mu_{bu}}) = 0.0044$$

$$z = d(1 - 0.4\alpha) = 0.1347 m$$

$$A_{ay} = \frac{M_{ay}}{z \cdot \bar{\sigma}_s} = \frac{0.92 \times 10^{-3}}{0.1347 \times 347.826} \times 10^4 = 0.20 \ cm^2$$

Vérification de la condition de non fragilité :

$$A_{av} = 0.20 \ cm^2 \ge A_{v \ min} = 1.2 \ cm^2 \dots \dots C. \ N. \ V \ Donc \ A_{av} = A_{v \ min} = 1.2 \ cm^2$$

• Choix des barres : $05HA10 = 3.93 cm^2$

Tableau IV.12: récapitulation des résultats de ferraillage

		Choix
Sens x-x	Appui	$05HA10 = 3.93 \ cm^2$
	Travée	$05HA10 = 3.93 \ cm^2$
Sens y-y	Appui	$05HA10 = 3.93 \ cm^2$
	Travée	$05HA10 = 3.93 \ cm^2$

IV.5.5. Vérification à L'ELU:

IV.5.5.1. Vérification du cisaillement :

➤ Sens x-x

$$\begin{split} \tau_{u,x} &= \frac{T_x + V_a}{b \cdot d} \leq \bar{\tau} = 0.07 \frac{f_{c28}}{\gamma_b} \\ \tau_{u,x} &= \frac{(4.45 + 65.37) \times 10^{-3}}{1 \times 0.135} = 0.52 MPa \\ \bar{\tau} &= 0.07 \frac{25}{1.5} = 1.17 MPa \end{split}$$

$$\tau_{u,x} = 0.52 MPa \leq \bar{\tau} = 1.167 MPa \dots \dots \dots \dots C.V$$

Sens y-y

$$\tau_{u,y} = \frac{T_y + V_b}{b \cdot d} \le \bar{\tau} = 0.07 \frac{f_{c28}}{\gamma_b}$$

$$\tau_{u,y} = \frac{(4.37 + 65.37) \times 10^{-3}}{1 \times 0.135} = 0.52 MPa$$

$$\bar{\tau} = 0.07 \frac{25}{1.5} = 1.17 MPa$$

$$\tau_{u,y} = 0.52 MPa \leq \bar{\tau} = 1.167 MPa \dots \dots \dots \dots C.V$$

On en déduit que les armatures transversales ne sont pas nécessaires.

IV.5.5.2. Vérification à L'ELS:

***** Etat limite d'ouverture des fissures

fissuration peu préjudiciable

Acier $f_e E 400$ Section rectangulaire

flexion simple $\gamma - 1$ f_{c28} M_u

$$\alpha \leq \frac{\gamma-1}{2} + \frac{f_{c28}}{100} \ ; \ \gamma = \frac{M_u}{M_{ser}}$$

\triangleright Sens xx:

a) En travée :
$$M_{t,u} = 1.82 \ kN \ .m \ ; M_{t,ser} = 1.52 \ kN \ .m$$

$$\alpha = 1.25(1 - \sqrt{1 - 2\mu_{bu}}) = 0.0088$$

$$\gamma = \frac{1.82}{1.52} = 1.2$$

$$\alpha = 0.0088 \le \frac{1.2 - 1}{2} + \frac{25}{100} = 0.35 \dots \dots C.V$$

⇒ Donc les armatures calculées à L'ELU conviennent pour L'ELS.

b) En appui:

$$\begin{split} M_{a,u} &= 1.22 \; kN \,.\, m \; ; \, M_{a,ser} = 1.06 \; kN \,.\, m \\ \alpha &= 1.25 \big(1 - \sqrt{1 - 2\mu_{bu}}\big) = 0.0059 \\ \gamma &= \frac{1.22}{1.06} = 1.15 \\ \alpha &= 0.0059 \leq \frac{1.15 - 1}{2} + \frac{25}{100} = 0.325 \,... \,... \,... \,... \,... \, C.\, V \end{split}$$

⇒ Donc les armatures calculées à L'ELU conviennent pour L'ELS.

\triangleright Sens y-y:

a) En travée :
$$M_{t,u} = 1.38 \ kN \ .m$$
 ; $M_{t,ser} = 1.28 \ kN \ .m$ $\alpha = 1.25 \left(1 - \sqrt{1 - 2\mu_{bu}}\right) = 0,0066$ $\gamma = \frac{1.38}{1.28} = 1.08$ $\alpha = 0,0066 \le \frac{1.08 - 1}{2} + \frac{25}{100} = 0.29 \dots C.V$

⇒ Donc les armatures calculées à L'ELU conviennent pour L'ELS.

b) En appui:

$$\begin{split} M_{a,u} &= 0.92 \ kN \ .m \ ; M_{a,ser} = 0.85 \ KN .m \\ \alpha &= 1.25 \Big(1 - \sqrt{1 - 2\mu_{bu}} \Big) = 0.0044 \\ \gamma &= \frac{0.92}{0.85} = 1.08 \\ \alpha &= 0.0044 \le \frac{1.08 - 1}{2} + \frac{25}{100} = 0.29 \dots C.V \end{split}$$

⇒ Donc les armatures calculées à L'ELU conviennent pour L'ELS.

Contrainte des aciers :

L'état de fissuration est peu préjudiciable, donc aucune vérification à faire.

Vérification de la flèche :

$$\frac{h}{L_x} \ge \frac{M_{tx,ser}}{20M_{XT,ser}} \Rightarrow \frac{0.15}{2} = 0.075 \ge \frac{1.52}{20 \times 2.03} = 0.037 \dots C.V$$

$$\frac{A_s}{b \cdot d} \le \frac{2}{f_e} \Rightarrow \frac{3.93}{100 \cdot 13.5} = 0.0029 \le \frac{2}{400} = 0.005 \dots C.V$$

Les 02 conditions sont vérifiées, alors le calcul de la flèche n'est pas nécessaire.

IV.6. Conclusion:

La résistance de la structure dépend de la rigidité de chaque élément qui la constitué. Concernant les éléments secondaires, en plus des conditions qu'on a vérifiées, il faut assurer le confort et le bienêtre.

Chapitre V : Etude dynamique et sismique

Chapitre V: Etude dynamique et sismique

V.1. Introduction:

Un séisme est une libération brutale de l'énergie potentielle accumulée dans les roches par le jeu des mouvements relatifs des différentes parties de l'écorce terrestre. Lorsque les contraintes dépassent un certain seuil, une rupture d'équilibre se produit et donne naissance aux ondes sismiques qui se propagent dans toutes les directions et atteignent la surface du sol. Ces mouvements du sol excitent les ouvrages par déplacement de leurs appuis et sont plus ou moins amplifiés dans la structure. Le niveau d'amplification dépend essentiellement de la période de la structure et de la nature du sol. De ce fait la détermination de la réponse sismique de la structure est incontournable lors de l'analyse et de la conception parasismique de cette dernière. Ainsi le calcul d'un bâtiment vis à vis du séisme vise à évaluer les charges susceptibles d'être engendrées dans le système structural lors du séisme. Dans le cadre de notre projet, la détermination de ces efforts sera conduite par le logiciel Robot 2019.

V.2. Objectif de l'étude dynamique:

L'objectif initial de l'étude dynamique d'une structure est la détermination des caractéristiques dynamiques propres de la structure lors de ses vibrations. Une telle étude pour notre structure telle qu'elle se présente, est souvent très complexe c'est pourquoi on fait souvent appel à des modélisations qui permettent de simplifier suffisamment les problèmes pour permettre l'analyse.

V.3. Modélisation de la structure:

Le calcul dynamique est effectué à l'aide du logiciel Robot 2019, sur un modèle tridimensionnel de la structure avec 10 niveaux (RDC+9 étages) encastrée à sa base. Les voiles sont disposés de telle sorte à vérifier les conditions de RPA afin d'assurer la stabilité de l'ouvrage.

La participation massique des charges est donnée comme suit : $W = G + (\beta \times Q)$

Avec : G : Poids propre. Q : Charge d'exploitation.

β: Coefficient de pondération,

Avec : $\beta = 0.2$ (Habitation) ; $\beta = 0.3$ (Commerce).

Le spectre de réponse de calcul donné par le RPA est introduit en termes de périodes.

Ce fichier est généré par des applications comme RPA99 sous forme de fichier texte.

Pour l'orientation de la sollicitation sismique on va considérer deux directions orthogonales X et Y.

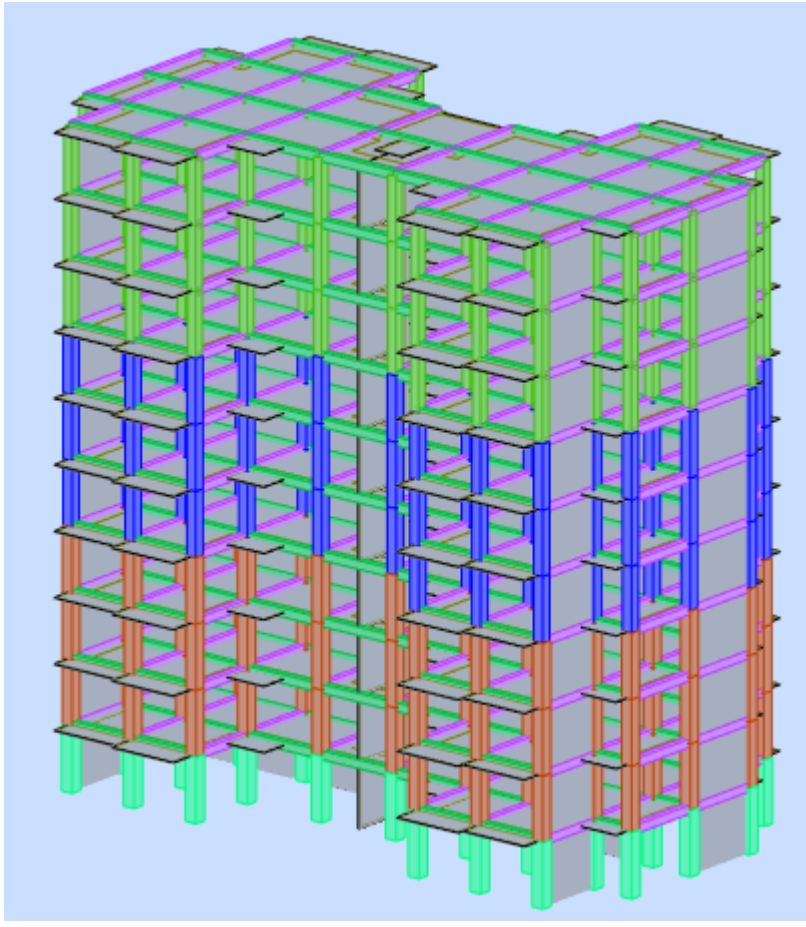


Figure V.1: Modèle 3D de la structure

V.4. Classification de l'ouvrage :

Les classifications nécessaires pour définir la situation sismique étudiée et pour choisir la méthode et les paramètres de calcul des forces sismiques se basent sur les critères de règlement parasismique Algérie.

- **❖ Zone sismique:** Notre site d'implantation est dans la Wilaya de SAIDA classée comme zone I de sismicité faible. (Annexe 1 RPA99/V2003)
- ❖ Groupe d'usage: Notre projet est un bâtiment en R+9 d'une hauteur totale de 30.60 m et il est destiné à un usage mixte habitation et commerciaux. Donc il est classé comme Groupe d'usage 2. (Art 3.2 RPA99/V2003)
- ❖ Classification du site: Les caractéristiques de sol du site de projet sont les mêmes caractéristiques de sol site 02 (site ferme).
- **Système structurel :** Portique contreventé, Contreventement mixte avec interaction.
- Classification des ouvrages selon leur géométrie :
- -Régularité en plan : Il faut vérifier que :

$$\frac{l_1 + l_2}{L} \le 0.25 \Rightarrow \frac{3}{18.4} \le 0.25 \Rightarrow 0.16 \le 0.25 \dots \dots C.V$$

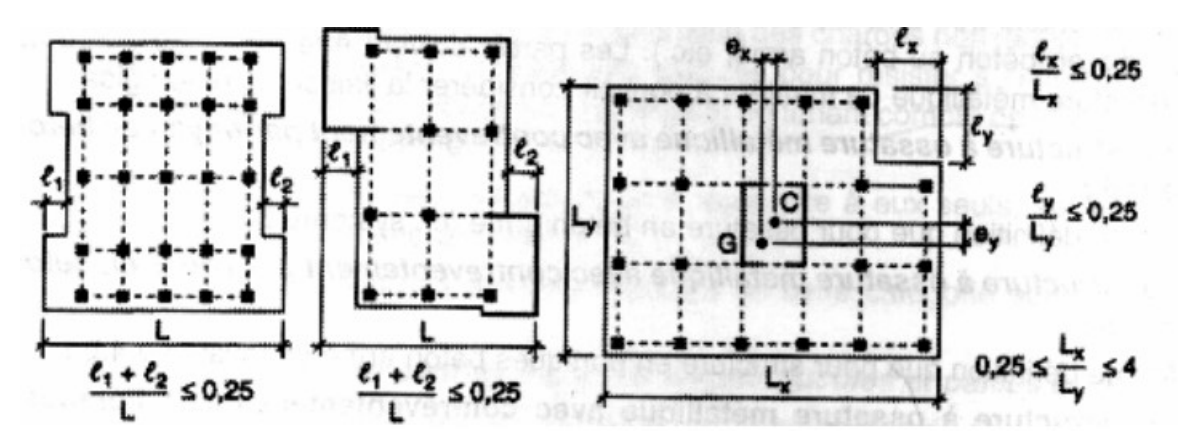


Figure V-2:Llimites des décrochements en plan

-Régularité en élévation: Il faut vérifier que :

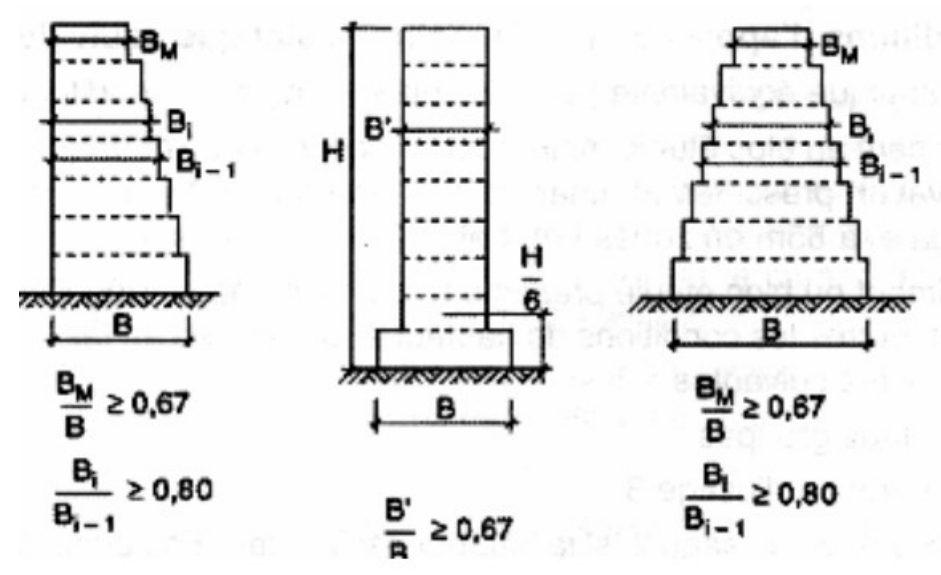


Figure V-3: Limites des décrochements en élévation

Au vu des résultats trouvés, le bâtiment doit être considéré comme régulier.

V.5. METHODES DE CALCUL:

Selon les règles parasismiques Algériennes (RPA99/version2003) le calcul des forces sismiques peut être mené suivant trois méthodes :

- ✓ la méthode statique équivalente-
- ✓ la méthode d'analyse modale spectrale-
- ✓ la méthode d'analyse dynamique par accélérogrammes.

V.5.1. la méthode statique équivalente :

Le règlement parasismique Algérien permet sous certaines conditions de calculer la structure par une méthode pseudo dynamique qui consiste à remplacer les forces réelles dynamiques qui se développent dans la construction par un système de forces statiques fictives dont les effets sont considérés équivalents à ceux de l'action sismique.

V.5.2. Conditions d'application de la méthode statique équivalente :

La méthode statique équivalente peut être utilisée dans les conditions suivantes :

- ✓ Le bâtiment satisfaisait aux conditions de régularité en plan et en élévation
- ✓ Une hauteur au plus égale à 65m en zones I : $H = 30.60 \le 65 \text{ m} \dots C.V$

N.B: Les conditions de la méthode statique équivalente sont vérifiées, donc on va appliquer cette méthode pour Vérification de l'effort tranchent à la base.

Calcul de la force sismique totale

La force sismique totale V, appliquée à la base de la structure, doit être calculée successivement dans deux directions horizontales orthogonales selon la formule 4.1 des RPA99/Version 2003. Cet effort doit être ensuite comparé à celui calculé par la méthode spectrale.

$$V_{st} = \frac{A \times D \times Q}{R} \times W \dots \dots \text{RPA99/V2003 (Article 4.2.3)}$$

Le coefficient 'A' représente l'accélération du sol et dépend de l'accélération maximale possible de la région, de la période de vie de la structure, et du niveau de risque que l'on veut avoir.

L'accélération maximale dépend de la période de retour que l'on se fixe ou en d'autre termes de la probabilité que cette accélération survienne dans l'année.

Il suffit donc de se fixer une période de calcul et un niveau de risque.

Cette accélération ayant une probabilité plus au moins grande de se produire. Le facteur dépend de deux paramètres : Groupe d'usage : groupe 02

Zone sismique : zone I => A = 0.10

Dans le cas de notre projet, on adopte un système mixte portiques voiles avec interaction,

Tableau V-1: Les résultats des charges verticales sur les poteaux et voiles

Niveau	f_z sur les poteaux [KN]	f_z sur les Voiles [KN]
RDC	-30329,82	-15276,58
1	-14145,02	-14145,02
2	-12746,62	-12746,62
3	-11126,04	-11126,04
4	-9848,39	-9848,39
5	-8265,99	-8265,99
6	-6519,12	-6516,12
7	-4929,21	-4929,21
8	-3170,22	-3170,22
9	-1828,08	-1828,08

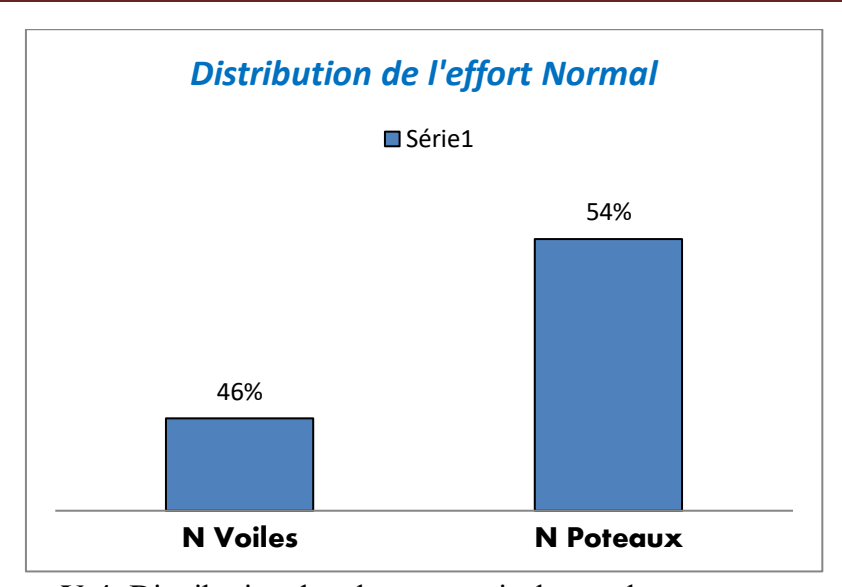


Figure V-4: Distribution des charges verticales sur les poteaux et voiles

D'après les résultats de l'analyse, il a été constaté que les voiles de contreventement assurent la reprise de plus de 20% des charges verticales et la totalité de l'effort horizontal Donc c'est le système $2 \implies R = 3.5$

Q : Facteur de qualité de la structure déterminée par la formule suivante :

$$Q = 1 + \sum_{1}^{6} p_q \dots \dots \dots \dots RPA99/V2003$$
 (Formule 4.4)

Avec P_q : est la pénalité à retenir selon que le critère de qualité q est satisfait ou non. Les valeurs de pénalité sont illustrées dans le tableau ci-dessous

Tableau V-2 : Valeurs des pénalités P_a .

Critère (q)	Observé	$P_q(X-X)$	Observé	$P_q(Y-Y)$
1- Cdt min sur les files de contreventements	Oui	0,05	Oui	0,05
2- Redondanceen plan	Non	0	Non	0
3- Régularitéen plan	Oui	0	Oui	0
4- Régularitéenélévation	Oui	0	Oui	0
5- Contrôle de qualité des matériaux	Non	0,05	Non	0,05
6- Contrôles de qualité des d'exécution	Non	0,10	Non	0,10

Donc : $Q_x = Q_y = 1.20$

❖ Poids total de la structure

$$W = \sum_{i=1}^{n} W_{i} \dots \dots RPA99/V2003$$
 (Formule 4.5)

 $W_i = W_{Gi} + \beta W_{Oi}$

 W_{Gi} : Poids dû aux charges permanentes totales.

 W_{0i} : Charge d'exploitation.

β: Coefficient de pondération, fonction de la nature et de la durée de la charge d'exploitation, il est donné par le tableau (4-5) RPA99/V2003.

($\beta = 0.2$ pour usage d'habitation

 $\beta = 0.3$ pour usage commerciale

D'après le logiciel Robot 2019, on trouve : $W = 48012.57 \, KN$

D: Facteur d'amplification dynamique moyen. Il est en fonction de la période fondamentale de la structure (T), de la nature du sol et du facteur de correction d'amortissement η .

$$D = \begin{cases} 2.5\eta & 0 \le T \le T_2 \\ 2.5\eta \left(\frac{T_2}{T}\right)^{2/3} T_2 \le T \le 3s & \text{RPA99/V2003 (Formule 4 - 2)} \\ 2.5\eta \left(\frac{T_2}{T}\right)^{2/3} \left(\frac{3}{T}\right)^{5/3} & T \ge 3s \end{cases}$$

T2: Période caractéristique, associée à la catégorie du site. RPA99/V2003 (Tableau 4.7), Le sol d'implantation de notre structure est classé dans le Site S2, Obtenu à partir des essais préssiométriques.

Ce qui nous donne les périodes caractéristiques : $T_1 = 0.15$ $T_2 = 0.40$

Calcul de la période fondamentale de la structure :

 η : Facteur de correction de l'amortissement, donné par la formule

$$\eta = \sqrt{\frac{7}{2+\xi}} \ge 0.7 \dots \dots RPA99/V2003 (formule 4.3)$$

 ξ : Pourcentage d'amortissement critique (Tableau 4.2 RPA99/version 2003).

$$\xi = 10\%$$

$$\eta = \sqrt{\frac{7}{2+10}} = 0.76$$

 h_N : Hauteur mesurée en mètre à partir de la base de la structure jusqu'au dernier niveau.

$$h_N = 30.60 m$$

CT : Coefficient, fonction du système de contreventement du type de remplissage et donnée par le type de système de contreventement Pour le contreventement mixte portique voiles avec interaction qui est notre cas : $C_T = 0.05$ (Tableau 4.6 RPA99/version 2003).

$$T = 0.05 \times 30.60^{3/4} = 0.651 \, s$$

On peut également utiliser la formule suivante :

$$T = 0.09h_{N}/\sqrt{L}$$

L: Distance du bâtiment mesuré à la base dans les deux directions :

$$L_x=18.40\ m$$
 ; $L_y=30.80\ m$

$$T_x = 0.09 \times \frac{30.60}{\sqrt{30.80}} = 0.496s$$

$$T_y = 0.09 \times \frac{30.60}{\sqrt{18.40}} = 0.642 \text{ s}$$

Donc la période fondamentale statique majorée de 30 % est :

$$\int T_x = 1.3 \times min(0.651; 0.496) = 0.644 s$$

$$\{T_{y} = 1.3 \times min(0.651; 0.642) = 0.834 \text{ s}\}$$

Donc on a:

$$\begin{cases} T_2 \le T_x \le 3 \text{ s} \implies D_X = 2.5 \eta \left(\frac{T_2}{T_x}\right)^{2/3} = 1.64 \text{ m} \\ T_2 \le T_y \le 3 \text{ s} \implies D_y = 2.5 \eta \left(\frac{T_2}{T_y}\right)^{2/3} = 1.37 \text{ m} \end{cases}$$

$$V_{st}^x = \frac{A \times D_x \times Q_x}{R} \times W \implies V_{st}^x = \frac{0.1 \times 1.64 \times 1.2}{3.5} \times 48012.57 = 2699.67 \text{ kN}$$

$$V_{st}^y = \frac{A \times D_y \times Q_y}{R} \times W \implies V_{st}^y = \frac{0.10 \times 1.37 \times 1.20}{3.5} \times 48012.57 = 2255.21 \text{ kN}$$

V.5.3. Méthode d'analyse modale spectrale :

Cette méthode peut être utilisée dans tous les cas,

V.5.3.1. Principe:

Il est recherché par cette méthode pour chaque mode de vibration, le maximum des effets engendrés dans la structure par les forces sismiques représentées par un spectre de réponse de calcul suivant :

$$\frac{S_A}{g} \begin{cases} 1.25A \left(1 + \frac{T}{T_1} \left(2.5\eta \frac{Q}{R} - 1\right)\right) & 0 \le T \le T_1 \\ 2.5\eta (1.25A) \left(\frac{Q}{R}\right) T_1 \le T \le T_2 \\ 2.5\eta (1.25A) \left(\frac{Q}{R}\right) \left(\frac{T_2}{T}\right)^{2/3} T_2 \le T \le 3s \end{cases}$$
 RPA99/V2003(Formule 4.13
$$2.5\eta (1.25A) \left(\frac{T_2}{3}\right)^{2/3} \left(\frac{3}{T}\right)^{5/3} \left(\frac{Q}{R}\right) \qquad T > 3 \ s$$

V.5.3.2. Les hypothèses :

- Les masses sont supposées concentrées au niveau des nœuds principaux (nœuds maîtres).
- Seuls les déplacements horizontaux des nœuds sont pris en compte.
- Le nombre de mode à prendre en compte est tel que la somme des taux de participation des masses modales atteint au moins 90% de la masse globale de la structure.
- Les planchers et les fondations doivent être rigides dans leurs plans.

V.5.3.3. Nombre de modes à considérer : (RPA992003/4.3.4) :

Dans le cas où les structures sont modélisées par des plans dans deux directions orthogonales, il est recommandé de retenir un nombre de modes de vibration suffisant pour que la somme des masses modales effectives soit supérieure à 90% de la masse totale de la structure.

Le nombre minimal de modes à retenir dans chaque direction considérée est de trois.

Le nombre minimal de modes (K) à retenir doit être tel que :

$$k \geq 3\sqrt{N}$$

Avec : N: Nombre de niveaux au-dessus du sol (N = 10 niveaux)

$$k \ge 3\sqrt{10} = 9.48 \Longrightarrow k = 10 \text{ modes}$$

V.5.3.4. Disposition des voiles:

1er Disposition:

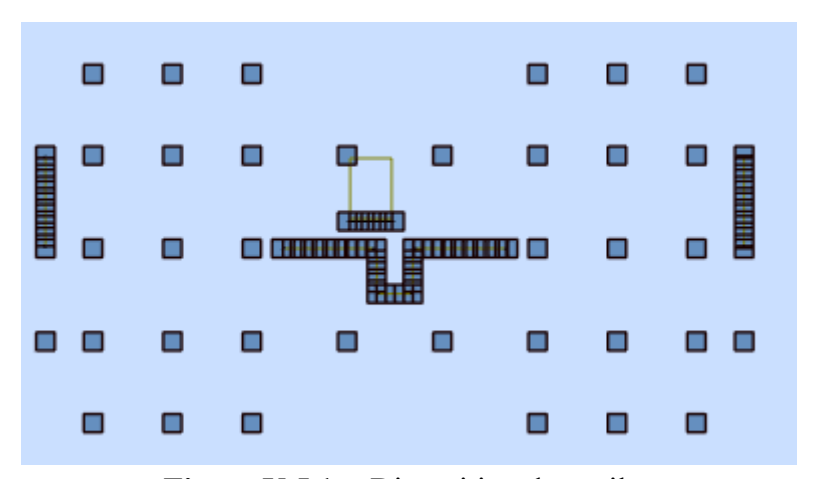


Figure V.5.1er Disposition des voiles

Tableau V-3: Résultat dynamique de la première disposition

Cas/	Mode	Fréquence [Hz]	Période [sec]	Masses Cumulées UX [%]	Masses Cumulées UY [%]	Masse Modale UX [%]	Masse Modale UY [%]	Tot.mas.UX [kg]	Tot.mas.UY [kg]
3/	1	1,52	0,66	0,17	58,68	0,17	58,68	4386018,94	4386018,94
3/	2	1,80	0,56	17,71	61,89	17,54	3,21	4386018,94	4386018,94
3/	3	1,96	0,51	64,88	62,28	47,17	0,39	4386018,94	4386018,94
3/	4	5,71	0,18	64,98	76,25	0,10	13,97	4386018,94	4386018,94
3/	5	6,15	0,16	77,20	76,48	12,22	0,23	4386018,94	4386018,94
3/	6	7,17	0,14	77,72	76,94	0,52	0,45	4386018,94	4386018,94
3/	7	11,48	0,09	82,00	76,96	4,28	0,02	4386018,94	4386018,94
3/	8	12,08	0,08	82,02	81,94	0,02	4,98	4386018,94	4386018,94
3/	9	15,57	0,06	82,04	82,05	0,02	0,11	4386018,94	4386018,94
3/	10	17,75	0,06	84,20	82,05	2,16	0,00	4386018,94	4386018,94

2^{éme} Disposition:

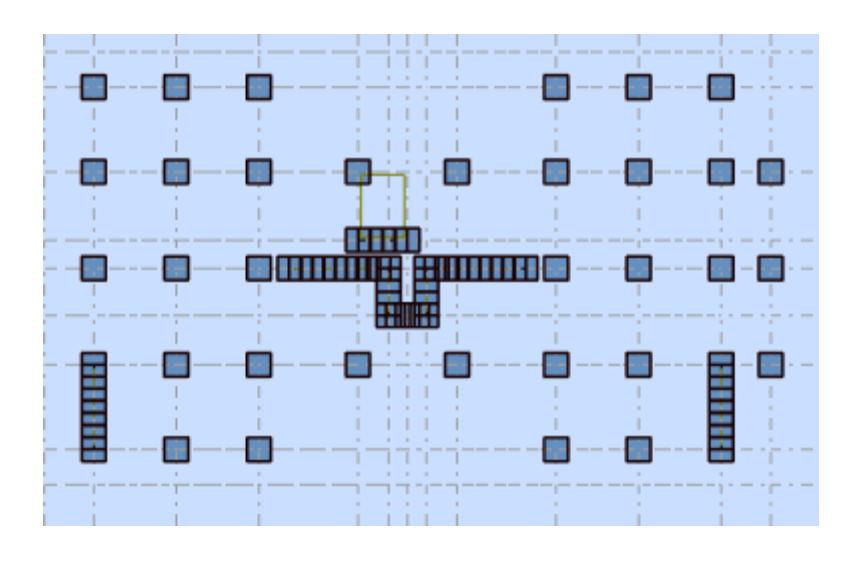


Figure V.6.2éme Disposition des voiles

Cas/Mode		Fréquence [Hz]	Période [sec]	Masses Cumulées UX [%]	Masses Cumulées UY [%]	Masse Modale UX [%]	Masse Modale UY [%]	Tot.mas.UX [kg]	Tot.mas.UY [kg]
3/	1	1,43	0,70	0,41	53,40	0,41	53,40	4257712,80	4257712,80
3/	2	1,55	0,65	2,43	62,22	2,02	8,82	4257712,80	4257712,80
3/	3	1,92	0,52	64,83	62,22	62,40	0,00	4257712,80	4257712,80
3/	4	5,28	0,19	65,01	73,97	0,18	11,75	4257712,80	4257712,80
3/	5	5,83	0,17	67,53	76,55	2,52	2,58	4257712,80	4257712,80
3/	6	6,27	0,16	77,78	76,67	10,25	0,12	4257712,80	4257712,80
3/	7	11,14	0,09	78,32	80,54	0,54	3,88	4257712,80	4257712,80
3/	8	11,51	0,09	82,02	81,30	3,70	0,75	4257712,80	4257712,80
3/	9	13,00	0,08	82,13	81,86	0,11	0,56	4257712,80	4257712,80
3/	10	17,66	0,06	83,04	83,10	0,90	1,24	4257712,80	4257712,80

Tableau V-4: Résultat dynamique de la2éme disposition

3 éme Disposition:

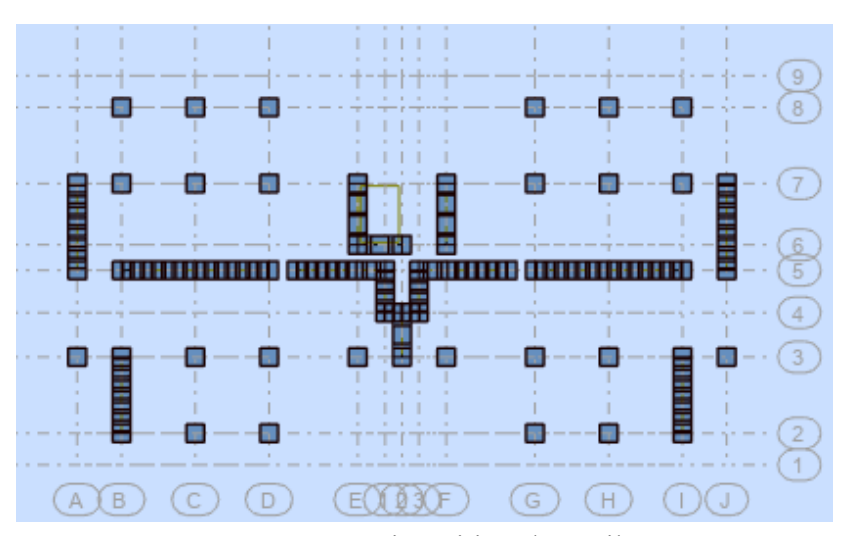


Figure .V.7. Disposition des voiles **Tableau V-5:** Résultat dynamique de la 3 ^{éme} disposition

Masses Masses Fréquence Masse Masse Tot.mas.UX Tot.mas.UY Cas/Mode Période [sec] Cumulées UX Cumulées UY Modale UX [%] Modale UY [%] [Hz] [kg] [kg] [%] [%] 1,76 0,57 0,25 52,55 52,55 4801257,85 4801257,85 1,97 0,51 1,65 65,70 1.40 13.15 4801257.85 4801257.85 2 2,89 0,35 71,15 65,70 69,50 0,01 4801257,85 4801257.85 3 6,71 0,15 71,20 81,10 0,05 15,39 4801257,85 4801257,85 4 2,42 7.64 0,13 71.81 83.51 0,61 4801257.85 4801257.85 9,34 0,11 86,05 83,52 14,24 0,01 4801257,85 4801257,85 6 4801257,85 14.06 0.07 86.06 89.66 0.01 6.14 4801257.85 7 16.42 0.06 86.95 90.14 0,89 0.49 4801257.85 4801257.85 17,66 0,06 91,81 90,18 4,86 0,03 4801257,85 4801257,85 0,05 4801257,85 20,06 91,84 90,18 0,03 0,00 4801257,85 10

V.5.3.5. Interprétation des résultats de l'analyse dynamique par robot 2019 :

En examinant le premier mode de vibration de la structure, représenté dans le tableau, on constate une torsion importante. Par conséquent, nous avons opté pour une autre disposition afin de minimiser cette torsion et assurer une interaction satisfaisante entre le voile et le portique, conformément au règlement RPA99 version 2003. Par ailleurs, il est à noter que la période fondamentale de vibration de la structure est supérieure à celle calculée par les formules empiriques du RPA99, ce qui représente un deuxième défi à relever.

V.6. Vérification de la période

Il convient de souligner que la période fondamentale de vibration mesurée dans l'analyse est inférieure à celle obtenue à l'aide des formules empiriques du RPA99, majorée de 30%.

$$T_{analytique} \leq 1.3 T_{emp} \Longrightarrow \begin{cases} T_{analy,x} = 0.57 \ s \leq 1.3 T_{emp,x} = 0.644 \ s \dots \dots C.V \\ T_{analy,y} = 0.51 \ s \leq 1.3 T_{emp,y} = 0.834 \ s \dots \dots C.V \end{cases}$$

D'après les résultats obtenus, il en ressort que :

- Le premier mode de vibration correspond à une translation selon la direction y, avec un taux de participation massique de 52.55dans cette direction.
- Le troisième mode de vibration correspond à une translation selon la direction x, avec un taux de participation massique de 69.50% dans cette direction.
- Le deuxième mode de vibration correspond à. une torsion autour de la direction verticale Z.

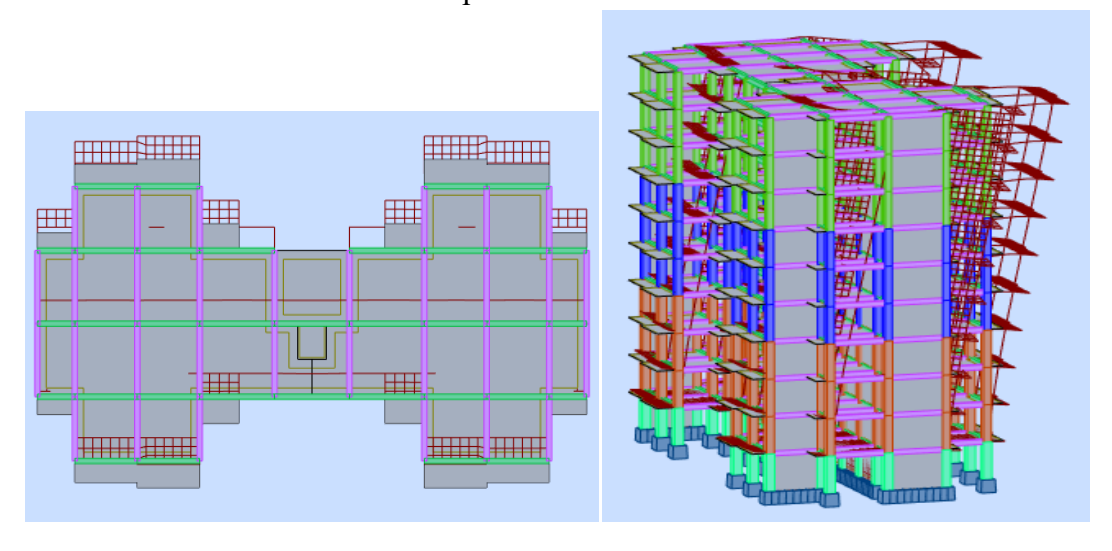


Figure V-8: Représentation du mode 1 (Direction Y).(T=0.57s)

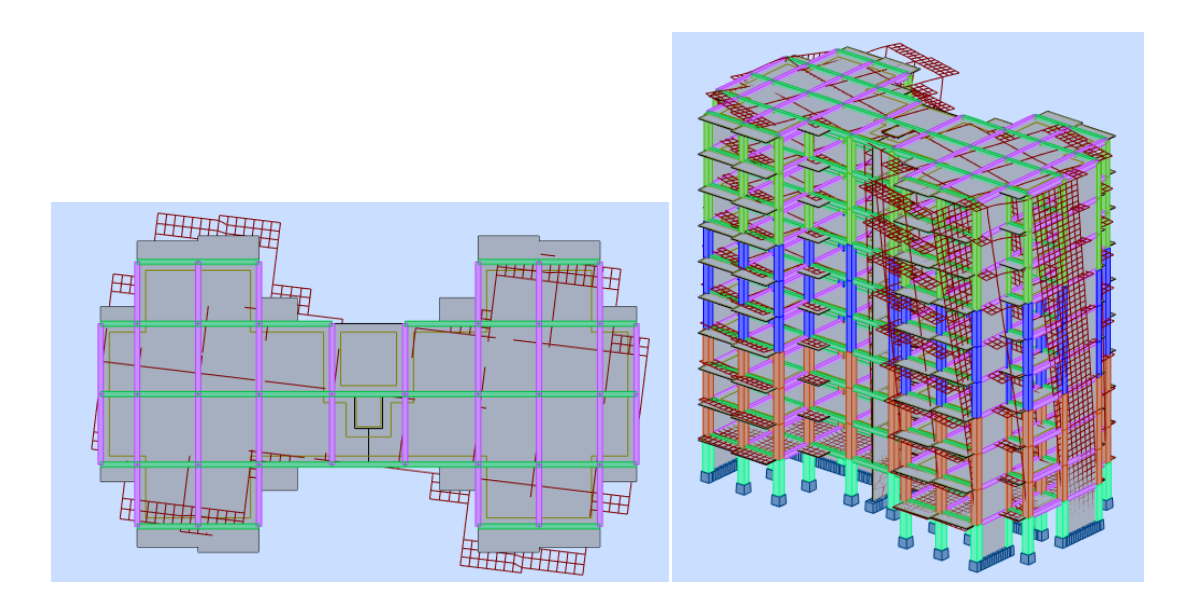


Figure V-9: Représentation du mode 2 (Direction Z)(T=0.51s)

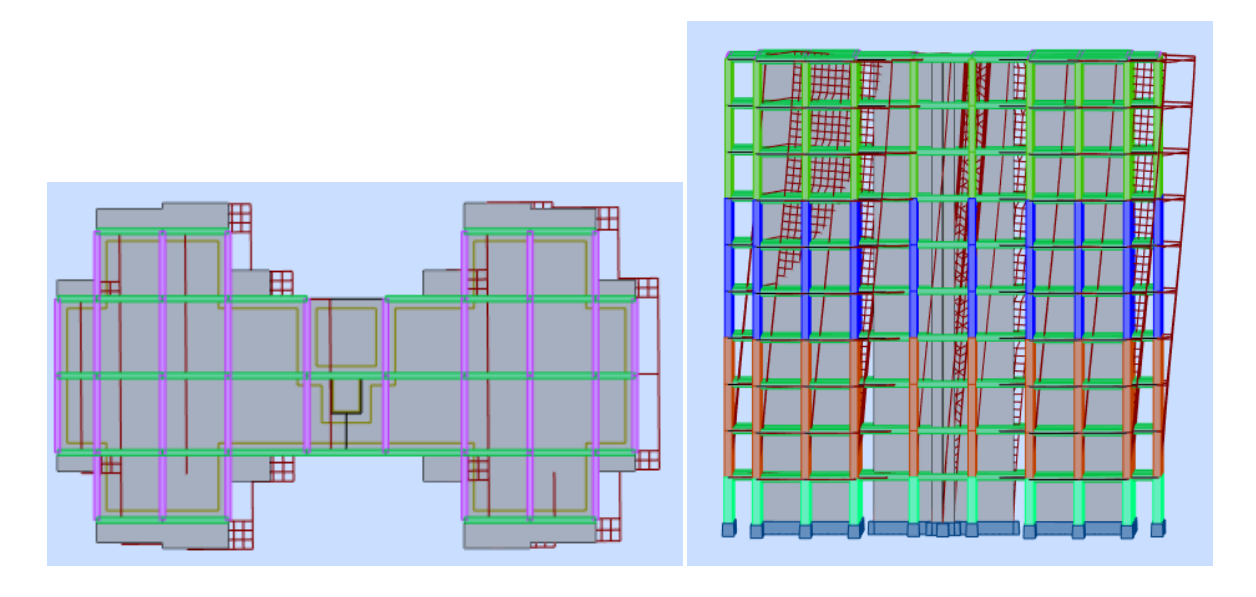


Figure V-10: Représentation du mode 3 (Direction X) (T=0.35s)

V.6.1. Centre de gravité et centre de rigidité :

L'excentricité théorique dans les deux sens est donnée par:

$$e_{tx} = X_m - X_t$$
$$e_{ty} = Y_m - Y_t$$

 X_t et X_t : les coordonnées du centre de torsion X_m et Y_m : les coordonnées du centre de masse

L'excentricité additionnelle dans les deux sens est donnée par (art 4.3.7 RPA99/V2003):

Dans le cas où il est procédé à une analyse tridimensionnelle, en plus de l'excentricité théorique calculée, une excentricité accidentelle (additionnelle) égale à $\mp 0.05L$, (L étant la dimension du plancher perpendiculaire à la direction de l'action sismique) doit être appliquée au niveau du plancher considéré et suivant chaque direction.

$$e_{ax} = \mp 0.05 L_x$$
$$e_{ay} = \mp 0.05 L_y$$

Les résultats des excentricités théoriques et additionnelles sont regroupés dans le tableau suivant :

Tableau V-6: Les résultats des excentricités théoriques et additionnelles

Niveau	$e_{tx}(m)$	$e_{a x}(m)$	$e_{ty}(m)$	$e_{ay}(m)$
RDC	0,00	1,54	0,21	0.92
1	0,02	1,54	0,21	0.92
2	0,04	1,54	0,17	0.92
3	0,03	1,54	0,30	0.92
4	0,02	1,54	0,22	0.92
5	0,02	1,54	0,22	0.92
6	0,02	1,54	0,29	0.92
7	0,02	1,54	0,28	0.92
8	0,04	1,54	0,27	0.92
9	0,01	1,54	0,13	0.92

V.7. Vérification de la résultante des forces sismiques :

Selon l'Article 4.3.6 du RPA99/Version2003, la résultante des forces sismiques à la base V_{dyn} obtenue par combinaison des valeurs modales ne doit pas être inférieure à 80% de la résultante des forces sismiques déterminée par la méthode statique équivalente V_{st} , nous avons

TC 11 X7 #	T77 'C'	1 1 / 1, ,	1 0	
Tableau V-7:	Verification	de la résultante	des forces	sismiques

	$V_{st}(KN)$	$V_{dyn}(KN)$	80%V _{st}	$V_{dyn} > 80\%V_{st}$
Sens X-X	2699.67	3202.53	2159.73	Oui
Sens Y-Y	2255.21	2347.14	1804.16	Oui

❖ Analyse des résultats

La condition est vérifiée, donc les paramètres de réponse (force, déplacement, moment.) ne seront pas majorés.

V.8. Vérification des déplacements inter-étages: [Art 4.4.3 RPA99v2003] Le déplacement horizontal à chaque niveau K de la structure est calculé comme suit :

$$\delta_k = R\delta_{ek}$$

 δ_{ek} Déplacement dù aux forces séismiques.

R : Coefficient de comportement.

Le déplacement relatif au niveau K par rapport au niveau K-1 est égal à : $\Delta_k = \delta_k - \delta_{k-1}$ Selon [RPA: Art 5.10] le déplacement horizontal relatif d'un étage par rapport aux étages qui lui sont adjacents ne doivent pas dépasser: $\Delta_{k,adm} = 1\%h_e$

Avec:

 h_e : La hauteur libre de l'étage considéré.

Le logiciel AUTO DESK Robot Structural Analyse 2020, nous donne directement le déplacement horizontal à chaque niveau δ_k . Les déplacements maximaux sont calculés sous l'action sismique et les vérifications se font selon les deux directions, Les résultats sont regroupés dans le tableau suivant ci-après

Tableau IV. 8: Vérification des déplacements inter-étage suivant x et y :

3.74	Sens	s (X)	Sens	s (Y)	1. ()	A ()	A A
Niveau	$\delta_k(cm)$	$\Delta_k(cm)$	$\delta_k(cm)$	$\Delta_k(cm)$	$h_e(m)$	$\Delta_{k \text{ adm}}(cm)$	$\Delta_k \leq \Delta_{k \text{ adm}}$
RDC	0,075	0,075	0,090	0,090	3,06	3,06	CV
1	0,203	0,127	0,282	0,192	3,06	3,06	CV
2	0,358	0,155	0,548	0,267	3,06	3,06	CV
3	0,527	0,170	0,863	0,314	3,06	3,06	CV
4	0,700	0,173	1,212	0,350	3,06	3,06	CV
5	0,869	0,169	1,576	0,364	3,06	3,06	CV
6	1,027	0,158	1,942	0,365	3,06	3,06	CV
7	1,171	0,144	2,300	0,358	3,06	3,06	CV
8	1,298	0,127	2,644	0,344	3,06	3,06	CV
9	1,412	0,115	2,982	0,338	3,06	3,06	CV

* Analyse des résultats D'après les tableaux ci-dessus nous constatons que les déplacements relatifs des niveaux sont inférieurs au centième de la hauteur d'étage.

V.9. Vérification de l'effort normal réduit:

Dans le but d'éviter ou limiter le risque de rupture fragile sous sollicitations d'ensemble dues au séisme, l'effort normal de compression de calcul est limité par la condition suivante (l'Art 7.4.3.1 RPA99/v2003) :

$$v = \frac{N_d}{B_c \cdot f_{c28}} \le 0.30$$

 N_d : désigne l'effort normal de calcul s'exerçant sur une section de béton

 B_c : est l'aire (section brute)

 f_{c28} : est la résistance caractéristique du béton : $f_{c28} = 25 \, MPa$

Tableau V-9: Vérification de l'effort normal réduit du poteau

$B_c(cm^2)$	$N_d(KN)$	V	Vérification
(60 × 60)	1788.59	0.19	CV
(55×55)	1570.02	0.20	CV
(50×50)	982.78	0.15	CV
(45 × 45)	427.96	0.08	CV

V.10. Vérification au renversement:

Distribution de la résultante des forces sismiques selon la hauteur :

La résultante des forces sismiques à la base V doit être distribuée sur la hauteur de la structure selon les formules suivantes (l'Art 4.2.5 RPA99/v2003) :

$$V = F_t + \sum_i F_i$$

La force concentrée F_t au sommet de la structure permet de tenir compte de l'influence des modes supérieurs de vibration. Elle doit être déterminée par la formule : $F_t = 0.07 \ TV$ où T est la période fondamentale de la structure (en secondes). La valeur de F_t ne dépassera en aucun cas 0.25Vet sera prise égale à 0 quand T est plus petite ou égale à 0,7 secondes. La partie restante de V soit $V - F_t$ doit être distribuée sur la hauteur de la structure suivant la formule :

$$F_t = \frac{(V - F_t)Wh_i}{\sum_{i=1}^n W_i \cdot h_i}$$

Distribution horizontale des forces sismiques :

D'après l'Art 4.2.6 RPA99/v2003 :

L'effort tranchant au niveau de l'étage k : $V_k = F_t + \sum_{i=1}^n F_i$

Stabilité au renversement :

Le moment de renversement qui peut être causé par l'action sismique doit être calculé par rapport au niveau de contact sol-fondation. Le moment stabilisant sera calculé en prenant en compte le poids total équivalent au poids de la construction, au poids des fondations et éventuellement au poids du remblai suivantes (l'Art 4.4.1 RPA99/v2003).

Le moment de renversement causé par l'action sismique est au plus égale à 2/3 le moment stabilisant, qui sera calculé en prenant le poids total de la structure.

 $\frac{M_s}{M_r} \ge 1,5$

Tableau V-10: Vérification au renversement selon X

Niveau	F_K	h_K	$F_K imes ext{hk}$	W_K	X_{G}	$W_K \times X_G$
RDC	2691,13	3.06	8234.85	5610.33	15.40	86399.08
1	2661,81	6.12	16290.27	5107.51	15.40	78655.65
2	2596,28	9.18	23833.85	5063.58	15.40	77979.13
3	2435,43	12.24	29809.66	5049.37	15.40	77760.29
4	2204,62	15.30	33730.68	4955.70	15.40	76317.78
5	1945,20	18.36	35713.87	4894.24	15.40	75371.29
6	1636,76	21.46	35124.86	4905.92	15.40	75551.16
7	1259,50	24.48	30832.56	4775.10	15.40	73536.54
8	854,37	27.54	23529.34	2978.71	15.40	45872.13
9	573,24	30.60	17541.14	4672.07	15.40	71949.78
			$\sum = 254640.11$			$\sum = 739392.83$

Niveau	F_K	h_K	$F_K imes hk$	W_K	X_{G}	$W_K \times X_G$
RDC	2008,10	3.06	6144.78	5610.33	9.22	51727.24
1	2030,50	6.12	12426.66	5107.51	9.22	47091.24
2	1980,76	9.18	18183.37	5063.58	9.22	46686.2
3	1861,38	12.24	22783.29	5049.37	9.22	46555.19
4	1692,20	15.30	25890.66	4955.70	9.22	45691.55
5	1515,03	18.36	27815.95	4894.24	9.22	45124.89
6	1299,36	21.46	27884.26	4905.92	9.22	45232.58
7	1031,29	24.48	25245.97	4775.10	9.22	44026.42
8	755,00	27.54	20792.7	2978.71	9.22	27463.70
9	642,44	30.60	19658.66	4672.07	9.22	43076.48
			$\sum = 206826.27$			$\Sigma = 442675.51$

Tableau V-11: Vérification au renversement selon Y

La condition est vérifiée ce qui implique la stabilité de l'ouvrage vis-à-vis du renversement suivant les deux directions.

V.11. Justification vis-à-vis de l'effet $P-\Delta$:

L'effet P- Δ (effet de second ordre) peuvent être négligés dans le cas des bâtiments si la condition suivante est satisfaite à tous les niveaux : $\theta = \frac{P_k \Delta_k}{V_k h_k} \le 0.1$

 P_k : Poids total de la structure et des charges d'exploitation associées au-dessus du niveau "k". Δ_k : Déplacement relatif du niveau "k" par rapport au niveau "k-1".

 V_k : Effort tranchant d'étage au niveau "k".

 h_k : Hauteur de l'étage "k".

Si $0.1 < \theta_k < 0.2$ les effets P- Δ peuvent être pris en compte de manière approximative en amplifiant les effets de l'action sismique calculés au moyen d'une analyse élastique du 1° ordre par le facteur $\frac{1}{(1-\theta_k)}$

Si $\theta_k > 0.2$ la structure est potentiellement instable et doit être redimensionnée. Les résultats obtenus sont présentés dans les tableaux suivants:

P Etage Η Vx Δx θ **OBS** $\mathbf{V}\mathbf{v}$ Δy $\boldsymbol{\theta}$ **OBS RDC** 306 47081,07 2691,13 0,075 0.004 2008,10 0,090 cv 0.006 cv1 306 41566,66 2661,81 0,127 2030,50 0,192 0.012 0.006cvcv2 306 36566,21 2596,28 0,155 0.007 1980,76 0,267 0.016 cv cv 3 306 31597,20 2435,43 0,170 1861,38 0.007 0,314 0.017 cv cv26637,65 2204,62 1692,20 4 306 0,173 0.007 0,350 0.018 cvcv5 21782,09 1945,20 306 0,169 1515,03 0,364 0.006cv 0.017 cv6 306 16979,02 1636,76 0,158 0.005 1299,36 0,365 0.015 cv cv 7 306 12161,39 1259,50 0,144 1031,29 0,358 0.004 0.013 cv cv 7480,49 8 306 854,37 0,127 0.003 755,00 0,344 0.011 cv cv9 4547,09 306 573,24 0,115 642,44 0.002 cv 0,338 0.007 cv

Tableau V-12: Vérification à l'effet P-Δ sens X-Y

V.12. Conclusion

Lors de la modélisation, l'exigence qui a conditionnée les dimensions des poteaux, poutres et même la disposition des voiles à été la condition de l'interaction voile-portique. En vérifiant cette interaction, les autres conditions du RPA99/V2003 se retrouvent vérifiées d'elles même (période de vibration, taux de participation massique, effet P-Δ. Et effort normale réduit). Les sections des poteaux et des poutres déjà définies par le pré dimensionnement sont acceptées.

Chapitre VI : Etude des éléments structuraux

VI.1. Introduction:

L'étude des portiques sera effectuée en se basant sur le calcul du portique le plus défavorable et sous différentes sollicitations.

Le portique est constitué par l'assemblage des poteaux et des poutres.

•Poutres:

Ce sont des éléments porteurs horizontaux en béton armé, elles transmettent les charges aux poteaux, leur mode de sollicitation est la flexion simple.

•Poteaux:

Ce sont des éléments porteurs verticaux en béton armé, ils constituent les points d'appui pour transmettre les charges aux fondations.

Ils sont sollicités en compression simple ou en flexion composée.

L'étude des portiques (poteaux, poutres) sous charges verticales et horizontales, nous permet de les ferrailler sous les différentes sollicitations, ce calcul est fait par le programme (robot).

VI.2. Combinaison des charges :

Les combinaisons de charges que nous allons les utilisés pour le calcul de ferraillage dans les éléments porteurs de la structure sont de deux natures distinctes :

•Combinaisons BAEL:

Selon les règles CBA93 et BAEL 91 modifié 99, et combinant les charges verticales permanentes et d'exploitations comme suit :

$$\begin{cases} a \ L'ELU: 1.35G + 1.5Q \\ a \ L'ELS: G + Q \end{cases}$$

•Combinaisons RPA:

Correspondent à la situation accidentelle de la structure, ces combinaisons sont prescrites par le règlement parasismique algérien RPA99 version 2003 par l'article 5.2 comme suit :

$$\begin{cases} G + Q \pm E \\ 0.8G + E \end{cases}$$

- La combinaison (1.35G + 1.5Q) nous permet de déterminer le moment maximal en travée.
- La combinaison $(G+Q\pm E)$ dont le moment négative maximum en valeur absolue, sur les appuis et permettra de déterminer le ferraillage supérieur en nouveau des appuis.
- La combinaison $(0.8G \pm E)$ nous permettra de déterminer le moment négatif ou positif minimum en valeur absolue sur les appuis et permettra don le cas ou M > 0 de déterminer le ferraillage au nouveau des appuis.

Avec:

G : Charges permanentes.

Q : Charges d'exploitation non pondérées.

E : Action du séisme représentée par des composantes horizontales.

VI.3. Ferraillage des poutres :

VI.3.1. Introduction

Les poutres sont soumises aux efforts suivants :

- Moment fléchissant.
- Effort tranchant. (Les efforts normaux sont négligeables).

Et vu que l'influence de l'effort normal sur les poutres est souvent insignifiante devant celle du moment fléchissant ou de l'effort tranchant on ne le prend pas en compte ; Donc le ferraillage fera en flexion simple (cas le plus défavorable).

Le ferraillage se fera à l'ELU, car la fissuration est jugée peu nuisible.

VI.3.2. Combinaisons:

Les poutres sont calculées sous les deux situations suivantes :

- Situation durable selon BAEL (1.35G + 1.5Q): pour déterminer le moment Max entravée.
- Situation accidentelle selon le RPA 99 Version 2003 ($G + Q \pm E$): Pour déterminer respectivement le moment maximum négatif et positif, sur les appuis et permettra de déterminer le ferraillage supérieur au niveau des appuis.

VI.3.3. Recommandations des RPA 99 Version 2003 :

Le pourcentage total minimum des aciers longitudinaux sur toute la longueur de la poutre est de0.5% en toute section.

Le pourcentage total maximum des aciers longitudinaux est de :

- 4% en zone courante
- − 6 % en zone recouvrement.

Les poutres supportant de faibles charges verticales et sollicitées principalement par les forces latérales sismiques doivent avoir des armatures symétriques avec une section en travée au moins égale à la moitié de la section sur appui.

- La longueur minimale de recouvrement est de : 400 en zone I
- Les armatures longitudinales supérieures et inférieures doivent être coudées à 90°.

Dans notre cas, nous allons ferrailler les poutres les plus sollicitées.

Le ferraillage sera fait pour une situation accidentelle (le cas la plus défavorable).

Les poutres en travée seront ferraillées pour une situation durable et en appui pour une situation accidentelle.

VI.3.4. Sollicitations de calcul sur poutre :

Les sollicitations de calcul selon les combinaisons les plus défavorables sont extraites directement du logiciel Robot 2020 les résultats sont résumés dans le tableau ci-après :

Tableau VI.1: Sollicitations de calcul sur poutre

Types	Momei	nt enappuis	s(KN.m)	Moment entravée (KN.m)			Effort tranchant (KN)
	M_a^u	$M_a^{\it ser}$	M_a^{Acc}	M_{t}^{u}	M_t^{ser}	M_{t}^{Acc}	T
Poutre	75.24	5467	-127.72	34.35	25.05	-63.82	100.41
principale (30 × 40)	-75.34	-54.67	122.53			61.27	
Poutre	20.22	-27.61	-87.22	20.01	14.40	-43.61	40.00
secondaire (30×40)	-38.32		72.33			36.16	49.08

VI.3.5. Ferraillage longitudinal:

a) En travées : (situation durable)

• Poutres principales: $B = (b \times h) = (30 \times 40) cm^2$

$$M_{tu} = 34.35$$
KN. m

$$\mu_{bu} = \frac{M_{tu}}{f_{bu} \cdot b \cdot d^2} = \frac{34.35 \times 10^{-3}}{14.17 \times 0.3 \times 0.36^2} = 0.062$$

 $\mu_{bu}0.062 = \leq \mu_l = 0.392 \rightarrow pas\ d'armaturs\ comprimées$

$$\alpha = 1.25 \left(1 - \sqrt{1 - 2\mu_{bu}} \right) = 0.08$$

$$z = d(1 - 0.4\alpha) = 0.3844 m$$

$$A_t = \frac{M_t}{z \cdot \bar{\sigma}_s} = \frac{34.35 \times 10^{-3}}{0.3844 \times 347.826} \times 10^4 = 2.57 \text{ cm}^2$$

b) En appuis:(situation durable)

$$M_a = 75.34 \, KN. m$$

$$M_a = 75.34 \text{ KN.m}$$

$$\mu_{bu} = \frac{M_a}{f_{bu} \cdot b \cdot d^2} = \frac{75.34 \times 10^{-3}}{14.17 \times 0.3 \times 0.36^2} = 0.136$$

$$\mu_{bu} = 0.136 \le \mu_{bu} = 0.392 \text{ and } \frac{d'armature comments}{d'armature comments} = 0.136 \text{ and } \frac{$$

 $\mu_{bu} = 0.136 \le \mu_l = 0.392 \rightarrow pas \ d'armaturs \ comprimées$

$$\alpha = 1.25 \left(1 - \sqrt{1 - 2\mu_{bu}} \right) = 0.183$$

$$z = d(1 - 0.4\alpha) = 0.3336 m$$

$$A_a = \frac{M_a}{z \cdot \bar{\sigma}_s} = \frac{75.34 \times 10^{-3}}{0.3336 \times 347.826} \times 10^4 = 6.49 \text{ cm}^2$$

❖ Vérification de la condition de non fragilité (BAELArt A.4.2.1)

$$A_{min}^{RPA} = 0.5\% b. \, h \Rightarrow A_{min}^{RPA} = 0.5\% \times 30 \times 40 = 6.00 \; cm^2$$

$$A_{min}^{BAEL} = 0.23b. d. \frac{f_{t28}}{f_e} \Rightarrow A_{min}^{BAEL} = 0.23 \times 0.3 \times 0.9 \times 0.40 \times \frac{2.1}{400} \times 10^4 = 1.30 \ cm^2$$

Tableau VI.2: Vérification de la condition non fragilité

Types	$A_{cal}^{ELU}(cm^2)$	$A_{cal}^{ACC}(cm^2)$		$A_{min}^{RPA}(cm^2)$	$A_{min}^{BAEL}(cm^2)$		
	Travée	2.57	Sup	5.44	6.00	1.30	
Poutre principale (30 × 40)cm ²	Travee	2.57	Inf	5.22	0.00	1.50	
	Appuis	6.49	Sup	11.11	6.00	1.30	
		0.49	Inf	11.74	0.00	1.30	
	Travée	1.67	Sup	3.63	6.00	1.30	
Poutre secondaire	Travec	1.07	Inf	2.99	0.00	1.30	
(30×40) cm ²	Ai.a	3.13	Sup	7.64	6.00	1.20	
	Appuis	3.13	Inf	6.22	0.00	1,30	

Ту	pes		Choix des barres	$A_{adopt}\left(cm^2\right)$
	travée Sup		3HA16 fil	6.03
Poutre	Havee	Inf	3HA16 fil	6.03
principale	appuis	Sup	3HA16 fil + 3HA16 chapeaux	12.06
	appuis	Inf	3HA16 fil + 3HA16 chapeaux	12.06
	travée	Sup	3HA14 fil+3HA12 fil	8.01
Poutre	Havee	Inf	3HA14 fil+3HA12 fil	8.01
secondaire	appuis	Sup	3HA14 fil+3HA12 fil	8.01
	appuis	Inf	3HA14 fil+3HA12 fil	8.01

Tableau VI.3: Ferraillage des poutres principales et secondaires

Vérification des armatures selon le RPA 99 :

• Pourcentage maximum des armatures longitudinales :

En zone courante : $A_{max} = 4\%b$. $h = 4\% \times 30 \times 40 = 48$ $cm^2 \ge A$ adopte

En zone de recouvrement : $A_{max} = 6\%b$. $h = 6\% \times 30 \times 40 = 72$ $cm^2 \ge A$ adopte

VI.3.6. Calcul des armatures transversales :

Diamètre des armatures transversales :

Le diamètre des armatures transversales pour les poutres principales et secondaires est donnée par :

$$\emptyset_t \le \min \left\{ \frac{h}{35} ; \frac{b}{10} ; \emptyset_{l \min} \right\}$$

> Poutres Principales:

$$\emptyset_t \leq \min\left\{\frac{400}{35} ; \frac{300}{10} ; 16\right\} \Rightarrow \emptyset_t \leq 11.42 \; mm$$

On adopte $:A_t = 478 = 2.01 \text{ cm}^2$

Soit : 1 cadre +1étriér de φ 8 pour toutes les poutres principales.

> Poutres secondaires :

$$\emptyset_t \leq \min\left\{\frac{400}{35} ; \frac{300}{10} ; 12\right\} \Rightarrow \emptyset_t \leq 11.42mm$$

On adopte $:A_t = 4T8 = 2.01 \ cm^2$

Soit : 1 cadre +1étriér de φ 8 pour toutes les poutres secondaires.

- **Espacement des armatures transversales :**
- a) Selon le RPA99/version 2003(art 7.5.2.2):
- > Zone nodale: $s_t \le \min \begin{cases} \frac{h}{4} \\ 12\emptyset_{l \min} \end{cases}$
 - Poutres Principales : $s_t \le min \begin{cases} 10 \text{ cm} \\ 19.2 \text{ cm} \end{cases} = 10 \text{ cm}$ Soit : $s_t = 10 \text{ cm}$
 - Poutres secondaires: $s_t \le \min \begin{cases} 10 \text{ cm} \\ 14.4 \text{ cm} \end{cases} = 10 \text{ cm}$ Soit: $s_t = 10 \text{ cm}$
- ightharpoonup Zone courante: $s_t \leq \frac{h}{2}$
 - Poutres Principales: $s_t \le \frac{40}{2} = 20 \text{ cmSoit}$: $s_t = 15 \text{ cm}$
 - Poutres secondaires: $s_t \le \frac{40}{2} = 20 \ cm \ \text{Soit}$: $s_t = 15 \ cm$
- **b)** Selon **BAEL**: $s_t \le \min \begin{cases} 0.9d \\ 40cm \end{cases}$
 - Poutres Principales : $s_t \le \min \begin{cases} 0.9 \times 36 = 32.4 \, \text{cm} \\ 40 \, \text{cm} \end{cases} = 32.4 \, \text{cm Soit} : s_t = 30 \, \text{cm}$ Poutres secondaires : $s_t \le \min \begin{cases} 0.9 \times 36 = 32.4 \, \text{cm} \\ 40 \, \text{cm} \end{cases} = 32.4 \, \text{cm Soit} : s_t = 30 \, \text{cm}$
- **Vérification de la section d'armatures transversales :**
- a) Selon le **RPA99** : $A_t \ge 0.003$. s_t . b
- **Zone nodale** :
 - **Poutre principales :** $A_t = 2.01 \ cm^2 \ge 0.003 \times 10 \times 30 = 0.9 \ cm^2 \dots \dots CV$
 - **Poutre secondaires :** $A_t = 2.01 \ cm^2 \ge 0.003 \times 10 \times 30 = 0.9 \ cm^2 \dots CV$
- > Zone courante :
 - Poutre principales : $A_t = 2.01 \ cm^2 \ge 0.003 \times 15 \times 30 = 1.35 \ cm^2 \dots CV$
 - **Poutre secondaires :** $A_t = 2.01 \ cm^2 \ge 0.003 \times 15 \times 30 = 1.35 \ cm^2 \dots CV$
- b) Selon le **BAEL**: $A_t \ge \frac{S_t \times 0.4b}{f}$
 - **Zone nodale**:
 - Poutre principales : $A_t = 2.01 \ cm^2 \ge \frac{10 \times 0.4 \times 30}{400} = 0.3 \ cm^2 \dots CV$
 - **Poutre secondaires**: $A_t = 2.01 \ cm^2 \ge \frac{10 \times 0.4 \times 30}{400} = 0.3 \ cm^2 \dots CV$
 - > Zone courante:

 - Poutre principales : $A_t = 2.01 \ cm^2 \ge \frac{15 \times 0.4 \times 30}{400} = 0.45 \ cm^2 \dots CV$ Poutre secondaires : $A_t = 2.01 \ cm^2 \ge \frac{15 \times 0.4 \times 30}{400} = 0.45 \ cm^2 \dots CV$

VI.3.7. Vérifications nécessaires

- a) Vérifications à ELU
 - **❖** Vérification au cisaillement (BAEL)

$$\begin{split} &\tau_u \leq \bar{\tau}_u \\ &\text{Tel que } \tau_u = \frac{T_u}{b.d} \\ &\bar{\tau}_u = min\Big\{\frac{0.2f_{c28}}{\gamma_h}; 5MPa\Big\} = min\{3.33; 5MPa\} = 3.33 \ MPa \end{split}$$

Tableau VI.4: Vérification au cisaillement

Poutres	$T_u(kN)$	$ au_u(kN)$	Observation		
Poutre principales	100.41	0.92	Vérifiée		
Poutressecondaires	49.08	0.45	Vérifiée		

Donc Il n'y'a pas de risque de rupture par cisaillement.

b) Vérification à l'ELS:

***** état limite de compression du béton

La fissuration est peu nuisible donc il faut juste vérifier que la contrainte de compression du béton est inférieure ou égale à la contrainte admissible du béton.

$$\sigma_{bc} = \frac{M_{ser}}{I} \cdot y \le \overline{\sigma_{bc}} = 0.6 \cdot f_{c28} = 15 \, MPa$$

$$b \cdot \frac{y^2}{2} + 15[A_s + A'_s]y - 15(A_s \cdot d + A'_s \cdot d') = 0$$

$$I = \frac{b \cdot y^3}{3} + 15(A_s \cdot (d - y)^2 + A'_s \cdot (d' - y)^2)$$

Les vérifications sont résumées dans le tableau ci-après :

Tableau VI.5: Vérification de l'état limite de compression du béton :

Types	Au Niveau	M_{ser} $(KN.m)$	A_s (cm^2)	A'_s (cm^2)	<i>y</i> (<i>cm</i>)	(cm ⁴)	σ_{bc} (MPa)	$\overline{\sigma_{bc}}$ (MPa)	$\sigma_{bc} \leq \overline{\sigma_{bc}}$
PP	Appuis	54.67	12.06	12.06	13.24	129201.46	5.60	15	Vérifié
	Travées	25.05	6.03	6.03	10.81	73079.17	3.71	15	Vérifié
PS	Appuis	27.61	8.01	8.01	11.80	92350.70	3.52	15	Vérifié
	Travées	14.40	8.01	8.01	11.80	92350.70	1.84	15	Vérifié

Contrainte des aciers :

L'état de fissuration est peu préjudiciable, donc aucune vérification à faire.

Condition de la vérification de la flèche selon CBA 93 (Article B.6.5.1):

Le calcul des déformations est effectué pour évaluer les flèches dans le but de fixer les contre flèches à la construction ou de limiter les déformations de service.

Pour vérifier la flèche, il faut vérifier les conditions suivantes,

$$d) \ \frac{h}{L} \ge \frac{1}{16}$$

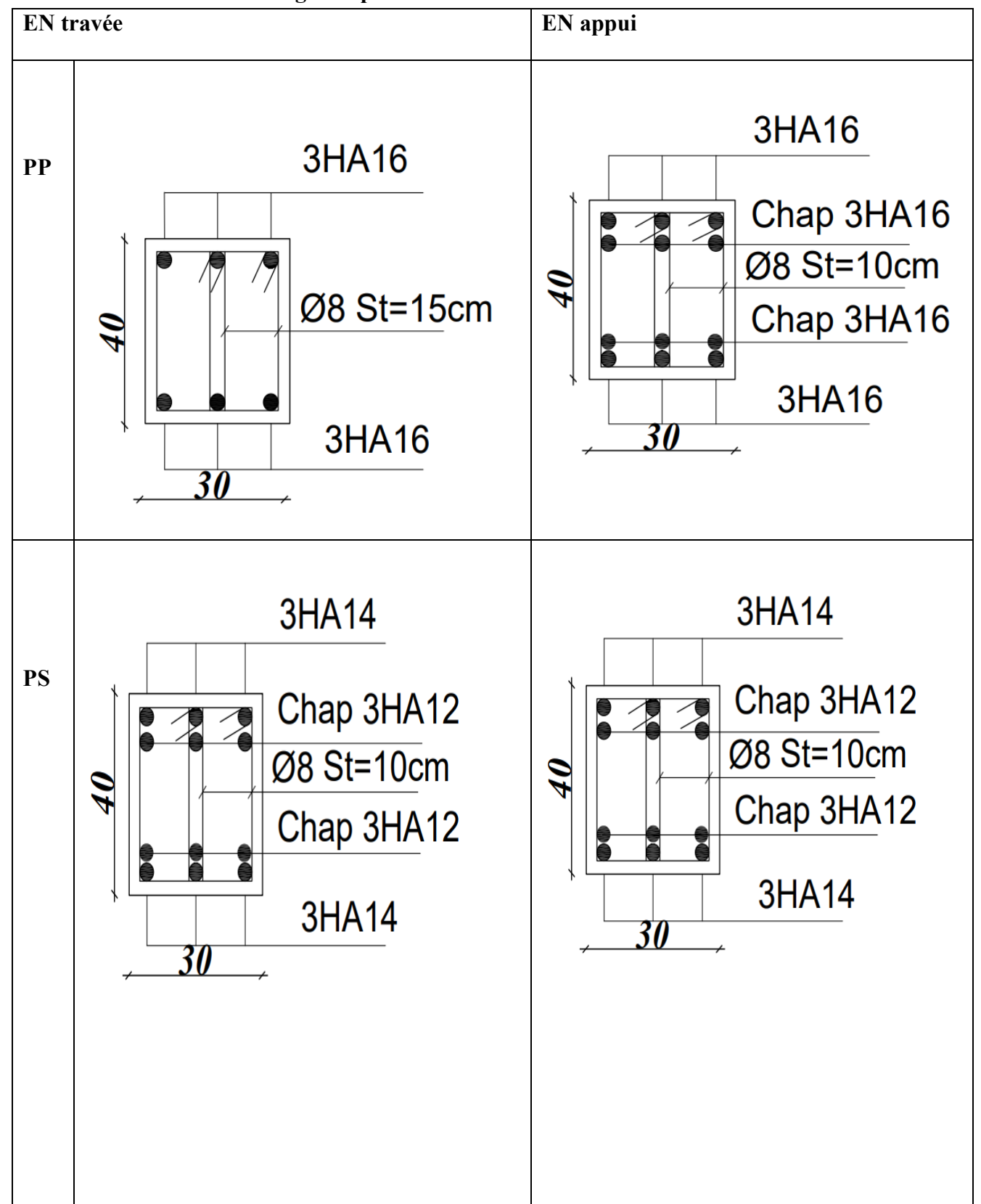
$$\begin{array}{ll} d) & \frac{h}{L} \geq \frac{1}{16} \\ e) & \frac{h}{L} \geq \frac{M_{t,ser}}{10 \cdot M_{0,ser}} \end{array}$$

$$f) \quad \frac{A_s}{b_0 \cdot d} \le \frac{4.2}{f_e}$$

Tableau VI.6: Vérification de la flèche

Types	h (cm)	<i>b</i> (<i>cm</i>)	L (cm)	A_s (cm^2)	$\frac{h}{L}$	$\frac{M_{t,ser}}{10 \cdot M_{0,ser}}$	$\frac{\mathbf{A}_s}{\mathbf{b}_0 \cdot \mathbf{d}}$	$\frac{4.2}{f_e}$	A	b	С
PP	40	30	420	6.03	0.09	0.045	0.005	0.01	cv	cv	Cv
PS	40	30	410	8.01	0.09	0.05	0.007	0.01	cv	cv	Cv

VI.3.8. Schéma de ferraillage des poutres



FigureVI-1:Schéma de ferraillage des poutres

VI.4. Ferraillage des poteaux :

Le ferraillage des poteaux est calculé en fonction d'un effort de compression (N) et des moments fléchissant dans les deux directions $(M_v; M_z \text{donnés par le Robot})$.

Donc ils doivent être ferraillés en flexion composée à l'ELU

VI.4.1.Recommandation du RPA 99 version 2003:

a)Armatures longitudinales: Les armatures longitudinales doivent être à haute adhérence droites et sans crochets :

- Le pourcentage minimum est de 0,7%(zone I).
- Le pourcentage maximum est de 4% en zone courante et de 6% en zone de recouvrement.
- Le diamètre minimal est de 12mm.
- La longueur minimale de recouvrement est de 40 Φ (zone I).
- La distance entre les barres verticales sur une face du poteau ne doit pas dépasser 25 cm (zone I).
- Les jonctions par recouvrement doivent être faites si possible à l'extérieur des zones nodales (zones critiques).

La zone nodale est constituée par le nœud poutre-poteaux proprement dit et les extrémités des barres qui y concourent. Les longueurs à prendre en compte pour chaque barre sont données $:h' = Max(h_e/6, b_1, h_1, 60cm)$

b) Armatures transversales: Les armatures transversales des poteaux sont calculées à l'aide de la formule :

$$\frac{A_t}{S_t} = \frac{\rho \cdot V_u}{h_1 \cdot f_e}$$

 V_u : effort tranchant de calcul

 h_1 : Hauteur totale de la section brute

f_e: Contrainte limite élastique de l'acier d'armature transversale

 ρ : un coefficient correcteur qui tient compte du mode fragile

$$\rho = 2.5 \, si \, \lambda_g \geq 5$$

$$\rho = 3.75 \, si \, \lambda_a < 5$$

Avec : λ l'élancement géométrique

 S_t : Espacement des armatures transversales.

Dans la zone nodale : $S_t \le \min(10\emptyset_l; 15 cm)$ en Zone I

Dans la zone courante : $S_t \le 15\emptyset_l$ en Zone I

 \emptyset_l : Diamètre minimal des armatures longitudinales

-La quantité d'armatures transversales minimale $\frac{A_t}{S_t h}$ en % est donnée par:

$$0.3\% \, si \, \lambda_g \geq 5$$

$$0.8\%$$
 si $\lambda_q \leq 3$

Par interpolation si $3 \le \lambda_g \le 5$

$$\lambda_g = \frac{l_f}{a} ou \frac{l_f}{b}$$

Avec : a et b, dimensions de la section droite du poteau, et l_f longueur de flambement du poteau.

VI.4.2. Calcul du ferraillage des poteaux

Les poteaux sont des éléments verticaux, ils transmettent les efforts (G, Q et E) aux fondations. Leurs sections sont soumises à la flexion composée sous un moment et un effort normale. Aussi, nous pouvons avoir l'un des trois cas suivants :

- Section partiellement comprimée SPC.
- Section entièrement tendue SET.
- Section entièrement comprimée SEC.

Les poteaux sont calculés en flexion composée. Chaque poteau est soumis à un effort (N) et à un moment fléchissant $(M_V \ ou \ M_Z)$

Les armatures sont obtenues à l'état limite ultime (E.L.U) sous l'effet des Sollicitations les plus défavorables suivant les deux sens pour les cas suivants :

Tableau VI.7: Coefficient de sécurité et Caractéristiques mécaniques

	γ_b	γ_s	$f_{c28}(MPa)$	$f_{bu}(MPa)$	$f_e(MPa)$	$\sigma_s(MPa)$
Situation durable	1.5	1.15	25	14.17	400	347.826
Situation	1.15	1	25	18.48	400	400
accidentelle						

Les armatures seront calculées suivants les combinaisons de charges citées au paragraphe précédent, dans les deux sens longitudinal et transversal. Il est à noter que nous prévoyons un calcul pour les cas ci-après:

$$N_{max} \Longrightarrow M_{corr}$$

$$N_{min} \Longrightarrow M_{corr}$$

$$M_{max} \Longrightarrow N_{corr}$$

VI.4.2.1.Les résultats de l'auto desk robot structural analysés Professional 2019

Les résultats des efforts internes et le ferraillage des poteaux pour toutes les combinaisons, donnés par le logiciel robot sont résumés dans les tableaux qui suivant :

Tableau VI.8: Efforts internes

	Sollicita	ntions	Poteaux $(60 \times 60) cm^2$	Poteaux $(55 \times 55)cm^2$	Poteaux $(50 \times 50)cm^2$	Poteaux 45×45) cm^2
C		$N_{max}(KN)$	1788.59	1570.02	982.78	427.96
Cas	O1 ELU Cas 0.8G-FY	$M_{y,corr}(KN.m)$	-0.65	-4.79	-10.56	-12.31
01		$M_{z,corr}(KN.m)$	3.77	-1.49	-16.20	-15.91
C	Cas 0.8G-EY	$N_{min}(KN)$	-731.10	-517.95	-106.85	-44.70
		$M_{y,corr}(KN.m)$	5.98	6.76	10.30	11.10
02		$M_{z,corr}(KN.m)$	-80.97	-35.95	-15.08	-18.21
Caa		$M_{max}(KN.m)$	82.83	48.50	42.51	41.61
Cas 03	G+Q+EY	$N_{corr}(KN)$	1649.41	423.11	252.07	107.08
03		$M_{z,corr}(KN.m)$	-14.65	0.94	1.058	-7.05
		$N_{max}(KN)$	1304.29	1145.35	716.77	311.70
Cas	ELS	$M_{y,corr}(KN.m)$	-0.51	-3.61	-7.79	-9.09
04		$M_{z,corr}(KN.m)$	2.73	-1.05	-11.63	-11.44

VI.4.2.2. Calcul du ferraillage :

Exemple de calcul:

Nous exposerons un exemple de calcul pour le poteau $(60 \times 60)cm^2$

***** Les armatures longitudinales:

Cas 01:

$$N_{max} = 1788.59 \, KN \; ; M_{max} = 3.77 \, KN. \, m$$

Calcul des excentricités :

✓ Etat limite ultime :

$$e = e_1 + e_2 + e_a$$

Avec:

*e*₁: Excentricité de premier ordre.

e₂: Excentricité due aux effets de second ordre.

 e_a : Excentricité additionnelle.

$$e_1 = \frac{M_u}{N_u} = \frac{3.77}{1788.59} = 0.002 \text{ m}$$

$$e_2 = \frac{3l_f^2}{10^4 \cdot h} (2 + \alpha \phi)$$

 α :: Le rapport du premier ordre, dû aux charges permanentes et quasi – permanentes.

 l_f : Longueur de flambement.

 φ : Le rapport de la déformation finale due au fluage à la déformation instantanéesous charge considéré ce rapport est généralement pris égale à 2.

$$\alpha = 10 \left(1 - \frac{M_u}{1.5 M_{ser}} \right) = 10 \left(1 - \frac{3.77}{1.5 \times 2.73} \right) = 0.79$$

$$l_f = 0.7L_0 = 0.7 \times 3.06 = 2.142 \text{ m}$$

$$e_2 = \frac{3 \times 2.142^2}{10^4 \times 0.6} (2 + 0.79 \times 2) = 0.008 \text{ m}$$

$$e_a = max \left\{ 2 \text{ cm}; \frac{L}{250} \right\} = max \left\{ 2 \text{ cm}; \frac{306}{250} \right\} = 2 \text{ cm} = 0.02 \text{ m}$$

$$e = 0.002 + 0.008 + 0.02 = 0.03m = 3.0 \text{ cm}$$

On calcul un moment de flexion fictif:

$$M_{ua} = N_u \left(e + d - \frac{h}{2} \right) = 1788.59 \left(0.03 + 0.9 \times 0.6 - \frac{0.6}{2} \right) = 482.92 \text{ KN. m}$$

On calcule le moment réduit :

$$\mu_{\text{bu}} = \frac{M_{\text{ua}}}{b \cdot d^2 \cdot f_{\text{bu}}} = \frac{482.92 \times 10^{-3}}{0.6 \times (0.9 \times 0.6)^2 \times 14.17} = 0.194$$

$$\mu_{bu} = 0.204 \le \mu_{bc} = 0.493$$

 \Rightarrow La section sera partiellement comprimée, le calcul de la section sera fait en flexion simple $\mu_{bu}=0.194 \leq \mu_l=0.392~(FeE400)$

Il n'y a pas d'armatures comprimées $A_{sc} = 0$

$$\alpha = 1,25 \left(1 - \sqrt{1 - 2\mu_{\rm u}}\right) = 0.272$$

$$z = d(1 - 0.4\alpha) = 0.481 \text{ m}$$

$$\mu_{\text{bu}} = 0.194 > \mu_{\text{AB}} = 0.186 \Rightarrow pivot B$$

$$\epsilon_{st} = \epsilon_{bc} \left(\frac{1-\alpha}{\alpha} \right) \Rightarrow \epsilon_{st} = 3.5\%_0 \left(\frac{1-0.272}{0.272} \right) = 9.36\%_0$$

$$\varepsilon_{l} = \frac{fe}{\gamma_{s} \cdot E} \Rightarrow \varepsilon_{l} = \frac{400}{1.15 \times 2.1 \times 10^{5}} = 1.66\%$$

$$\varepsilon_{\rm st} = 9.36\%_0 \ge \varepsilon_{\rm l} = 1.66\%_0 \Rightarrow \sigma_{\rm st} = \frac{fe}{v_{\rm s}} = \frac{400}{1.15} = 347.826 \, MPa$$

$$A_{st} = \frac{M_{ua}}{Z \cdot \sigma_{st}} = \frac{482.92 \times 10^{-3}}{0.481 \times 347.826} \times 10^{4} = 28.86 \text{ cm}^{2}$$

En flexion composé

$$A_{Fc} = A_s - \frac{N_u}{\sigma_{st}} = 28.86 - \frac{1788.59}{347.826} \times 10 = 22.59 \ cm^2$$

Cas 02:

$$N_{max} = 731.10 \, KN \; ; \; M_{max} = 80.97 \, KN. \, m$$

> Calcul des excentricités :

$$e = e_1 + e_2 + e_a$$

 $e_1 = \frac{M_u}{N_u} = \frac{80.97}{731.10} = 0.11 \text{ m}$

$$e_2 = \frac{3l_f^2}{10^4 \cdot h}(2 + \alpha\phi)$$

$$\alpha = 10 \left(1 - \frac{M_u}{1.5 M_{ser}} \right) = 10 \left(1 - \frac{3.77}{1.5 \times 2.73} \right) = 0.79$$

$$e_2 = \frac{3 \times 2.142^2}{10^4 \times 0.6} (2 + 0.79 \times 2) = 0.008 \text{ m}$$

$$e_a = max \left\{ 2 \text{ cm}; \frac{L}{250} \right\} = max \left\{ 2 \text{ cm}; \frac{306}{250} \right\} = 2 \text{ cm} = 0.02 \text{ m}$$

$$e = 0.11 + 0.008 + 0.02 = 0.138 \text{ m} = 13.8 \text{ cm}$$

On calcul un moment de flexion fictif:

$$M_{ua} = N_u \left(e + d - \frac{h}{2} \right) = 731.10 \left(0.138 + 0.9 \times 0.6 - \frac{0.6}{2} \right) = 276.35 \text{ KN. m}$$

On calcule le moment réduit

$$\mu_{\text{bu}} = \frac{M_{\text{ua}}}{b \cdot d^2 \cdot f_{\text{bu}}} = \frac{276.35 \times 10^{-3}}{0.6 \times (0.9 \times 0.6)^2 \times 18.48} = 0.085$$

$$\mu_{\rm bu} = 0.085 \le \mu_{\rm bc} = 0.493$$

 \Rightarrow La section sera partiellement comprimée, le calcul de la section sera fait en flexion simple $\mu_{bu}=0.085 \leq \mu_l=0.392~(\textit{FeE}400)$

Il n'y a pas d'armatures comprimées $A_{sc} = 0$

$$\alpha = 1,25 \left(1 - \sqrt{1 - 2\mu_u}\right) = 0.111$$

$$z = d(1 - 0.4\alpha) = 0.516$$
m

$$\mu_{bu} = 0.085 \le \mu_{AB} = 0.186 \Rightarrow pivot A$$

$$\epsilon_{st}=10\%_0$$

$$\sigma_{\rm st} = \frac{fe}{\gamma_{\rm s}} = \frac{400}{1} = 400 \, MPa$$

$$A_s = \frac{M_{ua}}{Z \cdot \sigma_{st}} = \frac{276.35 \times 10^{-3}}{0.516 \times 400} \times 10^4 = 13.38 \ cm^2$$

En flexion composé:

$$A_{Fc} = A_s - \frac{N_u}{\sigma_{st}} = 13.38 - \frac{-731.10}{400} \times 10 = 31.65 \ cm^2$$

Cas 03:

$$N_{max} = 1649.41 \, KN \; ; \; M_{max} = 82.83 KN. \, m$$

> Calcul des excentricités :

$$e = e_1 + e_2 + e_a$$

 $e_1 = \frac{M_u}{N_u} = \frac{82.83}{1649.41} = 0.05 \text{m}$

$$e_2 = \frac{3l_f^2}{10^4 \cdot h} (2 + \alpha \phi)$$

$$\alpha = 10 \left(1 - \frac{M_u}{1.5 M_{ser}} \right) = 10 \left(1 - \frac{3.77}{1.5 \times 2.73} \right) = 0.79$$

$$e_2 = \frac{3 \times 2.142^2}{10^4 \times 0.7} (2 + 0.79 \times 2) = 0.008 \text{ m}$$

$$e_a = max \left\{ 2 \text{ cm}; \frac{L}{250} \right\} = max \left\{ 2 \text{ cm}; \frac{306}{250} \right\} = 2 \text{ cm} = 0.02 \text{ m}$$

$$e = 0.05 + 0.008 + 0.02 = 0.078m = 7.8cm$$

On calcul un moment de flexion fictif:

$$M_{ua} = N_u \left(e + d - \frac{h}{2} \right) = 1649.41 \left(0.078 + 0.9 \times 0.6 - \frac{0.6}{2} \right) = 524.41 KN. m$$

On calcule le moment réduit :

$$\mu_{\text{bu}} = \frac{M_{\text{ua}}}{b \cdot d^2 \cdot f_{bu}} = \frac{524.41 \times 10^{-3}}{0.6 \times (0.9 \times 0.6)^2 \times 18.48} = 0.162$$

$$\mu_{bu} = 0.162 \le \mu_{bc} = 0.493$$

 \Rightarrow La section sera partiellement comprimée, le calcul de la section sera fait en flexion simple $\mu_{bu}=0.162 \leq \mu_l=0.392~(\textit{FeE}400)$

Il n'y a pas d'armatures comprimées $A_{sc} = 0$

$$\alpha=\text{1,25}\left(1-\sqrt{1-2\mu_u}\right)=0.111$$

$$z = d(1 - 0.4\alpha) = 0.516$$
m

$$\mu_{bu} = 0.162 \leq \mu_{AB} = 0.186 \ \Rightarrow \textit{pivot A}$$

$$\varepsilon_{\rm st} = 10\%_0$$

$$\sigma_{\rm st} = \frac{fe}{\gamma_{\rm s}} = \frac{400}{1} = 400 \, MPa$$

$$A_s = \frac{M_{ua}}{Z \cdot \sigma_{st}} = \frac{524.41 \times 10^{-3}}{0.516 \times 400} \times 10^4 = 25.40 \ cm^2$$

En flexion composé:

$$A_{Fc} = A_s - \frac{N_u}{\sigma_{st}} = 25.40 - \frac{1641.41}{400} \times 10 = 15.63 \ cm^2$$

Condition de non fragilité :

> Recommandations du RPA99 v 2003 :

$$A_{min}^{RPA} = 0.7\%b. \, h \Rightarrow A_{min}^{RPA} = 0.7\% \times 60 \times 60 = 25.2cm^2$$

- En zone courante : $A_{max} = 4\%b$. $h = 4\% \times 60 \times 60 = 14.4 \text{ cm}^2$
- En zone de recouvrement : $A_{max} = 6\%b$. $h = 6\% \times 60 \times 60 = 21.6$ cm²

Recommandations duBAEL91

$$\begin{aligned} \mathbf{A}_{min}^{BAEL} &= 0.23 \, \mathbf{b} \cdot \mathbf{d} \, \frac{f_{t28}}{f_e} \times \frac{e_0 - 0.45 \, d}{e_0 - 0.185 \, d} \\ \Rightarrow & \mathbf{A}_{min}^{BAEL} = 0.23 \times 60 \times 54 \times \frac{2.1}{400} \times \frac{\frac{2.73 \times 100}{1304.29} - 0.45 \times 54}{\frac{2.73 \times 100}{1304.29} - 0.185 \times 54} \\ \Rightarrow & \mathbf{A}_{min}^{BAEL} = 9.63 \, cm^2 \end{aligned}$$

		. 6		1		
Section	Combinaisons	A_{cal}	A_{cal}	A _{cal}	A	Choix des barres
(cm²)		(cm^2)	(cm^2)	(cm^2)	(cm^2)	
	Cas 01	22.59				
(60×60)	Cas 02	31.65	25.2	9.63	31.65	12T20=37.70 cm ²
	Cas 03	15.63				
	Cas 01	19.24				
(55×55)	Cas 02	21.58	21.17	8.16	21.54	12T16=24.1 cm ²
	Cas 03	2.54				
	Cas 01	11.29				
(50×50)	Cas 02	1.95	17.5	6.98	17.5	12T16=24.13cm ²
	Cas 03	0.58				
	Cas 01	5.09				
(45×45)	Cas 02	1.80	14.17	5.87	14.17	12T14=18.47 cm ²
	Cas 03	3.06				

Tableau VI.9: ferraillages longitudinales des poteaux

Ferraillage des armatures transversales

> Exemple de calcul

On prend pour exemple de calcul le poteau du RDC

Soit:

$$\frac{A_t}{S_t} = \frac{\rho \cdot V_u}{h_1 \cdot f_e}$$

L'élancement géométrique du poteau λ_g : $\lambda_g = \frac{l_f}{a}$ ou $\frac{l_f}{b} = \frac{0.7 \times 2.8}{0.60} = 3.26$

Coefficient correcteur qui tient compte du mode fragile ρ : $\lambda_g < 5 \Rightarrow \rho = 3.75$

- \triangleright Espacement des armatures transversales S_t :
 - Dans la zone nodale : $S_t \le \min(10 \times 1.4; 15 \ cm) \Rightarrow S_t = 10 \ cm$
 - Dans la zone courante : $S_t \le 15 \times 1.6 = 24 cm \Rightarrow S_t = 15 cm$
- > Les armatures transversales des poteaux :
 - Dans la zone nodale :

$$A_t = \frac{\rho \cdot V_u}{h_1 \cdot f_e} \cdot S_t \Rightarrow A_t = \frac{3.75 \times 55.41 \times 10^{-3}}{0.60 \times 400} \times 0.10 \times 10^4 \Rightarrow A_t = 0.86 \ cm^2$$

• Dans la zone courante :

$$A_t = \frac{\rho \cdot V_u}{h_1 \cdot f_e} \cdot S_t \Rightarrow A_t = \frac{3.75 \times 55.41 \times 10^{-3}}{0.60 \times 400} \times 0.15 \times 10^4 \Rightarrow A_t = 1.29 \ cm^2$$

 \triangleright La quantité d'armatures transversales minimale $A_{t \min}$:

$$\lambda_g = 3.26 \ge 3 \Rightarrow \frac{A_{t \, min}}{S_t b} \ge 0.30\%$$

- Dans la zone nodale : $A_{t \; min} \geq 0.30\% \cdot S_t b \Rightarrow A_{t \; min} \geq 0.3\% \times 10 \times 60$ $\Rightarrow A_{t \; min} = 1.8 \; cm^2$
- Dans la zone courante : $A_{t \, min} \ge 0.30\% \cdot S_t b \Rightarrow A_{t \, min} \ge 0.3\% \times 15 \times 60$ $\Rightarrow A_{t \, min} = 2.7 \, cm^2$

Tableau VI.10: Les armatures transversales des poteaux

Niveau	RDC	1 ^{er} a3 ^{eme} étage	4 ^{eme} a6 ^{eme} étage	7 ^{eme} a 9 ^{eme} étage
Section (cm ²)	(60×60)	(55×55)	(50×50)	(45×45)
$\varnothing l_{\min}(cm)$	1,4	1,4	1,4	1,4
λ_g	3.26	3.56	3.92	3.92
$ ho_a$	3,75	3,75	3.75	3.75
$T_{u}(KN)$	55.41	42.91	29.81	31.29
zone nodale $S_t(cm)$	10	10	10	10
zone courante $S_t(cm)$	15	15	15	15
zone nodale $A_t^{cal} \left(cm^2 \right)$	0,86	0.73	0.55	0.65
zone courante $A_t^{cal} \left(cm^2 \right)$	1.29	1.09	0.83	0.97
zone nodale $A_t^{\min} \left(cm^2 \right)$	1.8	1.65	1.50	1.35
zone courante $A_t^{\min} \left(cm^2 \right)$	2.7	2.47	2.25	2.02
$A_{\iota}(cm^2)$ adopte	4T10=3.14	4T10=3.14	4T10=3.14	4T10=3.14
Nombre des cadres	3	3	3	3

VI.4.3. Vérification nécessaires :

- > Vérification ELU:
- ***** contraintes de cisaillement :
- > Suivant RPA99 v 2003 :

D'après l'art 7.4.3.2 RPA99/V2003:

La contrainte de cisaillement conventionnelle de calcul dans le béton $\tau_{bu}=\frac{T}{b.d}$ sous combinaison sismique doit être inférieure ou égale à la valeur limite suivante: $\overline{\tau}_{bu}=\rho_d.f_{c28}$ Avec :

$$\rho_d = 0,075 \text{ Si } \lambda_g \ge 5$$

$$\rho_d = 0,040 \text{ Si } \lambda_g \text{ p 5}$$

Niveau	T(KN)	b(m)	d(m)	$ ho_{\scriptscriptstyle d}$	$\tau_{bu}(MPa)$	$\overline{ au}_{bu}(MPa)$	Vérification
RDC	55.41	0,60	0,54	0,040	0,17	1	CV
1 ^{er} a3 ^{eme} étage	42.91	0,55	0,495	0,040	0,15	1	CV
4 ^{eme} a6 ^{eme} étage	29.81	0,50	0,45	0,040	0,13	1	CV
7 ^{eme} a 9 ^{eme} étage	31.29	0,45	0,405	0,040	0,18	1	CV

> Vérification ELS :

Vérification des contraintes de compression :

Comme la fissuration est peu nuisible, donc la vérification se fait pour la contrainte de compression dans le béton seulement, cette vérification sera faite pour le poteau le plus sollicité à chaque niveau là où il y a réduction de section. On doit vérifier que :

$$\sigma_{bc\ 1,2} = \frac{N_{ser}}{B} \pm \frac{M_G^{ser}}{I} \cdot y^{sup,inf} \le \overline{\sigma_{bc}} = 0.6 \cdot f_{c28} = 15 \, MPa$$

 $B = b \times h + 15(A + A')$ (section homogene)

$$y^{sup} = \frac{\frac{b \times h^2}{2} + 15(A' \times d' + A \times d)}{B}$$
; $y^{inf} = h - y^{sup}$

$$I = \frac{b}{3} (y_{sup}^3 + y_{inf}^3) + 15A' (y^{inf} - d')^2 + 15(d - y^{sup})^2$$

Niveau	В	d	A	y^{sup}	y^{inf}	I	N _{ser}	M_G^{ser}	$\sigma_{bc \ 1}$	$\sigma_{bc \ 2}$	$\overline{\sigma_{bc}}$
	(cm^2)	(cm)	(cm^2)	(cm)	(cm)	(m^4)	(kN)	(kN.1	(MPa	(MPa	(MP
RDC	(60×60)	0,54	37.70	33.25	26.75	176.3	1304.2	2.73	2.21	2.12	15
RDC		0,54				8	9				
1 ^{er} a 3^{eme} é	(55×55)	0,49	24.13	28.08	26.92	135.2	1145.3	1.05	2.83	2.79	15
tage		0,49				7	5				
4 ^{eme} a 6 ^{eme}	(50×50)	0,45	24.13	25.63	24.73	126.8	716.77	11.6	2.44	1.98	15
étage		0,43				3					
7 ^{eme} a 9 ^{eme}	(45×45)	0,40	18.47	23.04	21.96	93.75	311.7	11.4	1.48	0.94	15
étage		0,40									

Tableau VI.12 : Les résultats de calcul sont résumés dans le tableau ci-dessous

VI.4.4. Schéma de ferraillage des poteaux :

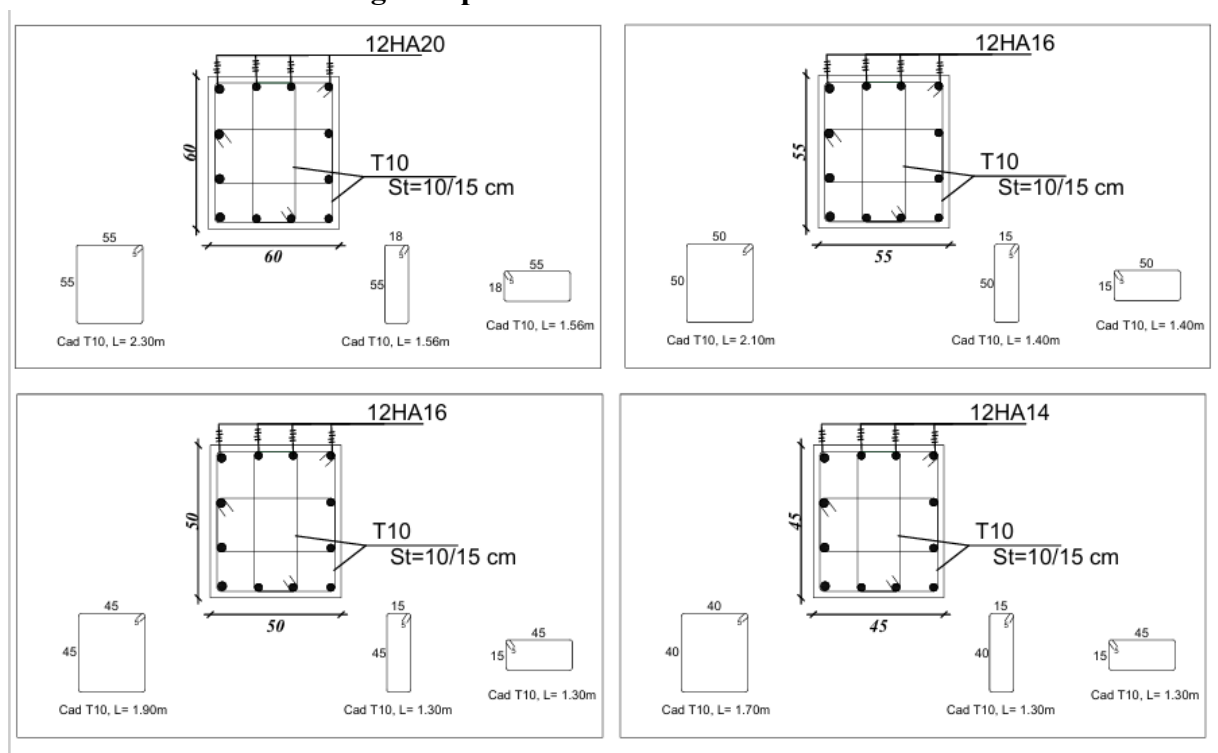


Figure VI-2: Schéma de ferraillage des poteaux

VI.5. Etude des voiles :

VI.5.1 Introduction:

Les voile est une élément structural des contreventement soumise à des force verticale et des force horizontal, donc .les ferraillage des voile consiste à déterminer les armateur en flexion composé sons l'action des sollicitation verticale deus aux charges permanentes G et aux surcharge d'exploitation Q,

Ansai que sous l'action des sollicitation horizontales deus aux séisme.

Chaque voile doit comporter trois types d'armatures :

- ✓ des armatures verticales.
- ✓ des armatures horizontales.
- ✓ des armatures transversales.

VI.5.2. Les combinaisons de calcul :

D'après art 7.7.4 RPA99 Version 2003 les trumeaux seront calculés en flexion composée (effort normal de compression (N) et un moment de flexion (M)) tirées à partir des fichiers résultats du logiciel Auto desk Robot Structural Analysais Professional 2019 sous les combinaisons de calcul suivantes :

ELU: 1.35 G+1.5 Q; **ACC**:
$${}^{G+Q+E}_{0,8G\pm E}$$

Tableau VI.13: Les résultats des Contraintes aux extrémités (voile 01 sens y-y)

Combinaison	N(KN)	M(KN.m)	T(KN)	σ_{g} (MPA)	$\sigma_{_d}$ (MPA)	$L_{t}(m)$	$L_{c}\left(m ight)$
ELU	1604.3	41.28	-10.15	1.88	2.03	0	4.10
G+Q+EX	909,63	220,38	31,67	1.50	0.71	0	4.10
G+Q-EX	1442,74	277,33	-46,58	1.26	2.25	0	4.10
G+Q+EY	1074,60	1571,06	201,36	-1.49	4.11	1.10	3.0
G+Q-EY	1277,77	1628,01	-216,27	-1.34	4.46	0.94	3.16
0.8G+EX	586,59	241,29	33,63	1.14	0.28	0	4.10
0.8G-EX	1119,69	256,42	-44,63	0.90	1.82	0	4.1
0.8G+EY	751,55	1591,97	203,31	-1.92	3.75	1.39	2.71
0.8G-EY	954,73	1607,10	-214,31	-1.7	4.03	1.21	2.89

Tableau VI-14: Les résultats des Contraintes aux extrémités (voile 02 sens x-x)

Combinaison	N(KN)	M(KN.m)	T(KN)	σ_{g} (MPA)	$\sigma_{_{\! d}}\!\left(\!\mathit{MPA} ight)$	$L_{t}(m)$	$L_{c}(m)$
ELU	3653.27	18.28	-2.96	2.60	2.59	0	7
G+Q+EX	2172,47	3157,62	462,44	-0.38	3.81	0.69	6.31
G+Q-EX	3164,78	3129,61	-466,78	0.34	4.17	0	7
G+Q+EY	2534,02	253,34	18,84	1.96	1.65	0	7
G+Q-EY	2803,23	225,33	-23,18	1.86	2.14	0	7
0.8G+EX	1368,76	3151,60	463,07	-0.95	2.9	1.73	5.27
0.8G-EX	2361,06	3135,63	-466,15	-0.23	3.60	0.42	6.58
0.8G+EY	1730,31	247,32	19,47	1.38	1.08	0	7
0.8G-EY	1999,51	231,34	-22,55	1.28	1.57	0	7

VI.5.3. Ferraillage du Voile 1

> Sens y-y:

Données : Résultats de l'Analyse:

$$ELU : N = 1604.3 \text{ KN} ; M = 41.28 \text{ KN} . m$$

$$G + Q + Ey : N = 1074.60 \text{ KN}; M = 1571.06 \text{ KN}. m$$

$$0.8G + Ey$$
; $N = 751.55 \text{ KN}$; $M = 1591.97 \text{KN}$. m

- **A Caractéristiques Géométrique du Voile :**
- ✓ **La Section :** $S = a. L \Rightarrow S = 0.20 \times 4.10 = 0.82 \text{ m}^2$
- ✓ Moment d'inertie : $I = \frac{a \cdot l^3}{12} \Rightarrow I = \frac{0.20 \times 4.10^3}{12} = 1.148 \, m^4$
- ✓ Position de centre de gravité : $v = v' = \frac{L}{2} = \frac{4.10}{2} = 2.05 m$
- \checkmark Extrémités du noyau central : $c = c' = \frac{L}{6} = \frac{4.10}{6} = 0.68 m$

VI.5.3.1. Vérification de la résistance du voile (G + Q + Ey)

***** Calcul des Contrainte

$$\sigma_g = \frac{N}{S} - \frac{MV'}{I} \Rightarrow \sigma_g = \frac{1074.60 \times 10^{-3}}{0.82} - \frac{1571.06 \times 10^{-3}}{1.148} \times 2.05 = -1.49 \ MPa$$

$$\sigma_d = \frac{N}{S} + \frac{MV'}{I} \Rightarrow \sigma_g = \frac{1074.60 \times 10^{-3}}{0.82} + \frac{1571.06 \times 10^{-3}}{1.148} \times 2.05 = 4.11 \, MPa$$

Donc nous sommes dans le cas d'une section Partiellement Comprimée, on doit Déterminer les Longueurs des Zones Comprimée et Tendue

VI.5.3.2. Vérification de l'effort limite ultime $N_{u \ limite}$:

$$l_w = 3.06 \, m$$

$$b = 4.10 - 2 \times 0.60 = 2.90 m$$

Voile encastrée sur rive

$$\Rightarrow \beta = 0.85$$

$$l_f = \beta l_w = 0.85 \times 3.06 = 2.60 m$$

- **Coefficient :** $\lambda \le 50 \Rightarrow \alpha = \frac{0.85}{1 + 0.2(\frac{\lambda}{0.7})^2} = 0.64$
- **Acier Minimal** : $A_{min} = 0.2\%$. $a. l = 16.4 m^2$
- Section réduite : $B_r = l(a-2) = 7380 cm^2$

$$N_{u \ lim} = \alpha \left[\frac{B_r \cdot f_{c28}}{0.9 \gamma_b} + A_s \frac{f_e}{\gamma_s} \right] = 0.61 \left[\frac{0.738 \times 25}{0.9 \times 1.15} + 0.00164 \cdot \frac{400}{1.5} \right] \times 10^3 = 11140.68 \ KN$$

SET SET SET : Effort Limite Ultime (Cas de Béton Non-Armé) :

$$N_{u \ lim} = \alpha \left[\frac{B_r \cdot f_{28}}{0.9 \gamma_h} \right] = 0.61 \left[\frac{0.738 \times 25}{0.9 \times 1.15} \right] \times 10^3 = 10873.91 \ KN$$

\Leftrightarrow Calcul de Contrainte limite ultime $\sigma_{u \ lim}$ correspondante :

$$\sigma_{u \; lim} = \begin{cases} \sigma_{BA} = \frac{N_{u \; lim}}{a. \, l_i} = \frac{11140.68 \times 10^{-3}}{0.2 \times 2.9} = 19.20 \; MPa \\ \sigma_{BnA} = \frac{N_{u \; lim}}{a. \, l_i} = \frac{10873.91 \times 10^{-3}}{0.2 \times 2.9} = 18.74 \; MPa \end{cases}$$

$$\begin{cases} \sigma_{BA} = 19.20 \; MPa \geq \sigma_d = 4.11 \; MPa \\ \sigma_{BnA} = 18.74 \; MPa \geq \sigma_d = 4.11 \; MPa \end{cases}$$

On doit mettre un ferraillage minimal dans la partie comprimée $A_{sc} = 16.40 \ cm^2$

VI.5.3.3. Ferraillage sous (0.8G + Q)

$$N = 751.55 \text{ KN}$$
; $M = 1591.97 \text{ KN}$. m

Calcul des Contrainte

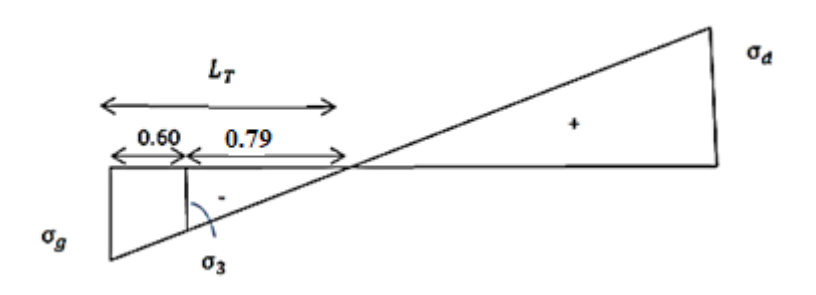
$$\sigma_g = \frac{N}{S} - \frac{MV'}{I} \Rightarrow \sigma_g = \frac{751.55 \times 10^{-3}}{0.82} - \frac{1591.97 \times 10^{-3}}{1.148} \times 2.05 = -1.92 MPa$$

$$\sigma_d = \frac{N}{S} + \frac{MV'}{I} \Rightarrow \sigma_g = \frac{751.55 \times 10^{-3}}{0.82} + \frac{1591.97 \times 10^{-3}}{1.148} \times 2.05 = 3.75 MPa$$

- **L**ongueurs des Zones comprimée et Tendue :
- Longueur de la Zone Tendue : $\frac{L_T}{L} = \frac{\sigma_g}{\sigma_g + \sigma_d} \Rightarrow L_T = \frac{\sigma_g}{\sigma_g + \sigma_d}$. L

$$\Rightarrow L_T = \frac{1.92}{1.92 + 3.75}.410 = 139cm$$

• Longueur de la Zone Comprimée : $L_c = L - L_T = 410 - 139 = 271 \ cm$



- \diamond Calcul des Contraintes σ_i
- Contrainte σ_3

$$\frac{\sigma_3}{\sigma_g} = \frac{L_3}{L_T} \Rightarrow \sigma_3 = \frac{L_3}{L_T} \cdot \sigma_g = 1.92 \times \frac{139 - 60}{139} = 1.10 \text{ MPa}$$

Avec
$$L_3 = 139 - 60 = 79 \ cm < \begin{cases} \frac{h_e}{2} = 153 \ cm \\ \frac{2}{3} L_c = 208.5 \ cm \end{cases}$$

- ***** Détermination des Armatures verticale
 - **Partie Poteau**: $\sigma_{moy} = \frac{\sigma_3 + \sigma_g}{2} = \frac{1.10 + 1.92}{2} = 1.51 MPa$

$$A_{v \; poteau} = \frac{f_{1 \; moy}}{\sigma_{st}} = \frac{\sigma_{moy}. \, a. \, b}{f_{e}/\gamma_{s}} = \frac{1.51 \times 20 \times 60}{400} = 4.53 \; cm^{2}$$

• Partie voile :
$$\sigma_{moy} = \frac{\sigma_3 + 0}{2} = \frac{1.10 + 0}{2} = 0.55 MPa$$

$$A_{v \ voile} = \frac{f_{2 \ moy}}{\sigma_{st}} = \frac{\sigma_{moy}. L_3. a}{f_e/\gamma_s} = \frac{0.55 \times 79 \times 20}{400} = 2.17 \ cm^2$$

Armature de Couture :

$$A_{vj} = 1.1 \times \frac{\overline{T}}{f_e} \times \frac{x}{2} = 1.1 \times \frac{1.4T}{f_e} \times \frac{x}{2}$$

$$A_{vj} = 1.1 \times \frac{1.4 \times 203.31 \times 10^{-3}}{400} \times \frac{139}{410} \times 10^{4} = 2.65 cm^{2}$$

Armature Totale Poteau

$$A_{v \ poteau} = 4.53 + \frac{2.65 \times 60}{139} = 5.67 \ cm^2$$

Armature Totale voile

$$A_{v \ voile} = 2.65 + \frac{2.65 \times 79}{139} = 4.15 \ cm^2$$

❖ Vérification RAP99/2003

$$A_{v\,min} = 0.2\%.\,B_t = 0.002[(60\times60) + (79\times20)] = 10.36\,cm^2$$

***** Choix des barres :

$$A_{v \; poteau} = 5.67 \; cm^2 < A_{v \; min} = 10.36 \; cm^2 \; On \; adapte \quad 2 \times 6HA16 = 2 \times 12.06 \; cm^2$$

$$\mathbf{A}_{v\;voile} = 4.15m^2 < \mathbf{A}_{v\;min} = 10.36\;cm^2 \quad \text{On adapte} \quad 2\times 6HA16 = 2\;\times 12.06\;cm^2$$

Second Second S

Dans la zone d'extrémité
$$(\frac{L}{10})$$
: $\frac{S_t}{2} \le \frac{1}{2} \min 1.5a$; 30 cm $\Rightarrow \frac{S_t}{2} = 10$ cm

Dans la zone courante : $S_t \le \min(1.5a; 30 \ cm) = 30 \ cm) \Rightarrow S_t = 20 \ cm$

Armatures horizontales:

$$A_H = \frac{2}{3}A_V = \frac{2}{3} \times 24.12 = 16.08 \ cm^2$$

On vérifie que :
$$\bar{\tau}_b = \frac{\bar{V}}{b.d} = \frac{1.4V}{b.d} = \frac{1.4 \times 203.31 \times 10}{20 \times 0.9 \times 410} = 0.38 MPa$$

$$\tau = 0.2 f_{c28} = 0.2 \times 25 = 5 MPa$$

$$\bar{\tau}_b = 0.38 \, MPa \le \tau = 5 MPa$$

Les armatures horizontales sont des armatures de dispositions

$$(A_l = 2T10 = 1.57cm^2)/S_t = 20cm$$

VI.5.4. Ferraillage du Voile 02

\triangleright Sens x-x:

Données : Résultats de l'Analyse :

$$ELU : N = 3653.27 \text{ KN}; M = -18.28 \text{KN.m}$$

$$G + Q + Ex : N = 2172.47 \text{ KN}; M = 3157.62 \text{ KN}. m$$

$$0.8G + Ex$$
; $N = 1368.76 \text{ KN}$; $M = 3151.60 \text{ KN}$. m

Caractéristiques Géométrique du Voile :

✓ La Section :S = a. L
$$\Rightarrow$$
 S = 0.20 \times 7.00 = 1.4 m²

✓ Moment d'inertie :
$$I = \frac{a \cdot l^3}{12} \Rightarrow I = \frac{0.20 \times 7.00^3}{12} = 5.71 \text{ m}^4$$

✓ Position de centre de gravité :
$$v = v' = \frac{L}{2} = \frac{7.00}{2} = 3.50m$$

✓ Extrémités du noyau central :
$$c = c' = \frac{L}{6} = \frac{7.00}{6} = 1.16m$$

VI.5.4.1. Vérification des résistances du voile (G + Q + Ex)

A Calcul des Contrainte

$$\sigma_g = \frac{N}{S} - \frac{MV'}{I} \Rightarrow \sigma_g = \frac{2172.47 \times 10^{-3}}{1.4} - \frac{3157.62 \times 10^{-3}}{5.71} \times 3.5 = -0.38MPa$$

$$N = MV' = 2172.47 \times 10^{-3} - 2157.62 \times 10^{-3}$$

$$\sigma_d = \frac{N}{S} + \frac{MV'}{I} \Rightarrow \sigma_g = \frac{2172.47 \times 10^{-3}}{1.4} + \frac{3157.62 \times 10^{-3}}{5.71} \times 3.5 = 3.81 \ MPa$$

Donc nous sommes dans le cas d'une section Partiellement Comprimée, on doit Déterminer les Longueurs des Zones Comprimée et Tendue

VI.5.4.2. Vérification de l'effort limite ultime $N_{u \; limite}$:

$$l_w = 3.06 m$$

$$b = 7 - 2 \times 0.60 = 5.8 m$$

Voile encastrée sur rive

$$\Rightarrow \beta = 0.85$$

$$l_f = \beta l_w = 0.85 \times 3.06 = 2.6$$

\$\times Elancement:
$$\lambda = \frac{l_f \sqrt{12}}{a} = 45.03$$

. Coefficient :
$$\lambda \le 50 \Rightarrow \alpha = \frac{0.85}{1 + 0.2(\frac{\lambda}{2E})^2} = 0.63$$

- **Acier Minimal :** $A_{min} = 0.2\%$. *a.* $l = 28 \text{ cm}^2$
- **Section réduite :** $B_r = l(a-2) = 12600cm^2$
- **SET SET SET :** Effort Limite Ultime (Cas de Béton Armé) :

$$N_{u \ lim} = \alpha \left[\frac{B_r \cdot f_{c28}}{0.9 \gamma_h} + A_s \frac{f_e}{\gamma_s} \right] = 0.63 \left[\frac{1.26 \times 25}{0.9 \times 1.15} + 0.0028 \cdot \frac{400}{1.5} \right] \times 10^3 = 19644.31 \ KN$$

SET SET SET : Effort Limite Ultime (Cas de Béton Non-Armé) :

$$N_{u \ lim} = \alpha \left[\frac{B_r \cdot f_{28}}{0.9 \gamma_h} \right] = 0.63 \left[\frac{1.26 \times 25}{0.9 \times 1.15} \right] \times 10^3 = 19173.91 \ KN$$

\stackrel{\bullet}{\bullet} Calcul de Contrainte limite ultime $\sigma_{u \ lim}$ correspondante :

$$\sigma_{u \; lim} = \begin{cases} \sigma_{BA} = \frac{N_{u \; lim}}{a. \, l_i} = \frac{19644.31 \times 10^{-3}}{0.2 \times 5.8} = 16.93 \; MPa \\ \sigma_{BnA} = \frac{N_{u \; lim}}{a. \; l_i} = \frac{19173.91 \times 10^{-3}}{0.2 \times 5.8} = 16.52 \; MPa \end{cases}$$

$$\begin{cases} \sigma_{BA} = 16.93 \ MPa \ge \sigma_d = 3.81 \ MPa \\ \sigma_{BnA} = 16.52 \ MPa \ge \sigma_d = 3.81 MPa \end{cases}$$

On doit mettre un ferraillage minimal dans la partie comprimée $A_{sc}=28\ cm^2$

VI.5.4.3. Ferraillage sous $(0.8G + E_X)$

$$N = 1368.76KN$$
; $M = 3151.60 KN.m$

Calcul des Contrainte

$$\sigma_g = \frac{N}{S} - \frac{MV'}{I} \Rightarrow \sigma_g = \frac{1368.76 \times 10^{-3}}{1.4} - \frac{3151.60 \times 10^{-3}}{5.71} \times 3.5 = -0.95 \ MPa$$

$$\sigma_d = \frac{N}{S} + \frac{MV'}{I} \Rightarrow \sigma_g = \frac{1368.76 \times 10^{-3}}{1.4} + \frac{3151.60 \times 10^{-3}}{5.71} \times 3.5 = 2.9 \text{ MPa}$$

- **L**ongueurs des Zones comprimée et Tendue :
 - Longueur de la Zone Tendue $: \frac{L_T}{L} = \frac{\sigma_g}{\sigma_o + \sigma_d} \Rightarrow L_T = \frac{\sigma_g}{\sigma_o + \sigma_d}$. L

$$\Rightarrow L_T = \frac{0.95}{2.9 + 0.95}.7 = 173 \ cm$$

- Longueur de la Zone Comprimée : $L_c = L L_T = 700 127 = 573 \ cm$
- \diamond Calcul des Contraintes σ_i
 - Contrainte σ_3

$$\frac{\sigma_3}{\sigma_g} = \frac{L_3}{L_T} \Rightarrow \sigma_3 = \frac{L_3}{L_T} \cdot \sigma_g = 0.95 \times \frac{173 - 60}{173} = 0.62 MPa$$

Avec:
$$L_3 = L_T - 60 = 173 - 60 = 113 \ cm < \begin{cases} \frac{h_e}{2} = 153 \ cm \\ \frac{2}{3} L_c = 351.3 \ cm \end{cases}$$

Détermination des Armatures verticale

• Partie Poteau :
$$\sigma_{moy} = \frac{\sigma_3 + \sigma_g}{2} = \frac{0.62 + 0.95}{2} = 0.76 MPa$$

$$f_{1 moy} \quad \sigma_{moy}. \ a. \ b \quad 0.76 \times 20 \times 60$$

• Partie Poteau :
$$\sigma_{moy} = \frac{\sigma_3 + \sigma_g}{2} = \frac{0.62 + 0.95}{2} = 0.76 MPa$$

$$A_{v \ poteau} = \frac{f_{1 \ moy}}{\sigma_{st}} = \frac{\sigma_{moy}. \ a. \ b}{f_e/\gamma_s} = \frac{0.76 \times 20 \times 60}{400} = 2.28 \ cm^2$$

• Partie voile :
$$\sigma_{moy} = \frac{\sigma_3 + 0}{2} = \frac{0.62 + 0}{2} = 0.31 MPa$$

• Partie voile :
$$\sigma_{moy} = \frac{\sigma_{3}+0}{2} = \frac{0.62+0}{2} = 0.31 MPa$$

$$A_{v \ voile} = \frac{f_{2 \ moy}}{\sigma_{st}} = \frac{\sigma_{moy}. L_{3}. a}{f_{e}/\gamma_{s}} = \frac{0.31 \times 113 \times 20}{400} = 1.75 cm^{2}$$

Armature de Couture :

$$A_{v j} = 1.1 \times \frac{\overline{T}}{f_e} \times \frac{x}{2} = 1.1 \times \frac{1.4T}{f_e} \times \frac{x}{2}$$

$$1.4 \times 463.07 \times 10^{-3} \quad 173$$

$$A_{vj} = 1.1 \times \frac{1.4 \times 463.07 \times 10^{-3}}{400} \times \frac{173}{700} \times 10^4 = 4.40 \text{ cm}^2$$

Armature Totale Poteau

$$A_{v \ poteau} = 2.28 + \frac{4.40 \times 60}{173} = 3.80 \ cm^2$$

Armature Totale voile

$$A_{v \ voile} = 30 + \frac{4.40 \times 113}{173} = 4.62 \ cm^2$$

❖ Vérification RAP99/2003

$$A_{v min} = 0.2\%$$
. $B_t = 0.002[(60 \times 60) + (113 \times 20)] = 11.72 cm^2$

Choix des barres :

$$A_{v \; poteau} = 3.80 \; cm^2 \le A_{v \; min} = 11.72 \; cm^2 \; On \; adapte \quad 2 \times 11 HA12 = 2 \times 12.44 cm^2$$

$$A_{v \ voile} = 4.62 cm^2 \le A_{v \ min} = 11.72 \ cm^2$$
 On adapte $2 \times 11 HA12 = 2 \times 12.44 cm^2$

Service Espacement des Armatures

Dans la zone d'extrémité $(\frac{L}{10})$: $\frac{S_t}{2} \le \frac{1}{2} \min 1.5a$; $30 \ cm$) $\Rightarrow S_t/2 = 10 \ cm$ Dans la zone courante : $S_t \le \min(1.5a; 30 \ cm) = 30 \ cm) \Rightarrow S_t = 10 \ cm$

Armatures horizontales:

$$A_H = \frac{2}{3}A_V = \frac{2}{3} \times 24.88 = 16.58 \, cm^2$$

On vérifie que :
$$\bar{\tau_b} = \frac{\bar{V}}{b.d} = \frac{1.4V}{b.d} = \frac{1.4 \times 436.07 \times 10}{20 \times 0.9 \times 250} = 0.48 MPa$$

$$\tau = 0.2 f_{c28} = 0.2 \times 25 = 5MPa$$

$$\bar{\tau}_b = 0.48 MPa \le \tau = 5 MPa$$

Les armatures horizontales sont des armatures de dispositions

$$(A_l = 2T10 = 1.57cm^2)/S_t = 20cm$$

Armatures transversales:

Les armatures transversales perpendiculaires aux faces du voile sont à prévoir d'une densité de 4 par m2 au moins dans le cas où les armatures verticales ont un diamètre inférieure ou égal à 12 mm, Les armatures transversales doivent tenir toutes les barres avec un espacement chapitre VI étude des portiques 168 au plus égal à 15 fois le diamètre des aciers verticaux. Les armatures transversales peuvent être des épingles de diamètre 6 mm lorsque les barres longitudinales ont un diamètre inférieure ou égal à 20 mm, et de 8 mm dans le cas contraire

VI.5.5. Schéma de ferraillage des voiles :

Sans y-y: V1

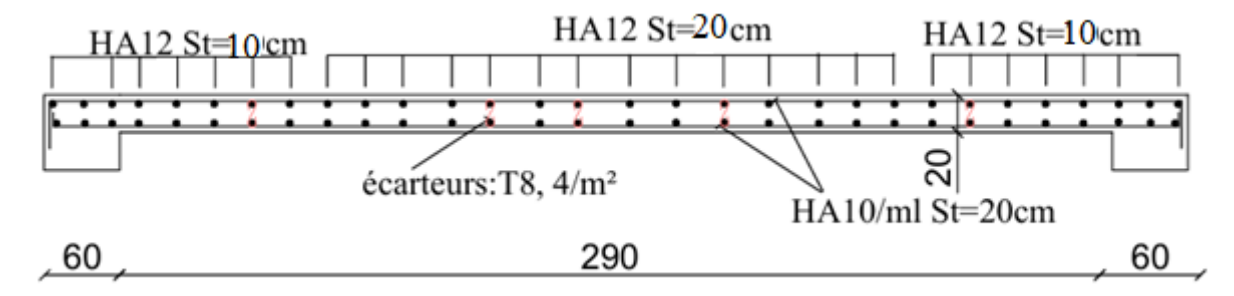


Figure VI-3: Schéma de ferraillage des voiles (Sens y-y)

Sans x-x : V2

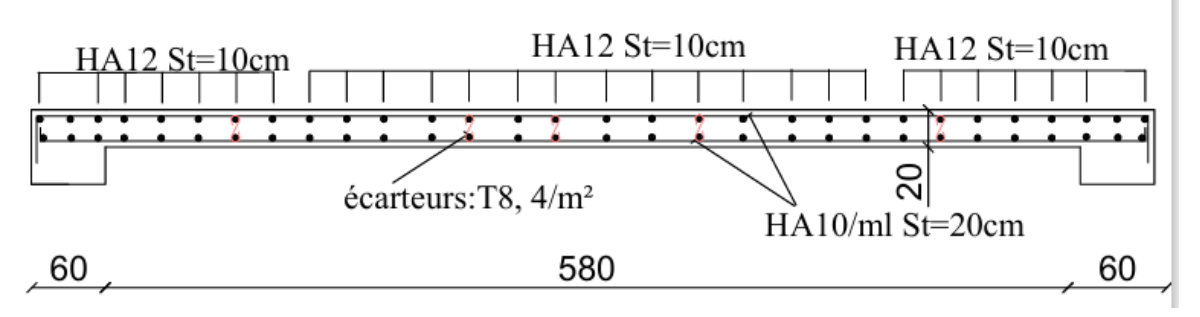


Figure VI-4: Schéma de ferraillage des voiles (Sens X-X)

VI.6. Conclusion:

Les éléments principaux jouent un rôle prépondérant dans la résistance et la transmission des sollicitations. Ils doivent donc être correctement dimensionnés et bien armés. Les poteaux ont été calculés et ferraillés avec le logiciel ROBOT et le minimum du RPA.

Les poutres sont ferraillées avec les sollicitations obtenues par le ROBOT.

Les voiles de contreventement ont été calculées à la flexion composée avec les sollicitations données par le ROBOT.

Les ferraillages adoptés respectent les recommandations du RPA99/V2003 et du BAEL91.

Chapitres VII Etude de l'infrastructure

VII.1. Introduction:

Les fondations sont des ouvrages qui servent à transmettre au sol les charges provenant de la superstructure à savoir : Le poids propre ou charges permanentes, les surcharges d'exploitations, les surcharges climatiques et sismiques.

Le choix du type de fondation dépend de :

- ✓ Type d'ouvrage à construire.
- ✓ La nature et l'homogénéité du bon sol.
- ✓ La capacité portante du terrain de fondation.
- ✓ La raison économique.
- ✓ La facilité de réalisation.

VII.2. Eudes des fondations

VII.2. 1. Choix de fondation

Le choix du type des fondations dépend essentiellement, des facteurs suivants :

- ✓ La capacité portante du sol.
- ✓ Les Charges transmises au sol.
- ✓ La distance entre axes des poteaux.
- ✓ La profondeur du bon sol.

Pour le choix de type des fondations, on vérifie dans l'ordre suivant :

Les semelles isolées, les semelles filante et le radier générale et enfin on opte pour le choix qui convient. D'après le rapport de sol établi par le laboratoire, la contrainte du sol est de **2 bars**.

D'après le RPA99 version 2003 (Article10.1.4.1) les fondations sont dimensionnées selon les combinaisons d'action suivantes :

$$G + Q \pm E$$
; $0.8G \pm E$

VII.2. 2. Vérification de la semelle isolée

Les poteaux étant de section rectangulaire, donc on choisit des semelles rectangulaires la vérification à faire est : $\frac{N}{s} \leq \bar{\sigma}_{sol}$

Pour cette vérification on prend la semelle la plus sollicitée

Avec : N : L'effort normal agissant calculé selon les combinaisons obtenu par **le Robot S :** Surface d'appui de la semelle.

 $\bar{\sigma}_{sol} = 2 \ bars$: Contrainte admissible du sol.

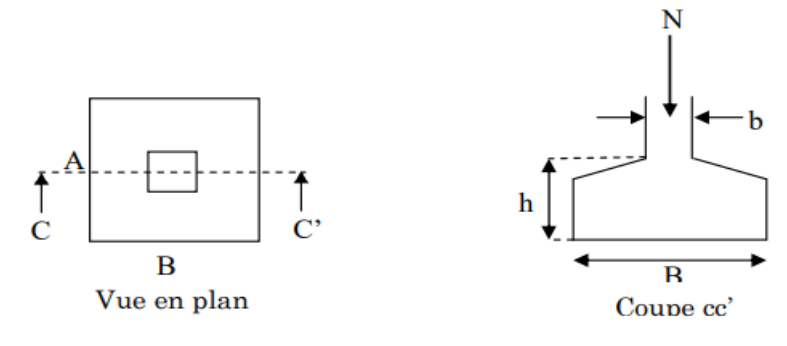


Figure VII-1: Schéma de la Semelle isolé.

Le poteau le plus sollicité a une section carrée $(a \times b) = (60 \times 60) cm^2$,

$$\begin{aligned} &donc \ S = 3600 \ cm^2 \\ &N = 1788.59 \ KN \ ; \overline{\sigma}_{sol} = 0.2 MPa \\ &\frac{N}{S} \leq \overline{\sigma}_{sol} \Rightarrow S \geq \frac{N}{\overline{\sigma}_{sol}} \Rightarrow A \times B \geq \frac{N}{\overline{\sigma}_{sol}} \dots \dots \dots (1) \end{aligned}$$

On a une semelle et un poteau homothétique : $\frac{A}{a} = \frac{B}{b} \Rightarrow A = \frac{B}{b} \times a$ on remplace la valeur de A dans (1) et on trouve la valeur de B

$$B \ge \sqrt{\frac{N}{\bar{\sigma}_{sol}} \times \frac{b}{a}} = \sqrt{\frac{1.78859}{0.2} \times \frac{0.60}{0.60}} = 3.00 \ m$$

 $\Rightarrow A = 3.00 m$

D'après le résultat, On remarque qu'il y a chevauchement entre les semelles, en tenant compte des entres axes des poteaux dans les deux sens, donc le choix des semelles isolées dans ce cas ne convient pas.

VII.2..3. Vérification des semelles filantes

Choisissons une semelle filante, de largeur B et de longueur L situé sous un portique formé de cinquoteaux

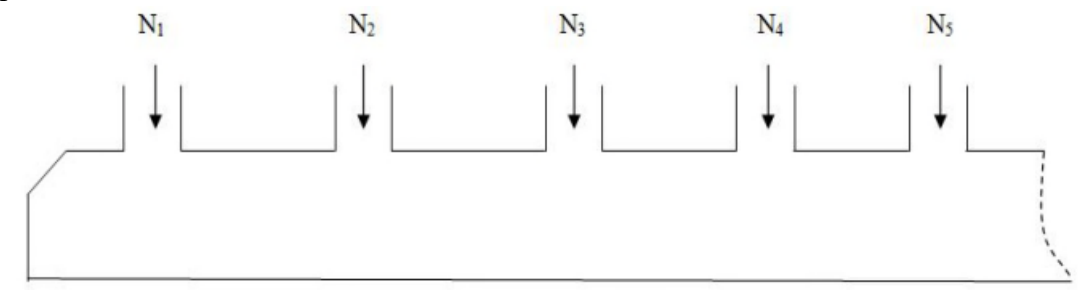


Figure VII-2: Schéma de la Semelle filante.

$$\begin{split} N_1 &= 910.58 \, KN \\ N_2 &= 1317.15 \, KN \\ N_3 &= 858.16 \, KN \\ N_4 &= 855.43 \, KN \\ N_5 &= 1321.25 \, KN \\ \sum N_i &= 5262.57 \, kN \\ \text{Donc} : \frac{N}{s} \leq \bar{\sigma}_{sol} \Rightarrow S \geq \frac{N}{\bar{\sigma}_{sol}} \Rightarrow L \times B \geq \frac{N}{\bar{\sigma}_{sol}} \\ \Rightarrow B \geq \frac{N}{L \times \bar{\sigma}_{sol}} \\ \Rightarrow B \geq \frac{5.26257}{19.60 \times 0.2} = 1.34 \, m \end{split}$$

On à la largeur de la semelle égale à 1.34m, on remarque qu'il y aura un chevauchement entre les deux semelles, donc le choix des semelles filantes ne convient pas pour ce cas, alors on passe au radier général.

VII.2. 4. Etude du radier :

Ce radier est défini comme étant une fondation travaillant comme un plancher renversé, dont les appuis sont constitués par les poteaux de l'ossature et qui est soumis à la réaction du sol diminué de son poids propre.

- Rigide dans son plan horizontal,
- Permet une meilleure répartition de la charge sur le sol,
- Facilité de coffrage et de ferraillage ;
- Rapidité d'exécution.

VII.2. 4.1. Pré dimensionnement du radier :

• La condition de coffrage

La plus grande portée entre deux éléments de contreventement est $L_{max} = 4.20m$

Nervure:
$$h_n \ge \frac{L_{max}}{10} = \frac{420}{10} = 42 \ cm \implies soit : h_n = 45 cm$$

Epaisseur de la dalle :
$$h \ge \frac{L_{max}}{20} = \frac{420}{20} = 21 \ cm \implies soit : h = 35 cm$$

• Vérification de condition de rigidité

La condition forfaitaire:

$$\frac{L_{max}}{8} \le h \le \frac{L_{max}}{5}$$

$$L_{max} = 4.20m \Rightarrow \frac{420}{8} = 52.5cm \le h \le \frac{420}{5} = 84cm$$

$$h_t = 80cm$$

Pour un radier rigide, il faut que :

$$L_{max} \le \frac{\pi}{2} l_e$$

$$L_e = \sqrt[4]{\frac{4 E I}{K b}}$$

 l_e : Longueur élastique.

E: Module de Young.

I: Moment d'inertie de l'élément considéré sur 1ml.

K : coefficient de raideur du sol.

$$k=22.642MN\,/\,m^3$$

$$E = 32164.20MPa$$

b : Largeur de l'élément considéré par 1ml

$$I = \frac{b \times h_t^3}{12} \Longrightarrow h_t = \sqrt[3]{\frac{48 \times L_{max}^4 \times K}{\pi^4 \times E}}$$

Donc: $h_t \ge 0.47m$

A partir des deux conditions précédentes on prend :

 $h_n = 0.45m$ Pour les nervures du radier.

 $h_r = 0.35 m$ Pour le radier

VII.2. 4.2. Vérification de La surface du radier :

Détermination des efforts:

ELS:

$$P_{\text{radier}} = 25 \times 0.35 \times 353.36 = 2829.40 \text{ KN}$$
 $N_{\text{tot}} = N_{\text{ser}} + P_{\text{radier}} = 58517,67 + 2829.4 = 61347.07 \text{ KN}$
 N_t
 N_t

$$\frac{N_t}{S_{rad}} \le \sigma_{sol} \Longrightarrow S_{rad} \ge \frac{N_t}{\sigma_{sol}} = \frac{61.347}{0.2} = 306.73m^2$$

ELU:

$$N_{\rm tot} = N_{\rm u} + P_{\rm radier} = 80128,76 + 2829.4 = 82958.16$$
KN
$$\frac{N_t}{S_{rad}} \le \sigma_{sol} \Longrightarrow S_{rad} \ge \frac{N_t}{\sigma_{sol}} = \frac{82.9}{0.2} = 414.5 \ m^2$$

$$S_{Bat} = 480.47 \text{ m}^2 \ge S_{rad} = 414.5 \text{ m}^2$$

Donc est un radier général sans débord.

VII.3.4.3. Vérification au poinçonnement

Le calcul se fait pour le poteau le plus sollicité, on doit vérifier la condition suivante

$$Q_u \le 0.045 \times U_c \times h \times \frac{f_{c28}}{\gamma_h} \Longrightarrow \cdots \dots \dots \dots \dots CBA93 (article A. 5.2.4.2)$$

Avec:

h: Hauteur total de radier.

 U_c : Périmètre du contour cisaillé projeté sur le plan moyen du radier.

$$U_c = (a + b + 2h) \times 2 \Rightarrow U_c = (0.6 + 0.6 + 2 \times 0.8) \times 2 \Rightarrow U_c = 5.6 \text{ m}$$

 Q_u : Charge de calcul à l'ELU pour le poteau le plus sollicité ($Q_u = 1788.59 \, KN$)

Donc :
$$Q_u = 1788.59 \text{ KN} < 0.045 \times 5.6 \times 1.1 \times \frac{25000}{1.5} = 4620 \text{ KN} \implies$$
condition vérifiée.

VII.2. 4.4. Vérification de la contrainte du sol

• Distribution des contraintes à l'ELS :

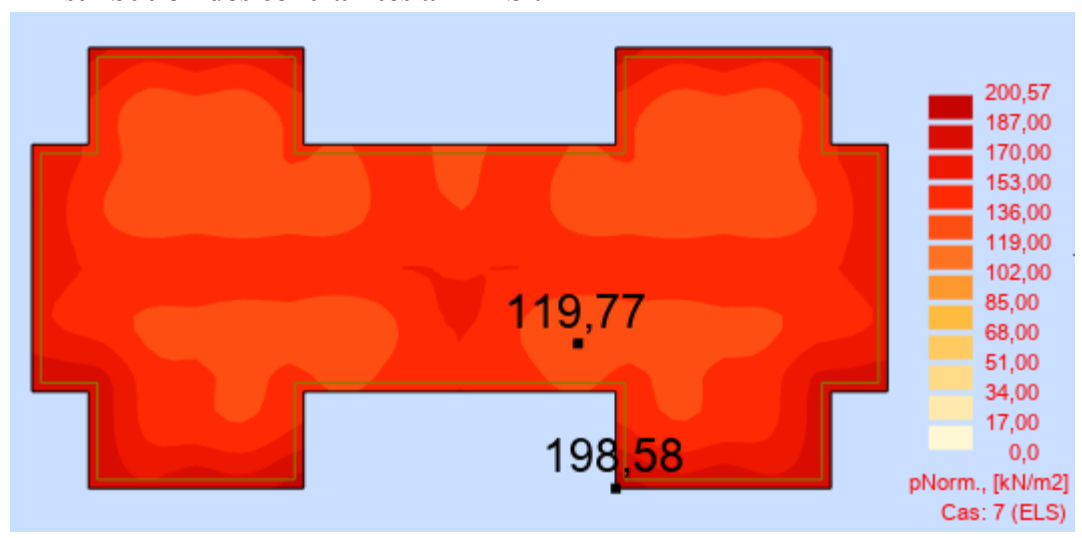


Figure VII-3: Distribution des contraintes à l'ELS

$$\sigma_{max}=198.58\,KN/m^2>0$$

$$\sigma_{min} = 119.77 \ KN/m^2 > 0$$

La répartition des contraintes sous le radier, sous l'effet du moment renversant, se présente sous la forme d'un diagramme trapézoïdal.

$$\begin{split} \sigma_{moy} &= \frac{3\sigma_{max} + \sigma_{min}}{4} \Rightarrow \sigma_{moy} = \frac{3\times198.58 + 119.77}{4} = 178.87 \; KN/m^2 \\ \sigma_{moy} &= 178.87 \; \frac{KN}{m^2} < \bar{\sigma}_{sol} = 200 \; \frac{KN}{m^2} \dots \dots CV \end{split}$$

• Distribution des contraintes à l'ELU :

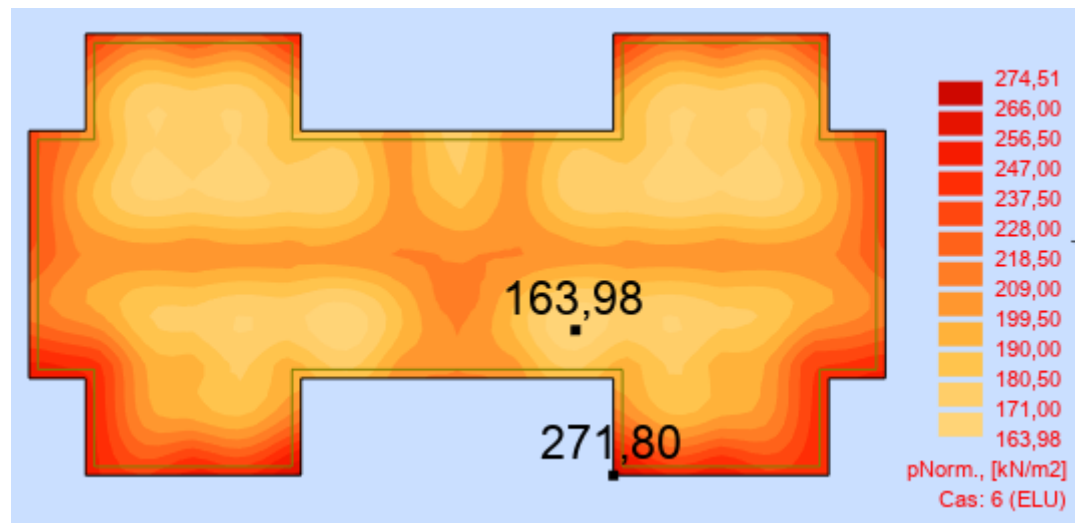


Figure VII-4: Distribution des contraintes à L'ELU

> Interprétation des résultats :

$$\sigma_{max} = 271.80 \ KN/m^2 > 0$$

 $\sigma_{min} = 163.98 \ KN/m^2 > 0$

La répartition des contraintes sous le radier, sous l'effet du moment renversant, se présente sous la forme d'un diagramme trapézoïdal.

Ta forme d un diagramme trapezoidal.
$$\sigma_{moy} = \frac{3\sigma_{max} + \sigma_{min}}{4} \Rightarrow \sigma_{moy} = \frac{3 \times 271.8 + 163.98}{4} = 244.84 \ KN/m^2$$

$$\sigma_{moy} = 244.84 \ \frac{KN}{m^2} < 1.5 \overline{\sigma}_{sol} = 300 \ \frac{KN}{m^2} \dots \dots CV$$

• Distribution des contraintes à l'ACC :

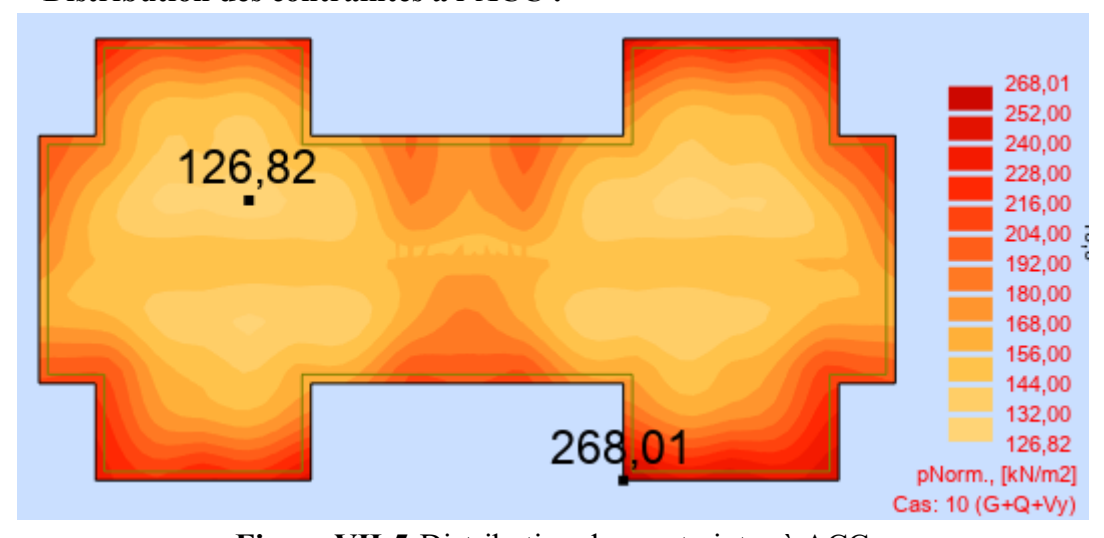


Figure VII-5: Distribution des contraintes à ACC

> Interprétation des résultats :

$$\sigma_{max} = 268.01 \, KN/m^2 > 0$$

$$\sigma_{min} = 126.82 \, KN/m^2 > 0$$

La répartition des contraintes sous le radier, sous l'effet du moment renversant, se présente sous la forme d'un diagramme trapézoïdal.

$$\sigma_{moy} = \frac{3\sigma_{max} + \sigma_{min}}{4} \Rightarrow \sigma_{moy} = \frac{3 \times 268.01 + 126.82}{4} = 232.71 \frac{KN}{m^2}$$

$$\sigma_{moy} = 232.71 \frac{KN}{m^2} < 1.5 \overline{\sigma}_{sol} = 300 \frac{KN}{m^2} \dots \dots CV$$

VII.2. 4.5. Vérification au cisaillement

$$\tau_u \leq \bar{\tau} = 0.05 \, f_{c28} = 1.25 \, MPa$$

Sans X-X:

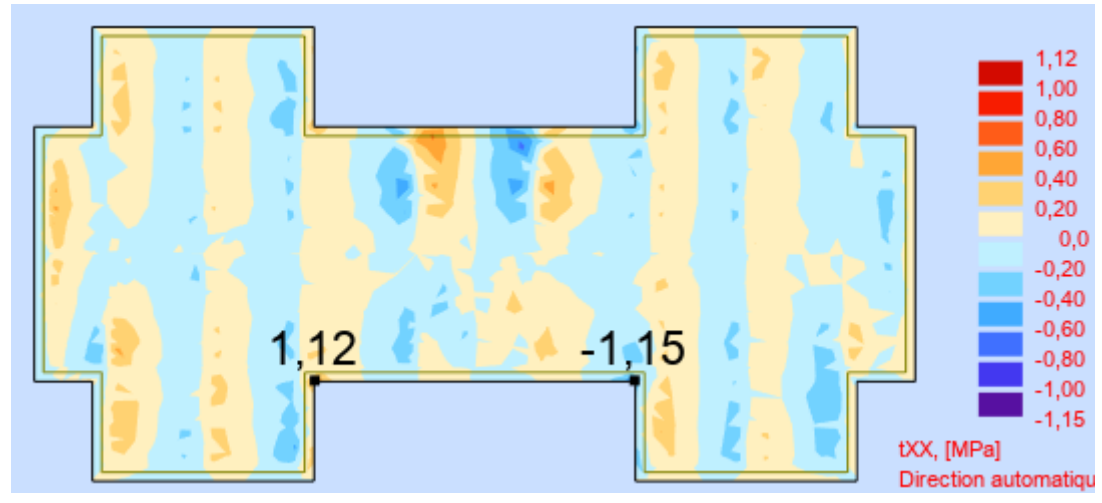


Figure VII-6:Distribution des contraintes de cisaillement suivant x-x

> Interprétation des résultats :

$$\tau_u = 1.12~MPa \leq \bar{\tau} = 1.25MPa \dots \dots CV$$

Sans Y-Y:

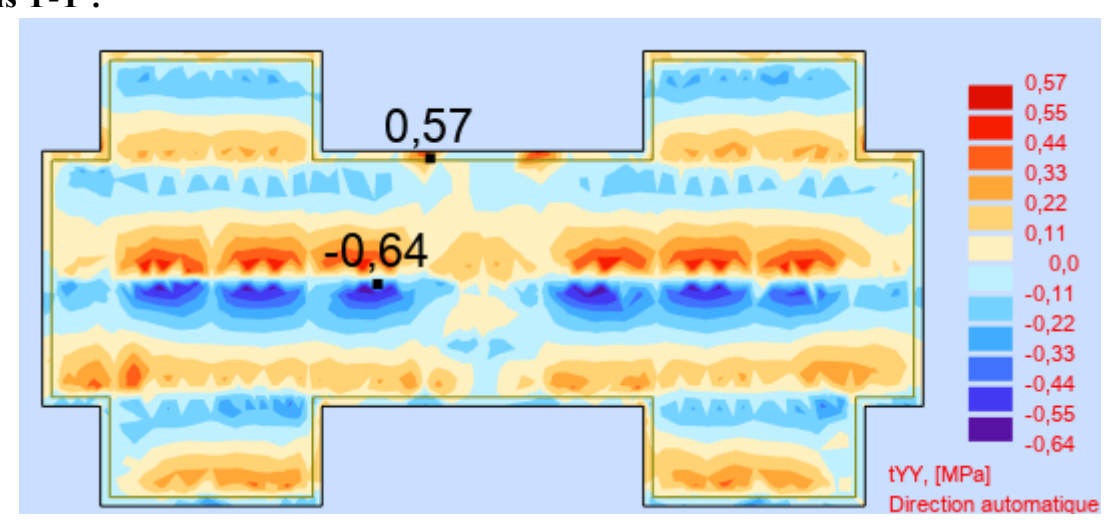


Figure VII-7: Distribution des contraintes de cisaillement suivant Y-Y

> Interprétation des résultats :

$$\tau_u = 0.57 \le \bar{\tau} = 1.25 MPa \dots CV$$

VII.2. 4.6. Ferraillage de La dalle du radier

Le radier sera calculé comme un plancher renversé, appuyé sur les nervures en flexion simple, sachant que la fissuration est préjudiciable. Le calcul se fera pour le panneau le plus défavorable et on adoptera le même ferraillage pour tout le radier de dimension : Lx = 4 m; Ly = 5.60 m, On fait le calcul pour une bande de 1 m

$$\alpha = \frac{L_x}{L_y} \Rightarrow \alpha = \frac{4.20}{4.10} \Rightarrow \alpha = 0.97$$

$$0.4 \le \alpha = 0.97 \le 1$$

La dalle de notre structure portent selon deux directions \Rightarrow le calcul se fait en flexion Simple.

Les Tableaux des moments :

Tableau VII.1: Tableau des moments fléchissant en travées et en appuis le sens X-X

EI	LU	El	LS	ACC			
M_{ax}	M_{tx}	M_{ax}	M_{tx}	M_{ax} M_{tx}			
-234.43	146.84	-171.17	107.12	-103.91	112.41		

Tableau VII.2: Tableau des moments fléchissant en travées et en appuis le sens Y-Y

	EI	LU	El	LS	ACC			
	M_{ay}	M_{ty}	M_{ay}	M_{ty}	M_{ay} M_{ty}			
-2	255.08	111.69	-186.31	81.48	-113.71	84.86		

Calcul du ferraillage de la dalle pleine :

Exemple de calcul:

Sens X-X

a) En appui :
$$M_{ax} = 234.43$$
KN. m

a) En appui :
$$M_{ax} = 234.43$$
KN. m

$$\mu_{bu} = \frac{M_{ax}}{f_{bu} \cdot b \cdot d^2} = \frac{234.43 \times 10^{-3}}{14.17 \times 1 \times 0.315^2} = 0.166$$

$$\mu_{bu} = 0.166 \le \mu_l = 0.392 \rightarrow pas~d'armaturs~comprimées$$

$$\alpha = 1.25 \left(1 - \sqrt{1 - 2\mu_{bu}} \right) = 0.228$$

$$z = d(1 - 0.4\alpha) = 0.286 m$$

$$\mu_{bu} = 0.166 < \mu_{AB} = 0.186$$

Pivot A

$$\varepsilon_{st} = 10 \times 10^{-3}$$

$$A_{ax} = \frac{M_{ax}}{z \cdot \bar{\sigma}_s} = \frac{234.43 \times 10^{-3}}{0.286 \times 347.826} \times 10^4 = 23.56 \text{cm}^2$$

Vérification de la condition de non fragilité :

$$A_{x min} = \frac{3 - \alpha}{2} A_{y min}$$

$$A_{y min} = 8h = 8 \times 0.35 = 2.8 cm^{2}$$

$$A_{x min} = \frac{3 - 0.97}{2} \times 2.8 = 2.84 cm^{2}$$

$$A_{ax} = 23.56 \text{ cm}^2 \ge A_{x \text{ min}} = 5.04 \text{ cm}^2 \dots \dots \dots C.V$$

• Choix des barres: $08HA20 = 25.13 cm^2$

b) En Travée: $M_{tx} = 146.84 KN. m$

$$\mu_{bu} = \frac{M_{tx}}{f_{bu} \cdot b \cdot d^2} = \frac{146.84 \times 10^{-3}}{14.17 \times 1 \times 0.315^2} = 0.104$$

 $\mu_{bu} = 0.104 \le \mu_l = 0.392 \ o pas \ d'armaturs \ comprimées$

$$\alpha = 1.25 \left(1 - \sqrt{1 - 2\mu_{bu}} \right) = 0.137$$

$$z = d(1 - 0.4\alpha) = 0.297 m$$

$$A_{tx} = \frac{M_{tx}}{z \cdot \bar{\sigma}_s} = \frac{146.84 \times 10^{-3}}{0.297 \times 347.826} \times 10^4 = 14.81 \text{ cm}^2$$

Vérification de la condition de non fragilité :

$$A_{tx} = 14.81 \ cm^2 \ge A_{x \ min} = 2.84 \ cm^2 \dots \dots \dots C.V$$

\(\text{Choix des barres} : 05HA20 = 15.71cm \)

Tableau VII.3: Calcul du ferraillage de la dalle pleine sur le sens X-X

			M(KN.m)	μ	α	Z(m)	$A_{st}(cm^2)$	$A_{\min}(cm^2)$
	ELU	Appui	-234.43	0.166	0.228	0.286	23.56	2.84
Sens	ELU	Travée	146.84	0.104	0.137	0.297	14.81	2.84
X-X	ACC	Appui	-103.91	0.073	0.094	0.303	9.85	2.84
	ACC	Travée	112.41	0.079	0.102	0.302	10.70	2.84

Tableau VII.4: Calcul du ferraillage de la dalle pleine sur le sens Y-Y

				M(KN.m)	μ	α	Z(m)	$A_{st}(cm^2)$	$A_{\min}(cm^2)$
	ELU Sens	FIII	Appui	-255.08	0,181	0,251	0,283	25.90	2.80
		LLU	Travée	111.69	0.079	0,102	0,302	10.63	2.80
	Y-Y	ACC	Appui	-113.71	0,08	0,104	0,301	10.86	2.80
			Travée	84.86	0,06	0,077	0,305	7,99	2.80

Tableau VII.5: Ferraillages du radie

		$A_{choix}(cm^2)$	Choix des barres	$A_{adopte}(cm^2)$
Sens	Appui	23.56	7HA16filent+7HA14 chapeaux	25.13
X-X	Travée	14.81	8HA16 filent	16.08
Sens	Appui	25.90	7HA16filent	14.07
Y-Y	Travée	10.63	7HA16filent	14.07

VII.4.3. Schéma de ferraillage du radier

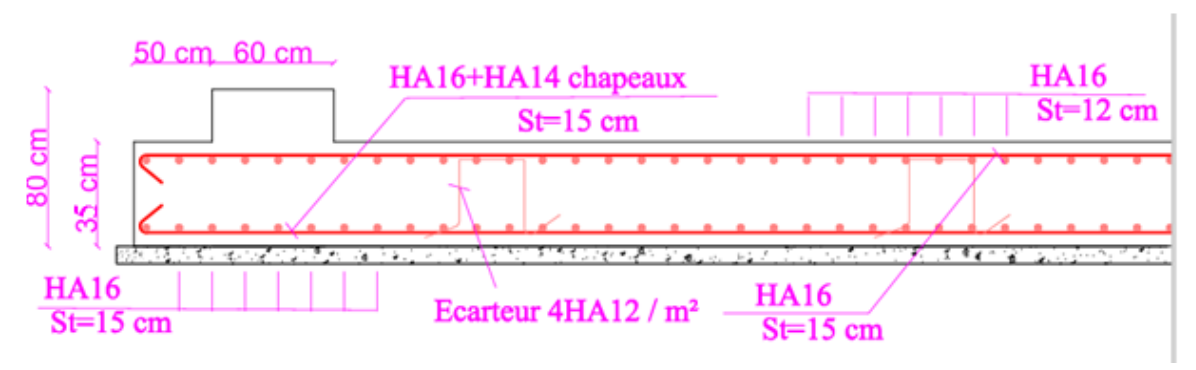


Figure VII-8: ferraillage du radier

VII.3. Etude des nervures :

Les nervures sont considérées comme des poutres doublement encastrées.

Tableau VII.6: Les sollicitations de la nervure du radier

		ELU	ELS	ACC
	$M_a(KN.m)$	377.18	275.85	299.21
Sens X-X	$M_{t}(KN.m)$	-132.46	-96.69	-101.27
	T(KN)		467.76	
	$M_a(KN.m)$	375.14	274.00	306.
Sens Y-Y	$M_{t}(KN.m)$	-142.91	-104.23	-111.39
	T(KN)		489.72	

VII.3.1. Calcul du ferraillage des nervures:

Exemple de calcul:

> Sens X-X

a) En appui :
$$M_{ax} = 377.18 \text{ KN. m}$$

$$\mu_{bu} = \frac{M_{ax}}{f_{bu} \cdot b \cdot d^2} = \frac{377.18 \times 10^{-3}}{14.17 \times 0.6 \times 0.77^2} = 0.074$$

$$\mu_{bu} = 0.074 \le \mu_l = 0.392 \
ightarrow pas \ d'armaturs \ comprimées$$

$$\alpha = 1.25 \left(1 - \sqrt{1 - 2\mu_{bu}} \right) = 0.09$$

$$z = d(1 - 0.4\alpha) = 0.74 m$$

$$\mu_{bu} = 0.074 < \mu_{AB} = 0.186$$

Pivot A

$$\varepsilon_{st} = 10\%_0$$

$$A_{ax} = \frac{M_{ax}}{z \cdot \bar{\sigma}_s} = \frac{377.18 \times 10^{-3}}{1.027 \times 347.826} \times 10^4 = 14.65 \text{ cm}^2$$

b) En Travée:
$$M_{tx} = 132.46KN.m$$

$$\mu_{bu} = \frac{M_{tx}}{f_{bu} \cdot b \cdot d^2} = \frac{132.46 \times 10^{-3}}{14.17 \times 0.6 \times 0.77^2} = 0.026$$

$$\begin{split} \mu_{bu} &= 0.026 \leq \mu_l = 0.392 \, \rightarrow pas \, d'armaturs \, comprimées \\ \alpha &= 1.25 \Big(1 - \sqrt{1 - 2\mu_{bu}} \Big) = 0.032 \\ z &= d \big(1 - 0.4\alpha \big) = 0.76m \\ A_{tx} &= \frac{M_{tx}}{z \cdot \bar{\sigma}_s} = \frac{132.46 \times 10^{-3}}{0.76 \times 347.826} \times 10^4 = 5.10 \, \text{cm}^2 \end{split}$$

❖ Vérification de la condition de non fragilité (BAEL (Art A.4.2.1))

$$A_{min}^{RPA} = 0.5\% b.\, h \Rightarrow A_{min}^{RPA} = 0.5\% \times 60 \times 80 = 24.0 \; cm^2$$

$$A_{min}^{BAEL} = 0.23b.\,d. \\ \frac{f_{t28}}{f_e} \Rightarrow A_{min}^{BAEL} = 0.23 \times 0.6 \times 0.9 \times 0.8 \times \frac{2.1}{400} \times 10^4 = 5.21\,cm^2$$

Tableau VII.7: Calcul du ferraillage des nervures sur le sens X-X

			M(KN.m)	μ	α	Z(m)	$A_{st}(cm^2)$	$A_{min}(cm^2)$
	ELU	Travée	-132.46	0.026	0.032	0.76	5.10	24.0
Sens	LLU	Appui	377.18	0.074	0.074	0.186	14.25	24.0
X-X	ACC	Travée	-101.27	0.02	0.025	0.762	3.82	24.0
	ACC	Appui	299.21	0.059	0.076	0.751	11.28	24.0

Tableau VII.8:Calcul du ferraillage des nervures le sens Y-Y

			M(KN.m)	μ	α	Z(m)	$A_{st}(cm^2)$	$A_{min}(cm^2)$
Sens	ELU	Travée	112.34	0.022	0.027	0.761	4.23	24.0
	LLC	Appui	354.1	0.070	0.09	0.742	13.36	24.0
Y-Y	ACC	Travée	105.62	0.02	0.025	0.762	3.98	24.0
		Appui	301.99	0.059	0.076	0.751	11.39	24.0

Tableau VII.9: Choix des barres des nervures

		$A_{choix}(cm^2)$	Choix des barres	$A_{adopte}(cm^2)$
Sens	Travée	24	5HA25 filent + 2HA20 chapeaux	30.82
X-X	Appui	24	5HA25 filent + 4HA20 chapeaux	30.82
Sens	Travée	24	5HA25 filent + 2HA20 chapeaux	30.82
Y-Y	Appui	24	5HA25 filent + 2HA20 chapeaux	30.82

❖ Pourcentage maximum des armatures longitudinales :

En zone courante : $A_{max} = 4\%b$. $h = 4\% \times 60 \times 80 = 19.2 \text{ cm}^2$

En zone de recouvrement : $A_{max} = 6\%b$. $h = 6\% \times 60 \times 80 = 28.8cm^2$

Calcul des armatures transversales :

Diamètre des armatures transversales :

Le diamètre des armatures transversales pour les nervures est donnée par :

$$\emptyset_{t} \leq \min\left\{\frac{h}{35}; \frac{b}{10}; \emptyset_{l min}\right\}$$
 $\emptyset_{t} \leq \min\left\{\frac{800}{35}; \frac{600}{10}; 16\right\} = 16 mm$

Alors on adopte un choix de Ø8

VII.3.2. Vérifications à ELU

> Vérification au cisaillement

$$\tau_u \leq \bar{\tau}_u$$

Pour des fissurations préjudiciables

$$\bar{\tau}_u = min\left\{\frac{0.15f_{c28}}{\gamma_b}; 4MPa\right\} = min\{2.5MPa; 5MPa\} = 2.5 MPa$$

> Sens X-X

$$\tau_u = \frac{T_u}{b.d} = \frac{467.76 \times 10^{-3}}{0.6 \times 0.405} = 1.92 \text{ MPa}$$

Il n'y'a pas de risque de rupture par cisaillement.

> Sens Y-Y:

$$\tau_u = \frac{T_u}{b.d} = \frac{489.72 \times 10^{-3}}{0.5 \times 0.405} = 2.41 \, MPa$$

Il n'y'a pas de risque de rupture par cisaillement.

VII.3.3. Schéma de ferraillage de la nervure :

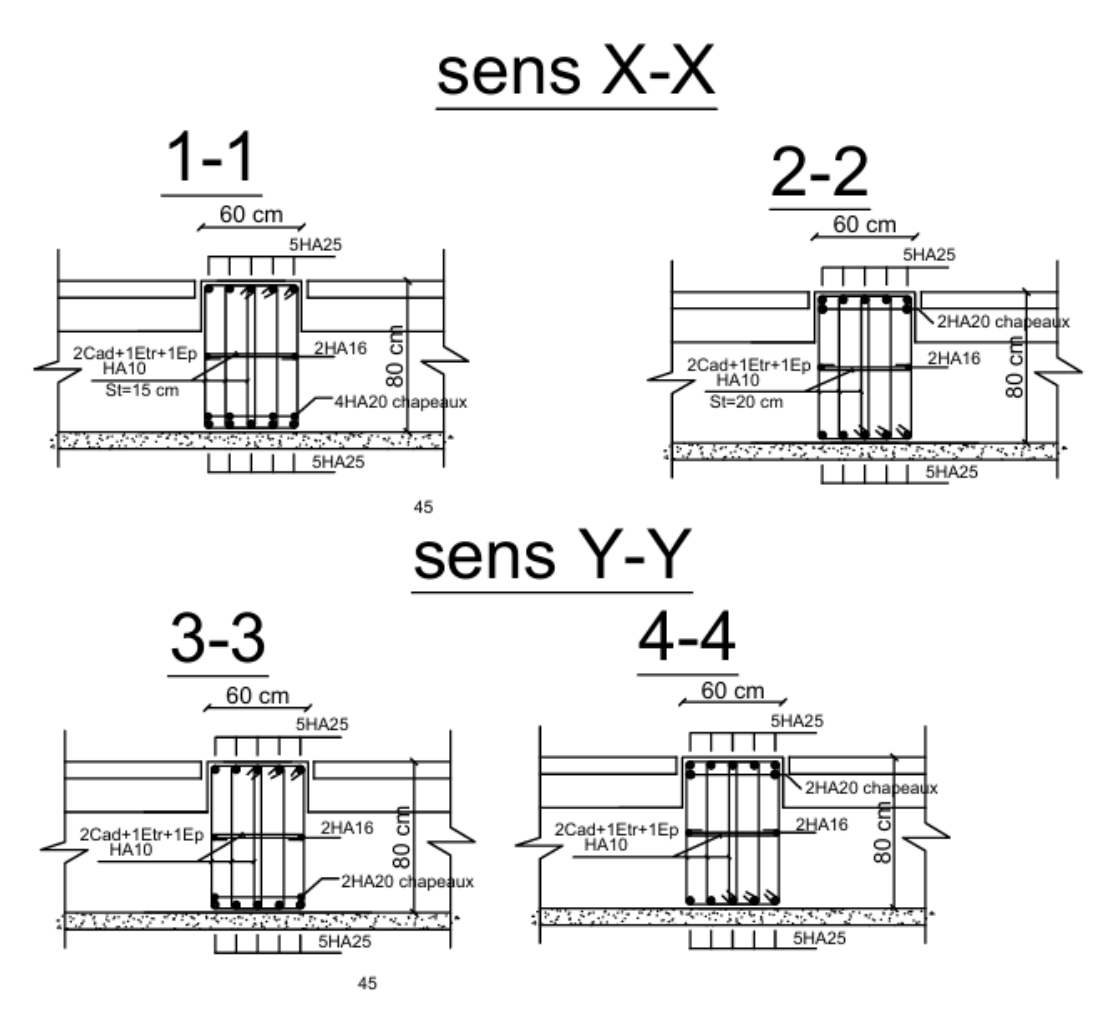


Figure VII-9 : Ferraillage de la nervure

Conclusion générale

Conclusion général

Ce projet de fin d'étude, nous a permis de mettre en pratique toutes nos connaissances acquises durant notre cycle de formation d'ingénieur, d'approfondir nos connaissances en se basant sur les documents techniques et réglementaires, de mettre en application les méthodes de calcul récentes, et de mettre en évidence les principes de base qui doivent être prises dans la conception des structures des bâtiments.

Les récents développements de l'analyse numérique, dus aux grandes possibilités offertes par l'ordinateurs, ont influencées profondément sur les méthodes de calcul en effet on peut dire que l'emploi de logiciels de calcul est en train de bouleverser les méthodes trio moment qui n'étaient qu'approximatives.

Sous l'action sismique, les voiles reprennent dans un premier temps, grâce leur rigidité ,La presque totalité des charges latéral. Les déformations de la structure restent faibles. Après l'apparition de zones plastiques dans le voile ; une plus grande part de charge se reporte sur les portiques dont la ductilité autorise une importante dissipation d'énergie.

L'analyse sismique constitue une étape déterminante dans la conception parasismique déstructures. En effet des modifications potentielles peuvent être apportées sur le système de contreventement lors de cette étape. Rappelons que dans notre cas, c'est une structure autostable qui a été pré dimensionné. Le renforcement de cette dernière (lors de l'étude sismique) nous a amené vers un bâtiment à contreventement mixte (voile + portique).

Les systèmes mixtes en portique et voiles donc caractérisent à la fois par une résistance élevée assurée par les voiles et par une bonne capacité à dissiper l'énergie due à la présence des portiques. Celle-ci notre en jeu d'une façon significative qu'après le dépassement de la limite d'élasticité des voiles. Toutefois, le système n'atteint le maximum de son efficacité quasi la répartition des voiles est symétrique et uniforme et si les liaisons entre les voiles et les portiques ont une bonne ductilité.

Le but de cette étude et de chercher une meilleur configuration de la structure en matière de disposition des voiles en minimisant le nombre de ces derniers a travers les cas étudiés dance mémoire, qui ont fournie des résultats cohérents et significatifs pour confirmer ainsi les indications énoncées dans la littérature, en outre il convient de souligner que pour la conception parasismique, il est très important que l'ingénieur civil et l'architecte travaillent en étroite collaboration désile début du projet pour minimiser toutes les contraintes, et arriver aune sécurité parasismique réaliser sans surcoût important (aspect économique) .

Enfin, l'objectif principal de l'ingénieur concepteur est de réduire le risque sismique à un niveau minimal et de facilité l'exécution de l'ouvrage en adoptant une conception optimale qui satisfaitles exigences architecturales et les exigences sécuritaire.

Bibliographie

Bibliographie

- 1. Analyse et Dimensionnement d'un Bâtiment en Béton Armé Selon les RPA 99 Version
- 2003; Rafik Taleb
- 2. Béton Armé, BAEL91 et DTU associés, J.P. Mougin. Edition Eyrolles, 1995.
- 3. Document technique réglementaire DTR « Charges permanente et surcharges d'exploitation DTR BC 2.2».

Ancien Mémoire de fin d'étude.

5. Règles BAEL 91 Modifié 99 : Règles techniques de conception et de calcul des ouvrages.

REGLES DE CONCEPTION ET DE CALCUL DES STRUCTURES EN BETON ARME C.B.A.93

REGLES PARASISMIQUESALGERIENNESRPA 99 / VERSION2003.

Cours de béton armé, 31ème et master 1Génie Civil.

Logiciels utilisés :

- 1.Logiciel ROBOTExpertBA2010.
- 2.Logiciel AUTOCAD2019.
- 3. Logiciel ROBOT Auto desk Robot Structura 1 Analyses Professional 2019.

Annexe

Annexe1

$\alpha = Lx/L_v$	ELU V	y = 0	ELS V	=0.2
$\alpha - L\alpha T L_y$	μ_x	μ_y	μ_x	μ_y
0.40	0.1101	0.2500	0.0121	0.2854
0.41	0.1088	0.2500	0.1110	0.2924
0.42	0.1075	0.2500	0.1098	0.3000
0.43	0.1062	0.2500	0.1087	0.3077
0.44	0.1049	0.2500	0.1075	0.3155
0.45	0.1036	0.2500	0.1063	0.3234
0.46	0.1022	0.2500	0.1051	0.3319
0.47	0.1008	0.2500	0.1038	0.3402
0.48	0.0994		0.1026	
		0.2500		0.3491
0.49	0.0980	0.2500	0.1013	0.3580
0.50	0.0966	0.2500	0.1000	0.3671
0.51	0.0951	0.2500	0.0987	0.3758
0.52	0.0937	0.2500	0.0974	0.3853
0.53	0.0922	0.2500	0.0961	0.3949
0.54	0.0908	0.2500	0.0948	0.4050
0.55	0.0894	0.2500	0.0948	0.4050
			(Fig. 1)	
0.56	0.0880	0.2500	0.0923	0.4254
0.57	0.0865	0.2582	0.0910	0.4357
0.58	0.0851	0.2703	0.0897	0.4456
0.59	0.0836	0.2822	0.0884	0.4565
0.60	0.0822	0.2948	0.0870	0.4672
0.61	0.0808	0.3075	0.0857	0.4781
0.62	0.0794	0.3205	0.0844	0.4892
0.63	0.0779	0.3338	0.0831	0.5004
0.64	0.0765	0.3472	0.0819	0.5117
0.65	0.0751	0.3613	0.0805	0.5235
0.66	0.0737	0.3753	0.0792	0.5351
0.67	0.0723	0.3895	0.0780	0.5469
0.68	0.0710	0.4034	0.0767	0.5584
0.69	0.0697	0.4181	0.0755	0.5704
0.70	0.0684	0.4320	0.0743	0.5817
0.71	0.0671	0.4471	0.0731	0.5940
0.72	0.0658	0.4624	0.0719	0.6063
0.73	0.0646	0.4780	0.0708	0.6188
0.74	0.0633	0.4938	0.0696	0.6315
0.75	0.0621	0.4938	0.0684	0.6447
0.76	0.0608	0.5274	0.0672	0.6580
0.77	0.0596	0.5440	0.0661	0.6710
0.78	0.0584	0.5608	0.0650	0.6841
0.79	0.0573	0.5786	0.0639	0.6978
0.80	0.0561	0.5959	0.0628	0.7111
0.81	0.0550	0.6135	0.0617	0.7246
0.82	0.0539	0.6313	0.0607	0.7381
0.83	0.0528	0.6494	0.0956	0.7518
0.84	0.0517	0.6678	0.0586	0.7655
0.85	0.0506	0.6864	0.0576	0.7794
0.86	0.0496	0.7052	0.0566	0.7932
0.87	0.0496	0.7244	0.0556	0.8074
				V 37/2010/07/2010 00V
0.88	0.0476	0.7438	0.0546	0.8216
0.89	0.0466	0.7635	0.0537	0.8358
0.90	0.0456	0.7834	0.0528	0.8502
0.91	0.0447	0.8036	0.0518	0.8646
0.92	0.0437	0.8251	0.0509	0.8799
0.93	0.0428	0.8450	0.0500	0.8939
0.94	0.0419	0.8661	0.0491	0.9087
0.95	0.0410	0.8875	0.0483	0.9236
0.96	0.0401	0.9092	0.0474	0.9385
0.97	0.0392	0.9322	0.4065	0.9543
		0.9545	0.0457	0.9694
0.98	0.0384			
	0.0384			
0.98 0.99 1.00	0.0384 0.0376 0.0368	0.9771 1.0000	0.0449 0.0441	0.9847 0.1000

Annexe2

Table de PIGEAUD

M1etM2pourunechargeconcentriqueP=1s'exerçantsurunesurfaceréduiteu×v au centre d'une plaque ou dalle rectangulaire appuyée sur son pourtour et de dimension

$$Lx \times Ly$$
Avec $Lx < Ly$.
 $\rho = 0.9$

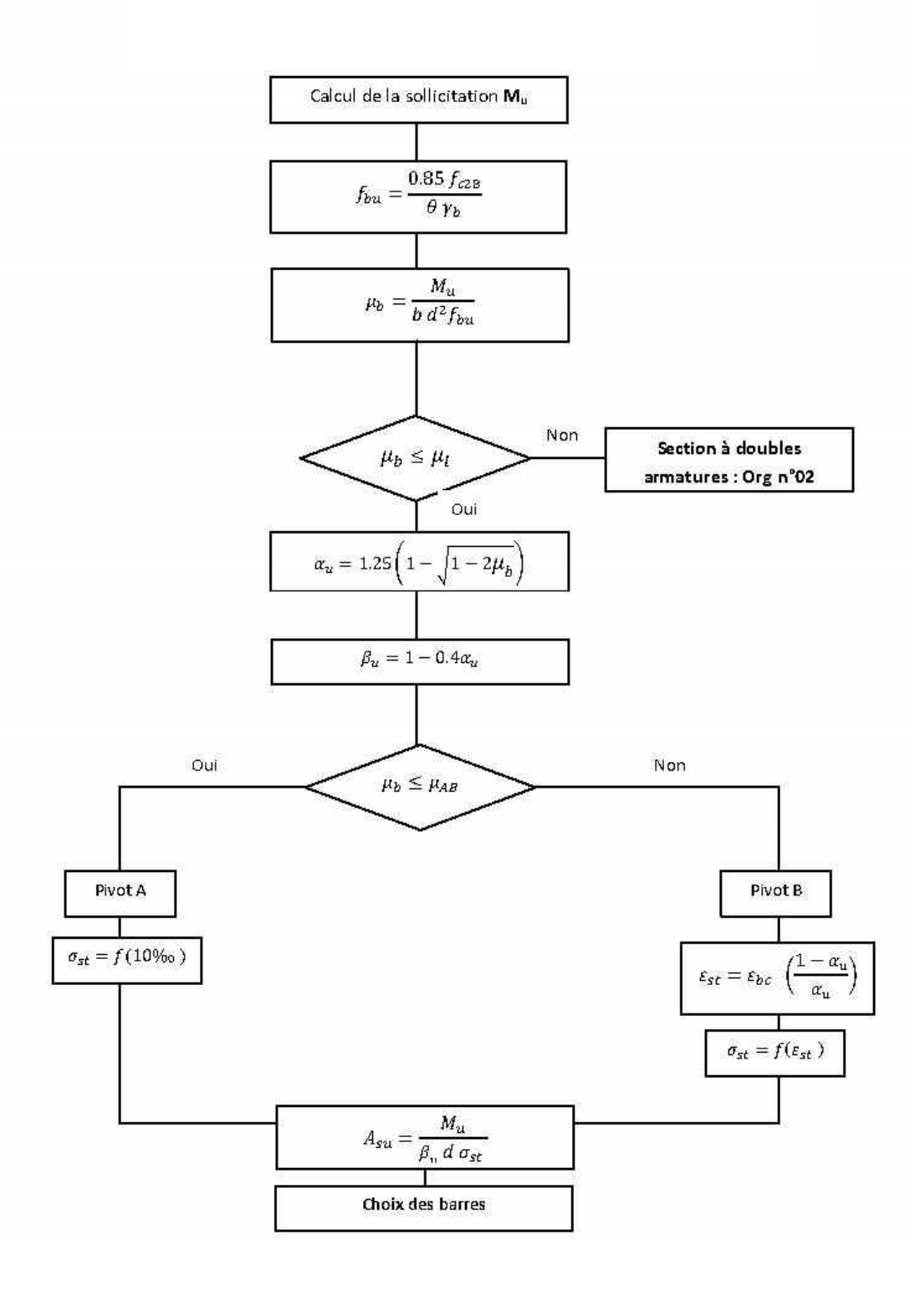
	u/lx v/ly	0.0	0.1	0.2	0.3	0.4	0.5	0.6	0.7	0.8	0.9	1.0
Valeur de M ₁	0.0 0.1 0.2 0.3 0.4 0.5 0.6 0.7 0.8 0.9 1.0	0.302 0.260 0.227 0.202 0.181 0.161 0.144 0.132 0.122 0.112	0.254 0.235 0.214 0.196 0.178 0.160 0.146 0.133 0.123 0.114 0.102	0.187 0.183 0.175 0.164 0.153 0.141 0.130 0.121 0.113 0.103 0.093	0.154 0.152 0.148 0.142 0.134 0.126 0.118 0.110 0.102 0.093 0.084	0.131 0.130 0.128 0.124 0.118 0.113 0.106 0.098 0.092 0.084 0.075	0.115 0.114 0.112 0.109 0.105 0.100 0.095 0.088 0.083 0.076 0.068	0.102 0.101 0.099 0.097 0.093 0.089 0.085 0.079 0.074 0.068 0.062	0.090 0.089 0.088 0.086 0.083 0.080 0.077 0.072 0.067 0.062 0.057	0.081 0.080 0.079 0.078 0.075 0.069 0.065 0.061 0.057	0.073 0.073 0.072 0.070 0.068 0.066 0.063 0.058 0.055 0.051 0.046	0.067 0.067 0.066 0.065 0.063 0.060 0.057 0.054 0.049 0.046
Valeur de ${ m M}_2$	0.0 0.1 0.2 0.3 0.4 0.5 0.6 0.7 0.8 0.9 1.0	/ 0.253 0.202 0.167 0.143 0.128 0.114 0.102 0.09 0.081 0.073	0.310 0.208 0.175 0.150 0.132 0.118 0.106 0.094 0.083 0.076 0.069	0.200 0.173 0.152 0.135 0.122 0.108 0.096 0.086 0.077 0.071 0.065	0.167 0.151 0.137 0.123 0.110 0.097 0.087 0.078 0.072 0.066 0.060	0.149 0.136 0.123 0.110 0.098 0.088 0.079 0.073 0.066 0.061 0.055	0.134 0.123 0.110 0.099 0.088 0.080 0.073 0.067 0.062 0.056	0.122 0.110 0.100 0.088 0.081 0.073 0.067 0.062 0.056 0.052 0.047	0.110 0.099 0.089 0.081 0.074 0.067 0.062 0.057 0.052 0.047 0.043	0.098 0.089 0.082 0.074 0.067 0.062 0.056 0.052 0.047 0.043 0.038	0.088 0.081 0.074 0.067 0.061 0.056 0.052 0.047 0.043 0.038	0.081 0.074 0.067 0.061 0.056 0.051 0.047 0.043 0.038 0.035 0.032

Tableau des armatures(encm²)

Φ	5	6	8	10	12	14	16	20	25	32	40
1	0.20	0.28	0.50	0.79	1.13	1.54	2.01	3.14	4.91	8.04	12.57
2	0.39	0.57	1.01	1.57	2.26	3.08	4.02	6.28	9.82	16.08	25.13
3	0.59	0.85	1.51	2.36	3.39	4.62	6.03	9.42	14.73	24.13	37.70
4	0.79	1.13	2.01	3.14	4.52	6.16	8.04	12.57	19.64	32.17	50.27
5	0.98	1.41	2.51	3.93	5.65	7.70	10.05	15.71	24.54	40.21	62.83
6	1.18	1.70	3.02	4.71	6.79	9.24	12.06	18.85	29.45	48.25	75.40
7	1.37	1.98	3.52	5.50	7.92	10.78	14.07	21.99	34.36	56.30	87.96
8	1.57	2.26	4.02	6.28	9.05	12.32	16.08	25.13	39.27	64.34	100.53
9	1.77	2.54	4.52	7.07	10.18	13.85	18.10	28.27	44.18	72.38	113.10
10	1.96	2.83	5.03	7.85	11.31	15.39	20.11	31.42	49.09	80.09	125.66
11	2.16	3.11	5.53	8.64	12.44	16.93	22.12	34.56	54.00	88.47	138.23
12	2.36	3.39	6.03	9.42	13.57	18.47	24.13	37.70	58.91	96.51	150.80
13	2.55	3.68	6.53	10.21	14.7	20.01	26.14	40.84	63.81	104.55	163.36
14	2.75	3.96	7.04	11.00	15.83	21.55	28.15	43.98	68.72	112.59	175.93
15	2.95	4.24	7.54	11.78	16.96	23.09	30.16	47.12	73.63	120.64	188.50
16	3.14	4.52	8.04	12.57	18.10	24.63	32.17	50.27	78.54	128.68	201.06
17	3.34	4.81	8.55	13.35	19.23	26.17	34.18	53.41	83.45	136.72	213.63
18	3.53	5.09	9.05	14.14	20.36	27.71	36.19	56.55	88.36	144.76	226.20
19	3.73	5.37	9.55	14.92	21.49	29.25	38.20	59.69	93.27	152.81	238.76
20	3.93	5.65	10.05	15.71	22.62	30.79	40.21	62.83	98.17	160.85	251.33

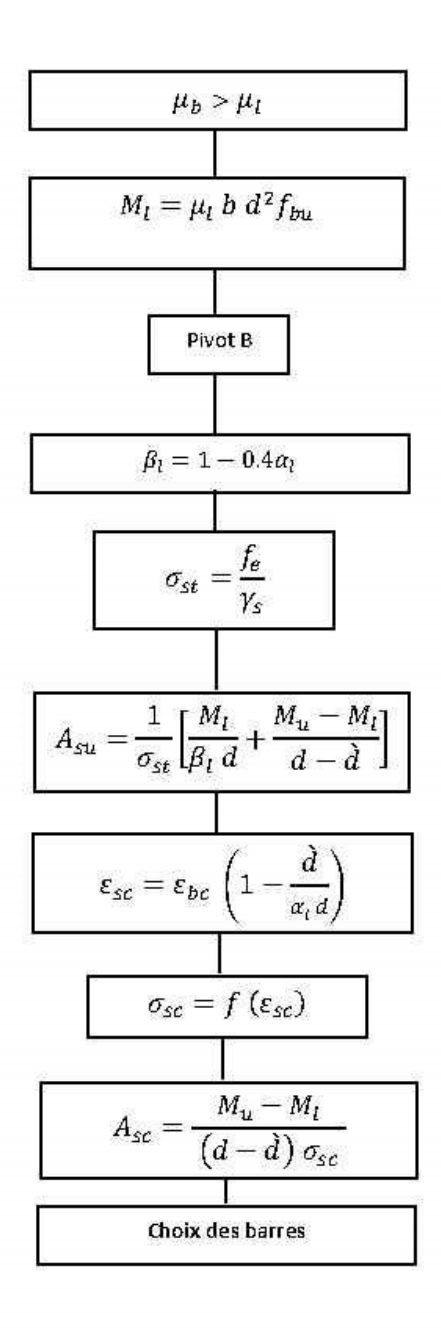
Calcul des sections rectangulaires soumises à la flexion simple

(Simples armatures A_{su})



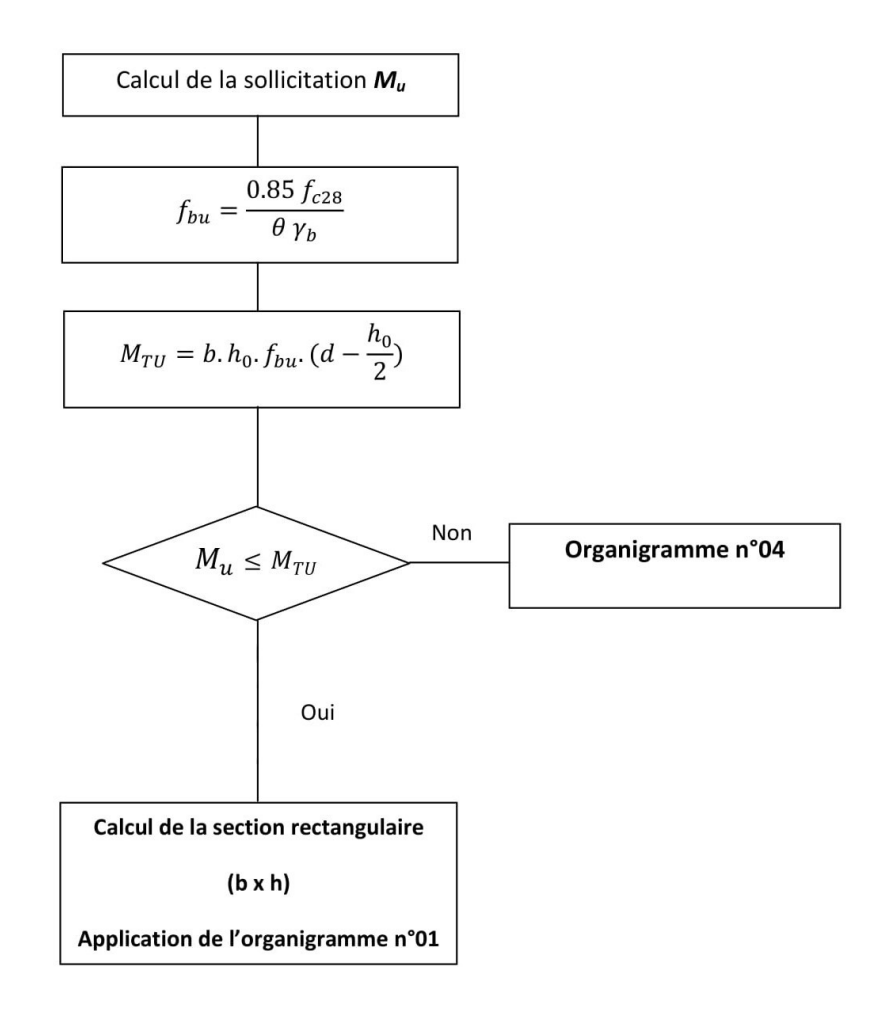
Calcul de sections rectangulaires soumises à la flexion simple

(Doubles armatures $A_{su}+A_{sc}$)

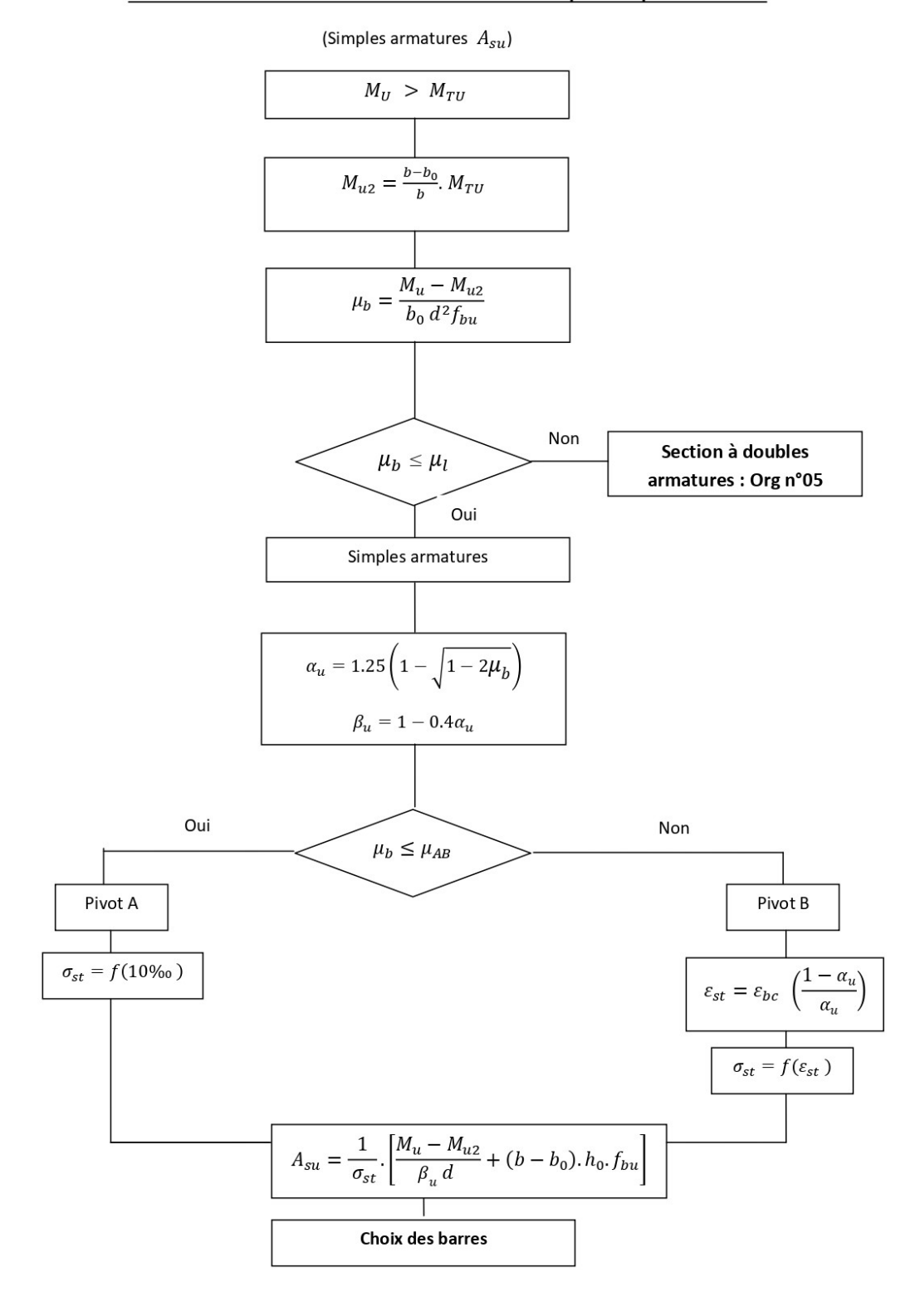


Calcul des sections en «T» soumises à la flexion simple

Organigramme n°03
Calcul des sections en « T » soumises à la flexion simple

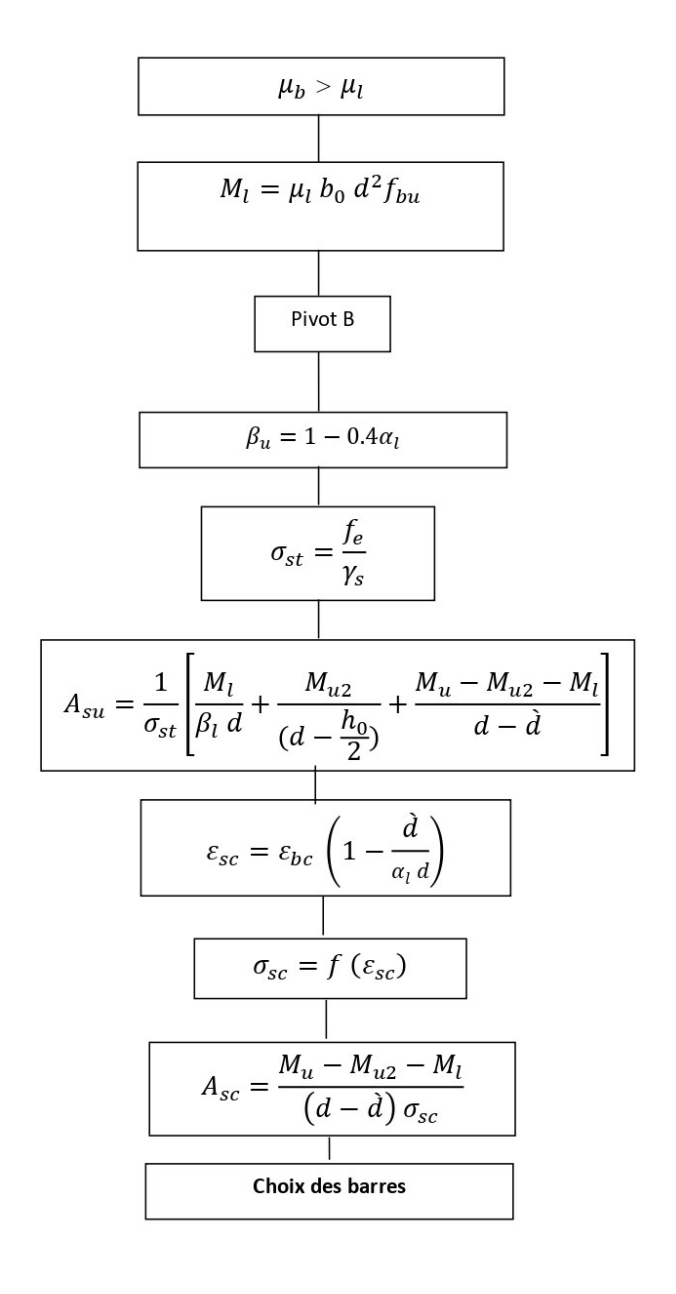


Organigramme n°04 Calcul des sections en « T » soumises à la flexion simple : Simples armatures



Calcul des sections en « T » soumises à la flexion simple : Doubles armatures

(Doubles armatures $A_{su} + A_{sc}$)



Les plans architecturaux et génie civil

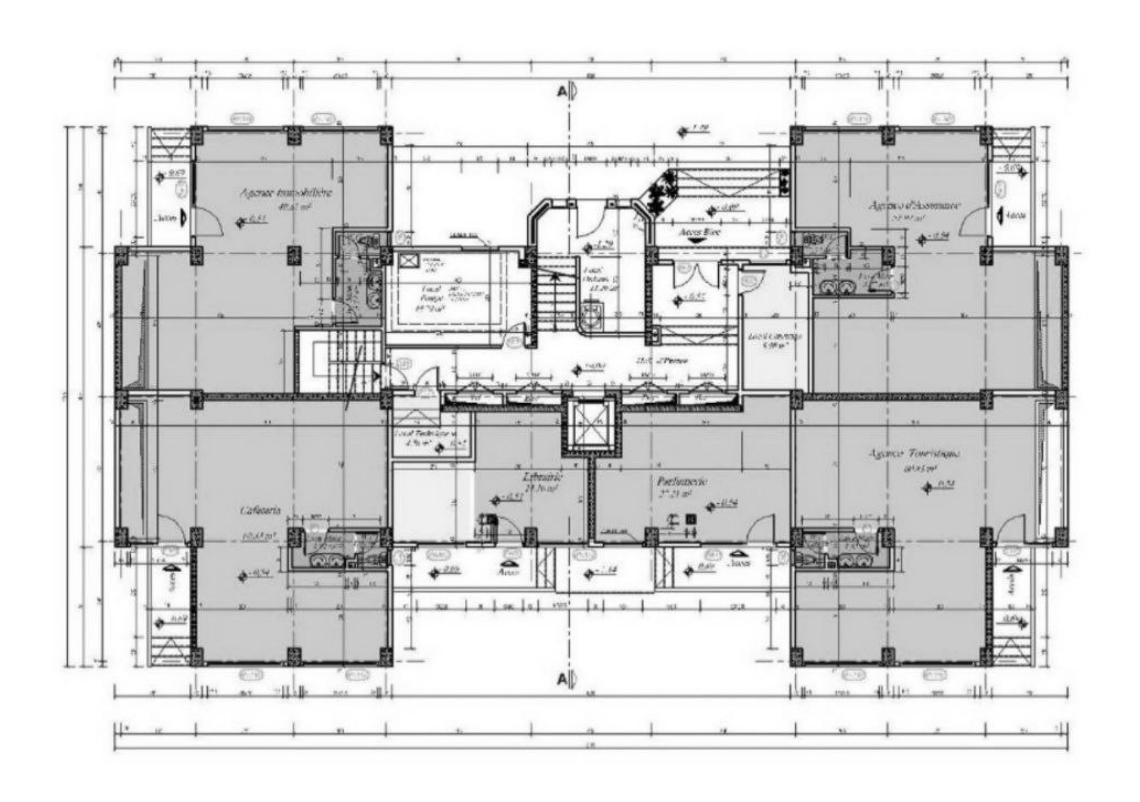
PLAN DE MASSE



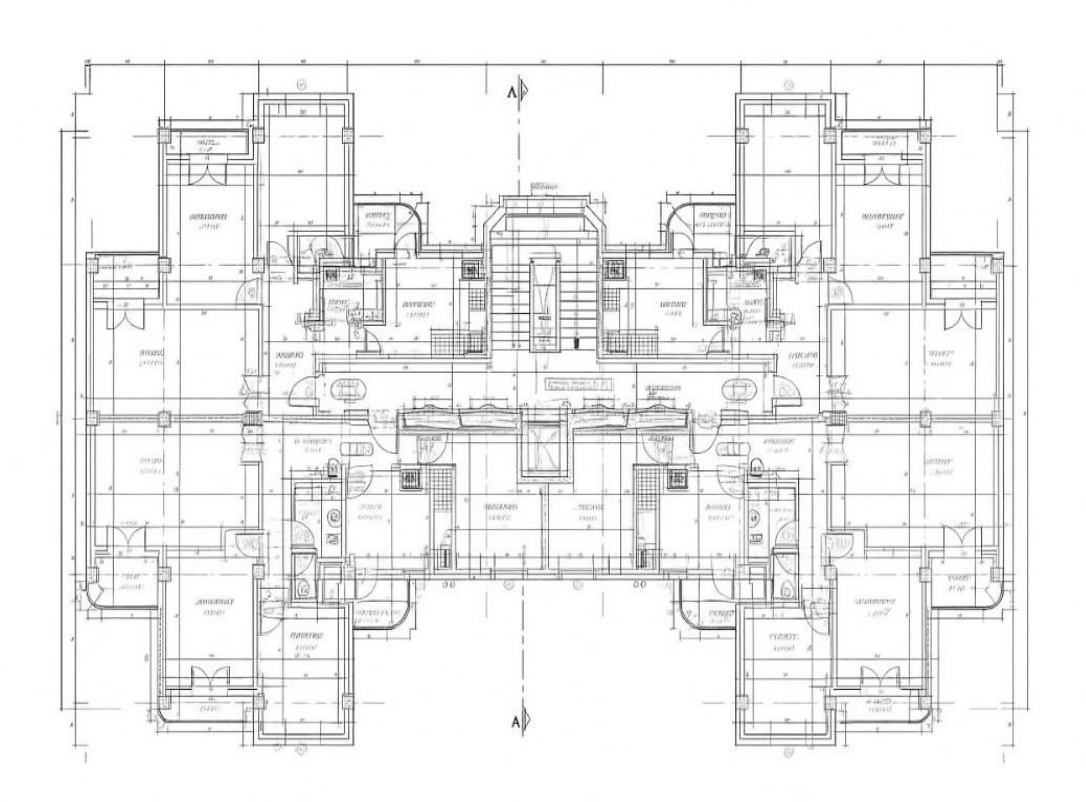
Plan de façade



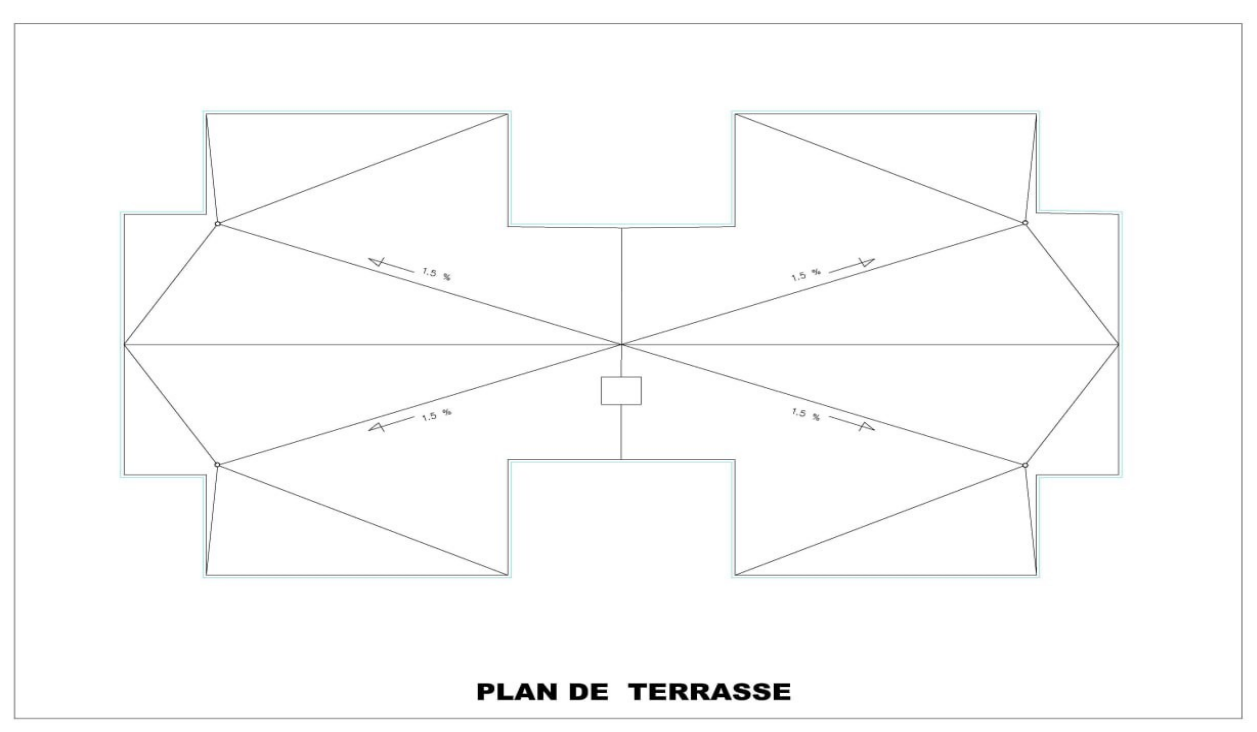
PLANE DE RDC



PLAN ETAGE COURANT



Plan d'Étanchéité



C\Users\hp\Downloads\Telegram Desktop\ETAGE SUPERIEUR_2.dwg, 17/86/2025 13:48:38, AutoCAD PDF (High Quality Print) pc3